

Escola Universitaria Politécnica



**UNIVERSIDADE DA CORUÑA**

**Grado en Ingeniería Electrónica Industrial y Automática**

**TRABAJO DE FIN DE GRADO**

**TFG Nº: 770G01A170**

**TÍTULO: SISTEMA DE SEGUIMIENTO DE SATÉLITES**

**AUTOR: GABRIEL CASAL RODRÍGUEZ**

**TUTOR: JUAN MANUEL RIVAS RODRÍGUEZ  
ESTEBAN JOVE PÉREZ**

**FECHA: SEPTIEMBRE DE 2019**

Fdo.: EL AUTOR

Fdo.: EL TUTOR



**TÍTULO: SISTEMA DE SEGUIMIENTO DE SATÉLITES**

---

# **ÍNDICE**

---

**PETICIONARIO: ESCUELA UNIVERSITARIA POLITÉCNICA**

**AVDA. 19 DE FEBREIRO, S/N**

**15405 - FERROL**

**FECHA: SEPTIEMBRE DE 2019**

**AUTOR: EL ALUMNO**

**Fdo.: GABRIEL CASAL RODRÍGUEZ**



<b>I</b>	<b>ÍNDICE</b>	<b>3</b>
	Contenidos del TFG	5
	Listado de figuras	9
	Listado de tablas	13
<b>II</b>	<b>MEMORIA</b>	<b>15</b>
	Índice del documento Memoria	17
<b>1</b>	<b>OBJETO</b>	<b>19</b>
<b>2</b>	<b>ALCANCE</b>	<b>21</b>
<b>3</b>	<b>ANTECEDENTES</b>	<b>22</b>
	3.1 Órbitas satelitales	22
	3.2 Bandas de frecuencia de comunicación con satélites	23
	3.3 Tipos de seguimiento	24
<b>4</b>	<b>NORMAS Y REFERENCIAS</b>	<b>27</b>
	4.1 Disposiciones legales y normas aplicadas	27
	4.2 Bibliografía	27
	4.3 Programas de cálculo	27
	4.4 Otras referencias	28
<b>5</b>	<b>DEFINICIONES Y ABREVIATURAS</b>	<b>36</b>
<b>6</b>	<b>REQUISITOS DE DISEÑO</b>	<b>38</b>
<b>7</b>	<b>ANÁLISIS DE LAS SOLUCIONES</b>	<b>39</b>
	7.1 Posición de satélites	39
	7.1.1 Software externo	39
	7.1.2 Cálculo autónomo	39
	7.2 Motores	40
	7.3 Realimentación de la posición de los motores	41
	7.3.1 Realimentación mediante potenciómetros	41
	7.3.2 Realimentación mediante encoders	42
	7.4 Acondicionamiento analógico de los potenciómetros	46
	7.5 Control de posición y velocidad	46
	7.6 Interfaz con el usuario	46
	7.7 Selección del microcontrolador	47
	7.8 Requisitos precisión del sistema	50
	7.8.1 Ancho de haz	51
	7.8.2 Conclusión	53
<b>8</b>	<b>RESULTADOS FINALES</b>	<b>55</b>
	8.1 Diagrama de bloques general del sistema	56
	8.2 HMI. Interfaz con el usuario	56
	8.3 Realimentación de la posición de los motores	58
	8.3.1 Acondicionamiento analógico de los potenciómetros de posición	58

8.3.2	Comunicación con los encoders . . . . .	60
8.4	Cálculo autónomo de la posición de apuntamiento . . . . .	61
8.4.1	Obtención de datos GPS . . . . .	62
8.4.2	Verificación de la posición de apuntamiento . . . . .	62
8.5	Comunicación con el PC . . . . .	64
8.5.1	Dirección de apuntamiento por software externo . . . . .	64
8.5.2	Actualización de parámetros TLE . . . . .	64
8.6	Accionamiento sobre los motores de la antena . . . . .	65
8.7	Posibles mejoras . . . . .	66
9	ORDEN DE PRIORIDAD ENTRE LOS DOCUMENTOS . . . . .	68
III	<b>ANEXOS</b> . . . . .	69
	Índice del documento Anexos . . . . .	71
10	DOCUMENTACIÓN DE PARTIDA . . . . .	73
11	CÁLCULOS . . . . .	76
11.1	Circuito analógico de acondicionamiento de la señal del potenciómetro . . . . .	76
11.1.1	Ajuste de ganancia . . . . .	76
11.1.2	Ajuste de offset . . . . .	78
11.1.3	Selección del circuito integrado . . . . .	78
11.1.4	Ecuación general del circuito . . . . .	79
11.1.5	Limitador de tensión . . . . .	79
11.1.6	Circuito completo . . . . .	80
11.1.7	Dimensionado de los componentes . . . . .	81
11.1.8	Limitador de tensión . . . . .	83
11.2	Controlador de relé . . . . .	85
11.3	Filtro PWM . . . . .	86
11.4	Alimentación del circuito . . . . .	87
12	PROTOCOLO CANOPEN . . . . .	89
12.1	Modelo OSI . . . . .	90
12.2	Protocolo CANopen . . . . .	90
12.2.1	Diccionario de objetos . . . . .	90
12.2.2	Modos de comunicación . . . . .	91
12.2.3	Trama CANopen . . . . .	92
12.3	Comunicación con los encoders . . . . .	94
12.3.1	Comunicación simultánea con los dos encoder . . . . .	98
13	RECEPTOR GPS . . . . .	103
13.1	Estándar de comunicaciones NMEA . . . . .	103
13.2	Máquina de estados . . . . .	104
14	TRANSMISIÓN DE LA POSICIÓN DEL SATÉLITE POR SOFTWARE EXTERNO . . . . .	107
14.1	Guía de configuración del software PstRotator . . . . .	107

14.2	Decodificación de los datos . . . . .	113
15	CÁLCULOS KEPLERIANOS DE APUNTAMIENTO. BASES TEÓRICAS . . . . .	117
15.1	Elementos orbitales . . . . .	117
15.2	Estructura del formato TLE . . . . .	119
15.3	Cálculo de las coordenadas altazimutales . . . . .	120
15.3.1	Coordenadas geocéntricas (ECI) . . . . .	120
15.3.2	Coordenadas topocéntricas . . . . .	122
15.4	Procedimiento de cálculo para el apuntamiento . . . . .	122
16	CÁLCULOS KEPLERIANOS DE APUNTAMIENTO. ACLARACIONES DEL SOFTWARE . . . . .	130
16.1	Descripción del código . . . . .	132
17	FLUJOGRAMAS DEL CÓDIGO DE PROGRAMACIÓN . . . . .	136
17.1	Flujograma principal. Sistema de menús . . . . .	136
17.2	Flujograma del modo de seguimiento automático . . . . .	138
17.3	Control de posición y velocidad. Flujograma . . . . .	140
17.4	Flujograma del posicionamiento por consigna . . . . .	142
17.5	Flujograma de comunicación con los encoder . . . . .	143
17.6	Cálculos keplerianos . . . . .	144
18	CÓDIGOS DE PROGRAMACIÓN . . . . .	145
18.1	Código de comunicación simple con encoder . . . . .	145
18.2	Código de cambio de dirección del encoder . . . . .	149
18.3	Código auxiliar para GPS . . . . .	155
18.4	Fichero principal .ino . . . . .	157
18.5	SGP4.cpp . . . . .	212
18.6	SGP4.h . . . . .	252
19	MANUAL DE USUARIO . . . . .	255
19.1	Setup . . . . .	255
19.2	Menú principal . . . . .	256
19.3	Especificaciones técnicas . . . . .	258
20	HOJA DE CARACTERÍSTICAS TBN50-SA2048RC2SN14 . . . . .	260
IV	<b>PLANOS</b> . . . . .	263
Índice del documento Planos . . . . .		265
Esquema eléctrico . . . . .		267
Circuito impreso. Capa FRONT . . . . .		269
Circuito impreso. Capa BOTTOM . . . . .		271
Circuito impreso. Serigrafía . . . . .		273
V	<b>PLIEGO DE CONDICIONES</b> . . . . .	275
Índice del documento Pliego de condiciones . . . . .		277

20.1	Especificaciones de las unidades de obra . . . . .	279
20.1.1	Selección de componentes . . . . .	279
20.1.2	Sustitución de componentes . . . . .	279
20.2	Verificaciones . . . . .	279
20.2.1	Testeo del circuito impreso . . . . .	279
20.2.2	Verificaciones de diseño . . . . .	279
20.2.3	Verificaciones de montaje . . . . .	279
<b>VI</b>	<b>MEDICIONES . . . . .</b>	<b>281</b>
	Índice del documento Mediciones . . . . .	283
21	Listado de materiales . . . . .	285
<b>VII</b>	<b>PRESUPUESTO . . . . .</b>	<b>287</b>
	Índice del documento Presupuesto . . . . .	289
22	PRECIOS UNITARIOS DE MANO DE OBRA, SOFTWARE Y ELEMENTOS AUXILIA- RES . . . . .	291
22.1	Mano de obra . . . . .	291
22.2	Licencias software . . . . .	291
22.3	Elementos auxiliares . . . . .	291
23	PRECIOS UNITARIOS DE LAS UNIDADES DE OBRA . . . . .	292
24	PRESUPUESTO . . . . .	293



# Listado de figuras

3.1	<i>AEM.</i> Órbitas satelitales [17]	22
3.2	<i>AEM.</i> Frecuencias de comunicación satelital [16]	23
3.3	<i>ESA.</i> Satellite frequency bands [47]	24
3.4	<i>Wikipedia.</i> Azimuth-wikipedia	25
3.5	<i>kisspng.</i> Equatorial mount Telescope mount Diagram Celestial equator [46]	26
7.1	<i>ebay.</i> GY-NEO6MV2 NEO-6M GPS Module Board with Antenna [50]	40
7.2	<i>Amazon.</i> Wirewound potenciómetro [10]	42
7.3	Mouser[45]	44
7.4	Farnell [44]	44
7.5	Encoder TWK [75]	45
7.6	<i>ebay.</i> MCP2515 CAN Shield Controller [58]	45
7.7	<i>Arduino.</i> Compare board specs [14]	49
7.8	<i>wikipedia.</i> Diagrama de radiación [78]	50
7.9	<i>Artchist.blogspot.com.</i> Directividad de antenas [65]	51
7.10	Ancho de haz para la línea de hidrógeno [11]	52
7.11	Ancho de haz para una antena VSAT [11]	53
8.1	Placa de circuito impreso	55
8.2	Montaje de circuito impreso	55
8.3	Diagrama de bloques del sistema	56
8.4	Flujograma principal del software	57
8.5	Diagrama de bloques del acondicionamiento de señal	59
8.6	Circuito analógico acondicionamiento de señal	59
8.7	Zona de acondicionamiento de señal del PCB	60
8.8	Encoders proporcionando la ubicación simultáneamente	61
8.9	Resultado de la decodificación GPS	62
8.10	Posición de apuntamiento PstRotator	63
8.11	Posición de apuntamiento Arduino	63
8.12	Posición de apuntamiento Easycom decodificada	64
8.13	Actualización TLE en monitor serie	65
8.14	Zona de accionamiento sobre motores del PCB	66
11.1	Circuito no inversor	76
11.2	Circuito inversor	77
11.3	Circuito de dos etapas inversoras	77

11.4	Compensación de offset . . . . .	78
11.5	Montaje con el circuito integrado LM324 . . . . .	79
11.6	Limitador de tensión . . . . .	80
11.7	Circuito analógico completo . . . . .	80
11.8	Circuito zener equivalente . . . . .	84
11.9	Equivalente Thevenin . . . . .	84
11.10	Controlador de relé . . . . .	85
11.11	Filtro PWM . . . . .	86
11.12	Filtro de entrada de alimentación . . . . .	87
11.13	Indicadores LED de alimentación . . . . .	87
11.14	Adaptación de tensiones . . . . .	88
11.15	Refuerzo de la capacidad de corriente . . . . .	88
12.1	Modelo OSI [61] . . . . .	90
12.2	Ejemplo de objeto del diccionario CANopen [70] . . . . .	91
12.3	<i>csselectronics</i> . CANopen CAN frame [37] . . . . .	92
12.4	<i>csselectronics</i> . Function code [37] . . . . .	93
12.5	Ejemplo de boot-up [70] . . . . .	94
12.6	Funcionamiento mediante mensajes SYNC . . . . .	95
12.7	Cambio de dirección vía LSS [70] . . . . .	96
12.8	Datos del encoder [20] . . . . .	97
12.9	Número de serie . . . . .	97
12.10	Verificación del cambio de ID . . . . .	98
12.11	Modos de transmisión [70] . . . . .	99
12.12	Códigos de los modos de transmisión [70] . . . . .	100
12.13	Objeto PDO1 . . . . .	101
12.14	Funcionamiento en modo Polling (RTR activado) . . . . .	102
13.1	Datos serie del receptor GPS . . . . .	103
13.2	Máquina de estados GPS . . . . .	105
13.3	Trama NMEA decodificada . . . . .	106
14.1	Configuración de la ubicación . . . . .	107
14.2	Configuración de la ventana Satellites Tracking . . . . .	108
14.3	Configuración de la lista de satélites . . . . .	109
14.4	Actualización TLE en PstRotator . . . . .	110
14.5	Configuración del rango del ángulo de elevación . . . . .	111
14.6	Transmisión por puerto serie . . . . .	112
14.7	Monitor serie en código ASCII . . . . .	113
14.8	Monitor serie en hexadecimal . . . . .	114
14.9	Máquina de estados para el formato Easycom . . . . .	115
14.10	Resultado de la decodificación Easycom . . . . .	115
15.1	<i>wikipedia</i> . Elementos orbitales [63] . . . . .	118
15.2	<i>wikipedia</i> . Anomalía media [77] . . . . .	119

15.3	<i>NASA</i> . TLE [62] . . . . .	119
15.4	<i>celestrak</i> . Sistema de coordenadas ECI [52] . . . . .	121
15.5	<i>wikipedia</i> . Movimientos de precesión y nutación [81] . . . . .	121
15.6	<i>celestialnorth</i> . Día sideral y día solar medio [69] . . . . .	123
15.7	<i>celestrak</i> . Coordenada z y distancia R [52] . . . . .	124
15.8	<i>celestrak</i> . Coordenadas x e y [52] . . . . .	124
15.9	<i>celestrak</i> . Coordenadas SEZ [53] . . . . .	125
15.10	Transformaciones de coordenadas . . . . .	126
15.11	Ángulos de azimut (AZ) y elevación (EL) . . . . .	127
15.12	<i>johndcook</i> . Coordenadas geocéntricas y geodésicas [35] . . . . .	128
16.1	Resultado en Pst Rotator . . . . .	131
16.2	Resultado en Arduino . . . . .	131
17.1	Flujograma principal . . . . .	137
17.2	Modo automático . . . . .	138
17.3	Control de posicionamiento . . . . .	141
17.4	Posicionamiento de motores por consigna . . . . .	142
17.5	Comunicaciones CANopen . . . . .	143
17.6	Cálculos keplerianos . . . . .	144
19.1	Mensaje por puerto serie . . . . .	255
19.2	Datos TLE actualizados de la web . . . . .	256
19.3	Verificación de guardado . . . . .	256



# Listado de tablas

7.1	Recuento de pines utilizados . . . . .	48
11.1	Componentes de la etapa de amplificación . . . . .	82
11.2	Componentes del circuito analógico . . . . .	85
19.1	Pantalla LCD en calibración . . . . .	257
19.2	Pantalla LCD en manual-consigna . . . . .	257
19.3	Pantalla LCD en modo automático . . . . .	258
21.1	Lista de materiales . . . . .	285
22.1	Lista de materiales . . . . .	291
22.2	Coste software . . . . .	291
22.3	Costes auxiliares . . . . .	291
23.1	Unidades de obra . . . . .	292
24.1	Presupuesto total . . . . .	293



TÍTULO: **SISTEMA DE SEGUIMIENTO DE SATÉLITES**

---

# **MEMORIA**

---

PETICIONARIO: **ESCUELA UNIVERSITARIA POLITÉCNICA**

**AVDA. 19 DE FEBREIRO, S/N**

**15405 - FERROL**

FECHA: **SEPTIEMBRE DE 2019**

AUTOR: **EL ALUMNO**

Fdo.: **GABRIEL CASAL RODRÍGUEZ**





## Índice del documento MEMORIA

<b>1</b>	<b>OBJETO</b>	<b>19</b>
<b>2</b>	<b>ALCANCE</b>	<b>21</b>
<b>3</b>	<b>ANTECEDENTES</b>	<b>22</b>
3.1	Órbitas satelitales . . . . .	22
3.2	Bandas de frecuencia de comunicación con satélites . . . . .	23
3.3	Tipos de seguimiento . . . . .	24
<b>4</b>	<b>NORMAS Y REFERENCIAS</b>	<b>27</b>
4.1	Disposiciones legales y normas aplicadas . . . . .	27
4.2	Bibliografía . . . . .	27
4.3	Programas de cálculo . . . . .	27
4.4	Otras referencias . . . . .	28
<b>5</b>	<b>DEFINICIONES Y ABREVIATURAS</b>	<b>36</b>
<b>6</b>	<b>REQUISITOS DE DISEÑO</b>	<b>38</b>
<b>7</b>	<b>ANÁLISIS DE LAS SOLUCIONES</b>	<b>39</b>
7.1	Posición de satélites . . . . .	39
7.1.1	Software externo . . . . .	39
7.1.2	Cálculo autónomo . . . . .	39
7.2	Motores . . . . .	40
7.3	Realimentación de la posición de los motores . . . . .	41
7.3.1	Realimentación mediante potenciómetros . . . . .	41
7.3.2	Realimentación mediante encoders . . . . .	42
7.4	Acondicionamiento analógico de los potenciómetros . . . . .	46
7.5	Control de posición y velocidad . . . . .	46
7.6	Interfaz con el usuario . . . . .	46
7.7	Selección del microcontrolador . . . . .	47
7.8	Requisitos precisión del sistema . . . . .	50
7.8.1	Ancho de haz . . . . .	51
7.8.1.1	Línea de hidrógeno . . . . .	51
7.8.1.2	Antena VSAT . . . . .	52
7.8.1.3	Comunicaciones con la Estación Espacial Internacional . . . . .	53
7.8.2	Conclusión . . . . .	53

<b>8 RESULTADOS FINALES</b>	<b>55</b>
8.1 Diagrama de bloques general del sistema . . . . .	56
8.2 HMI. Interfaz con el usuario . . . . .	56
8.3 Realimentación de la posición de los motores . . . . .	58
8.3.1 Acondicionamiento analógico de los potenciómetros de posición . . . . .	58
8.3.2 Comunicación con los encoders . . . . .	60
8.4 Cálculo autónomo de la posición de apuntamiento . . . . .	61
8.4.1 Obtención de datos GPS . . . . .	62
8.4.2 Verificación de la posición de apuntamiento . . . . .	62
8.5 Comunicación con el PC . . . . .	64
8.5.1 Dirección de apuntamiento por software externo . . . . .	64
8.5.2 Actualización de parámetros TLE . . . . .	64
8.6 Accionamiento sobre los motores de la antena . . . . .	65
8.7 Posibles mejoras . . . . .	66
<b>9 ORDEN DE PRIORIDAD ENTRE LOS DOCUMENTOS</b>	<b>68</b>

# 1 OBJETO

El objeto de este proyecto es la implementación de un sistema de seguimiento de satélites, basado en la plataforma Arduino, que consistirá en el control de orientación de las antenas conforme a la posición actual del satélite.

Las entradas del sistema serán:

- Los ángulos de azimut y elevación incluidos en una cadena ASCII en formato Easycom, leídos a través de puerto serie. Existirá también la posibilidad de realizar los cálculos de posición del satélite de manera autónoma por el sistema en base a los parámetros keplerianos que definen el movimiento del satélite.
- La realimentación de la posición de las antenas. Esta podrá ser de alguna de las siguientes formas:
  - Con una tensión analógica procedente de potenciómetros acoplados a los ejes de los motores, que debe ser acondicionada para optimizar el convertidor A/D.
  - A través de un encoder digital absoluto.
- Un teclado matricial que nos permitirá introducir numéricamente una consigna para colocar las antenas en la posición deseada.
- Un juego de botones que, además de permitir al usuario desplazarse por los menús que indican el modo de funcionamiento, permitirá aproximar las antenas a una posición determinada de manera manual.

Las salidas del sistema serán:

- La actuación sobre los motores, que podrá ser:
  - De corriente continua: la velocidad será regulada por PWM.
  - De corriente alterna: en este caso, la velocidad vendrá marcada por una tensión analógica para controlar un variador de frecuencia que funcione mediante consigna analógica.
- Un visualizador de cristal líquido, que servirá de interfaz con el usuario, mostrando los distintos modos de funcionamiento del sistema (automático, manual, calibración, etc), además de indicar en tiempo real la posición de las antenas y del satélite en los modos de funcionamiento que proceda.

Este proyecto está enmarcado en una colaboración con el CIFP Ferrolterra, que deberán realizar la construcción de todo el sistema de antenas para lograr la comunicación con la ISS (Internacional Space Station).

Sin embargo, dado que no ha sido posible la realización de este sistema de antenas en el plazo previsto, hemos realizado un pequeño modelo a escala para verificar el correcto funcionamiento del sistema.

Por otra parte, la intención de este proyecto no se ciñe únicamente a la funcionalidad y al objeto anteriormente descrito, sino que tiene también como meta la accesibilidad económica por parte de todo tipo de usuario.

A lo largo de la elaboración del sistema se ha buscado siempre utilizar componentes de bajo coste, empezando por el hardware y software de Arduino, hasta los encoders utilizados para la realimentación de la posición de las antenas, los dispositivos potencialmente más caros de todo el proyecto.

No obstante, no quiere decir que el sistema se encuentre restringido a pequeñas aplicaciones, sino que, con las adaptaciones de potencia pertinentes, podría utilizarse con cualquier tipo de antena.

## 2 ALCANCE

En este proyecto desarrolla los siguientes puntos:

- Programación del microcontrolador basado en la plataforma Arduino
  - Comunicación con encoders basados en protocolo CANopen
  - Decodificación de datos GPS
  - Decodificación de trama Easycom
  - Elaboración de menús
  - Cálculos keplerianos
- Diseño de un circuito analógico de acondicionamiento de señal
- Diseño de la placa de circuito impreso
- Montaje de componentes sobre la placa de circuito impreso

### 3 ANTECEDENTES

La Real Academia Española define al satélite artificial [15] como "Vehículo espacial, tripulado o no, que se coloca en órbita alrededor de la Tierra o de otro astro, y que lleva aparatos apropiados para recoger información y transmitirla".

El origen de estos Vehículos espaciales se remonta a los inicios de la guerra fría entre la URSS y EEUU. Desde entonces, se han desarrollado diversos tipos de satélite con diferentes objetivos (meteorológicos, de telecomunicaciones, de navegación, astronómicos, etc), diferentes órbitas y diferentes altitudes, etc.

#### 3.1. Órbitas satelitales

En la web de la Agencia Espacial Mexicana [17] se proporciona una tabla con las principales órbitas satelitales y sus respectivas aplicaciones, como se muestra en la siguiente figura 3.1, aunque también se utilizan otros tipos distintos, dependiendo del propósito y de las características de cada satélite.

Orbita	Aplicaciones	Características	Ejemplo de misiones
<b>LEO (Low Earth Orbit)</b>	<ul style="list-style-type: none"> <li>Observación de la tierra.</li> <li>Monitoreo del clima</li> <li>Tecnología</li> <li>Astronomía</li> <li>Comunicaciones</li> </ul>	Altitud de 300 a 1500 kms.	<ul style="list-style-type: none"> <li>CHAMP</li> <li>SAR-Lupe</li> <li>BIRD</li> <li>ROSAT</li> </ul>
<b>MEO (Medium Earth Orbit)</b>	<ul style="list-style-type: none"> <li>Comunicaciones</li> <li>Navegación</li> </ul>	Altitud de varios miles de kilómetros	<ul style="list-style-type: none"> <li>Globalstar</li> <li>GPS</li> <li>Galileo</li> </ul>
<b>HEO (High Elliptical Orbit)</b>	<ul style="list-style-type: none"> <li>Comunicaciones</li> <li>Astronomía</li> </ul>	Altitud de unos cientos de kilómetros hasta 100,000 kilómetros.	<ul style="list-style-type: none"> <li>EUTELSAT</li> <li>ASTRA</li> </ul>
<b>GTO (Geostationary Transfer Orbit)</b>	<ul style="list-style-type: none"> <li>Orbita de impulso para lanzamiento de satélites geoestacionarios</li> </ul>	Altitud de algunos cientos de kilómetros hasta 35,786 kilómetros	<ul style="list-style-type: none"> <li>EUTELSAT</li> <li>ASTRA</li> </ul>
<b>GEO (Geostationary Orbit)</b>	<ul style="list-style-type: none"> <li>Comunicaciones</li> </ul>	Altitud de 35,786 kilómetros	<ul style="list-style-type: none"> <li>EUTELSAT</li> <li>ASTRA</li> </ul>
<b>Puntos de Lagrange</b>	<ul style="list-style-type: none"> <li>Astronomía</li> <li>Investigación</li> </ul>	Distancia mayor a un millón de kilómetros	<ul style="list-style-type: none"> <li>SOHO</li> <li>JWST</li> </ul>
<b>Órbitas Interplanetarias</b>	<ul style="list-style-type: none"> <li>Exploración planetaria</li> </ul>	Distancia de varios billones de kilómetros	<ul style="list-style-type: none"> <li>Mars Express</li> <li>Rosetta</li> </ul>

Figura 3.1 – AEM. Órbitas satelitales [17]

### 3.2. Bandas de frecuencia de comunicación con satélites

Tal como se explica en la web de la Agencia Espacial Americana [16], en todas las telecomunicaciones es necesaria una frecuencia portadora que separe una comunicación del resto, evitando así posibles interferencias. No obstante, debido a la composición de la atmósfera terrestre, no todo el espectro electromagnético logra atravesarla. A continuación, en la figura 3.2 se muestra un gráfico en el que se representa el espectro electromagnético frente la opacidad atmosférica .

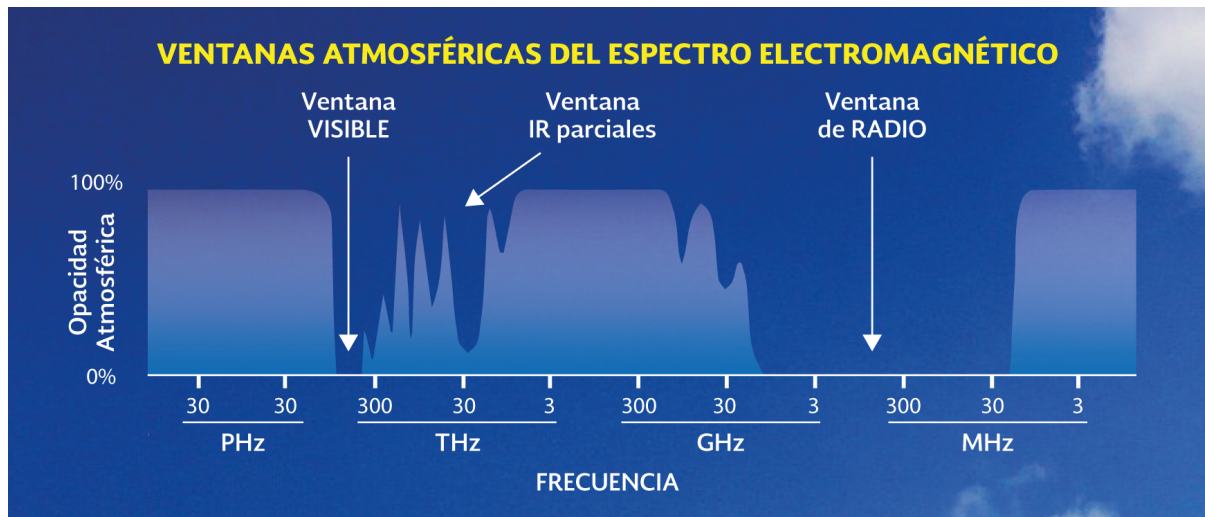


Figura 3.2 – AEM. Frecuencias de comunicación satelital [16]

Se puede observar que únicamente existen dos zonas del espectro electromagnético capaces de atravesar la atmósfera terrestre sin atenuación: el espectro visible y una parte del espectro radioeléctrico, aproximadamente de 30MHz a 30 GHz, ventana que se utilizará en las comunicaciones espaciales. El uso de las distintas bandas de este espectro electromagnético satelital está regulado por la Unión Internacional de Telecomunicaciones (UIT).

Consultando también en la web de la Agencia Espacial Europea [47] las principales bandas de frecuencia utilizadas en comunicaciones satelitales se muestran a continuación en la imagen 3.3:

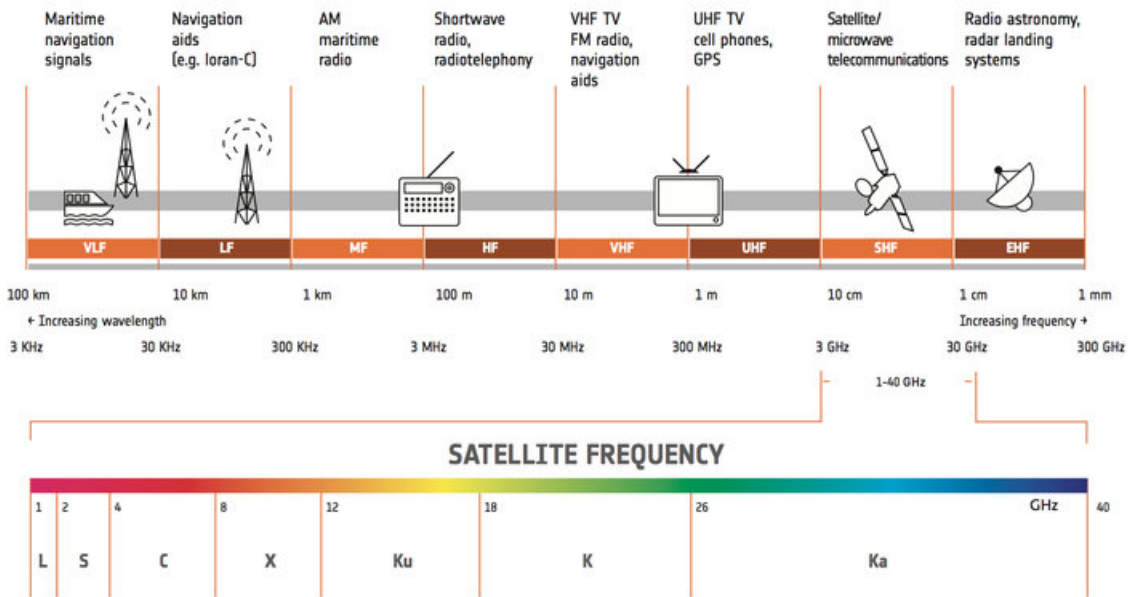


Figura 3.3 – ESA. Satellite frequency bands [47]

Sin embargo, otros fragmentos de frecuencia dentro de las bandas UHF y VHF también son utilizados en comunicaciones de satélite, especialmente en el ámbito radioaficionado o incluso militar.

### 3.3. Tipos de seguimiento

Todos los satélites comparten un requisito común: la necesidad de comunicarse con la Tierra, ya sea con el objetivo de las telecomunicaciones, enviar posiciones GPS, transmitir datos meteorológicos o astronómicos, o cualquier otro tipo de información, dependiendo del tipo de satélite. De esto se puede deducir la necesidad de orientar las antenas de comunicación a la posición orbital del satélite, permitiendo así la transferencia de información.

En el caso de satélites geoestacionarios, es decir, satélites cuya órbita es paralela al ecuador de la Tierra y con la misma velocidad angular, de manera que el satélite se encuentra siempre en la misma posición respecto a la tierra, bastará con orientar la antena a la posición del satélite una única vez, ya que el satélite permanece en una posición fija respecto a la Tierra.

Pero este es un caso muy particular de órbita, en el resto de ellas no es así, por lo que resulta necesario un sistema de ejes móviles capaz de orientarse a la posición del satélite en todo momento de su órbita.

Estos sistemas de ejes son los mismos que los utilizados por los telescopios de observa-

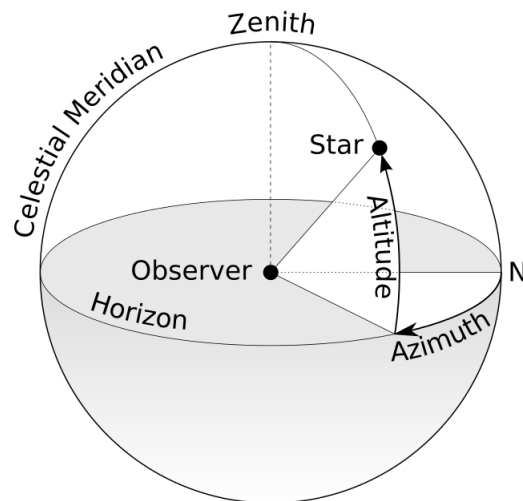


ción, que por lo general se dividen en ecuatoriales y altazimutales:

- Monturas altazimutales:

Este tipo de monturas están formadas por dos ejes de rotación perpendiculares entre sí, uno perpendicular al plano horizontal (eje de azimut), y el otro perpendicular a este (eje de elevación).

La rotación del eje de azimut comprende de  $0^\circ$  a  $360^\circ$ , mientras que la del eje de elevación abarca de los  $0^\circ$  a los  $90^\circ$  (hasta  $180^\circ$  en algunos casos).

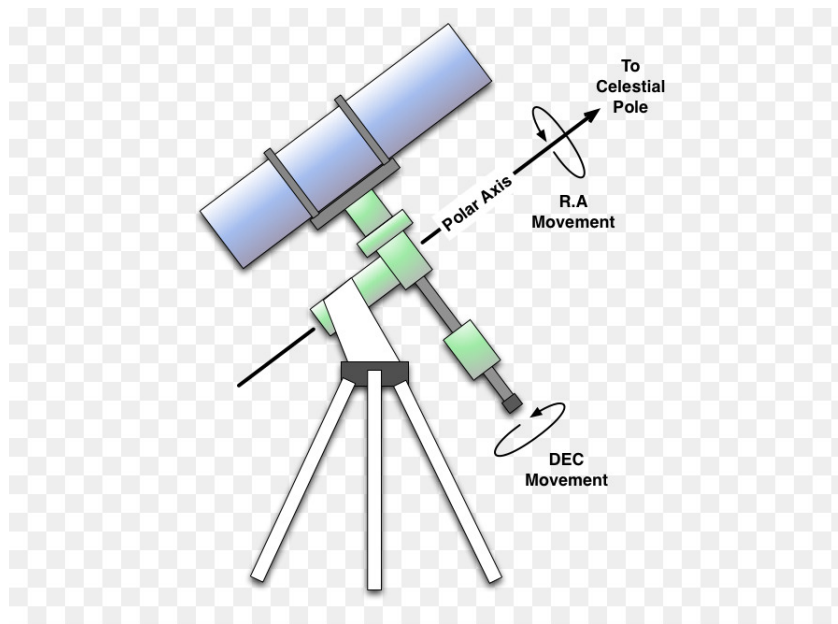


**Figura 3.4** – *Wikipedia*. Azimuth-wikipedia  
[79]

A pesar de que es un sistema muy sencillo e intuitivo, dado que este sistema de ejes utiliza coordenadas locales, ambos ejes deberán estar en continuo movimiento para realizar el seguimiento del objeto en cuestión [24, 18].

- Monturas ecuatoriales:

Este sistema está formado por dos ejes de rotación perpendiculares entre sí, el eje de ascensión recta (eje ecuatorial, paralelo al ecuador celeste) y el eje de declinación. Existe también un tercer eje, el de altitud, que será necesario ajustarlo únicamente en el momento de comenzar un nuevo seguimiento.



**Figura 3.5** – *kisspng*. Equatorial mount Telescope mount Diagram Celestial equator [46]

La montura ecuatorial es más compleja que la anterior ya que, para su correcto funcionamiento, debe de estar perfectamente alineada. Este sistema suele utilizarse mucho en astronomía para observar objetos cuyo movimiento es despreciable respecto al de la tierra debido a la distancia, es decir, para observar objetos aparentemente inmóviles desde la Tierra. De esta manera, lo que se pretende con esta montura es compensar el movimiento de rotación de la Tierra [24, 18].

Tal como se ha mencionado antes, la montura ecuatorial es especialmente útil realizar el para seguimiento de objetos aparentemente inmóviles respecto al movimiento de la Tierra, por lo que no será útil para el seguimiento de satélites artificiales en órbita terrestre, ya que, en este caso, será la Tierra la que permanecerá inmóvil respecto al satélite. Por este motivo y por su sencillez, se ha optado por un sistema de ejes altazimutal para este proyecto.

## 4 NORMAS Y REFERENCIAS

En este apartado del documento se indica la normativa aplicada a lo largo de la elaboración del proyecto, así como la bibliografía utilizada y cualquier otro tipo de fuente de información consultada.

### 4.1. Disposiciones legales y normas aplicadas

- Reglamento del Trabajo Fin de Grado de la Escuela Universitaria Politécnica para el Grado en Ingeniería Electrónica Industrial y Automática.
- ISO-690
- UNE-EN 50325-4

### 4.2. Bibliografía

- [1] FERNÁNDEZ CARNERO, José L. y SUÁREZ PERDIGÓN, Antonio, *Televisión y radio analógica y digital*. Santiago de Compostela : Televés, 2004.
- [2] MALVINO, Albert Paul, *Principios de electrónica*. México, D.F.: McGraw-Hill, 1986.
- [3] PÉREZ GARCÍA, Miguel A.,ÁLVAREZ ANTÓN, Juan C. y CAMPO RODRÍGUEZ, Juan C., *Instrumentación electrónica*. Madrid, D.F.: Thomson, 2004.
- [4] URBAN, Sean E. y SEIDELMANN, P. Kenneth, *Explanatory supplement to the Astronomical Almanac*. Mill Valley, Calif. : University Science Books, 2013.
- [5] VALLADO, David y MCCLAIN, Wayne D., *Fundamentals of astrodynamics and applications*. Dordrecht : Kluwer Academic Publishers, 2001.
- [6] VALLADO, David [en línea], et al. *Revisiting Spacetrack Report #3*. USA: American Institute of Aeronautics and Astronautics, 2006. [Consulta: 4 Septiembre 2019]. Disponible en: <https://celestrak.com/publications/AIAA/2006-6753/>

### 4.3. Programas de cálculo

- Arduino IDE
- Notepad++
- CodeBlocks
- Pst Rotator

- KiCad
- AutoCAD (licencia de estudiante)
- Microsoft Excel

#### 4.4. Otras referencias

- [7] *3296Y POTENCIOMETRO BOURNS MULTIVUELTA VERTICAL 500K Ohm*. En: Cetronic.es [en línea], 2019. [Consulta: 2 Septiembre 2019]. Disponible en: <https://www.cetronic.es/sqlcommerce/disenos/plantilla1/seccion/producto/DetalleProducto.jsp?idIdioma=&idTienda=93&codProducto=473231016&cPath=992>
- [8] *3296Y POTENCIOMETRO BOURNS MULTIVUELTA VERTICAL 5K Ohm*. En: Cetronic.es [en línea], 2019. [Consulta: 2 Septiembre 2019]. Disponible en: <https://www.cetronic.es/sqlcommerce/disenos/plantilla1/seccion/producto/DetalleProducto.jsp?idIdioma=&idTienda=93&codProducto=473231009&cPath=992>
- [9] *5-Element-12.5-Ohm-2m-Yagi*. Qsl.net [en línea]. 2019. [Consulta: 15 julio 2019]. Disponible en: <https://www.qsl.net/dk7zb/2m-port-SSB/5-Element.htm>
- [10] *Adjustable Resistor 150W Watt 50 Ohm Ceramic Rotary Rheostat*. En: Amazon.com [en línea], 2019.[Consulta: 10 julio 2019]. Disponible en: <https://www.amazon.com/uxcell-Adjustable-Resistor-Ceramic-Rheostat/dp/B008AGVTD8>
- [11] *Antenna beam width calculator*. En: Satsig.net [en línea]. 2019. [Consulta: 15 julio 2019]. Disponible en: <http://www.satsig.net/pointing/antenna-beamwidth-calculator.htm>
- [12] ARDUINO, *Arduino MEGA2560 R3 (ATmega2560)*. En: aliexpress.com [en línea], 2019. [Consulta: 2 Septiembre 2019]. Disponible en: <https://bit.ly/2k2g6ND>
- [13] ARDUINO, *Arduino Reference*. En: Arduino.cc [en línea], 2019. [Consulta: 4 Septiembre 2019]. Disponible en: <https://www.arduino.cc/reference/en/language/variables/data-types/double/>
- [14] ARDUINO, *Arduino - Compare*. En: Arduino.cc [en línea]. 2019. [Consulta: 21 Julio 2019]. Disponible en: <https://www.arduino.cc/en/products.compare>
- [15] ASALE, RAE, **Satélite**. En: Diccionario de la lengua española [en línea]. Madrid: 2019. [Consulta: 10 julio 2019]. Disponible en: <https://dle.rae.es/?id=XKhtxMH>
- [16] Asociación Espacial Mexicana, *Frecuencias de comunicación satelital*. En: Hacia el espacio [en línea]. México: 2019. [Consulta: 10 julio 2019]. Disponible en: <https://haciaelespacio.aem.gob.mx/revistadigital/articul.php?interior=209>

- [17] Asociación Espacial Mexicana, *Órbitas Satelitales*. En: Hacia el espacio [en línea]. México: 2019. [Consulta: 10 julio 2019]. Disponible en: <https://haciaelespacio.aem.gob.mx/revistadigital/articul.php?interior=86>
- [18] Astronomía Sur, *Monturas de Telescopios - Características, modelos, diseños* [en línea]. 2019. [Consulta: 10 julio 2019]. Disponible en: <http://www.astrosurf.com/astronosur/monturas.htm>
- [19] ATMEL, *Atmel ATmega640/V-1280/V-1281/V-2560/V-2561/V*, En: Microchip.com, [en línea], 2019. [Consulta: 1 Septiembre 2019]. Disponible en: [https://ww1.microchip.com/downloads/en/devicedoc/atmel-2549-8-bit-avr-microcontroller-atmega640-1280-1281-2560-2561\\_datasheet.pdf](https://ww1.microchip.com/downloads/en/devicedoc/atmel-2549-8-bit-avr-microcontroller-atmega640-1280-1281-2560-2561_datasheet.pdf)
- [20] *BC557, 557B - General Purpose Transistor*. En: Farnell.com [en línea], 2019. [Consulta: 2 Septiembre 2019]. Disponible en: <http://www.farnell.com/datasheets/296678.pdf>
- [21] BOURNS UNIVERSITY, *Basic Potentiometer Theory*. En: Partnership.bourns.com [en línea]. 2019.[Consulta: 10 julio 2019]. Disponible en: [https://partnership.bourns.com/bu/bu\\_basic\\_pots.shtml](https://partnership.bourns.com/bu/bu_basic_pots.shtml)
- [22] *BORNA CIRCUITO IMPRESO 2 POLOS PASO 5mm*. En: Cetronic.es [en línea], 2019. [Consulta: 2 Septiembre 2019]. Disponible en: <https://www.cetronic.es/sqlcommerce/disenos/plantilla1/seccion/producto/DetalleProducto.jsp?idIdioma=&idTienda=93&codProducto=999019660&cPath=1175>
- [23] *BORNA CIRCUITO IMPRESO 3 POLOS PASO 5mm*. En: Cetronic.es [en línea], 2019. [Consulta: 2 Septiembre 2019]. Disponible en: <https://www.cetronic.es/sqlcommerce/disenos/plantilla1/seccion/producto/DetalleProducto.jsp?idIdioma=&idTienda=93&codProducto=999019661&cPath=1175>
- [24] BRAVO, Roberto, *Tipos de Monturas para un telescopio*. AstroAficion.com [en línea]. 2019. [Consulta: 10 julio 2019]. Disponible en: <https://astroaficion.com/2011/03/04/tipos-de-monturas/>
- [25] *Cable eléctrico 2m, conector M12 4 pin hembra*. En: Ebay.es [en línea], 2019. [Consulta: 2 Septiembre 2019]. Disponible en: [https://www.amazon.es/sourcing-map-el%C3%A9ctrico-Juntura-Conector/dp/B01MUCYAR0/ref=sr\\_1\\_10?\\_\\_mk\\_es\\_ES=%C3%85M%C3%85%C5%BD%C3%95%C3%91&keywords=m12+4+pin&qid=1567441774&s=gateway&sr=8-10](https://www.amazon.es/sourcing-map-el%C3%A9ctrico-Juntura-Conector/dp/B01MUCYAR0/ref=sr_1_10?__mk_es_ES=%C3%85M%C3%85%C5%BD%C3%95%C3%91&keywords=m12+4+pin&qid=1567441774&s=gateway&sr=8-10)
- [26] *Cable USB para arduino*. En: aliexpress.com [en línea], 2019. [Consulta: 2 Septiembre 2019]. Disponible en: <https://bit.ly/2lGqafz>
- [27] *CAN Bus Shield - MCP2515-MCP2551*. En: github.com [en línea], 2019. [Consulta: 2 Septiembre 2019]. Disponible en: [https://github.com/Seeed-Studio/CAN\\_BUS\\_Shield](https://github.com/Seeed-Studio/CAN_BUS_Shield)

- [28] *CelesTrak: Current NORAD Two-Line Element Sets*. En: Celestrak.com [en línea]. 2019. [Consulta: 1 Septiembre 2019]. Disponible en: <https://www.celestrak.com/NORAD/elements/>
- [29] *CIRCUITO INTEGRADO LM324N DIL-14*. En: Cetronic.es [en línea], 2019. [Consulta: 2 Septiembre 2019]. Disponible en: <https://www.cetronic.es/sqlcommerce/disenos/plantilla1/seccion/producto/DetalleProducto.jsp?idIdioma=&idTienda=93&codProducto=92-324&cPath=875>
- [30] *CONDENSADOR CERAMICO MULTICAPA R-5 100K pF 50V*. En: Cetronic.es [en línea], 2019. [Consulta: 2 Septiembre 2019]. Disponible en: <https://www.cetronic.es/sqlcommerce/disenos/plantilla1/seccion/producto/DetalleProducto.jsp?idIdioma=&idTienda=93&codProducto=213004009&cPath=952>
- [31] *CONDENSADOR ELECTROLITICO RADIAL 100uF 35V 6x11 105°*. En: Cetronic.es [en línea], 2019. [Consulta: 2 Septiembre 2019]. Disponible en: <https://www.cetronic.es/sqlcommerce/disenos/plantilla1/seccion/producto/DetalleProducto.jsp?idIdioma=&idTienda=93&codProducto=211004046&cPath=968>
- [32] *CONDENSADOR TANTALO 2.2uF 16V*. En: Cetronic.es [en línea], 2019. [Consulta: 2 Septiembre 2019]. Disponible en: <https://www.cetronic.es/sqlcommerce/disenos/plantilla1/seccion/producto/DetalleProducto.jsp?idIdioma=&idTienda=93&codProducto=214085025&cPath=954>
- [33] *CONECTOR DB9 HEMBRA SUB-D CIRCUITO IMPRESO*. En: Cetronic.es [en línea], 2019. [Consulta: 2 Septiembre 2019]. Disponible en: <https://www.cetronic.es/sqlcommerce/disenos/plantilla1/seccion/producto/DetalleProducto.jsp?idIdioma=&idTienda=93&codProducto=999127200&cPath=567>
- [34] *CONECTOR DB9 MACHO SUB-D ALTA DENSIDAD*. www.cetronic.es [en línea], 2019. [Consulta: 2 Septiembre 2019]. Disponible en: <https://www.cetronic.es/sqlcommerce/disenos/plantilla1/seccion/producto/DetalleProducto.jsp?idIdioma=&idTienda=93&codProducto=999127004&cPath=567>
- [35] COOK, John D., *Latitude doesn't exactly mean what I thought*. En: Johndcook.com [en línea]. 2019. [Consulta: 1 Septiembre 2019]. Disponible en: <https://www.johndcook.com/blog/2011/09/17/latitude-doesnt-exactly-mean-what-i-thought/>
- [36] CORONADO RODRÍGUEZ, A y MOUMTADI, F, *Metodología para la obtención del patrón de radiación y prueba de aislamiento en sistemas de comunicaciones vía satélite*. En: Scielo.org.mx [en línea]. México: 2019. [Consulta: 14 julio 2019]. Disponible en: [http://www.scielo.org.mx/scielo.php?script=sci\\_arttext&pid=S1405-77432006000400005](http://www.scielo.org.mx/scielo.php?script=sci_arttext&pid=S1405-77432006000400005)

- [37] CSS ELECTRONICS, *CANopen Explained - A Simple Intro*. En: csselectronics.com [en línea]. 2019. [Consulta: 1 Agosto 2019]. Disponible en: <https://www.csselectronics.com/screen/page/canopen-tutorial-simple-intro/language/en>
- [38] *CUBIERTA CONECTOR DB9 SUB-D TORNILLO LARGO*. En: Cetronic.es [en línea], 2019. [Consulta: 2 Septiembre 2019]. Disponible en: <https://www.cetronic.es/sqlcommerce/disenos/plantilla1/seccion/producto/DetalleProducto.jsp?idIdioma=&idTienda=93&codProducto=999019192&cPath=567>
- [39] *Diagramas de radiacion*. En: Upv.es [en línea]. 2019. [Consulta: 14 julio 2019]. Disponible en: [http://www.upv.es/antenas/Tema\\_1/diagramas\\_de\\_radiacion.htm](http://www.upv.es/antenas/Tema_1/diagramas_de_radiacion.htm)
- [40] *DIODO RAPIDO 1N4148 75V 0.3A DO-35*. En: Cetronic.es [en línea], 2019. [Consulta: 2 Septiembre 2019]. Disponible en: <https://www.cetronic.es/sqlcommerce/disenos/plantilla1/seccion/producto/DetalleProducto.jsp?idIdioma=&idTienda=93&codProducto=71-1N4148&cPath=970>
- [41] *DIODO RECTIFICADOR 1N4007 1000V 1A DO-41*. En: Cetronic.es [en línea], 2019. [Consulta: 2 Septiembre 2019]. Disponible en: <https://www.cetronic.es/sqlcommerce/disenos/plantilla1/seccion/producto/DetalleProducto.jsp?idIdioma=&idTienda=93&codProducto=71-1N4007&cPath=970>
- [42] *DISIPADOR TERMICO TO-220*. En: Cetronic.es [en línea], 2019. [Consulta: 2 Septiembre 2019]. Disponible en: <https://www.cetronic.es/sqlcommerce/disenos/plantilla1/seccion/producto/DetalleProducto.jsp?idIdioma=&idTienda=93&codProducto=999019025&cPath=540>
- [43] *Display retroiluminado LCD2004 VERDE 20x04 LCM2004A*. En: Ebay.es [en línea], 2019. [Consulta: 2 Septiembre 2019]. Disponible en: <https://bit.ly/2m1wizs>
- [44] *E6F-AG5C-C 256 2M - ABSOLUTE ROTARY ENCODER, 256CPR, 12-24V*. En: Farnell.com [online]. 2019.[Consulta: 11 julio 2019]. Disponible en: <https://es.farnell.com/omron-industrial-automation/e6f-ag5c-c-360-2m/absolute-rotary-encoder-360cpr/dp/2948833?st=E6F-AG5C-C>
- [45] *E6F-AG5C 360 2M Omron Automation and Safety*. En: Mouser Electronics [en línea]. 2019.[Consulta: 11 julio 2019]. Disponible en: <https://www.mouser.es/ProductDetail/Omron-Automation-and-Safety/E6F-AG5C-360-2M?qs=sGAEpiMZZMs%252BIv%2FVy7pdwVU28emBJyzB0mB9n%2F7qxDY%3D>
- [46] *Equatorial mount Telescope mount Diagram Celestial equator*. En: Kisspng.com [en línea]. 2019. [Consulta: 10 julio 2019]. Disponible en: <https://www.kisspng.com/png-equatorial-mount-telescope-mount-diagram-celestial-2138447/>
- [47] European Space Agency, *Satellite frequency bands*. En: ESA [en línea]. 2018. [Consulta: 10 julio 2019]. Disponible en: [https://www.esa.int/Our\\_Activities/Telecommunications\\_Integrated\\_Applications/Satellite\\_frequency\\_bands](https://www.esa.int/Our_Activities/Telecommunications_Integrated_Applications/Satellite_frequency_bands)

- [48] *GPS, cadenas NMEA y máquinas de estados finitos en Arduino*. En: Fuenteabierta.teubi.co [en línea]. San Salvador: 2015. [Consulta: 2 Septiembre 2019]. Disponible en: <http://fuenteabierta.teubi.co/2015/02/gps-cadenas-nmea-y-maquinas-de-estados.html>
- [49] *GPS - NMEA sentence information*. En: Aprs.gids.nl [en línea]. 2019. [Consulta: 2 Septiembre 2019]. Disponible en: <http://aprs.gids.nl/nmea/#rmc>
- [50] *GY-NEO6MV2 NEO-6M GPS Module Board with Antenna for Arduino and Raspberry Pi*. En: Ebay.es [en línea]. 2019. [Consulta: 20 Julio 2019]. Disponible en: <https://bit.ly/2lznfWg>
- [51] HENRY, Michael F., *The OrbitTools Libraries. NORAD SGP4/SDP4 Implementations in C++ and C#*. En: zeptomoby.com [en línea], 2019. [Consulta: 4 Septiembre 2019]. Disponible en: <http://www.zeptomoby.com/satellites/>
- [52] KELSO, T.S., *Orbital Coordinate Systems, Part 1*. En: Satellite Times [en línea]. 1995. [Consulta: 1 Septiembre 2019]. Disponible en: <https://celestrak.com/columns/v02n01/>
- [53] KELSO, T.S., *Orbital Coordinate Systems, Part 2*. En: Satellite Times [en línea], 1995. [Consulta: 1 Septiembre 2019]. Disponible en: <https://celestrak.com/columns/v02n02/>
- [54] KELSO, T.S., *CelesTrak: Orbital Coordinate Systems, Part 3*. En: Satellite Times [en línea], 1995. [Consulta: 1 Septiembre 2019]. Disponible en: <https://celestrak.com/columns/v02n03/>
- [55] *KIT TIRAS DE PINES COMPATIBLES CON ARDUINO REV3* En: Cetronic.es [en línea], 2019. [Consulta: 2 Septiembre 2019]. Disponible en: <https://www.cetronic.es/sqlcommerce/disenos/plantilla1/seccion/producto/DetalleProducto.jsp?idIdioma=&idTienda=93&codProducto=999334116&cPath=1342>
- [56] *LED AMARILLO 5mm*. En: Cetronic.es [en línea], 2019. [Consulta: 2 Septiembre 2019]. Disponible en: <https://www.cetronic.es/sqlcommerce/disenos/plantilla1/seccion/producto/DetalleProducto.jsp?idIdioma=&idTienda=93&codProducto=84-5A&cPath=1158>
- [57] LLAMAS, Luis, *Localización GPS con Arduino y los módulos GPS NEO-6*. En: Luisllamas.es [en línea], 2019. [Consulta: 2 Septiembre 2019]. Disponible en: <https://www.luisllamas.es/localizacion-gps-con-arduino-y-los-modulos-gps-neo-6/>
- [58] *MCP2515 CAN BUS Shield Controller SPI Communication Speed High Arduino*. En: Bay.com [en línea]. 2019. [Consulta 20 Agosto 2019]. Disponible en: <https://bit.ly/2k7h4Za>



- [59] MICROCHIP, *MCP2515*. En: Microchip.com [en línea]. 2019. [Consulta: 2 Septiembre 2019]. Disponible en: <http://ww1.microchip.com/downloads/en/DeviceDoc/MCP2515-Stand-Alone-CAN-Controller-with-SPI-20001801J.pdf>
- [60] MICROCHIP, *MCP2551*. En: Microchip.com [en línea], 2019. [Consulta: 2 Septiembre 2019]. Disponible en: <http://ww1.microchip.com/downloads/en/devicedoc/21667e.pdf>
- [61] *Modelo OSI, niveles de modelo, comunicación de redes - Redes informáticas 2016 JFC*. En: Sites.google.com [en línea]. 2019. [Consulta: 1 Agosto 2019]. Disponible en: <https://sites.google.com/site/redesinformaticas2016jfc/transmision-de-datos-en-las-redes/modelo-osi-niveles-de-modelo-comunicacion-de-redes>
- [62] NASA, *Human Space Flight (HSF) - Realtime Data*. En: Spaceflight.nasa.gov [en línea]. 2019. [Consulta: 1 Septiembre 2019]. Disponible en: [https://spaceflight.nasa.gov/realdata/sightings/SSApplications/Post/JavaSSOP/SSOP\\_Help/tle\\_def.html](https://spaceflight.nasa.gov/realdata/sightings/SSApplications/Post/JavaSSOP/SSOP_Help/tle_def.html)
- [63] *Orbital elements*. En: Wikipedia: The Free Encyclopedia [en línea], 2019. [Consulta: 1 Septiembre 2019]. Disponible en: [https://en.wikipedia.org/wiki/Orbital\\_elements](https://en.wikipedia.org/wiki/Orbital_elements)
- [64] *PULSADOR DE MEMBRANA B3F-4050*. En: Cetronic.es [en línea], 2019. [Consulta: 2 Septiembre 2019]. Disponible en: <https://www.cetronic.es/sqlcommerce/disenos/plantilla1/seccion/producto/DetalleProducto.jsp?idIdioma=&idTienda=93&codProducto=484351001&cPath=1014>
- [65] *¿Qué es y para qué sirve una Antena?*. En: Artchist.blogspot.com [en línea]. 2019. [Consulta: 14 julio 2019]. Disponible en: <http://artchist.blogspot.com/2019/04/que-es-y-para-que-sirve-una-antena.html>
- [66] *REGULADOR FIJO 7805 +5V 1A TO-220*. En: Cetronic.es [en línea], 2019. [Consulta: 2 Septiembre 2019]. Disponible en: <https://www.cetronic.es/sqlcommerce/disenos/plantilla1/seccion/producto/DetalleProducto.jsp?idIdioma=&idTienda=93&codProducto=86-7805CT&cPath=980>
- [67] *Rele 5v 10A SPDT - SRD-05VDC-SL-C*. En: Ebay.es [en línea], 2019. [Consulta: 2 Septiembre 2019]. Disponible en: [https://www.ebay.es/itm/Rele-5v-10A-SPDT-SRD-05VDC-SL-C-Arduino-Electronica-DIY/222667235276?ssPageName=STRK%3AMEBIDX%3AIT&\\_trksid=p2060353.m2749.l2649](https://www.ebay.es/itm/Rele-5v-10A-SPDT-SRD-05VDC-SL-C-Arduino-Electronica-DIY/222667235276?ssPageName=STRK%3AMEBIDX%3AIT&_trksid=p2060353.m2749.l2649)
- [68] *RESISTENCIA CARBON 1/4W 5%*. En: Cetronic.es [en línea], 2019. [Consulta: 2 Septiembre 2019]. Disponible en: <https://www.cetronic.es/sqlcommerce/disenos/plantilla1/seccion/producto/DetalleProducto.jsp?idIdioma=&idTienda=93&codProducto=512310001&cPath=921>

- [69] *Solar/Sidereal Days*. En: Celestialnorth.org [en línea]. 2019. [Consulta: 1 Septiembre 2019]. Disponible en: [http://www.celestialnorth.org/FAQtoids/dazed\\_about\\_days\\_\(solar\\_and\\_sidereal\).htm](http://www.celestialnorth.org/FAQtoids/dazed_about_days_(solar_and_sidereal).htm)
- [70] *T-series manual 11551*. En: TWK-ELEKTRONIK GmbH [en línea]. Alemania: 2019. [Consulta: 2 Septiembre 2019]. Disponible en: <https://www.twk.de/en/support-and-service/documentation/9027/t-series-manual-11551?number=SW10217>
- [71] *Teclado matricial 4x4*. En: Ebay.es [en línea], 2019. [Consulta: 2 Septiembre 2019]. Disponible en: <https://bit.ly/2k2yHsW>
- [72] TEXAS INSTRUMENTS, *lm324-n*. En: www.ti.com [en línea], 2019. [Consulta: 1 Septiembre 2019]. Disponible en: <http://www.ti.com/lit/ds/symlink/lm324-n.pdf>
- [73] TEXAS INSTRUMENTS, *LM340,LM340A and LM7805 Family Wide VIN 1.5-A Fixed VoltageRegulators*. En: Texas Instrumenrs [en línea], 2019. [Consulta: 3 Septiembre 2019]. Disponible en: <http://www.ti.com/lit/ds/symlink/lm7800.pdf>
- [74] *TRANSISTOR BC557 PNP 50V 0.1A 0.5W 150MHz TO-92*. En: Cetronic.es [en línea], 2019. [Consulta: 2 Septiembre 2019]. Disponible en: <https://www.cetronic.es/sqlcommerce/disenos/plantilla1/seccion/producto/DetalleProducto.jsp?idIdioma=&idTienda=93&codProducto=70-BC557&cPath=881>
- [75] *TWK-Elektronik TBN 50-SA 2048R C2 S N14 Absolute Encoder*. En: Ebay.es [en línea]. 2019. [Consulta: 12 julio 2019]. Disponible en: <https://www.ebay.es/itm/TWK-Elektronik-TBN-50-SA-2048R-C2-S-N14-Absolute-Encoder/382299568664?hash=item5902d47a18:g:UykAA0SwcLxbcc6g>
- [76] VALLADO, David, *Astrodynamics Software*. En: Celestrak.com [en línea], 2018. [Consulta: 5 Septiembre 2019]. Disponible en: <https://www.celestrak.com/software/vallado-sw.php>
- [77] WIKIPEDIA, *Anomalía media*. En: Wikipedia: The Free Encyclopedia [en línea], 2019. [Consulta: 1 Septiembre 2019]. Disponible en: <https://es.wikipedia.org/wiki/Anomal>
- [78] WIKIPEDIA, *Antena*. En: Wikipedia: The Free Encyclopedia [en línea]. 2019. [Consulta: 14 julio 2019]. Disponible en: [https://es.wikipedia.org/wiki/Antena#Diagrama\\_de\\_radiaci%C3%B3n](https://es.wikipedia.org/wiki/Antena#Diagrama_de_radiaci%C3%B3n)
- [79] WIKIPEDIA, *Azimuth*. En: Wikipedia: The Free Encyclopedia [en línea]. 2019. [Consulta: 10 julio 2019]. Disponible en: <https://en.wikipedia.org/wiki/Azimuth>
- [80] WIKIPEDIA, *CANopen*. En: Wikipedia: The Free Encyclopedia [en línea]. 2019. [Consulta: 1 Agosto 2019]. Disponible en: <https://en.wikipedia.org/wiki/CANopen>

- [81] WIKIPEDIA, *Nutación*. En: Wikipedia: The Free Encyclopedia [en línea]. 2019. [Consulta: 1 Septiembre 2019]. Disponible en: <https://es.wikipedia.org/wiki/Nutaci%C3%B3n>
- [82] *ZENER BZX85C 5V6 1W*. En: Cetronic.es [en línea], 2019. [Consulta: 2 Septiembre 2019]. Disponible en: <https://www.cetronic.es/sqlcommerce/disenos/plantilla1/seccion/producto/DetalleProducto.jsp?idIdioma=&idTienda=93&codProducto=75-Z5V6&cPath=973>
- [83] *Zener diode*. En: Blog.fossasia.org [en línea]. 2019. [Consulta: 13 julio 2019]. Disponible en: <https://blog.fossasia.org/tag/zener-diode/>

## 5 DEFINICIONES Y ABREVIATURAS

- **A/D:** Analógico/Digital
- **AEM** Agencia Espacial Mexicana
- **AFSPC:** Air Force Space Command
- **ASCII:** American Standard Code for Information Interchange
- **CANopen:** Protocolo de comunicaciones industriales
- **ECI:** Earth Centered Inertial
- **ESA** European Space Agency
- **GPS:** Global Positioning System
- **HMI:** Human-Machine Interface
- **IDE:** Integrated Development Environment
- **ISS:** International Space Station
- **JD:** Julian Day
- **NASA:** National Aeronautics and Space Administration
- **NEZ:** Norte Este Zenit
- **NMEA:** National Marine Electronics Association
- **NORAD:** North American Aerospace Defense Command
- **LCD:** Liquid Crystal Display
- **LEO:** Low Earth Orbit
- **PCB:** Printed Circuit Board
- **PDO:** Process Data Object
- **Punto Aries:** punto imaginario en el espacio sobre la línea de intersección del plano ecuatorial y el plano de la órbita de la Tierra alrededor del Sol, o eclíptica en el equinoccio vernal
- **PWM:** Pulse-Width Modulation
- **SEZ:** Sur Este Zenit

- **Shield:** placa de circuito que se acopla sobre la placa de Arduino, ampliando sus funcionalidades
- **SYNC:** Synchronization object
- **TEME:** True Equator Mean Equinox
- **TLE:** Two Line Elements
- **UIT:** Unión Internacional de Telecomunicaciones
- **UT:** Universal Time
- **UT1:** Universal Time 1
- **UTC:** Universal Time Coordinated
- **VSAT:** Very Small Aperture Terminal

## 6 REQUISITOS DE DISEÑO

Para implementar correctamente este proyecto deben cumplirse los siguientes requisitos de diseño:

- Leer y decodificar la trama ASCII recibida por puerto serie en formato Easycomm para obtener los ángulos de azimut y elevación a los que debemos direccionar las antenas.
- Cálculo de estos ángulos de azimut y elevación de manera autónoma por el sistema en base a los parámetros keplerianos del satélite.
- Lectura de la señal GPS para obtener el instante y el lugar de observación de manera exacta, parámetros necesarios para los cálculos keplerianos.
- Selección del modo de funcionamiento del sistema a través de una interfaz con el usuario, formada por una pantalla LCD y un sistema de menús, a través de los cuales el usuario podrá moverse mediante una serie de pulsadores.
- En los modos de funcionamiento anteriores deben incluirse
  - Lectura de la posición de apuntamiento por puerto serie.
  - Cálculo de manera autónoma de posición de apuntamiento.
  - Setup inicial que permita configurar determinados aspectos del sistema.
  - Calibración de ambos motores.
- Lectura de la posición de las antenas. Esta podrá ser:
  - Mediante dos potenciómetros analógicos multivuelta solidarios al eje de los motores. La señal procedente de dichos potenciómetros deberá ser adecuadamente acondicionada antes de ser conectada a la placa Arduino.
  - Mediante dos encoders absolutos con protocolo de comunicación industrial CANOpen.
- El sistema dispondrá también de un modo de funcionamiento que proporcione la opción de mover ambas antenas manualmente:
  - Establecimiento de un ángulo determinado por consigna introducida a través de un teclado matricial.
  - De forma completamente manual mediante la pulsación de teclas.

## 7 ANÁLISIS DE LAS SOLUCIONES

En este apartado se expondrán las diferentes soluciones barajadas para cada uno de los aspectos del proyecto que se describen en los requisitos de diseño del capítulo 6.

### 7.1. Posición de satélites

Como es obvio, es necesario conocer la posición del satélite con respecto a la posición del observador en todo momento para poder realizar el seguimiento.

Una opción para obtener dicha posición es la de utilizar un software externo al microcontrolador. La otra vía posible es la de realizar los cálculos software de posición de manera autónoma a través del microcontrolador.

#### 7.1.1. Software externo

En esta opción se dispondrá de un software externo al microcontrolador que comunique en todo momento a este último los parámetros necesarios de posición del satélite a través de puerto serie en forma de una trama de caracteres ASCII.

El cálculo de la posición satelital requiere de diversos parámetros de corrección y actualización de manera frecuente (excentricidad de la órbita, deriva de la órbita terrestre, etc). La principal ventaja de utilizar este software es que, además de evitar al microcontrolador realizar todos los cálculos necesarios, lo que requiere una cierta potencia de cálculo, se mantiene siempre actualizado y con las correcciones pertinentes aplicadas.

Existen diversos formatos de trama para transmitir los parámetros de la posición del satélite, como el GS232 o el Easycom. Este último será el que se empleará en nuestro sistema, ya que es un formato que ha sido utilizado desde los años 80, y es soportado por casi todo el software de seguimiento de satélites.

En cuanto al programa que proporcionará la posición del satélite, a pesar de que existen diversas opciones de software gratuito, se ha seleccionado el PstRotator, un software actual y completo, cuyo precio es meramente simbólico. No obstante, sería perfectamente válido cualquier otro software que proporcione la posición del satélite por puerto serie en formato Easycom.

#### 7.1.2. Cálculo autónomo

En esta opción, el cálculo de la posición del satélite con respecto al observador en la Tierra se realizará de manera autónoma por el microcontrolador.

La forma más común de realizar dicho cálculo es a través de los parámetros keplerianos del satélite, disponibles en bases de datos en línea, como la del NORAD [28].

Estos datos suelen presentarse en formato TLE (Two Line Elements), de manera que será necesario decodificarlos y hacer los cálculos correspondientes en base a los mismos para

obtener la posición del satélite.

En contraste con lo mencionado en el apartado anterior, esta opción elimina la dependencia del PC. No obstante, sí es cierto que los cálculos a realizar presentan cierta exigencia en lo que a potencia de procesamiento se refiere.

Además, tal como se explica en el apartado anterior, estos datos TLE son corregidos y actualizados frecuentemente, por lo que sería conveniente la posibilidad de actualizarlos en el microcontrolador, ya sea a través de una memoria externa, a través de puerto serie o a través una conexión directa con la base de datos en la Web. Concretamente para este proyecto se ha optado por la grabación de los datos en la memoria EEPROM del microcontrolador a través de puerto serie.

Cabe destacar que, para poder realizar los cálculos keplerianos, es necesario conocer con exactitud la localización del observador en la Tierra, así como la fecha y la hora. Para esto utilizaremos un receptor GPS que nos proporcione dichos datos. La solución más común para receptores GPS en microcontroladores es módulo receptor GPS GY-NEO6MV2, con un precio aproximado de 5€.



Figura 7.1 – ebay. GY-NEO6MV2 NEO-6M GPS Module Board with Antenna [50]

## 7.2. Motores

Normalmente, para este tipo de sistemas se utilizan motores de corriente continua, ya que, por norma general, son más sencillos de controlar, aunque en sistemas de antenas de grandes dimensiones, que necesiten motores de elevada potencia, podrían requerirse motores de corriente alterna.

Dado que el objetivo de este proyecto es la escalabilidad del mismo, se aportará una solución para las dos variedades de motor. Por lo tanto, se proporciona, por un lado, una señal PWM y, por otra parte, esa misma señal PWM filtrada para poder ser utilizada como señal de control del variador de frecuencia, , como se describe en la sección 7.5.

Esta última señal será una tensión continua de 0V a 5V. En caso de que la señal de control del variador de frecuencia necesite otro rango de voltaje, se delega la adaptación de tensiones al usuario final del sistema.



Además, se añadetambién un circuito de relés de contactos libres de potencial, para poder determinar el sentido de giro de cada motor y actuar sobre el freno del mismo. Serán disponen, por tanto, 3 relés por cada motor: un relé para cada sentido de giro más un relé adicional para activar y desactivar el freno del motor (en caso de tenerlo).

### 7.3. Realimentación de la posición de los motores

A la hora de realizar la realimentación de la posición de los motores distinguimos dos opciones:

- Potenciómetros
- Encoders

#### 7.3.1. Realimentación mediante potenciómetros

Una posible manera de obtener la posición de un motor es a través de la lectura analógica de la tensión en el cursor de un potenciómetro.

Se incorpora a este proyecto la posibilidad de utilizar este tipo de realimentación para dotar al mismo de retrocompatibilidad, ya que, los equipos antiguos utilizados para este tipo de aplicaciones, emplean normalmente este modo de realimentación.

Para el montaje de la maqueta del proyecto se utilizarán motores que incluyen sus propios potenciómetros, por lo que no será necesario seleccionar un tipo concreto.

Sin embargo, en esta sección se realiza un breve análisis de las distintas opciones, y cuál de ella es la que mejor se adapta a las necesidades del proyecto.

Existe una amplia variedad de potenciómetros disponibles, de mayor o menor tolerancia resistiva, respuestas más o menos lineales, distintas potencias soportadas, ruido generado, etc. Pero antes de analizar este tipo de características eléctricas del producto, describiremos brevemente una serie de características de carácter más general.

La primera clasificación a la que se debe atender divide a los potenciómetros en rotativos o de desplazamiento lineal, siendo la primera opción la necesaria para este proyecto.

Debe tenerse en cuenta también la composición del elemento resistivo por el que se desplaza el cursor, como se muestra a continuación [3, 21]:

- No bobinados:
  - Plástico conductivo
  - Cermet
  - Carbón
  - Híbridos

- De hilo bobinado: en este caso, el elemento resistivo, tal como sugiere su propio nombre, es un hilo arrollado en torno a un soporte. Su respuesta ante cambios de temperatura es excelente, además de ofrecer buenos rangos de potencia, larga vida útil, y poca distorsión de la señal por ruido.

Por otra parte, al tratarse de un hilo bobinado, el cursor no podrá desplazarse de manera completamente continua sobre él, ya que el bobinado presenta una serie de saltos entre espira y espira. Es decir, el funcionamiento es similar al de un codificador digital de tantos bits como saltos de espira haya en el potenciómetro. Esto supone una desventaja en caso de utilizar señales de alterna debido a las pequeñas capacidades e inductancias que pueden aparecer debidas al elemento bobinado. No obstante, en este proyecto, el potenciómetro soportará únicamente corriente continua, eliminando así este último problema [3].



**Figura 7.2** – Amazon. Wirewound potenciómeter [10]

Existe una variedad de potenciómetros que se caracterizan por su buena respuesta en aspectos como linealidad, resolución, ruido y vida rotacional útil. Son los potenciómetros de precisión, que suelen del tipo de hilo bobinado y, en muchos casos, poseen mayores dimensiones, siendo esto una ventaja en lo que a nuestro proyecto se refiere. Por otro lado, consecuentemente a esta serie de características descritas, sus precios suelen ser también más elevados.

Se pueden encontrar también potenciómetros de precisión multivuelta, que ofrecen una mayor precisión ya que, con la multiplicación o desmultiplicación adecuada, puede conseguirse que una vuelta completa de la antena de  $0^\circ$  a  $360^\circ$  se corresponda con el número de vueltas que permite el potenciómetro.

Puede concluirse entonces que los potenciómetros que mejor se adaptan al proyecto son estos últimos, potenciómetros de precisión bobinados y, también, multivuelta.

### 7.3.2. Realimentación mediante encoders

Otra manera de obtener la posición del motor es a través de encoders rotativos. En contraste con el modo de realimentación por nivel de tensión analógica, los encoder son la opción potencialmente más precisa, aunque también más cara.

Estos dispositivos traducen la posición angular del eje de rotación a un código de pulsos digitales, dependiendo de la resolución.

Ahora bien, la manera de proporcionar la posición angular puede ser absoluta o relativa, según sean encoders absolutos o incrementales, respectivamente.

Los primeros, como su nombre indica, proporcionan la posición de manera absoluta, cada posición del eje de rotación se corresponde con un código binario determinado.

En contraste, los incrementales no proporcionan una posición angular absoluta, sino que generan pulsos binarios con cada unidad de desplazamiento. Esta unidad de desplazamiento dependerá de la resolución del encoder. Esto significa que, para identificar la posición angular, será necesario establecer un punto de referencia inicial que se tomará como posición cero, a partir de la cual la posición se irá incrementando con cada pulso del encoder.

Teniendo en cuenta lo anterior, y sabiendo que este sistema de seguimiento de satélites es un sistema considerablemente lento, ya que, incluso los satélites más rápidos de órbita más baja, tardan más de una hora en completar una vuelta completa en torno a la Tierra (de la cual sólo podremos seguir durante una porción de la misma), se deduce también que el movimiento de los motores debe de ser lento.

Esto se traduce en que, en caso de un error en la lectura de la posición durante el seguimiento, sería necesario calibrar de nuevo el sistema enviando los motores hasta su posición de paso por cero y, dado que se trata de un sistema con movimiento de motores lento, supondría un proceso que perdería mucho tiempo. Es por esto que un encoder absoluto se adapta mejor a las necesidades de este proyecto.

Sin embargo, al consultar en distribuidores como Farnell o Mouser, se observa que los encoders industriales, con cierta robustez mecánica, ascienden a precios excesivamente elevados para la naturaleza de nuestro proyecto, como se ha comentado en el alcance del proyecto del capítulo 2.

Un buen ejemplo de esto es el encoder absoluto del fabricante Omron E6F-AG5C-C [45, 44], un encoder rotativo absoluto de código gray con un precio de 976,0€ en Farnell y 580,87€ en Mouser.

**E6F-AG5C 360 2M**

**OMRON AUTOMATION**

Mouser REF: 653-E6F-AG5C3602M  
 Fabr. N.º: E6F-AG5C 360 2M  
 Fabr.: Omron Automation and Safety  
 Ref. Cliente: Ref. Cliente  
 Descripción: Controladores ABS 12-24VDC NPN Pre wire Grey  
 Hoja de datos: E6F-AG5C 360 2M Hoja de datos

En existencias: 4  
 Existencias: 4 Puede enviarse inmediatamente  
 Pedido: 0  
 Mínimo: 1 Múltiples: 1  
 Introducir cantidad:  **Comprar**

Este producto se envía de forma **GRATUITA**

**Precio (EUR)**

Cant.	Precio unitario	Precio total
1	580,87 €	580,87 €
5	579,93 €	2.899,65 €

Figura 7.3 – Mouser [45]

**Farnell AN AVNET COMPANY**

Todos E6F-AG5C-C

Un cambio en la marca Farnell Ofertas Contacte con nosotros Ayuda Seguimiento de pedidos

Inicio > Sensores y Transductores > Codificadores > Codificadores Absolutos > E6F-AG5C-C 360 2M

**E6F-AG5C-C 360 2M - ABSOLUTE ROTARY ENCODER, 360CPR, 12-24V**

**OMRON**

Fabricante: OMRON INDUSTRIAL AUTOMATION  
 Referencia del fabricante: E6F-AG5C-C 360 2M  
 Código Farnell: 2948833  
 Hoja de datos técnicos: E6F-AG5C-C 360 2M Datasheet  
 Vea todos los documentos técnicos

Esperando entrega (Disponibles para pedidos pendientes según los plazos de entrega que se muestran)  
 Disponible para pedidos pendientes según los plazos de entrega mostrados

Stock de EE. UU. **0**  
 Costes de envío: 18€ por pedido.  
 Plazo de entrega de 3 días laborables para los productos disponibles en stock  
 Revisar disponibilidad y plazos de entrega

961,00 €  
 Precio para: Cada  
 Múltiplo: 1 Mínimo: 1

Cantidad	Precio
1+	961,00 €
5+	892,00 €
10+	860,00 €
25+	829,00 €

Información del producto

Tensión de Alimentación Mín.: 12VDC  
 Tensión de Alimentación Máx.: 24VDC  
 Velocidad de Rotación Máx.: -

Resolución de Codificador: 360CPR  
 Rango de Producto: E6F-A Series

Figura 7.4 – Farnell [44]

Su resolución es de 9 bits,  $2^9 = 512$ , sin embargo, en la hoja de características se especifica que la resolución es únicamente de 360, es decir, presenta una precisión de  $1^\circ$ .

Este mismo modelo se ha conseguido de segunda mano para el proyecto por un precio bastante inferior al anteriormente indicado, pero excesivamente elevado de todas formas. Además, se ha verificado que dicho encoder, a pesar del elevado precio, llegó defectuoso.

En la búsqueda de este encoder de segunda mano se ha encontrado otro modelo de precio considerablemente más asequible que el anterior, además de ofrecer mayor resolución. Se trata del encoder absoluto TBN 50-SA 2048R C2 S N14 del fabricante alemán TWK-Electronik que se ha conseguido a través de eBay por un precio de 20,99€ [75].

Comprar por categoría

Buscar cualquier artículo

Todas las categorías

Buscar Avanzada

Volver a los resultados de búsqueda | En la categoría: Equipamiento y maquinaria > Equipamiento eléctrico > Otros

Garantía al cliente de eBay

Más información →

\*Ver Términos y condiciones

**TWK-Elektronik TBN 50-sa 2048r c2 s n14 codificador absoluta** - ver título original

★★★★★ Sé el primero en escribir una opinión.

Estado: **Usado**

Cantidad:  389 disponible(s)  
26 vendidos / Ver votos

20,99 EUR

¡Cómpralo ya!

Añadir a la cesta

Hacer oferta

➔ Añadir a lista de seguimiento

Satisfacción del comprador 100%

26 vendidos

12 seguidores

Garantía al cliente de eBay

- Servicio de Atención al cliente por teléfono, chat, email.
- Reembolso si no recibes lo que habías pedido y pagas con PayPal o una tarjeta de crédito procesada con PayPal.
- Gestión simplificada de tus devoluciones.

Ver términos y condiciones. Tus derechos como consumidor no se ven afectados.

Vendedor excelente

elektro-technik-grote (11530)

100% Votos positivos

- Recibe constantemente valoraciones más altas de los compradores
- Envía los artículos con rapidez
- Tiene un historial de servicio excelente

¿Quieres vender uno? Véndelo tú mismo

Figura 7.5 – Encoder TWK [75]

Este encoder posee 12 bits de resolución, lo que significa que tendremos una precisión de  $2^{12} = 4096$ , es decir, 0,09° de precisión. Está basado en el protocolo de comunicación CANopen, por lo tanto su lectura no será trivial, y requerirá un estudio del protocolo para lograr la comunicación con el microcontrolador.

Dado su bajo precio y su alta precisión, se convierte en la mejor opción para implementar en este proyecto.

Por otro lado, puesto que este encoder está basado en el protocolo de comunicación CANopen, es necesaria una interfaz entre el bus de comunicación de CANopen y el microcontrolador Arduino. Se utilizará el Shield de comunicaciones de bus CAN para Arduino.

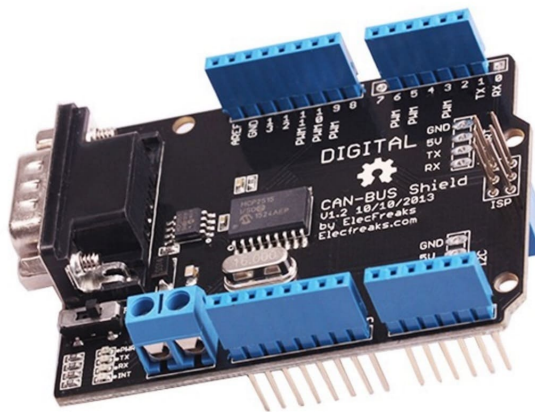


Figura 7.6 – ebay. MCP2515 CAN Shield Controller [58]

## 7.4. Acondicionamiento analógico de los potenciómetros

Para poder leer adecuadamente la posición de las antenas a través de potenciómetros, es necesario diseñar un circuito analógico de acondicionamiento de señal que optimice el funcionamiento del conversor A/D del microcontrolador, de manera que la tensión de entrada de este último se encuentre siempre en el rango óptimo para la conversión analógico/digital, independientemente del rango de voltaje de entrada al circuito de acondicionamiento (siempre que este se encuentre dentro de las limitaciones del circuito).

En la sección 8.3.1 se ofrece una breve descripción del funcionamiento de dicho circuito. Por otra parte, el cálculo de todos los componentes del circuito analógico se realiza en el capítulo 11 (anexo de cálculos).

## 7.5. Control de posición y velocidad

El propósito de la realimentación de la posición de las antenas no es otro que poder controlar el movimiento de los motores de manera que apunten en todo momento a la posición del satélite.

Este control de velocidad se basará en un arranque y una frenada de carácter lento, ya que los cambios bruscos de potencia son perjudiciales para los motores eléctricos y para la propia estructura del sistema, especialmente si se trata de motores de alta potencia, como sería el caso de un radiotelescopio o de antenas de grandes dimensiones. Además, estos cambios bruscos de potencia provocarían vibraciones en antenas como las que se pretenden utilizar.

Se realizará el cálculo por software de una señal PWM en función de la posición actual y la posición de consigna.

## 7.6. Interfaz con el usuario

De nuevo, tal como se especifica en los requisitos de diseño del capítulo 6, el sistema debe contar con una interfaz con el usuario que permita a este último pueda visualizar los parámetros necesarios del sistema, desplazarse por los distintos menús, etc.

Se dispondrá de:

- Un display LCD (20x4)
- 5 pulsadores, que servirán tanto para desplazarse por los menús como para el movimiento manual de los motores.
- Un teclado matricial de 4x4, necesario para introducir manualmente consignas de posición para los motores.

## 7.7. Selección del microcontrolador

Los requisitos de diseño del capítulo 6 restringen la selección del microcontrolador a la plataforma Arduino por su fácil acceso para todo tipo de usuarios. En la tabla de la figura 7.7 se muestran las distintas opciones que ofrece la plataforma Arduino.

En primer lugar se realiza un recuento de las entradas y salidas necesarias, tanto analógicas como digitales:

- Circuito de acondicionamiento analógico: 2 entradas analógicas para los potenciómetros de posición de los motores.
  
- Placa de relés: 6 salidas digitales para el control de los relés (una salida digital por cada relé).
  
- Control de velocidad: dos pines digitales para PWM, una por cada motor.
  
- Interface con el usuario:
  - Teclado: 8 pines digitales para el teclado matricial de 4x4.
  - Botonera: 5 pines digitales, uno por cada pulsador.
  - Display LCD: 7 pines digitales, utilizando el modo de transmisión de 4 hilos para utilizar el menor número de pines.
  
- Comunicación con encoders: Se ha indicado en la sección 7.3 que se utilizarán encoders basados el protocolo de comunicación CANopen, por lo que será necesario una interfaz entre el bus de comunicaciones CAN y el microcontrolador Arduino. Esta comunicación se realizará a través del bus SPI, utilizando así 4 pines digitales: MISO, MOSI, SCK y un pin adicional, SS, que funcionará como chip select del Shield de comunicaciones CAN para Arduino.
  
- Receptor GPS: La comunicación entre el receptor GPS y el microcontrolador Arduino se realiza a través de puerto serie, por lo que se requerirán dos pines digitales (TX y TR).

En la siguiente tabla se muestra el recuento total de salidas y entradas necesarias:

Entradas/Salidas		
Bloque	Digitales	Analógicas
Acondicionamiento analógico	-	2
Placa de relés	6	-
Control de velocidad	2 (PWM)	-
CANopen	5	-
Receptor GPS	2	-
Teclado	8	-
Botonera	5	-
Display LCD	7	-
Total	35	2

**Tabla 7.1** – Recuento de pines utilizados



Name	Processor	Operating/Input Voltage	CPU Speed	Analog In/Out	Digital IO/PWM	EEPROM [kB]	SRAM [kB]	Flash [kB]	USB	UART
<b>101</b>	Intel® Curie	3.3 V / 7-12V	32MHz	6/0	14/4	-	24	196	Regular	-
<b>Gemma</b>	ATtiny85	3.3 V / 4-16 V	8 MHz	1/0	3/2	0.5	0.5	8	Micro	0
<b>LilyPad</b>	ATmega168V ATmega328P	2.7-5.5 V / 2.7-5.5 V	8MHz	6/0	14/6	0.512	1	16	-	-
<b>LilyPad SimpleSnap</b>	ATmega328P	2.7-5.5 V / 2.7-5.5 V	8 MHz	4/0	9/4	1	2	32	-	-
<b>LilyPad USB</b>	ATmega32U4	3.3 V / 3.8-5 V	8 MHz	4/0	9/4	1	2.5	32	Micro	-
<b>Mega 2560</b>	ATmega2560	5 V / 7-12 V	16 MHz	16/0	54/15	4	8	256	Regular	4
<b>Micro</b>	ATmega32U4	5 V / 7-12 V	16 MHz	12/0	20/7	1	2.5	32	Micro	1
<b>MKR1000</b>	SAMD21 Cortex-M0+	3.3 V / 5V	48MHz	7/1	8/4	-	32	256	Micro	1
<b>Pro</b>	ATmega168 ATmega328P	3.3 V / 3.35-12 V 5 V / 5-12 V	8 MHz 16 MHz	6/0	14/6	0.512 1	1 2	16 32	-	1
<b>Pro Mini</b>	ATmega328P	3.3 V / 3.35-12 V 5 V / 5-12 V	8 MHz 16 MHz	6/0	14/6	1	2	32	-	1
<b>Uno</b>	ATmega328P	5 V / 7-12 V	16 MHz	6/0	14/6	1	2	32	Regular	1
<b>Zero</b>	ATSAMD21G18	3.3 V / 7-12 V	48 MHz	6/1	14/10	-	32	256	2 Micro	2
<b>Due</b>	ATSAM3X8E	3.3 V / 7-12 V	84 MHz	12/2	54/12	-	96	512	2 Micro	4
<b>Esplora</b>	ATmega32U4	5 V / 7-12 V	16 MHz	-	-	1	2.5	32	Micro	-
<b>Ethernet</b>	ATmega328P	5 V / 7-12 V	16 MHz	6/0	14/4	1	2	32	Regular	-
<b>Leonardo</b>	ATmega32U4	5 V / 7-12 V	16 MHz	12/0	20/7	1	2.5	32	Micro	1
<b>Mega ADK</b>	ATmega2560	5 V / 7-12 V	16 MHz	16/0	54/15	4	8	256	Regular	4
<b>Mini</b>	ATmega328P	5 V / 7-9 V	16 MHz	8/0	14/6	1	2	32	-	-
<b>Nano</b>	ATmega168 ATmega328P	5 V / 7-9 V	16 MHz	8/0	14/6	0.512 1	1 2	16 32	Mini	1
<b>Yún</b>	ATmega32U4 AR9331 Linux	5 V	16 MHz 400MHz	12/0	20/7	1	2.5 16MB	32 64MB	Micro	1
<b>Arduino Robot</b>	ATmega32u4	5 V	16 MHz	6/0	20/6	1 KB (ATmega32u4)/ 512 Kbit (12C)	2.5 KB (ATmega32u4)	32 KB (ATmega32u4) of which 4 KB used by bootloader	1	1
<b>MKRZero</b>	SAMD21 Cortex-M0+ 32bit low power ARM MCU	3.3 V	48 MHz	7 (ADC 8/10/12 bit)/1 (DAC 10 bit)	22/12	No	32 KB	256 KB	1	1

Figura 7.7 – Arduino. Compare board specs [14]

Consultando la tabla de la figura 7.7, los únicas placas que presentan un número de entradas y salidas digitales suficientes para este proyecto son la MEGA 2560, la MEGA ADK y la DUE. En el proyecto se utilizará la MEGA 2560, ya que se disponía inicialmente de ella.

## 7.8. Requisitos precisión del sistema

Uno de los aspectos fundamentales a tener en cuenta es la exigencia del sistema en cuanto a precisión.

Las características de una antena suelen venir definidas y representadas gráficamente en lo que se conoce como diagramas de radiación. Estos representan, normalmente en función de la dirección expresada en coordenadas angulares, la densidad de potencia radiada o absorbida por la antena. Se expresa en dB en relación a la dirección de máxima potencia radiada o recibida. Aunque este diagrama de radiación representa la densidad de radiación en el espacio tridimensional, suele representarse en gráficos de dos dimensiones [78, 36, 39].

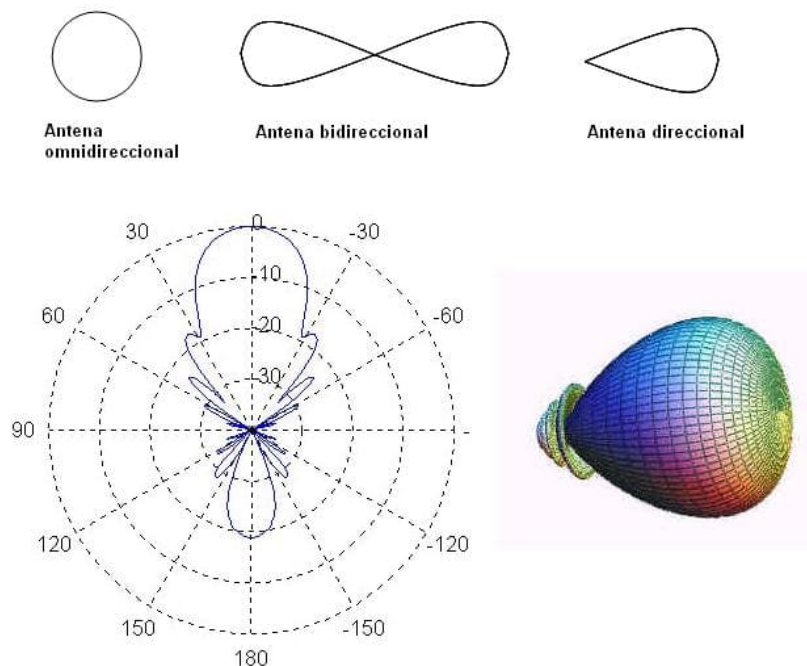


Figura 7.8 – wikipedia. Diagrama de radiación [78]

Así pues, una de las características fundamentales de las antenas es su directividad. Tal como explica Televés [1], la directividad de una antena es "la capacidad de concentrar la potencia radiada en una dirección determinada del espacio" para el caso de emisión de señal y, para el caso de recepción, "capacidad de absorber la potencia incidente en esa dirección".

Existen dos parámetros fundamentales que determinan la directividad de cada antena, el ancho de haz y la relación delante/atrás.

### ■ Relación delante/atrás:

Televés [1] define la relación delante/atrás como "la relación entre la ganancia de la antena en el punto de máxima radiación, y la ganancia de la antena en cualquier otra dirección comprendida entre  $90^\circ$  y  $270^\circ$  respecto a ella".

#### ■ Ancho de haz:

De nuevo, Televés [1] define ancho de haz como "el ángulo formado por los dos ejes imaginarios de unión de la antena con los puntos donde la ganancia ha caído 3dB respecto del punto de máxima potencia", es decir, los puntos donde la potencia es la mitad con respecto al punto de máxima potencia. Por tanto, este ángulo que define el ancho de haz determinará la precisión necesaria que deberá tener nuestro sistema.

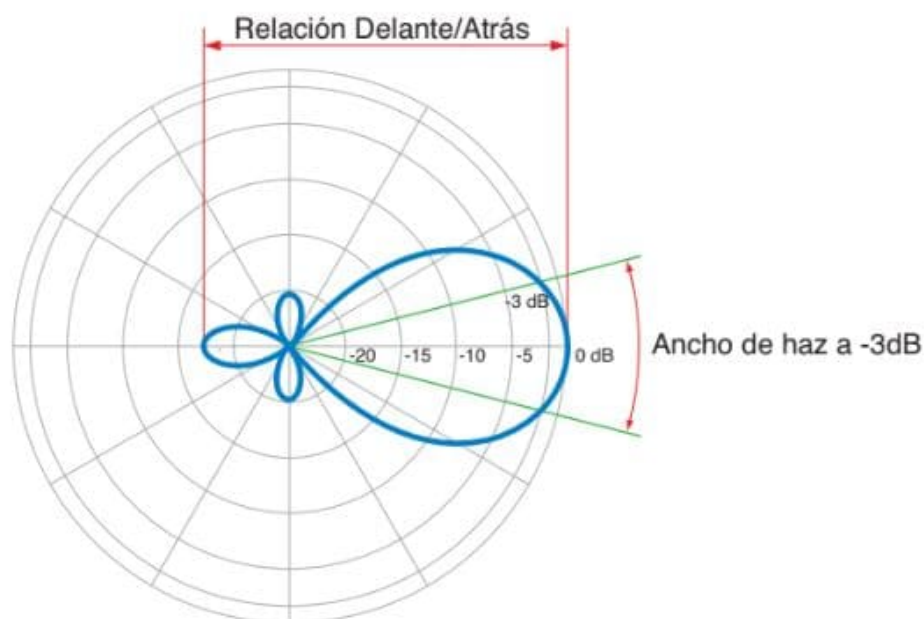


Figura 7.9 – *Artchist.blogspot.com*. Directividad de antenas [65]

### 7.8.1. Ancho de haz

Para determinar la precisión que requiere este sistema, se estudiará el ancho de haz requerido en una serie de ejemplos de aplicación, utilizando páginas web que calculan los anchos de haz en función del diámetro de nuestra antena y la frecuencia deseada [11].

#### 7.8.1.1. Línea de hidrógeno

Se trata de una radiación electromagnética ampliamente observada en el ámbito de la radioastronomía. Su frecuencia es de 1,42 GHz.

Diameter of your satellite dish	Frequency	Efficiency
18 metres	1.42 GHz	0.6-0.8
		0.65

dB contour down	Full beam width deg.	Half beam width degr.	Gain dBi
0	0	0	46.68
0.25	0.23	0.11	46.43
0.5	0.32	0.16	46.18
1	0.46	0.23	45.68
2	0.65	0.32	44.68
3	0.79	0.4	43.681
4	0.91	0.46	42.68
4.5	0.97	0.48	42.18
5	1.02	0.51	41.68
6	1.12	0.56	40.68
7	1.21	0.6	39.68
8	1.29	0.65	38.68
9	1.37	0.69	37.68

**Figura 7.10** – Ancho de haz para la línea de hidrógeno [11]

Así, en el caso de utilizar un diámetro de disco de 18 metros (ya que estamos hablando en términos de radioastronomía), el ancho de haz a media potencia, es decir, para una atenuación de 3 dB respecto al punto de máxima potencia (0 dB), será de 0.79°.

### 7.8.1.2. Antena VSAT

Este tipo de antenas, cuyas siglas son Very Small Aperture Terminal, se utilizan en comunicaciones por satélite, como es el caso de internet por satélite. Un caso típico sería el de una antena de 1,2 metros de diámetro y 14 GHz.

Diameter of your satellite dish	Frequency	Efficiency
1.8 metres	14 GHz	0.6-0.8
<input type="text" value="1.8"/>	<input type="text" value="14"/>	<input type="text" value="0.65"/>

dB contour down	Full beam width deg.	Half beam width degr.	Gain dBi
0	0	0	46.56
0.25	<input type="text" value="0.23"/>	<input type="text" value="0.12"/>	46.31
0.5	<input type="text" value="0.33"/>	<input type="text" value="0.16"/>	46.06
1	<input type="text" value="0.46"/>	<input type="text" value="0.23"/>	45.56
2	<input type="text" value="0.66"/>	<input type="text" value="0.33"/>	44.56
3	<input type="text" value="0.8"/>	<input type="text" value="0.4"/>	43.558
4	<input type="text" value="0.93"/>	<input type="text" value="0.46"/>	42.56
4.5	<input type="text" value="0.98"/>	<input type="text" value="0.49"/>	42.06
5	<input type="text" value="1.04"/>	<input type="text" value="0.52"/>	41.56
6	<input type="text" value="1.14"/>	<input type="text" value="0.57"/>	40.56
7	<input type="text" value="1.23"/>	<input type="text" value="0.61"/>	39.56
8	<input type="text" value="1.31"/>	<input type="text" value="0.66"/>	38.56
9	<input type="text" value="1.39"/>	<input type="text" value="0.7"/>	37.56

Figura 7.11 – Ancho de haz para una antena VSAT [11]

Se observa que el ancho de haz a media potencia es similar al del caso anterior, 0,8°.

### 7.8.1.3. Comunicaciones con la Estación Espacial Internacional

Tal como se ha mencionado en el capítulo 2 (alcance del proyecto), este se encuentra enmarcado en una colaboración con el CIFP Ferrolterra, cuyo objetivo es lograr la comunicación con la ISS (International Space Station).

Para este caso se pretende instalar una antena de tipo Yagi de 2 metros de largo en 145 MHz, resultando un ancho de haz de 44,4° [9].

### 7.8.2. Conclusión

El microcontrolador que incorpora la placa Arduino MEGA 2560 es un Atmega 2560. En su manual [19] se indica que su convertidor A/D es de 10 bits, por lo que la precisión de la realimentación por potenciómetros, para azimut y elevación, será, respectivamente,  $\frac{360}{2^{10}}$  y  $\frac{180}{2^{10}}$ , es decir, 0,35° para azimut y 0,17° para elevación.

Por otro lado, el sistema ofrece mayor precisión utilizando la realimentación de posición a través de los encoders, 0,09°, tal como se ha descrito en la sección 7.3.

De las secciones anteriores puede deducirse que para un mayor tamaño de antena (u otro tipo de antena más directiva), los requisitos de precisión se incrementan.

Este tipo de antenas que requieren precisión elevada son utilizadas normalmente para observaciones de objetos lejanos a la Tierra (como nebulosas, estrellas lejanas, sondas de ex-

ploración espacial, etc), cuya posición respecto a la tierra sufre variaciones lo suficientemente pequeñas como para no requerir un sistema de seguimiento.

No obstante, el objetivo de este proyecto es el seguimiento de satélites de órbita LEO, en el que se utilizarán antenas de comunicación que requieren, como acabamos de ver, una precisión muy escasa, del orden de decenas de grados.

La precisión de este sistema queda determinada, por tanto, por la precisión de la realimentación de los motores y por el software de posicionamiento que, en cualquier caso, superan la precisión requerida por el objetivo principal del proyecto, que sería el apuntamiento a la ISS.

## 8 RESULTADOS FINALES

En este capítulo se describe el resultado final del conjunto del proyecto, cuya implementación queda reflejada en el diseño de una placa de circuito impreso, que puede consultarse en los planos adjuntos en este documento, así como los resultados de cada uno de los bloques por los que está formado el mismo.

A esta placa se conectarán los distintos dispositivos mencionados en el capítulo 7 (análisis de soluciones).

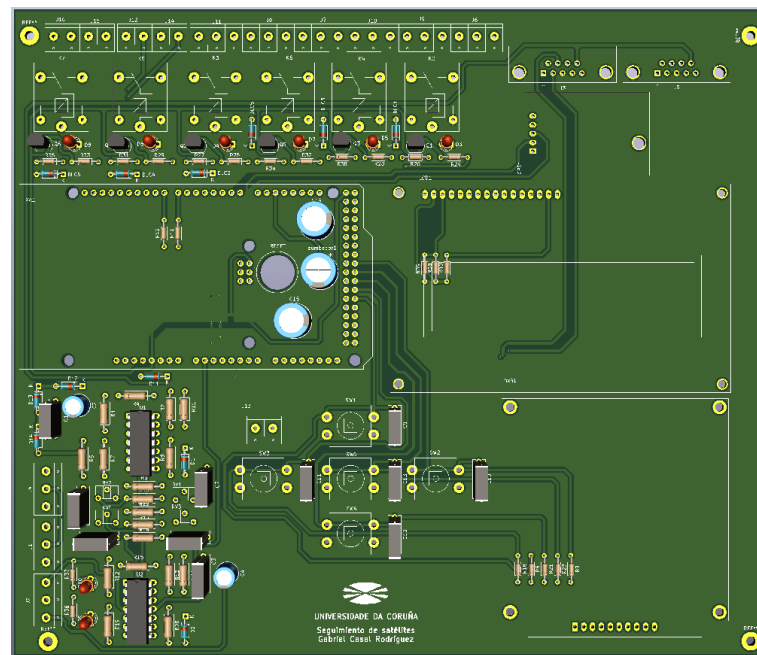
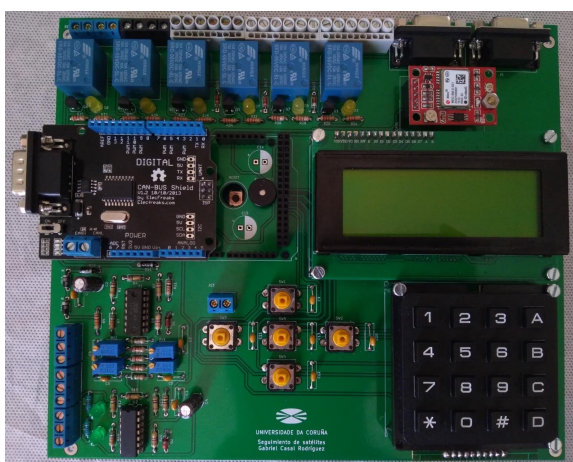
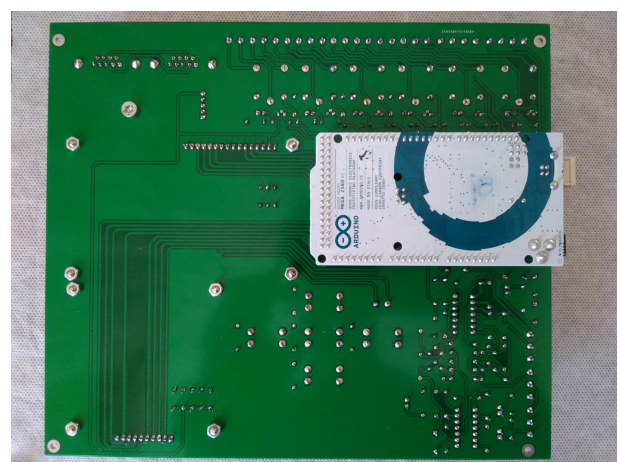


Figura 8.1 – Placa de circuito impreso



(a) Cara front PCB



(b) Cara bottom PCB

Figura 8.2 – Montaje de circuito impreso

Por otro lado, el análisis detallado de cada una de las partes en las que se divide el proyecto quedan descritas en los anexos del documento.

## 8.1. Diagrama de bloques general del sistema

Con las soluciones aportadas en el capítulo 7, el diagrama de bloques general del sistema queda como se ilustra en la figura 8.3.

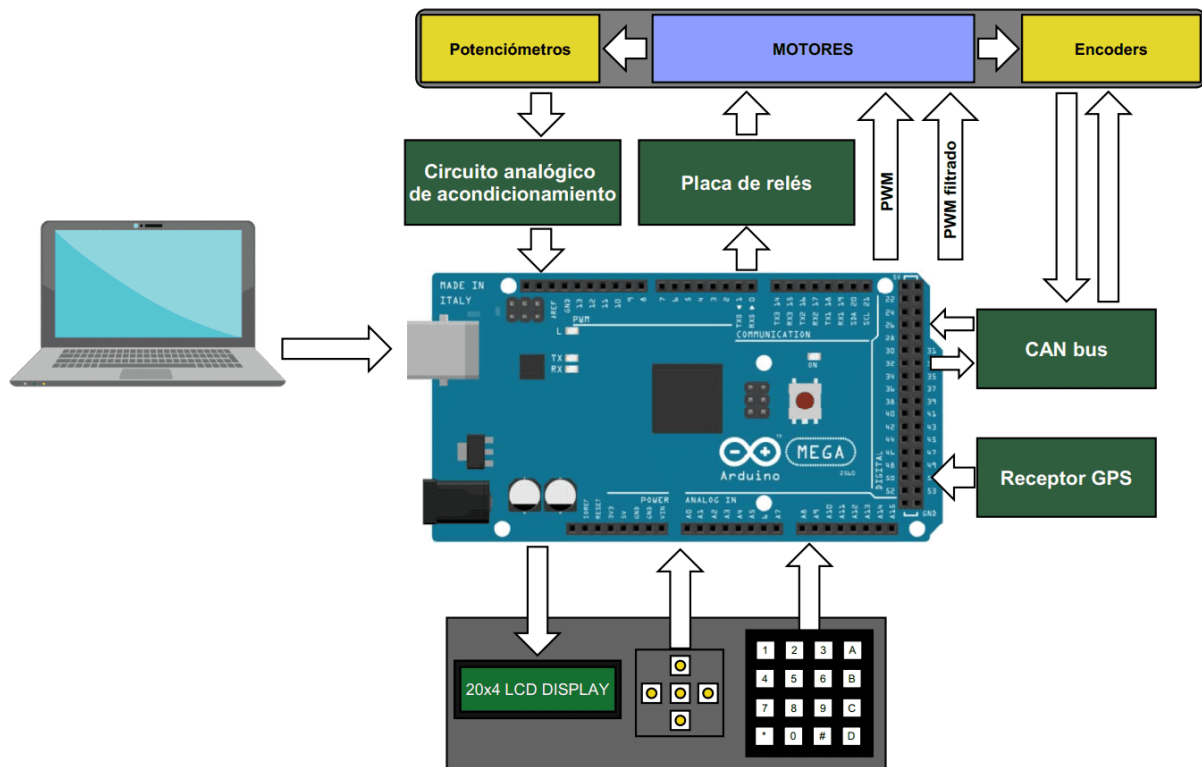


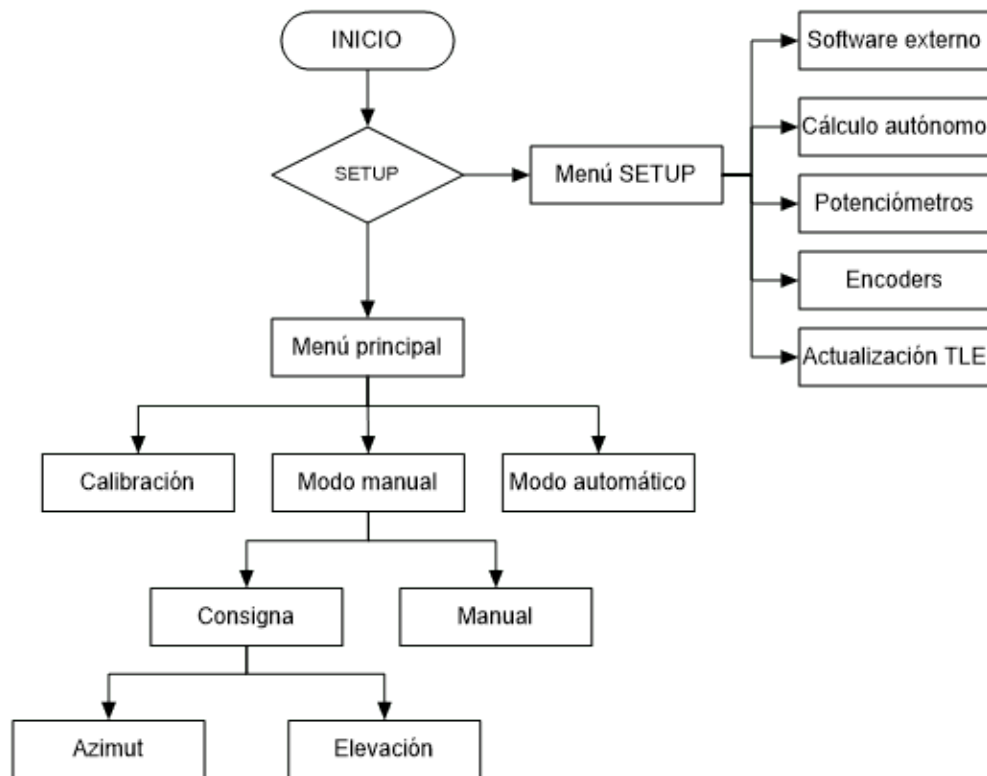
Figura 8.3 – Diagrama de bloques del sistema

A partir de él se describirá en los siguientes apartados la solución final adoptada y el modo de implementación de la misma para cada bloque.

## 8.2. HMI. Interfaz con el usuario

Todo el sistema queda gestionado por el software cargado sobre el microcontrolador. Este está basado en un sistema de menús que permiten al usuario acceder a distintos modos de funcionamiento y configuración que se ilustra en la figura 8.4:





**Figura 8.4** – Flujograma principal del software

Entrando en el setup del sistema, el usuario puede seleccionar:

- Modo de realimentación de los motores: encoders o potenciómetros
- Modo de obtención de la posición de apuntamiento: software externo o cálculo autónomo
- Actualización de los parámetros TLE

En caso de no acceder a la configuración en el setup, el sistema guardará los valores por defecto de la misma.

Una vez configurado el sistema, el usuario puede acceder a través del menú a tres opciones principales:

- **Calibración:**  
Permite realizar el ajuste de offset y ganancia del circuito analógico para adaptar la señal del potenciómetro de realimentación  
El procedimiento consistirá, de igual manera para los dos motores, en llevar el motor manualmente a la posición de 0º y realizar seguidamente el ajuste de offset de manera que se obtengan 0V a la salida del circuito analógico.  
Ajustado el offset, se llevará el motor a la posición extrema contraria, para ajustar la ganancia de manera que se obtengan 5V a la salida del circuito de acondicionamiento.
- **Modo manual:**  
Este modo de funcionamiento permite al usuario posicionar las antenas manualmente de dos maneras:

- Introducción de consigna: el usuario introducirá una consigna numérica a través del teclado
- Manual: el usuario podrá accionar los motores de manera completamente manual a través de la botonera

■ Modo automático:

Es el modo de funcionamiento principal del sistema. En él se realiza el apuntamiento a la posición del satélite en todo momento.

Por seguridad, se ha añadido a este modo de funcionamiento un sistema de detección de cambio de sentido.

Un cambio de sentido sucede, por ejemplo, si la antena se pasa de la posición de consigna, o bien si hay un cambio de consigna que obligue a los motores a girar en sentido contrario al que actualmente se encuentra girando. Este último caso puede darse, por ejemplo, si en el software de cálculo externo se cambia el satélite que se desea seguir sin antes haber detenido los motores.

Si el sistema detecta un cambio de sentido, frenará los motores antes de realizar el cambio.

El sistema cuenta con una pantalla LCD en la que el usuario visualizará los distintos menús y configuraciones disponibles, así como los parámetros necesarios en cada modo de funcionamiento.

Para seleccionar los modos de funcionamiento y configuraciones deseadas (o salir de ellos cuando sea preciso), el usuario cuenta con una botonera de cinco botones (arriba, abajo, derecha, izquierda y centro).

## 8.3. Realimentación de la posición de los motores

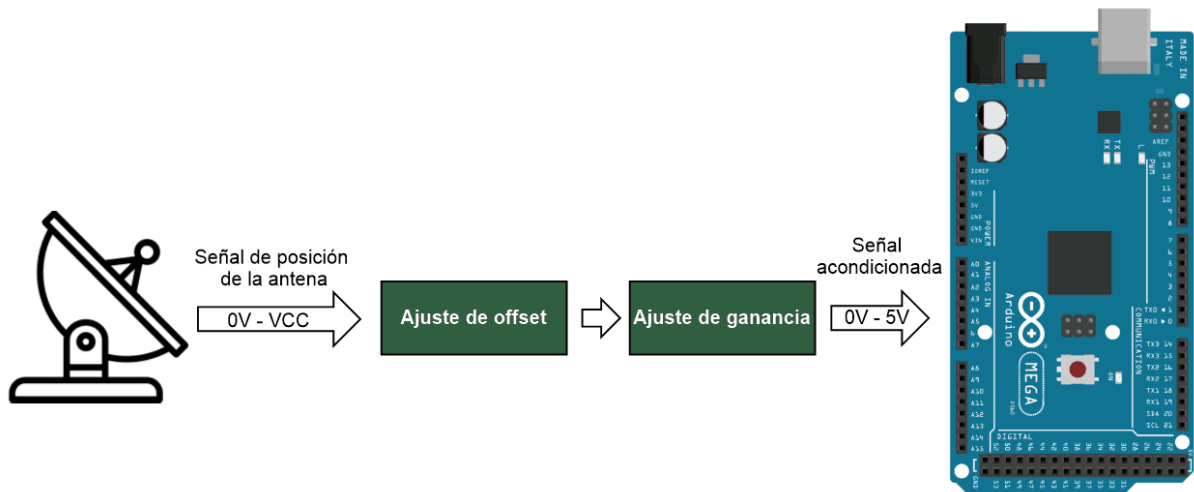
### 8.3.1. Acondicionamiento analógico de los potenciómetros de posición

Se ha indicado anteriormente en el capítulo 7 (análisis de soluciones) que se precisa de un circuito analógico que acondicione la señal de los potenciómetros de posición de las antenas, de manera que se optimice el funcionamiento del convertidor A/D del microcontrolador.

En primer lugar debe garantizarse que en la posición de 0º, los potenciómetros de posición de las antenas proporcionen 0V. Esto se logra con el ajuste de offset.

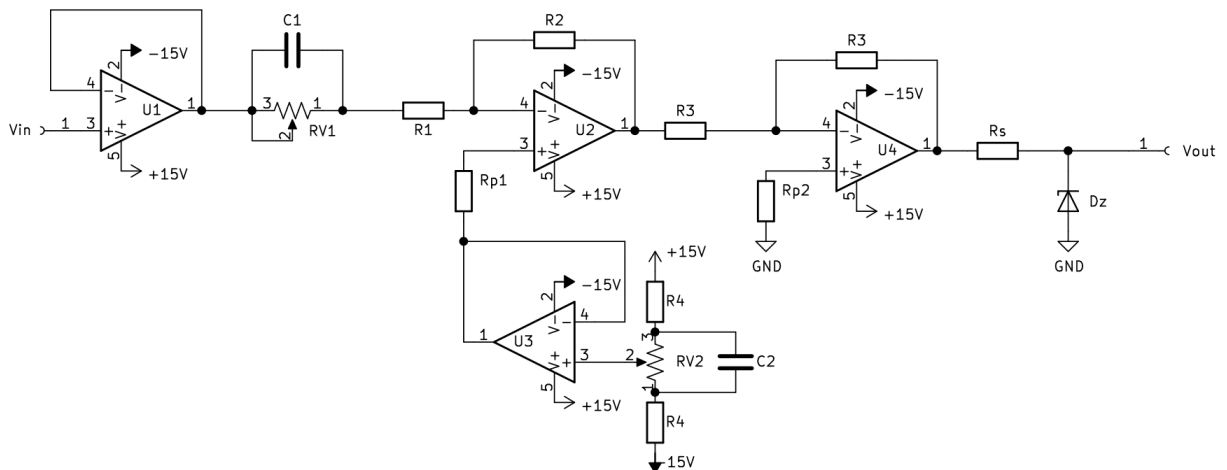
Posteriormente, es necesario que la posición más alejada de la inicial de 0º, es decir, 180º para elevación y 360º para azimut, la salida del circuito analógico sea de 5V, el máximo valor legible por el A/D. Esto debe lograrse independientemente de la alimentación de los potenciómetros de posición. Expresado en otras palabras, la máxima posición del motor debe corresponderse con 5V a la salida del circuito, al margen de que los potenciómetros se encuentren alimentados a 3V, a 5V, a 15V, o a cualquier otro valor que se encuentre dentro de este rango. Esto se consigue ajustando la ganancia del circuito.

El diagrama de bloques es el siguiente:



**Figura 8.5** – Diagrama de bloques del acondicionamiento de señal

En el anexo de cálculos **11** se indican las explicaciones y cálculos que se han realizado para concluir con el diseño final del circuito de acondicionamiento analógico (necesario para cada motor), que se muestra en la figura **8.6**.



**Figura 8.6** – Circuito analógico acondicionamiento de señal

Este circuito se implementa físicamente sobre la placa de circuito impreso, cuyo aspecto final se ilustra en la figura **8.7**.

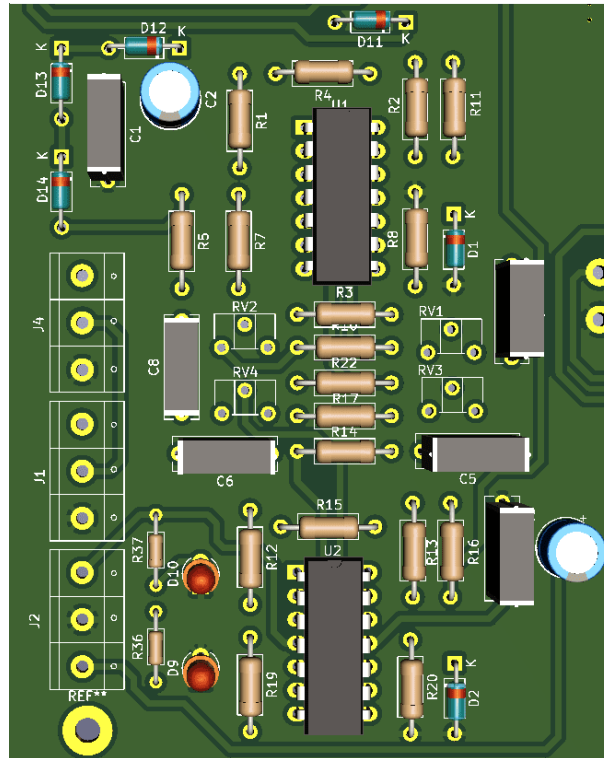


Figura 8.7 – Zona de acondicionamiento de señal del PCB

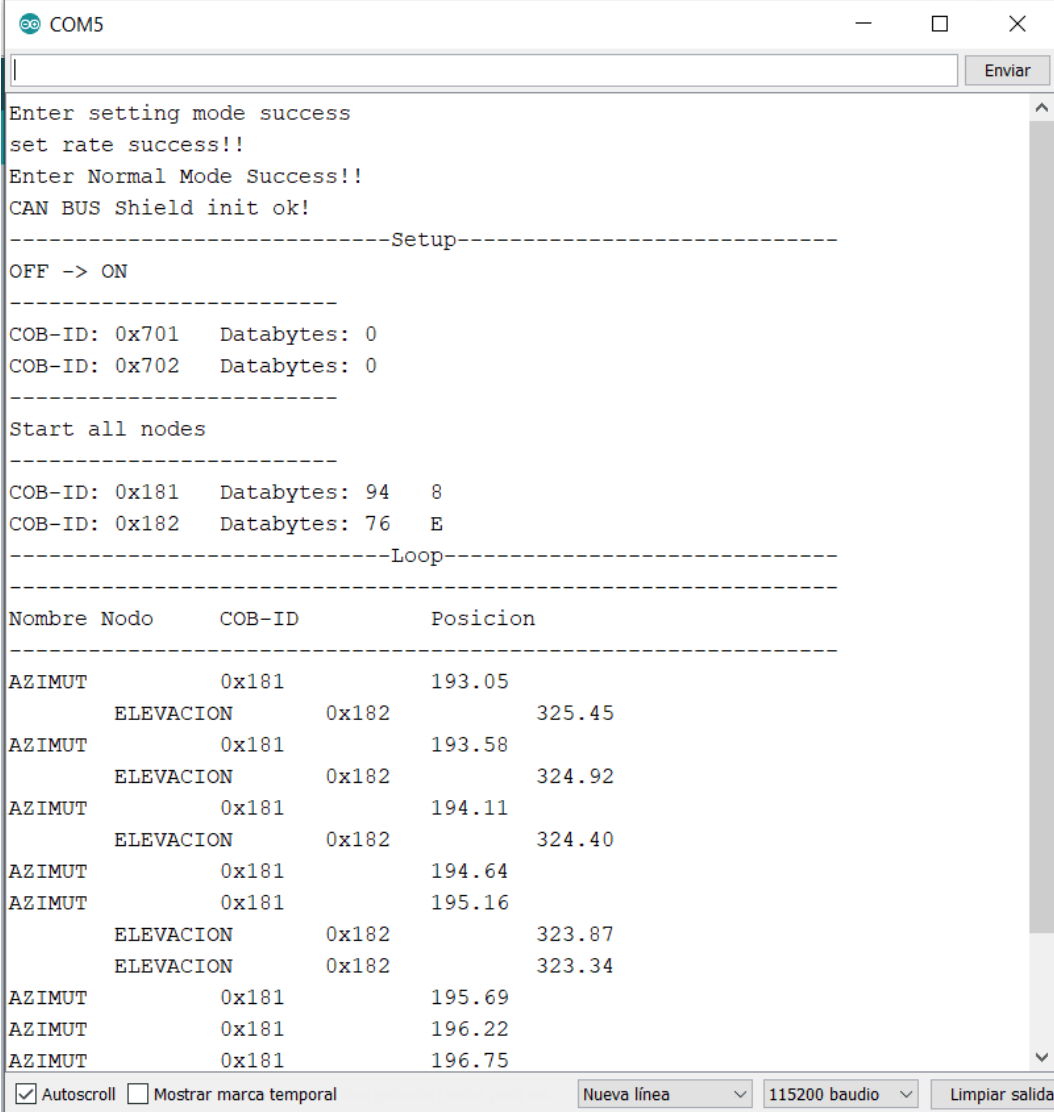
### 8.3.2. Comunicación con los encoders

Como se ha indicado en la sección 7.3, se utilizan los encoders TBN 50-SA 2048R C2 S N14 del fabricante alemán TWK-Electronic, basados en el protocolo de comunicaciones CANopen.

Para lograr la comunicación entre el microcontrolador y los encoders, se ha indicado también en la sección 7.3 que se utiliza el shield para comunicaciones CAN de Arduino.

En cuanto a la programación del software para lograr la comunicación entre el microcontrolador y los encoders, esta puede encontrarse en los anexos 12 del documento, así como una serie de conocimientos previos a cerca del protocolo de comunicaciones CANopen, necesarios para comprender dicha programación.

Se verifica, a través del puerto serie, el correcto funcionamiento de los encoders actuando simultáneamente, como se puede ver en la figura 8.8:



```

Enter setting mode success
set rate success!!
Enter Normal Mode Success!!
CAN BUS Shield init ok!
-----Setup-----
OFF -> ON
-----
COB-ID: 0x701  Databytes: 0
COB-ID: 0x702  Databytes: 0
-----
Start all nodes
-----
COB-ID: 0x181  Databytes: 94  8
COB-ID: 0x182  Databytes: 76  E
-----Loop-----
-----
Nombre Nodo      COB-ID          Posicion
-----
AZIMUT           0x181           193.05
ELEVACION        0x182           325.45
AZIMUT           0x181           193.58
ELEVACION        0x182           324.92
AZIMUT           0x181           194.11
ELEVACION        0x182           324.40
AZIMUT           0x181           194.64
AZIMUT           0x181           195.16
ELEVACION        0x182           323.87
ELEVACION        0x182           323.34
AZIMUT           0x181           195.69
AZIMUT           0x181           196.22
AZIMUT           0x181           196.75

```

**Figura 8.8** – Encoders proporcionando la ubicación simultáneamente

Para poder visualizar estos resultados por puerto serie, se han realizado las modificaciones necesarias al código referente al protocolo CANopen del código principal.

## 8.4. Cálculo autónomo de la posición de apuntamiento

Para realizar el cálculo de los ángulos de azimut y elevación de manera autónoma, se indica en la sección 7.1.2 que los cálculos se realizarán en base a los parámetros TLE del satélite que se desea seguir.

El software de cálculo aplica el procedimiento SGP4 (desarrollado por la NASA y NORAD y que es de libre acceso para su uso en aplicaciones) y está basado en los códigos de David Vallado [76] y Michael F. Henry [51].

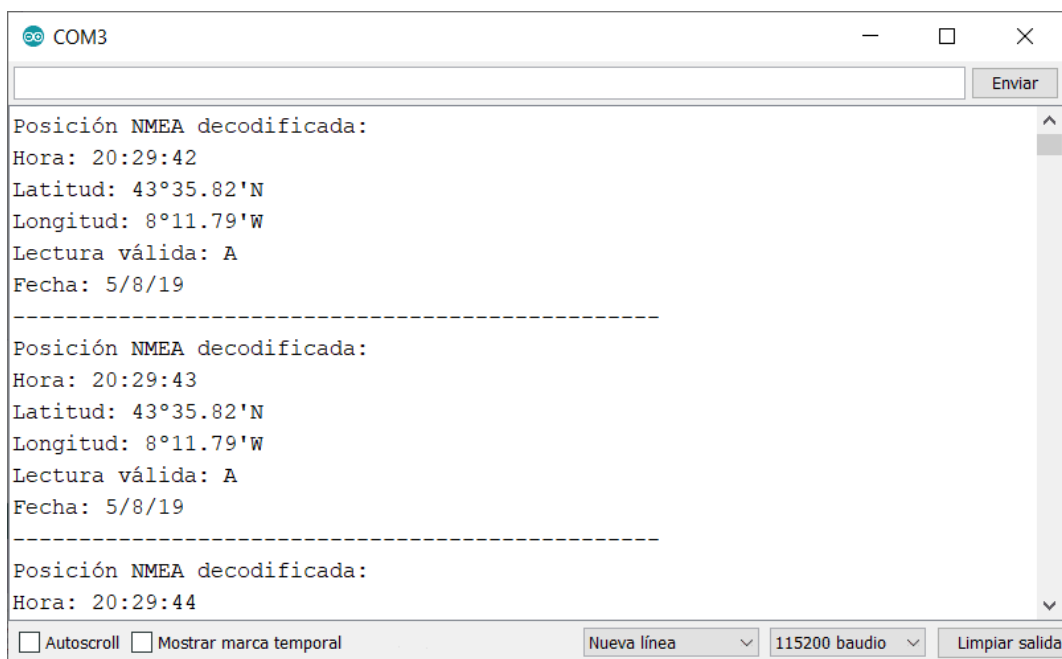
Las bases teóricas para comprender los cálculos realizados pueden consultarse en el anexo 15, y la explicación del software implementado junto con las modificaciones realizadas sobre el mismo respecto al original, en el anexo 16.

### 8.4.1. Obtención de datos GPS

En la sección 7.1.2 se ha establecido que, para realizar los cálculos keplerianos, es necesario conocer la ubicación del observador, así como el instante de observación. Para esto se utilizara el receptor GPS indicado en esa misma sección.

Este receptor GPS transmite al microcontrolador a través de puerto serie los datos en formato NMEA, cuya decodificación se encuentra detallada en el anexo 13.

En el código principal del software se puede encontrar la programación referente a la decodificación del formato GPS, que se ha adaptado para poder visualizar la decodificación por puerto serie (figura 8.9).



```
COM3
Posición NMEA decodificada:
Hora: 20:29:42
Latitud: 43°35.82'N
Longitud: 8°11.79'W
Lectura válida: A
Fecha: 5/8/19
-----
Posición NMEA decodificada:
Hora: 20:29:43
Latitud: 43°35.82'N
Longitud: 8°11.79'W
Lectura válida: A
Fecha: 5/8/19
-----
Posición NMEA decodificada:
Hora: 20:29:44
```

Figura 8.9 – Resultado de la decodificación GPS

### 8.4.2. Verificación de la posición de apuntamiento

La verificación del funcionamiento consiste en comparar los datos obtenidos con los proporcionados por el software PstRotator, y se puede comprobar, comparando las figuras 8.10 y 8.11, que los resultados son satisfactorios.

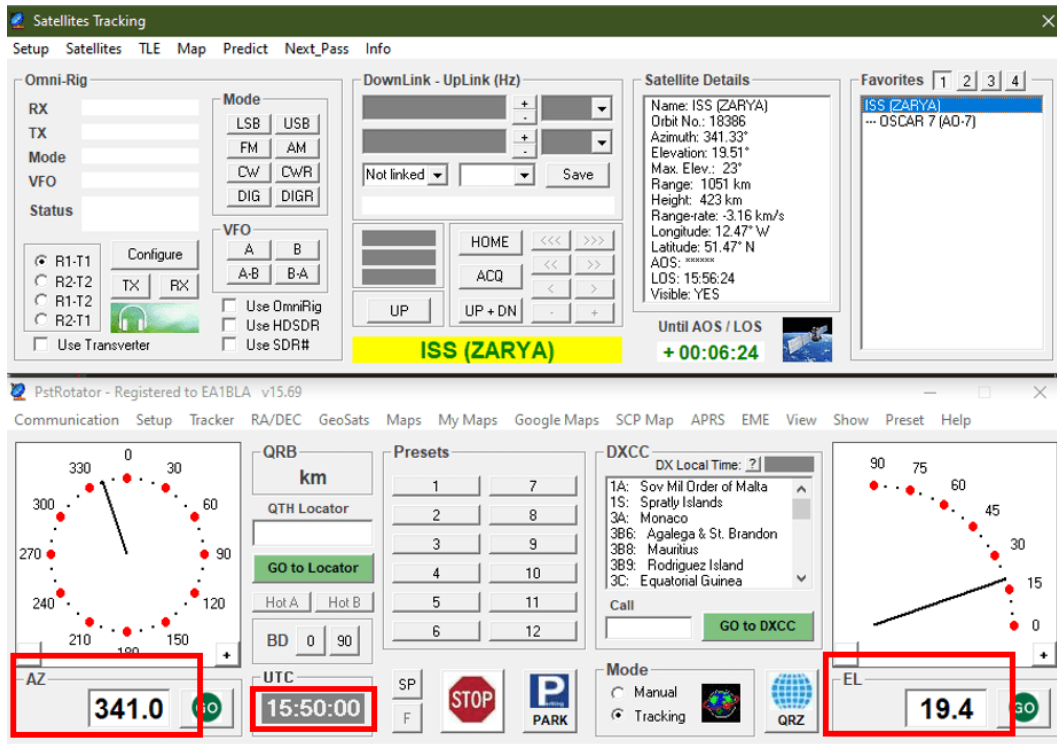


Figura 8.10 – Posición de apuntamiento PstRotator

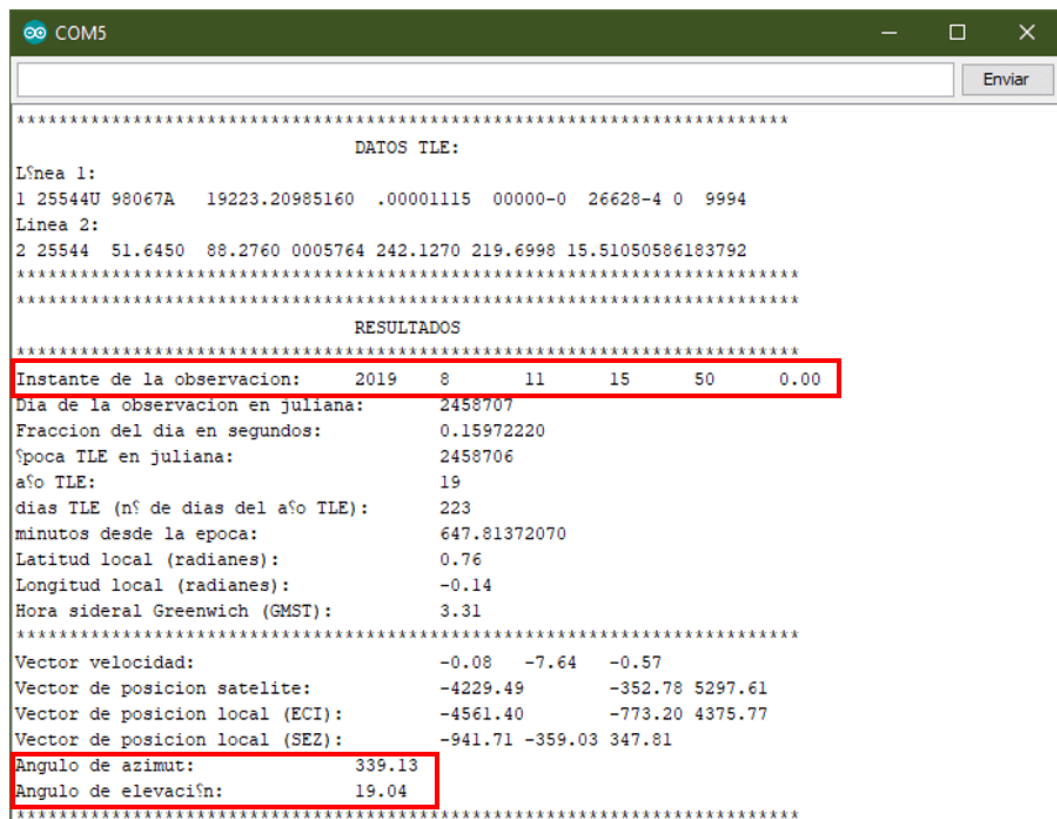


Figura 8.11 – Posición de apuntamiento Arduino

No obstante, debido a ciertos problemas de precisión ocasionados por las limitaciones del microcontrolador, cuyo tratamiento se aborda en el anexo 16, puede observarse que, aunque

muy aproximados, los resultados no son completamente exactos.

## 8.5. Comunicación con el PC

El diseño de la placa de circuito impreso proporciona fácil acceso al puerto USB de la placa Arduino (figura 8.1), necesario para cargar el programa final en el microcontrolador, así como para comunicar por puerto serie los datos de apuntamiento del satélite en el caso de no estar realizando los cálculos de direccionamiento de manera autónoma o, por otra parte, actualizar los parámetros TLE para los cálculos keplerianos.

### 8.5.1. Dirección de apuntamiento por software externo

Se ha indicado en la sección 7.1.1 que se utilizará el software PstRotator para transmitir los ángulos de apuntamiento al microcontrolador en formato Easycom por puerto serie. En el anexo 14.1 se indica la configuración necesaria de este software para transmitir la posición, así como la explicación de la decodificación Easycom del programa principal para descifrar la trama recibida (adaptado para poder verificar su funcionamiento en el monitor serie del IDE Arduino). El resultado de dicha decodificación se muestra en la figura 8.12.

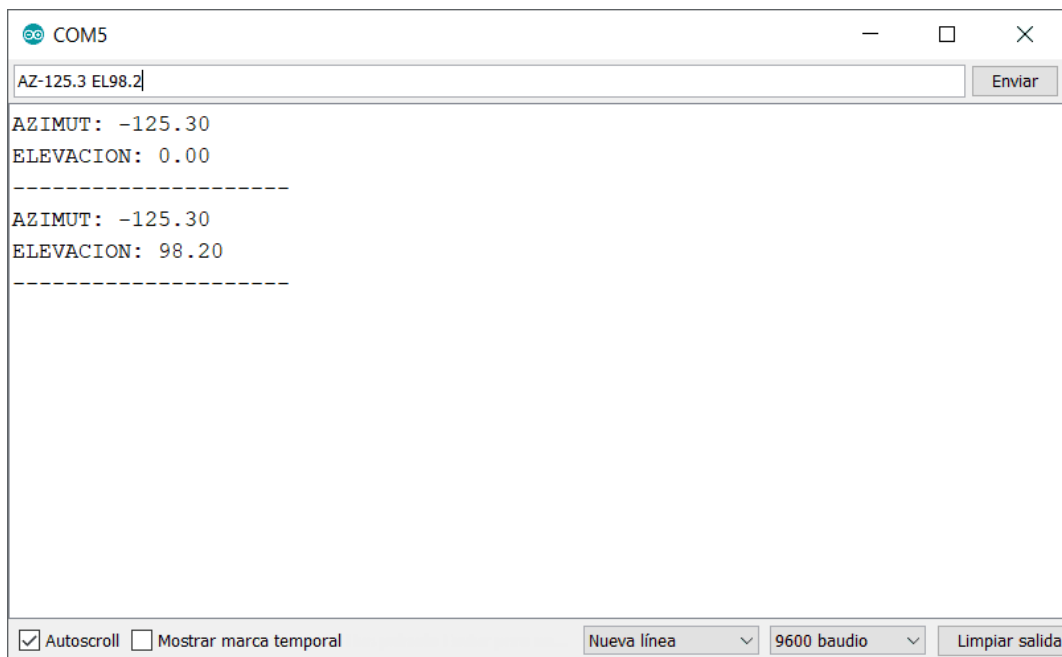


Figura 8.12 – Posición de apuntamiento Easycom decodificada

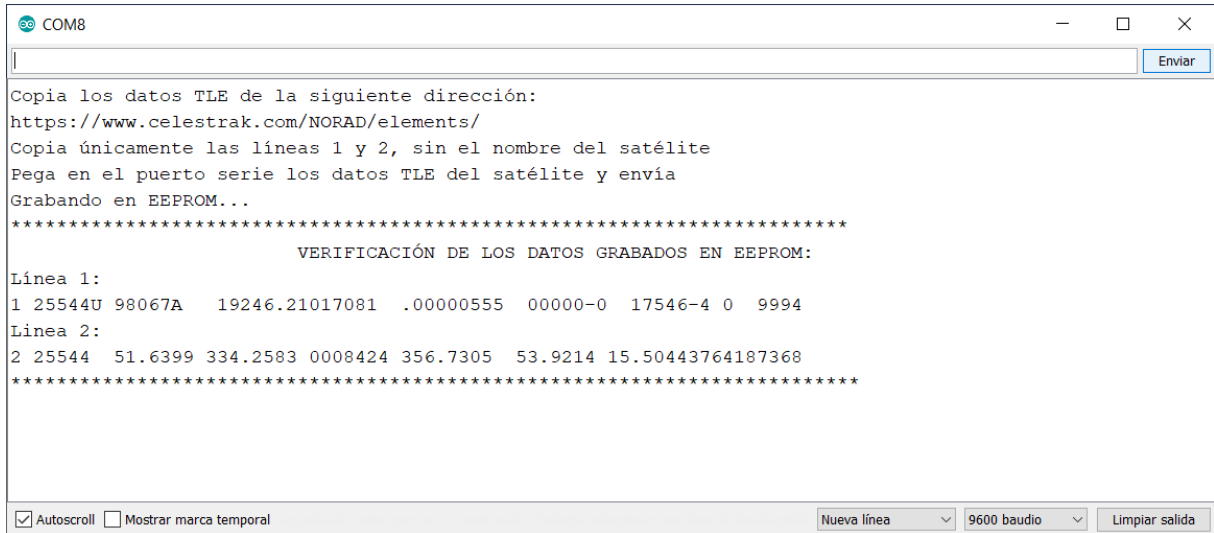
### 8.5.2. Actualización de parámetros TLE

Dado que los parámetros TLE son actualizados con frecuencia, es necesario establecer un modo de actualizar los datos TLE guardados en el microcontrolador. Para ello, en el menú del setup, tal como se observa en la figura 8.4, existe la opción de actualizarlos desde dicho menú. Será necesario abrir el monitor serie del IDE Arduino, en el que se muestra al usuario los pasos



a seguir, además del enlace a la web donde se encuentran los parámetros TLE actualizados [28].

Una vez el usuario haya enviado los datos por el puerto serie, estos se grabarán en la EEPROM del microcontrolador, y serán los que se utilicen en los cálculos keplerianos. Este proceso se ilustra en la figura 8.13.



```

COM8
Copia los datos TLE de la siguiente dirección:
https://www.celestrak.com/NORAD/elements/
Copia únicamente las líneas 1 y 2, sin el nombre del satélite
Pega en el puerto serie los datos TLE del satélite y envía
Grabando en EEPROM...
*****
VERIFICACIÓN DE LOS DATOS GRABADOS EN EEPROM:
Línea 1:
1 25544U 98067A 19246.21017081 .00000555 00000-0 17546-4 0 9994
Línea 2:
2 25544 51.6399 334.2583 0008424 356.7305 53.9214 15.50443764187368
*****
 Autoscroll  Mostrar marca temporal Nueva línea 9600 baudio Limpiar salida
  
```

**Figura 8.13** – Actualización TLE en monitor serie

Cabe destacar que, en caso de abrir el monitor serie del IDE Arduino con el sistema en funcionamiento, la propia acción de abrir el monitor serie reseteará el sistema y será necesario acceder de nuevo a la opción de actualización de TLE (con el monitor serie ya abierto).

## 8.6. Accionamiento sobre los motores de la antena

Como se indica en la sección 7.2, la placa de circuito impreso incorpora seis relés (de contactos libres de potencial) para actuar sobre los motores, además de seis LEDs, uno por cada relé, para indicar en cada instante que relé se encuentra activado.

Se incorpora también en la placa dos salidas de control de velocidad por cada motor, una de PWM para motores de corriente continua y otra de PWM filtrado, pensada para motores de corriente alterna gobernados por variador de frecuencia con consigna analógica, ambas de 0V a 5V.

Esta señal PWM es generada por el software de control de posición y velocidad, detallado en el anexo 17.3.

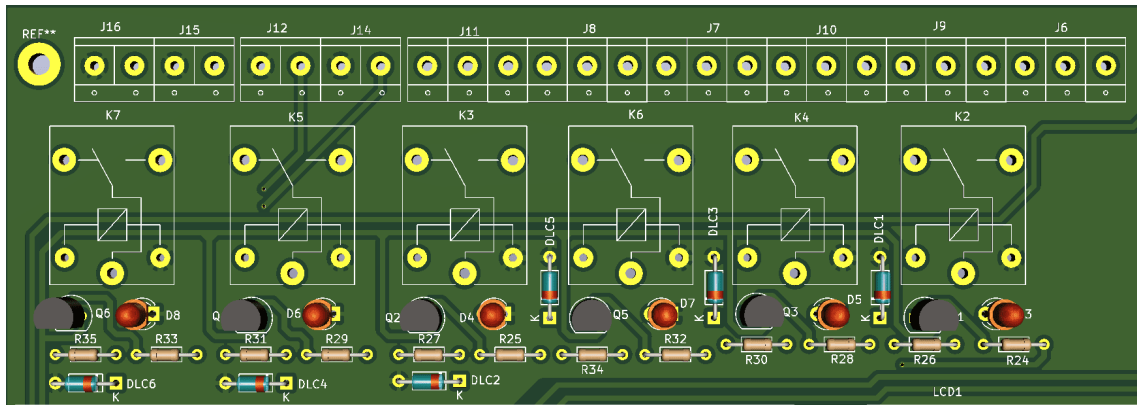


Figura 8.14 – Zona de accionamiento sobre motores del PCB

## 8.7. Posibles mejoras

A continuación se describen una serie de aspectos que se podrían añadir o mejorar en este proyecto:

- Un indicador del tiempo restante hasta que el satélite vuelva a estar en rango.

Los satélites de órbita LEO (como la ISS), tienen un periodo orbital que abarca una o dos horas. No obstante, en todo ese período, el tiempo que permanece en rango el satélite para el observador es nada más que unos minutos.

Es por esto que sería de utilidad dotar al sistema con la capacidad de calcular el tiempo restante hasta que el satélite vuelva a estar en rango para el observador.

- Indicador de la fecha de actualización de TLE.

Se menciona en diversos apartados la importancia de mantener actualizados los datos TLE del satélite que se desea seguir. Así, la posibilidad de consultar la última fecha de actualización de los TLE grabados en el controlador sería una aportación útil al proyecto.

- Mejora en la precisión de los cálculos keplerianos.

Las limitaciones del propio microcontrolador, aspecto que se trata en el anexo 16, producen imprecisión en el cálculo de la posición de apuntamiento, en torno a 1°. Este aspecto podría solventarse realizando el diseño del sistema que emplee un microcontrolador más potente.

El único microcontrolador de la plataforma Arduino que presenta una potencia mayor que el utilizado en este proyecto, y, al mismo tiempo, un número de entradas y salidas suficiente, es el ATSAM3X8E de la placa DUE (tabla comparativa de la figura 7.7).

No obstante, el hecho de que su tensión de operación sea 3,3V en lugar de 5V hace necesario el redimensionamiento eléctrico de todo el proyecto.

- Anticipación de la posición de apuntamiento.

El sistema diseñado de seguimiento obtiene siempre la posición actual del satélite, por lo que puede entenderse que la antena irá siempre por detrás del satélite.

Una posible mejora sería dotar al sistema con una capacidad de anticipación de la posición de apuntamiento, calculando dicha posición para un instante lo suficientemente adelantado al actual como para que la antena apunte en todo momento a la posición que ocupa el satélite en su órbita.

Esta modificación es fácilmente implementable con la opción del cálculo autónomo, en el que habría que, simplemente, sumar el lapso de tiempo necesario a la hora proporcionada por el GPS.

Sin embargo, no se ha llevado a cabo dado que no se disponía del montaje definitivo del sistema de antenas, necesario para determinar el lapso de tiempo óptimo.

## **9 ORDEN DE PRIORIDAD ENTRE LOS DOCUMENTOS**

Frente a posibles discrepancias, se establece el orden de prioridad de los documentos del TFG como se describe a continuación:

1. Planos
2. Pliego de Condiciones
3. Presupuesto
4. Memoria
5. Anexos

TÍTULO: **SISTEMA DE SEGUIMIENTO DE SATÉLITES**

---

# **ANEXOS**

---

PETICIONARIO: **ESCUELA UNIVERSITARIA POLITÉCNICA**

**AVDA. 19 DE FEBREIRO, S/N**

**15405 - FERROL**

FECHA: **SEPTIEMBRE DE 2019**

AUTOR: **EL ALUMNO**

Fdo.: **GABRIEL CASAL RODRÍGUEZ**



## Índice del documento ANEXOS

<b>10 DOCUMENTACIÓN DE PARTIDA</b>	<b>73</b>
<b>11 CÁLCULOS</b>	<b>76</b>
11.1 Circuito analógico de acondicionamiento de la señal del potenciómetro . . . . .	76
11.1.1 Ajuste de ganancia . . . . .	76
11.1.2 Ajuste de offset . . . . .	78
11.1.3 Selección del circuito integrado . . . . .	78
11.1.4 Ecuación general del circuito . . . . .	79
11.1.5 Limitador de tensión . . . . .	79
11.1.6 Circuito completo . . . . .	80
11.1.7 Dimensionado de los componentes . . . . .	81
11.1.7.1 Ajuste de ganancia . . . . .	81
11.1.7.2 Ajuste de offset . . . . .	82
11.1.8 Limitador de tensión . . . . .	83
11.1.8.1 Tabla de componentes . . . . .	85
11.2 Controlador de relé . . . . .	85
11.3 Filtro PWM . . . . .	86
11.4 Alimentación del circuito . . . . .	87
<b>12 PROTOCOLO CANOPEN</b>	<b>89</b>
12.1 Modelo OSI . . . . .	90
12.2 Protocolo CANopen . . . . .	90
12.2.1 Diccionario de objetos . . . . .	90
12.2.2 Modos de comunicación . . . . .	91
12.2.3 Trama CANopen . . . . .	92
12.3 Comunicación con los encoders . . . . .	94
12.3.1 Comunicación simultánea con los dos encoder . . . . .	98
<b>13 RECEPTOR GPS</b>	<b>103</b>
13.1 Estándar de comunicaciones NMEA . . . . .	103
13.2 Máquina de estados . . . . .	104
<b>14 TRANSMISIÓN DE LA POSICIÓN DEL SATÉLITE POR SOFTWARE EXTERNO</b>	<b>107</b>
14.1 Guía de configuración del software PstRotator . . . . .	107
14.2 Decodificación de los datos . . . . .	113
<b>15 CÁLCULOS KEPLERIANOS DE APUNTAMIENTO. BASES TEÓRICAS</b>	<b>117</b>
15.1 Elementos orbitales . . . . .	117
15.2 Estructura del formato TLE . . . . .	119
15.3 Cálculo de las coordenadas altazimutales . . . . .	120

15.3.1	Coordenadas geocéntricas (ECI) . . . . .	120
15.3.2	Coordenadas topocéntricas . . . . .	122
15.4	Procedimiento de cálculo para el apuntamiento . . . . .	122
<b>16</b>	<b>CÁLCULOS KEPLERIANOS DE APUNTAMIENTO. ACLARACIONES DEL SOFTWARE</b>	<b>130</b>
16.1	Descripción del código . . . . .	132
<b>17</b>	<b>FLUJOGRAMAS DEL CÓDIGO DE PROGRAMACIÓN</b>	<b>136</b>
17.1	Flujograma principal. Sistema de menús . . . . .	136
17.2	Flujograma del modo de seguimiento automático . . . . .	138
17.3	Control de posición y velocidad. Flujograma . . . . .	140
17.4	Flujograma del posicionamiento por consigna . . . . .	142
17.5	Flujograma de comunicación con los encoder . . . . .	143
17.6	Cálculos keplerianos . . . . .	144
<b>18</b>	<b>CÓDIGOS DE PROGRAMACIÓN</b>	<b>145</b>
18.1	Código de comunicación simple con encoder . . . . .	145
18.2	Código de cambio de dirección del encoder . . . . .	149
18.3	Código auxiliar para GPS . . . . .	155
18.4	Fichero principal .ino . . . . .	157
18.5	SGP4.cpp . . . . .	212
18.6	SGP4.h . . . . .	252
<b>19</b>	<b>MANUAL DE USUARIO</b>	<b>255</b>
19.1	Setup . . . . .	255
19.2	Menú principal . . . . .	256
19.3	Especificaciones técnicas . . . . .	258
<b>20</b>	<b>HOJA DE CARACTERÍSTICAS TBN50-SA2048RC2SN14</b>	<b>260</b>
<b>IV</b>	<b>PLANOS</b>	<b>263</b>
	Índice del documento Planos . . . . .	265



## **10 DOCUMENTACIÓN DE PARTIDA**



# ESCUELA UNIVERSITARIA POLITÉCNICA

## ASIGNACIÓN DE TRABAJO FIN DE GRADO

**En virtud de la solicitud efectuada por:**

*En virtud da solicitude efectuada por:*

**APELLIDOS, NOMBRE:** Casal Rodríguez, Gabriel

*APELIDOS E NOME:*

**DNI:** [REDACTED] **Fecha de Solicitud:** Feb2019

*DNI: Fecha de Solicitude:*

**Alumno de esta escuela en la titulación de Grado en Ingeniería en Electrónica Industrial y Automática, se le comunica que la Comisión de Proyectos ha decidido asignarle el siguiente Trabajo Fin de Grado:**

*O alumno de esta escola na titulación de Grado en Enxeñería en Electrónica Industrial e Automática, comunícaselle que a Comisión de Proxectos ha decidido asignarlle o seguinte Traballo Fin de Grado:*

**Título T.F.G.:** Sistema de seguimiento de satélites

**Número TFG:** 770G01A170

**TUTOR:** (Titor) Rivas Rodriguez, Juan Manuel

**COTUTOR/CODIRECTOR:** Esteban Jove Pérez

**La descripción y objetivos del Trabajo son los que figuran en el reverso de este documento:**

*A descrición e obxectivos do proxecto son os que figuran no reverso deste documento.*

*Ferrol a Viernes, 28 de Junio del 2019*

Retirei o meu Traballo Fin de Grado o día \_\_\_\_\_ de \_\_\_\_\_ do ano \_\_\_\_\_

*Fdo: Casal Rodríguez, Gabriel*

## **DESCRIPCIÓN Y OBJETIVO:OBJETO:**

El sistema debe estar basado en la plataforma Arduino. Las entradas y salidas serán:

- Recibirá a través de un puerto serie, o una cadena ASCII en formato GS232 o Easycomm indicando acimut y elevación, o los parámetros keplerianos que definen el movimiento del satélite. En este segundo caso el programa debe hacer los cálculos correspondientes.
- La realimentación de la posición de las antenas. Esta podrá de alguna de las siguientes formas ser:
  - o Con una tensión analógica que debe ser acondicionada para optimizar el convertidor A/D.
  - o A través de un encoder digital absoluto, en este caso la resolución mínima debe ser de 10 bits.
  - o A través de un encoder incremental con control de paso por cero.
  - o Otro posible sistema aceptado por el director del proyecto.
- La actuación sobre los motores que podrá ser:
  - o De corriente continua. La velocidad se regulará por PWM.
  - o De corriente alterna. La velocidad vendrá marcada por una tensión analógica para controlar el variador de frecuencia.
  - o Deberá variar la velocidad en función de la distancia a inicio y al final del movimiento.
- Un display que nos indicará en tiempo real de la posición de las antenas, además de servir de interface para los menús de calibración.
- Un teclado que permitirá el movimiento manual del sistema e introducir los datos de configuración.

## **ALCANCE:**

Este proyecto está enmarcado en una colaboración con el CIFP Ferrolterra que deberán realizar la construcción de todo el sistema de antenas.

En caso de que terminen en plazo su construcción el alumno debe montar un prototipo e integrarlo con dicho sistema.

En caso contrario se deberá realizar un modelo a escala para verificar el correcto funcionamiento.

## 11 CÁLCULOS

### 11.1. Circuito analógico de acondicionamiento de la señal del potenciómetro

Para realizar la realimentación de la posición de los motores mediante potenciómetros, será necesario realizar un acondicionamiento de la señal, de manera que esta se encuentre en todo momento dentro de los rangos de entrada de la placa Arduino para optimizar la conversión analógico-digital. Se debe poder ajustar el offset y la ganancia del circuito para que este pueda adaptarse a distintas alimentaciones del potenciómetro, de manera que a la salida del mismo, el rango de la señal sea siempre el establecido por el rango de entrada de la placa Arduino, de 0V a 5V. El rango de alimentaciones posible que se ha establecido para los potenciómetros es de X a Y.

Además, este ajuste de ganancia y de offset nos permitirá calibrar el sistema de antenas:

- El ajuste de offset permitirá obtener a la salida del circuito 0V cuando el motor se encuentre en la posición de 0°.
- El ajuste de ganancia permitirá obtener 5V a la salida del circuito cuando el motor se encuentre en la posición de 360° (180° para el motor de elevación).

Para realizar estos ajustes se ha diseñado un circuito analógico con amplificadores operacionales.

#### 11.1.1. Ajuste de ganancia

Para realizar el ajuste de ganancia será necesario poder conseguir, por un lado, incrementar el voltaje máximo de salida hasta 5V, y por otro será necesario poder conseguir también reducir el voltaje máximo de salida a 5V. Es por esto que el montaje no inversor (figura [11.1]) queda descartado, ya que su ganancia será siempre mayor que la unidad:  $V_{out} = V_{in}(\frac{R2}{R1} + 1)$

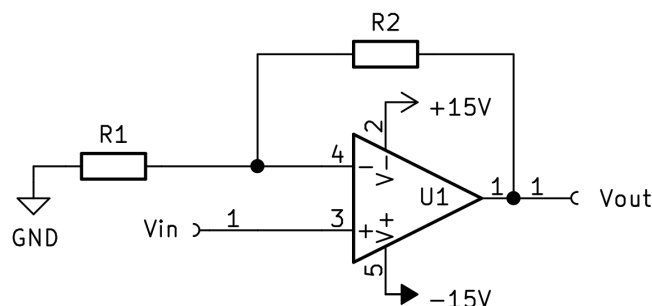
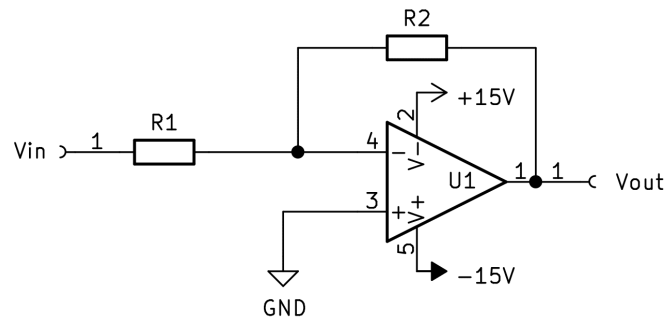


Figura 11.1 – Circuito no inversor

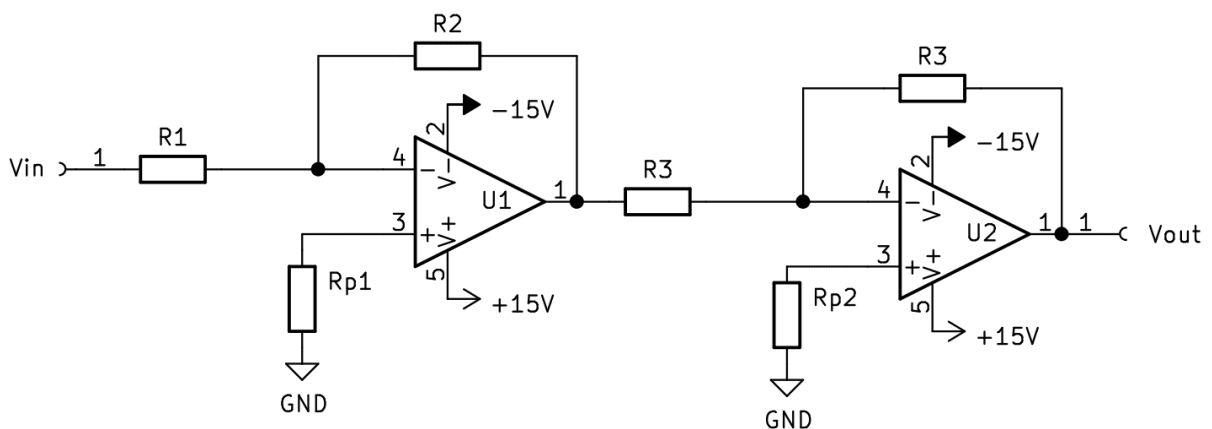
La configuración inversora (figura 11.2), por el contrario, sí nos permite obtener nuestro rango de ganancias, aunque, como el nombre indica, de manera invertida:  $V_{out} = -V_{in} \frac{R_2}{R_1}$



**Figura 11.2** – Circuito inversor

Por lo tanto, se requieren dos etapas inversoras (figura [11.3]), una de ganancia variable y otra de ganancia unitaria, es decir,  $R_2 = R_1$ .

Cabe destacar que, con el fin de evitar corrientes de polarización en el amplificador operacional, se utilizará una resistencia compensadora en la entrada no inversora, que se corresponde con la resistencia del equivalente de Thevenin visto desde la entrada inversora, el paralelo,  $R_{TH} = R_1 || R_2$



**Figura 11.3** – Circuito de dos etapas inversoras

La ganancia total será:

$$V_{out} = -V_{in} \cdot \frac{R_2}{R_1} \cdot \left(-\frac{R}{R}\right) \quad (11.1)$$

$$= V_{in} \cdot \frac{R_2}{R_1} \quad (11.2)$$

Para poder variar la ganancia, sustuiremos R1 por un potenciómetro con una resistencia serie (para evitar que, en el caso de que el potenciómetro se ajuste a  $0\Omega$ , la ganancia sea  $V_{in} \cdot \frac{R_2}{0}$ ).

### 11.1.2. Ajuste de offset

Para realizar el ajuste de offset, se coloca el circuito de compensación en la entrada no inversora de la primera etapa del circuito.

El circuito de compensación se muestra en la siguiente figura [11.4]:

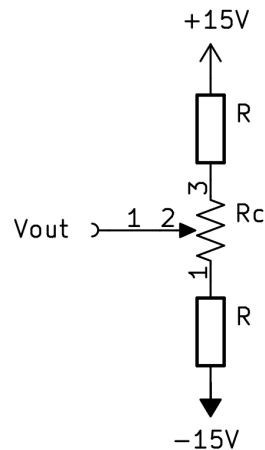


Figura 11.4 – Compensación de offset

Con el objetivo de que el divisor este equilibrado, las dos resistencias será del mismo valor óhmico. Para realizar el cálculo de los valores de los componentes del valor de tensión, establecemos en primer lugar el rango de variación de la tensión de offset, que será, de manera muy aproximada, el  $\pm 10\%$  de la tensión de alimentación.

### 11.1.3. Selección del circuito integrado

Teniendo en cuenta que nuestro circuito necesita dos amplificadores operacionales, uno para cada etapa, y que además contamos con el circuito de ajuste de offset, se ha seleccionado el circuito integrado LM324N [72], que cuenta con 4 amplificadores operacionales. Se utilizan los dos operacionales restantes como seguidores de tensión para la entrada y para el circuito de ajuste de offset. De esta manera se proporciona una impedancia de entrada elevada, tanto para la entrada como para la tensión de ajuste de offset, evitando así posibles pérdidas de tensión por corriente.

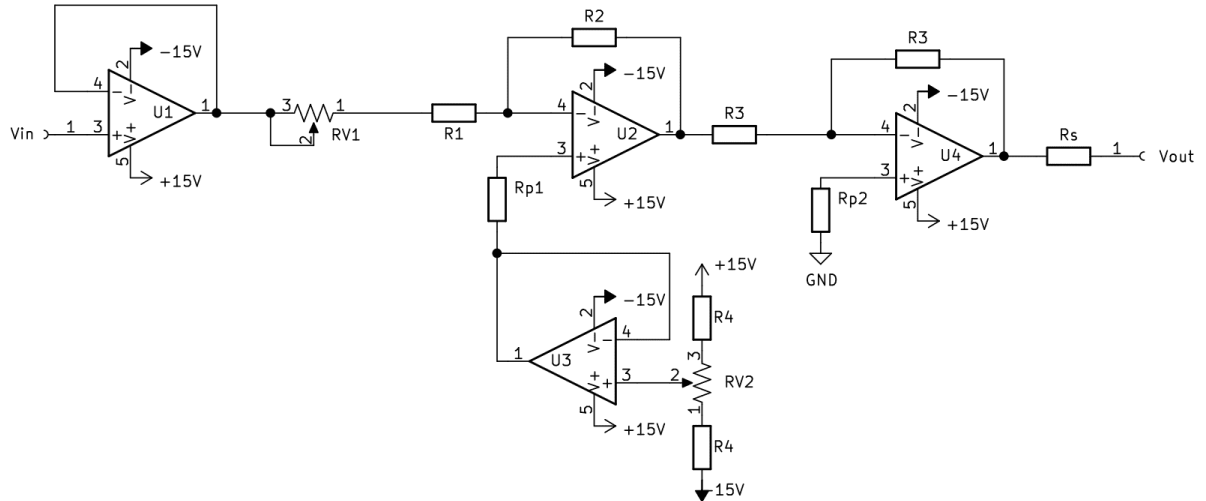


Figura 11.5 – Montaje con el circuito integrado LM324

#### 11.1.4. Ecuación general del circuito

$$V_{out} = V_{in} \cdot \left(-\frac{R2}{R1 + Rv1}\right) \cdot \left(-\frac{R}{R}\right) + V_{offset} \cdot \left(1 + \frac{R2}{R1}\right) \cdot \left(-\frac{R}{R}\right) \quad (11.3)$$

$$= V_{in} \cdot \left(\frac{R2}{R1 + Rv1}\right) \pm V_{offset} \cdot \left(1 + \frac{R2}{R1}\right) \quad (11.4)$$

#### 11.1.5. Limitador de tensión

Por último, para asegurarnos de no dañar en ningún momento la placa Arduino, se diseñará un circuito de protección limitador de tensión [2]:

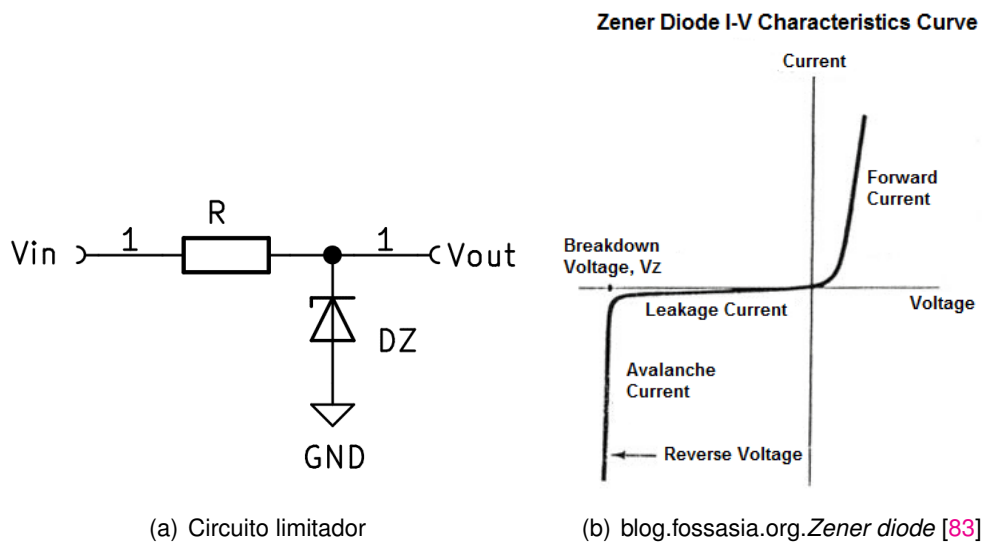


Figura 11.6 – Limitador de tensión

Se observa que el diodo zener se encuentra polarizado inversamente. Esto provocará que en el momento que la tensión de polarización inversa, es decir,  $V_{out}$ , supere la tensión zener  $V_z$ , el diodo entrará en corte, manteniendo la tensión constante e igual a la tensión zener  $V_z$ . De esa manera se evitan tensiones de entrada excesivas en la entrada analógica de la placa Arduino.

### 11.1.6. Circuito completo

Al unificar los apartados anteriores, se obtiene el circuito completo de acondicionamiento analógico de señal.

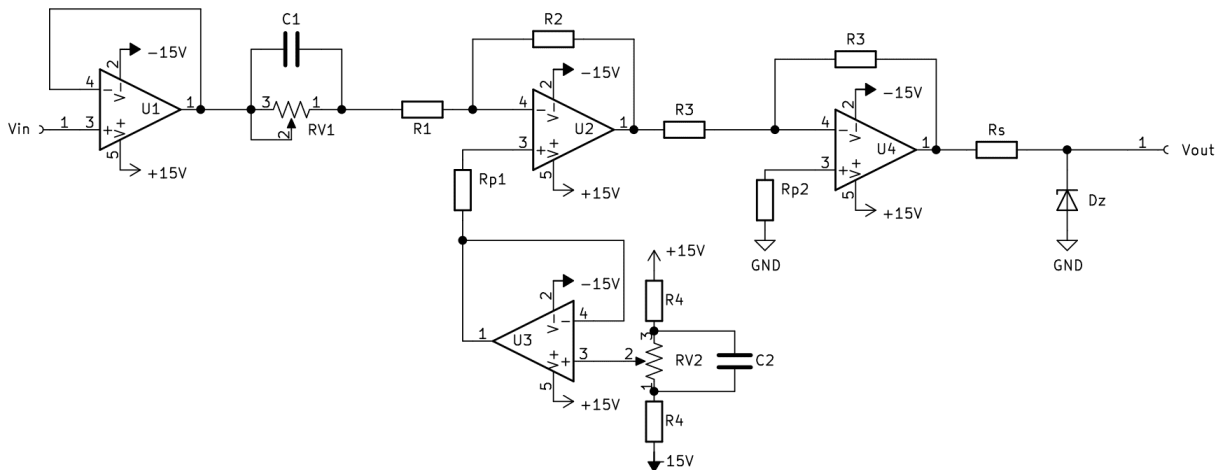


Figura 11.7 – Circuito analógico completo

Adicionalmente se han añadido al circuito los condensadores que se ven en la figura 11.7 en paralelo a ambos potenciómetros. De esta manera corregimos el ruido que producen estos últimos al mover el cursor.



## 11.1.7. Dimensionado de los componentes

### 11.1.7.1. Ajuste de ganancia

El circuito integrado LM324N [72] permite alimentaciones de  $\pm 16V$ , por lo que se podrán acondicionar señales cuyo máximo no supere  $\pm 15V$ . Esta señal debe ajustarse de manera que a la salida del circuito obtengamos siempre 5 V en la situación de voltaje más elevado. Para determinar los valores de las resistencias se estudiarán los casos extremos, separando por un lado el efecto del ajuste de ganancia y por otro el ajuste de offset:

- Alimentación de mínima de 3V:

En esta situación requiere que la ganancia del circuito sea máxima,  $Rv1$  en posición de  $0\Omega$ .

$$\begin{aligned} 5V &= 3V \cdot \frac{R2}{R1} \\ R1 &= \frac{3}{5} \cdot R2 \end{aligned} \quad (11.5)$$

Si se establece un valor de  $100k\Omega$  para  $R1$ ,  $R2$  serán  $60k\Omega$ , siendo  $56k\Omega$  el valor comercial más cercano.

Así, el valor mínimo de  $V_{in}$  es

$$\begin{aligned} 5V &= V_{in,min} \cdot \frac{100k}{56k} \\ V_{in,min} &= 2,8V \end{aligned} \quad (11.6)$$

- Alimentación de 15 V:

De la ecuación 11.3 se deduce que:

$$\begin{aligned} 5V &= 15V \cdot \frac{R2}{R1 + Rv1} \\ \frac{R2}{Rv1 + R1} &= \frac{1}{3} \\ 3 \cdot R2 &= Rv1 + R1 \end{aligned} \quad (11.7)$$

Sustituyendo valores,

$$\begin{aligned} 3 \cdot 100k &= Rv1 + 56k \\ Rv1 &= 244k\omega \end{aligned} \quad (11.8)$$

Con  $Rv1 = 500k\omega$  se obtiene un ajuste más holgado, de manera que el valor máximo de entrada es el siguiente:

$$\begin{aligned} 5V &= V_{in,max} \cdot \frac{100k}{56k + 500k} \\ V_{in,max} &= 27,8V \end{aligned} \quad (11.9)$$

Esta  $V_{in,max}$  de 27,8V supera la establecida por la hoja de características del circuito integrado, de manera que seguirá siendo 1V por debajo de la tensión de alimentación.

Por tanto, las resistencias del ajuste de ganancia quedan de la siguiente manera:

$$R2 = R1 \quad (11.10)$$

$$Rv1 = 2 \cdot R2 \quad (11.11)$$

$$R1 = 100k\Omega \quad (11.12)$$

$$Rv1 = 200k\Omega \quad (11.13)$$

Por otra parte, cabe destacar que los valores de los condensadores utilizados en la eliminación del ruido de los potenciómetros se han obtenido experimentalmente. Se ha comprobado que con una capacidad de 100 nF, se ha comprobado que se elimina el ruido de manera aceptable y con un tiempo de carga del condensador inapreciable.

Etapa de amplificación	
Componente	Valor
R1	100 kΩ
Rv1	500 kΩ
R2	100 kΩ
C1	100 nF
C2	100 nF

**Tabla 11.1** – Componentes de la etapa de amplificación

### 11.1.7.2. Ajuste de offset

Se desea que el divisor de tensión de ajuste de offset (figura 11.4) esté equilibrado, por lo que las dos resistencias será del mismo valor óhmico. Para realizar el cálculo de los valores de los componentes, establecemos en primer lugar el rango de variación de la tensión de offset, que será, de manera muy aproximada, el  $\pm 10\%$  de la tensión de alimentación.

Así, para 15V, se aproxima el valor de ajuste de offset a  $\pm 2V$  (13% de 15V), y se establece también una intensidad  $I_c$  de 1mA. Llamaremos a la tensión en los extremos del potenciómetro  $V_a$  y  $V_b$ :

$$V_a - V_b = I_c \cdot R_c \quad (11.14)$$

$$4V = 1mA \cdot R_c \quad (11.15)$$

$$R_c = 4k\Omega \quad (11.16)$$

Para utilizar valores comerciales, se utilizará un potenciómetro de 5kΩ. Por último, se muestra el cálculo de las resistencias en las siguientes ecuaciones:

$$V_{cc} - (-V_{cc}) = I_c \cdot (R_c + R + R) \quad (11.17)$$

$$15V - (-15V) = 1mA \cdot (5k\Omega + 2R) \quad (11.18)$$

$$R = 12,5k\Omega \quad (11.19)$$

De nuevo, se utilizarán resistencias de  $12k\Omega$  para utilizar valores óhmicos comerciales. Se añadirá también un condensador de  $100nF$  en paralelo con el potenciómetro para evitar el posible ruido al desplazar el cursor.

### 11.1.8. Limitador de tensión

Ya se ha mencionado anteriormente el propósito de este circuito limitador (figura 11.6) no es otro que el de evitar que llegue a la placa Arduino una tensión superior a la que esta última soporta [2].

El manual de usuario del microcontrolador ATmega2560 [19] establece que la máxima tensión de entrada del convertidor AD será la máxima alimentación del propio microcontrolador, es decir  $V_{in}(max) = V_{cc}(max) = 6V$ . Por tanto, la utilización de un diodo zener de  $5,6V$  como protección garantiza la seguridad del microcontrolador.

La intensidad que circulará por el diodo zener (figura 11.6) será:

$$I_z = \frac{V_{in} - V_z}{R_s} \quad (11.20)$$

Si se utiliza un zener de  $0,5W$ , la intensidad máxima será:

$$P = I \cdot V \quad (11.21)$$

$$I = \frac{P}{V} \quad (11.22)$$

$$I = \frac{0,5W}{5,6V} \quad (11.23)$$

$$I = 89mA \quad (11.24)$$

Esta intensidad máxima se dará cuando  $V_{in}$ , que se corresponde con la salida de las dos etapas de amplificación, sea máxima, es decir,  $15V$  con ganancia unitaria. Para mayor seguridad, aplicaremos un margen a la tensión de alimentación, por ejemplo, un  $20\%$ , que se corresponde con  $18V$ . Despejando y sustituyendo en la ecuación 11.20, se obtiene que:

$$89mA = \frac{18V - 5,6V}{R_s} \quad (11.25)$$

$$R_s = 139,3\Omega \quad (11.26)$$

Por tanto, cualquier resistencia mayor de  $140\ \Omega$  garantiza una corriente inferior a  $89\ \text{mA}$ . Se utilizará una resistencia  $R_s$  de  $1\ \text{k}\Omega$ .

Por otro lado, se indica también en el manual de usuario del ATmega2560 [19] que el convertidor AD está optimizado para señales analógicas cuya resistencia equivalente sea igual o menor a  $10\ \text{k}\Omega$ . Esto significa que habrá que verificar que el equivalente de Thevenin del limitador visto desde la entrada del convertidor AD es menor o igual a  $10\ \text{k}\Omega$ .

Para calcular el equivalente Thevenin del limitador de la figura 11.6, se substituye el diodo zener por su circuito equivalente:

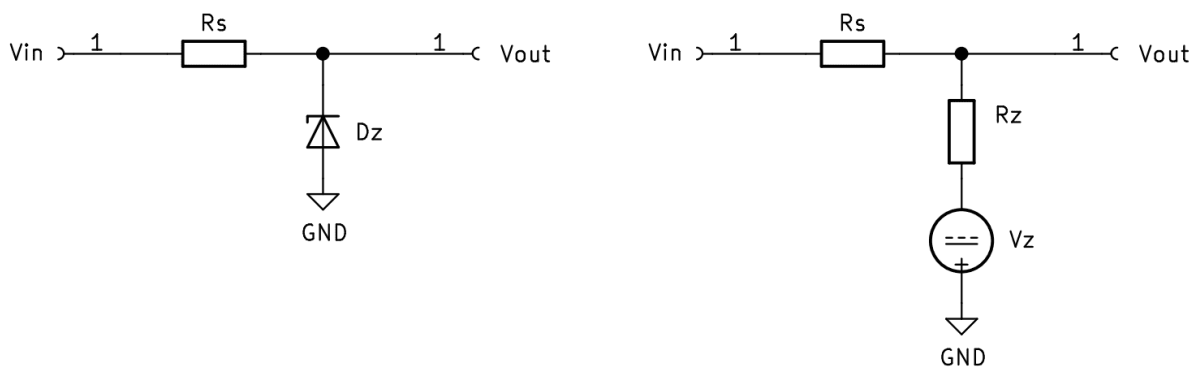


Figura 11.8 – Circuito zener equivalente

El siguiente paso será anular las fuentes de tensión y calcular la impedancia de Thevenin:

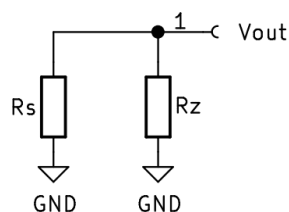


Figura 11.9 – Equivalente Thevenin

Como se observa, la resistencia de Thevenin será el paralelo de la resistencia de polarización del diodo con la resistencia del propio zener:  $R_{TH} = R_s || R_z$ . Por tanto, teniendo en cuenta que  $R_s$  es una resistencia de  $1\ \text{k}\Omega$  y que la resistencia equivalente del diodo zener  $R_z$  es muy pequeña, se puede asegurar que la  $R_{TH}$  es considerablemente menor que  $10\ \text{k}\Omega$ , por se cumplen las exigencias para el buen funcionamiento del conversor A/D.

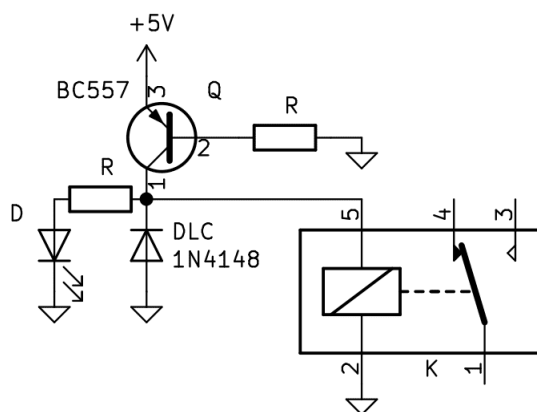
### 11.1.8.1. Tabla de componentes

Circuito analógico	
Componente	Valor
R1	56 k $\Omega$
R2	100 k $\Omega$
R3	100 k $\Omega$
R4	12 k $\Omega$
Rs	1 k $\Omega$
Rp1	72 $\Omega$
Rp2	47 $\Omega$
Rv1	500 k $\Omega$
Rv2	5 k $\Omega$
Dz	5,6 V
C1	100 nF
C2	100 nF

**Tabla 11.2** – Componentes del circuito analógico

## 11.2. Controlador de relé

Para activar la bobina del relé, se utiliza un transistor NPN, concretamente un BC557B, puesto que se disponía inicialmente. Al tratarse de un transistor tipo NPN, es necesario activarlo a nivel bajo desde Arduino para saturarlo, como se muestra en la siguiente figura 11.10. Además se añade un diodo LED que indicará el funcionamiento del relé, junto con un diodo de libre circulación (DLC) para descargar la bobina y evitar picos de tensión que dañen el transistor.



**Figura 11.10** – Controlador de relé

Se ha comprobado empíricamente que el relé consume aproximadamente 100mA, intensi-

dad para la que la hoja de características del transistor [20] establece una  $\beta = 200$ , por tanto:

$$\beta = 200 \quad (11.27)$$

$$I_C = 100mA \quad (11.28)$$

$$I_C = I_B \cdot \beta \quad (11.29)$$

$$I_B = 0,5mA \quad (11.30)$$

Para saturar el transistor, la corriente de base  $0,5mA \leq I_B$ . Sabiendo esto, puede obtenerse el valor mínimo de la resistencia de base:

$$0,5mA \leq I_B \quad (11.31)$$

$$0,5mA \leq \frac{(5V - 0,7V) - 0}{R} \quad (11.32)$$

$$R \leq 8k6\Omega \quad (11.33)$$

Para el circuito se utilizará una  $R = 2k2\Omega$ , tanto para la resistencia de base como para la del indicador LED.

### 11.3. Filtro PWM

Para lograr obtener un nivel de continua a partir del PWM generado por Arduino, se utiliza un filtro RC pasa-bajo. Esta señal será utilizada por el variador de frecuencia en caso de utilizar motores de corriente alterna.

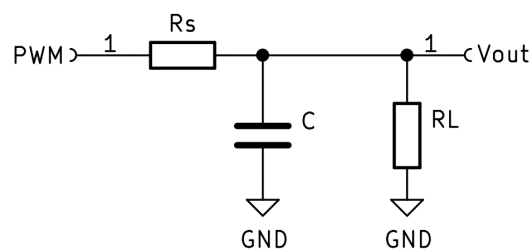


Figura 11.11 – Filtro PWM

Se supondrá una impedancia de entrada del variador de frecuencia de  $R_L \geq 100k\Omega$ .

Teniendo en cuenta que la tolerancia de las resistencias utilizadas es del 5%, cualquier resistencia en serie  $R_S$  que cumpla que  $R_S \leq 20 \cdot R_L$  será despreciable frente la impedancia de entrada  $R_L$  [2].

Por tanto, se selecciona una  $R_S = 3,9k\Omega \leq 100k\Omega$ .

Por otra parte, si se pretende filtrar la parte alterna de la señal PWM y obtener el nivel medio a la salida del filtro, la impedancia del condensador para la frecuencia deseada deberá ser, de igual forma, despreciable frente a la resistencia serie  $R_L$ . Por tanto, se calcula que, para la frecuencia de 500 Hz del PWM de Arduino:

$$Z_c \leq \frac{R_S}{20} \quad (11.34)$$

$$\frac{20}{2 \cdot \pi \cdot f \cdot C} \leq R_S \quad (11.35)$$

$$C \geq \frac{20}{2 \cdot \pi \cdot 500 \cdot R_S} \quad (11.36)$$

$$C \geq 1,63 \mu F \quad (11.37)$$

## 11.4. Alimentación del circuito

Con el fin de apagar el ruido eléctrico producido por la alimentación, se han añadido dos condensadores de filtro, tanto en la entrada positiva como en la negativa, como se observa en la figura 11.12.

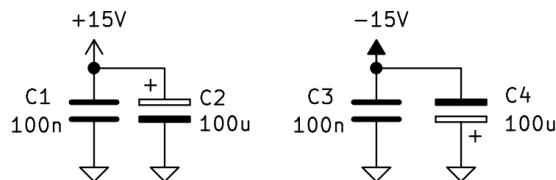


Figura 11.12 – Filtro de entrada de alimentación

Además se han añadido dos indicadores LED en las entradas de alimentación, como se ilustra en la figura 11.13.

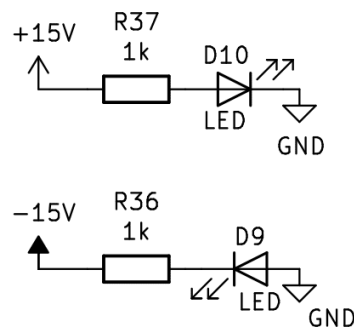
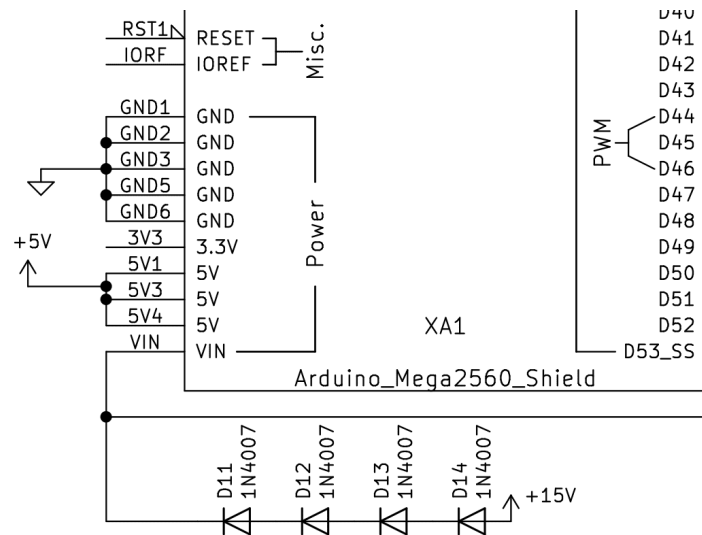


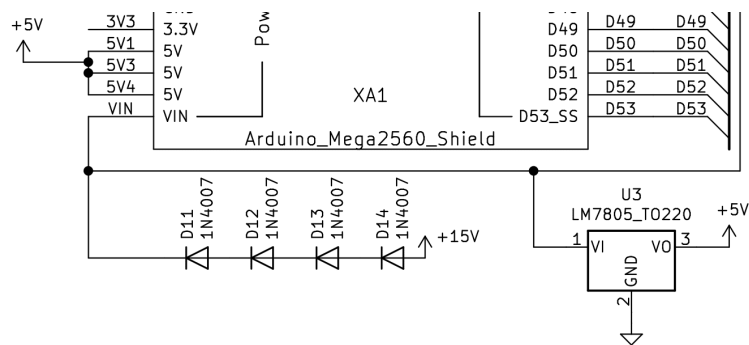
Figura 11.13 – Indicadores LED de alimentación

Es necesario adaptar la tensión positiva de entrada para alimentar la placa de Arduino. La figura 7.7 del capítulo 7 (análisis de soluciones) establece una tensión de entrada de 7V a 12V. Para poder adaptar la tensión de entrada de del circuito analógico (15V) a la entrada de la placa Arduino se colocan 4 diodos 1N4007 en serie. De esta manera se baja el voltaje 2,8V aproximadamente.



**Figura 11.14 – Adaptación de tensiones**

Por último, con el objetivo de reforzar la capacidad de corriente del sistema, se añade, en paralelo con el regulador de tensión de entrada de Arduino, un LM7805 [73] (regulador de tensión fijo) junto con un dissipador de calor.



**Figura 11.15 – Refuerzo de la capacidad de corriente**



## 12 PROTOCOLO CANOPEN

Se ha indicado en el capítulo 7 (análisis de soluciones) que se utilizará un módulo que servirá de interfaz entre el microcontrolador Arduino y el bus CAN al que se conectarán los encoders. Este módulo está formado por el controlador de bus CAN MCP2515, con interfaz SPI entre el propio controlador y la placa Arduino, así como un transceptor CAN MCP2551, ambos de Microchip:

- MCP2551: Tal como se describe en la hoja de características del integrado [60], se trata de un chip transceptor, que funciona como interfaz entre el controlador de protocolo CAN y el bus físico, funcionando a velocidades de hasta 1 Mb/s. Lo más habitual en un sistema de comunicaciones CAN es que cada dispositivo conectado al bus disponga de un transceptor de estas características, cuya función principal será la de adaptar las señales digitales del controlador CAN de cada nodo, de manera que puedan transmitirse adecuadamente a través del bus físico, controlando los niveles lógicos de tensión.
- MCP2515: Tal como se especifica en la hoja de características [59], el MCP2515 es un microcontrolador que incorpora herramientas como máscaras, filtros, buffers de recepción y transmisión, etc, que facilitan el envío y transmisión de mensajes a través del bus CAN. La lectura y transmisión de los registros de este controlador utiliza el interfaz SPI.

Para lograr la comunicación entre el microcontrolador Arduino y los encoders a través del módulo CAN se ha utilizado la biblioteca SPI.h y la biblioteca CAN\_BUS\_Shield-master.h [27], respaldada por licencia MIT. Concretamente, de la librería CAN\_BUS\_Shield-master.h se han utilizado las siguientes funciones:

- CAN.begin: init can and set speed
- CAN.checkReceive: check if got something
- CAN.getCanId(): when receive something, you can get the can id!!
- CAN.readMsgBuf(&len, buf): read message buf
- CAN.sendMsgBuf: send buf

Estas funciones únicamente facilitan el envío y recepción de mensajes a través del bus CAN, sin embargo, se requerirá un estudio del protocolo CANopen para configurar el contenido de estos mensajes y garantizar la comunicación con los encoders. En primer lugar, se realizará una breve introducción al protocolo de comunicación CANopen.

## 12.1. Modelo OSI

El protocolo de comunicaciones CANopen, desarrollado por CiA (CAN in Automation), y que se acoje a la norma UNE-EN 50325-4, está basado en el protocolo CAN. Este último se ciñe al modelo de referencia OSI de 7 capas.

Se trata de un modelo de referencia para las comunicaciones industriales, que divide la red de comunicaciones en 7 capas independientes. Cada una de estas capas realiza una función perfectamente definida, de manera que se reducirá el flujo de información entre capas.



Figura 12.1 – Modelo OSI [61]

## 12.2. Protocolo CANopen

El protocolo CAN utiliza únicamente las dos capas inferiores de la pirámide OSI, la capa física y la capa de enlace, es decir, simplemente permite la transmisión de paquetes básicos. Sin embargo, el protocolo CANopen incorpora por encima de la capa física y de enlace la capa de aplicación.

### 12.2.1. Diccionario de objetos

La adición de esta última capa permite la introducción del concepto de objetos para la organización de la comunicación. Así, existen siete protocolos, implementados en objetos [37,

80]:

- Gestión de red (NMT): la finalidad de este protocolo es la de cambiar el estado de los nodos (inicialización, detención, etc).
- Sincronización (SYNC): la transmisión de un mensaje SYNC desde el nodo maestro provoca la respuesta de uno o varios nodos (dependiendo de la configuración).
- Emergencia (EMCY): se utiliza para notificar al resto de nodos de la red la existencia de un fallo en el nodo emisor del mensaje EMCY.
- Marca de tiempo (Timestamp): relacionado con PDO
- Process Data Object (PDO): se trata de un objeto pensado para optimizar la transmisión de datos de los nodos de la red en tiempo real. Existen dos tipos de objetos PDO:
  - TPDO para la transmisión
  - RPDO para la recepción
- System Data Object (SDO): es utilizado para acceder y cambiar la configuración de los nodos de la red de comunicaciones.
- Monitoreo de nodos (Heartbeat): relacionado con SDO. Se utiliza para verificar la capacidad de comunicación de todos los nodos conectados a la red.

En el diccionario de objetos de cada dispositivo, a cada objeto le corresponde un índice, un subíndice y un rango de valores:



## 6. Programming and diagnosis (object directory)

### 6.2.13 Object 1800<sub>h</sub> - First transmit PDO

Index	Sub	Name	Data type	Access	Range/Value	Default
1800 <sub>h</sub>	00	Largest supported subindex	Unsigned8	ro	3	
	01	COB-ID	Unsigned32	rw	0 ... 0x7FF	0x180 + Node-ID
	02	Transmission type	Unsigned8	rw	252,253,254	253
	03	Inhibit time	Unsigned16	rw	0 ... 65535	0

Figura 12.2 – Ejemplo de objeto del diccionario CANopen [70]

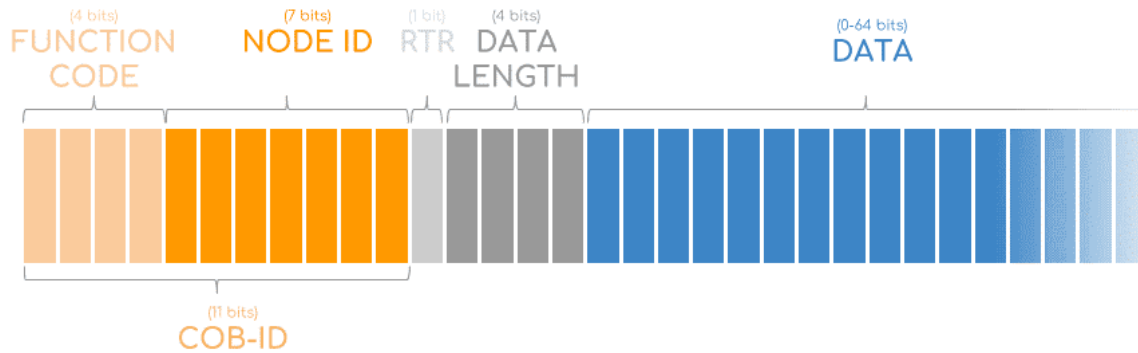
### 12.2.2. Modos de comunicación

Por otro lado, CANopen permite utilizar tres modelos de comunicación:

- Maestro/esclavo
- Cliente/servidor
- Productor/consumidor

### 12.2.3. Trama CANopen

La trama CANopen presenta la configuración que se muestra en la figura 12.3:



**Figura 12.3** – *csselectronics*. CANopen CAN frame [37]

Los primeros 11 bits de la trama conforman el identificador de objeto de comunicación (COB-ID). De estos 11 bits, los 4 primeros indican el código de función, mientras que los 7 últimos representan la ID del nodo. De esta manera, el COB-ID determina qué nodo está emitiendo o recibiendo el mensaje y a través de qué objeto.

El octavo bit de la trama es el bit RTR (Remote Transmission Request), que se utiliza en transmisiones de objetos PDO de manera asíncrona. Más adelante se profundizará en este aspecto. Por último, los siguientes 4 bits indican la longitud del mensaje que se transmitirá o recibirá, entre 0 y 64 bits.

Para realizar las comunicaciones mediante cualquiera de los protocolos de comunicación de CANopen, existen diccionarios de objetos propios de cada dispositivo con una estructura estandarizada, que definen todos los parámetros del funcionamiento de esos nodos en la red. Así, dependiendo del tipo de comunicación que queramos realizar, utilizaremos un protocolo de comunicación CANopen distinto.

A cada protocolo se le asocia un objeto de comunicación, y a cada objeto, un código de función. Si recordamos el formato del COB-ID, los primeros 4 bits de este definían el código de función, es decir, el objeto de comunicación. En la figura 12.4 se muestra la lista de códigos de función asociados a cada objeto del diccionario. Esta tabla será de gran utilidad más adelante, a la hora de configurar los diálogos con los encoders.

COMMUNICATION OBJECT	FUNCTION CODE (4 bit, bin)	NODE IDs (7 bit, bin)	COB-IDs (hex)	COB-IDs (dec)	#
1 NMT	0000	0000000	0	0	1
2 SYNC	0001	0000000	80	128	1
3 EMCY	0001	0000001-1111111	81 - FF	129 - 255	127
4 TIME	0010	0000000	100	256	1
5 Transmit PDO 1	0011	0000001-1111111	181 - 1FF	385 - 511	127
Receive PDO 1	0100	0000001-1111111	201 - 27F	513 - 639	127
Transmit PDO 2	0101	0000001-1111111	281 - 2FF	641 - 767	127
Receive PDO 2	0110	0000001-1111111	301 - 37F	769 - 895	127
Transmit PDO 3	0110	0000001-1111111	381 - 3FF	897 - 1023	127
Receive PDO 3	1000	0000001-1111111	401 - 47F	1025 - 1151	127
Transmit PDO 4	1001	0000001-1111111	481 - 4FF	1153 - 1279	127
Receive PDO 4	1110	0000001-1111111	501 - 57F	1281 - 1407	127
6 Transmit SDO	1011	0000001-1111111	581 - 5FF	1409 - 1535	127
Receive SDO	1100	0000001-1111111	601 - 67F	1537 - 1693	127
7 HEARTBEAT	1110	0000001-1111111	701 - 77F	1793 - 1919	127

**Figura 12.4** – *csselectronics*. Function code [37]

## 12.3. Comunicación con los encoders

En este apartado se describirá el proceso seguido hasta lograr la comunicación con los encoders. El primer paso consistió en realizar una comunicación simple con un único encoder conectado al bus CAN, siguiendo los pasos indicados en el manual de usuario del encoder [70].

### 7.1 Boot-up

The following Table shows encoder boot-up, from switching on the supply voltage to initial transmission of the position value. The position value is subsequently polled via a Sync command.

Action	Id	Rx/Tx	DLC	Databytes								Remark
				00	01	02	03	04	05	06	07	
<b>Bus active, encoder in the bus with node address 1</b>												
Voltage off -> on	701	Rx	1	00								Boot up node 1
Start all nodes	0	Tx	2	1	0							Operational for all nodes
	181	Rx	2	xx LSB	xx MSB							Response from TBN (PDO1)
<b>Master (user) transmits a Sync</b>												
Sync from the master	80	Tx	0									
	281	Rx	2	xx LSB	xx MSB							Response from TBN (PDO2)

All values in hex!

**Figura 12.5** – Ejemplo de boot-up [70]

Esta comunicación fue establecida mediante el envío desde Arduino de un objeto SYNC, al cual el encoder responde enviando un PDO con la posición del mismo.

Puede verse que en el arranque, el encoder transmite un mensaje con un objeto HEART-BEAT con COB-ID 701 (tabla de la figura 12.4). A continuación se transmite desde Arduino un mensaje de inicialización de nodos, al que el encoder responde a través del PDO1, en el cual ya va incluida la posición. Una vez arrancado, el encoder envía un PDO2 con la posición desde la Id 281 (COB-ID 280+ ID del nodo) como respuesta al mensaje SYNC (COB-ID 80) transmitido desde Arduino.

El código puede consultarse en el anexo 18.1.

En el monitor serie del IDE de Arduino se pueden ver las respuestas del encoder tal como se indica en el manual de usuario [70]:

```

COM5
Enter setting mode success
set rate success!!
Enter Normal Mode Success!!
Inicializacion del CAN BUS: OK!
En espera del cambio del voltaje OFF -> ON
-----Setup-----
COB-ID  Databyte 0    Databyte 1
0x701      0
-----
COB-ID  Databyte 0    Databyte 1
0x181    44          7
-----Fin Setup-----
COB-ID  Databyte 0    Databyte 1
0x281    44          7
Posición:163.52
-----
COB-ID  Databyte 0    Databyte 1
0x281    42          7
Posición:163.34
-----
COB-ID  Databyte 0    Databyte 1
0x281    44          7
Posición:163.52
-----
COB-ID  Databyte 0    Databyte 1
0x281    42          7
Posición:163.34
-----
COB-ID  Databyte 0    Databyte 1
0x281    40          7
Posición:163.16
-----
COB-ID  Databyte 0    Databyte 1
0x281    3E          7
Posición:162.99
-----
COB-ID  Databyte 0    Databyte 1
0x281    3C          7
-----
 Autoscroll  Mostrar marca temporal
Nueva línea 115200 baudio Limpiar salida

```

**Figura 12.6** – Funcionamiento mediante mensajes SYNC

El siguiente paso fue realizar el mismo procedimiento conectando los dos encoders, pero dado que, por defecto, estos vienen configurados con la dirección Id 1, fue necesario modificar la dirección de uno de ellos. Para ello se han seguido los pasos indicados en el manual de usuario, desde el modo de configuración LSS (Layer Setting Services).

Aktion	Id	Rx/Tx	DLC	Databytes								Comment
				00	01	02	03	04	05	06	07	
Stop Node	0	Tx	2	02	00							Stop node for all nodes
LSS-Switch Mode Selective	7E5	Tx	8	40	0D	01	00	00	00	00	00	1. Transmission of the manufacturer name
LSS-Switch Mode Selective	7E5	Tx	8	41	00	60	00	00	00	00	00	2. Transmission of the product number
LSS-Switch Mode Selective	7E5	Tx	8	42	03	00	01	00	00	00	00	3. Transmission of the revision number
LSS-Switch Mode Selective	7E5	Tx	8	43	66	BE	02	00	00	00	00	4. Transmission of the serial number (in this case: 179814)
	7E4	Rx	8	44	00	00	00	00	00	00	00	Success message from the sensor, which is now in LSS Configuration-Mode
LSS-Configure Modul ID	7E5	Tx	8	11	02	00	00	00	00	00	00	Node address 2 programming
	7E4	Rx	8	11	00	00	00	00	00	00	00	Success message from the sensor
LSS-Store Configuration	7E5	Tx	8	17	00	00	00	00	00	00	00	Zero-voltage-protected saving
	7E4	Rx	8	17	00	00	00	00	00	00	00	Success message from the sensor
LSS-Switch Mode Global: Operation Mode	7E5	Tx	8	04	00	00	00	00	00	00	00	Sensor is reset to LSS-Operation-Mode
	702	Rx	1	00								Boot-up node with new node address

All values in hex!

**Figura 12.7** – Cambio de dirección vía LSS [70]

La tabla de la figura 12.7 muestra los mensajes emitidos y recibidos por el encoder necesarios para modificar la Id a la número dos. En el código confeccionado 18.2 se replica este mismo diálogo, al que se le ha añadido los dos primeros pasos realizados en apartado anterior, es decir, espera del mensaje transmitido por el encoder en la transición de 0 V a VCC y, posteriormente, inicialización del nodo, a la que el encoder responde con el objeto PDO1.

Además, es necesario modificar los datos propios del encoder (número de serie, número de producto y número de revisión). Estos los podemos encontrar en la hoja de características del producto y en la etiqueta del mismo.

Cabe destacar que ha sido imposible encontrar la hoja de características en la web del fabricante, por lo que ha sido necesario ponerse en contacto con el servicio de atención al cliente de la propia empresa y solicitar la hoja de características, que se adjunta en el anexo 20.



**Lieferform**

Wenn nicht anders vereinbart, werden die Winkelcodierer mit folgenden Werten eingestellt geliefert:

- Knoten-Nummer: 1  
Einstellbar über LSS oder Objekt 2000
- Baudrate: 20 kBaud

**PDO 1:**

Index	Sub-Index	Kommentar	Vorgabewert
1800h	1	COB-ID für PDO 1	180h + Knotenadresse
	2	transmission type (asynchron, herstellerdefiniert)	253
	3	inhibit time	0

**PDO 2:**

Index	Sub-Index	Kommentar	Vorgabewert
1801h	1	COB-ID für PDO 2	280h + Knotenadresse
	2	transmission type (zyklisch synchron)	1

**SDO:**

SDO (tx) (Codierer -> Master): 580h (1408) + Knotenadresse  
 SDO (rx) (Master -> Codierer): 600h (1536) + Knotenadresse  
 Hinweis: Die SDO-Identifizierer sind nicht änderbar

LSS-Adresse (siehe Identity-Objekt 1018):

Vendor ID = 0x0000 010D  
 Produkt ID = 0x0000 06000  
 Revisionsnummer = 0x0001 0003  
 Seriennummer = siehe Typenschild

Bemerkung: LSS = Layer Setting Service DSP 305 V1.1.1

**Programmed values as supplied**

Unless agreed otherwise, the encoders are supplied with the following adjusted values

- Node number: 1  
Adjustable via LSS or object 2000
- Baud rate: 20 kBaud

**PDO1:**

Index	Sub-Index	Comment	Default value
1800h	1	COB-ID for PDO 1	180h + Node-ID
	2	transmission type (asynchronous, manufacturer defined)	253
	3	inhibit time	0

**PDO 2:**

Index	Sub-Index	Comment	Default value
1801h	1	COB-ID for PDO 2	280h + Node-ID
	2	transmission type (cyclic synchronous)	1

**SDO:**

SDO (tx) (Encoder -> Master): 580h (1408) + Node-ID  
 SDO (rx) (Master -> Encoder): 600h (1536) + Node-ID  
 Hint: SDO-identifiers are not changeable

LSS-address (see identity-object 1018):

Vendor ID = 0x0000 010D  
 Product ID = 0x0000 6000  
 Revision number = 0x0001 0003  
 Serial number = see nameplate

Note: LSS = Layer setting service DSP 305 V1.1.1

**Figura 12.8 – Datos del encoder [20]**



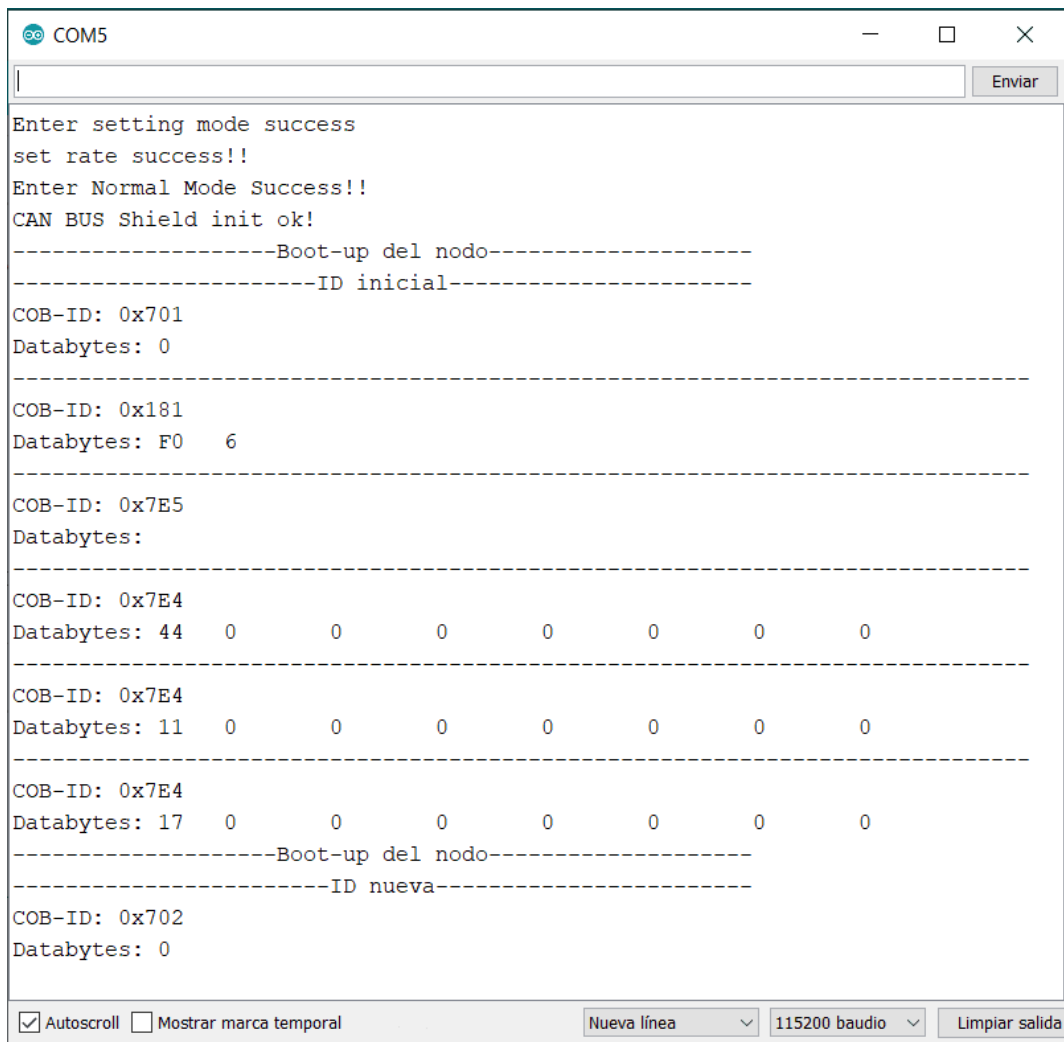
**Figura 12.9 – Número de serie**

Dado que los datos se transmiten en código hexadecimal, el número de serie correspondiente al encoder será:

- S/N: 459764 = 0x0703F4

El código puede consultarse en el anexo 18.2.

En el monitor serie se verifica el cambio de dirección ID del nodo:



```
COM5
Enter setting mode success
set rate success!!
Enter Normal Mode Success!!
CAN BUS Shield init ok!
-----Boot-up del nodo-----
-----ID inicial-----
COB-ID: 0x701
Databytes: 0
-----
COB-ID: 0x181
Databytes: F0 6
-----
COB-ID: 0x7E5
Databytes:
-----
COB-ID: 0x7E4
Databytes: 44 0 0 0 0 0 0 0
-----
COB-ID: 0x7E4
Databytes: 11 0 0 0 0 0 0 0
-----
COB-ID: 0x7E4
Databytes: 17 0 0 0 0 0 0 0
-----Boot-up del nodo-----
-----ID nueva-----
COB-ID: 0x702
Databytes: 0
 Autoscroll  Mostrar marca temporal
Nueva línea 115200 baudio Limpiar salida
```

Figura 12.10 – Verificación del cambio de ID

### 12.3.1. Comunicación simultánea con los dos encoder

Una vez cambiada la ID de uno de los dos encoders, podemos conectarlos al bus. En el manual de usuario [70] se especifican distintos modos de funcionamiento, de los cuales podrían adaptarse a las necesidades del proyecto los dos siguientes: Polling Mode (asynchronous-RTR) y Synchronous Mode (synchronous-cyclic).

El modo síncrono (cíclico) ofrece un contador de mensajes SYNC, de manera que se puede configurar para que sólo transmita el mensaje PDO con la posición después de un número de mensajes SYNC establecidos por el usuario, mientras que el modo asíncrono (RTR), el encoder transmite la posición al recibir una solicitud del maestro. Este último modo de funcionamiento permite direccionar la solicitud del maestro a cada nodo del bus, mientras que en el modo síncrono-cíclico el mensaje SYNC se envía a todos los nodos, y cada uno de ellos res-

ponde con el envío de la posición únicamente cuando el contador de mensajes SYNC alcance un número de mensajes determinado por el usuario.

Después de realizar varias pruebas, el método más cómodo y que mejor se adapta al proyecto es el modo polling (RTR).



## 4. Process data exchange

### 4. Process data exchange

In the case of CANopen, I/O data traffic takes place via the PDO (Process Data Object) message. The T Series encoders provide two PDOs. Their transmission behaviour (transmission type) can be set independently of each other.

#### 4.1 Operating modes

The following operating modes can be set:

##### **Polling Mode (asynchronous-RTR):**

The encoder transmits the current, actual position value, after the current position value has been polled via a „Remote Frame“ message by the master.

##### **Asynchronous Mode (cyclic / acyclic):**

Without being requested to do so by the master, the encoder transmits the current, actual position value following a value change and following the expiry of a cyclic time (cyclic timer > 0). The cycle time can be parameterised for values between 1 ms and 65,535 ms.

##### **Synchronous Mode (synchronous-cyclic):**

After receiving a SYNC message transmitted by a master, the encoder transmits the current, actual position value. The encoder's SYNC counter can be parameterised in such a way that the position value is only transmitted following a defined number of SYNC messages.

**Figura 12.11 – Modos de transmisión [70]**

Se ha indicado anteriormente que existen dos tipos de objeto PDO:

- TPDO: se utiliza para transmitir datos al nodo
- RPDO: se utiliza para recibir datos del nodo

Para hacer una solicitud a un determinado dispositivo desde el maestro, se envía un TPDO vacío con el bit RTR activado [80]. Para poder realizar este tipo de transmisiones asíncronas con solicitud RTR, será necesario configurar los dispositivos con este tipo de transmisión. En la tabla del apartado 4.1 del manual de usuario [70] se indican los códigos de transmisión de los distintos modos de transmisión :

Transmission Type					
Code	Transmission type				
	Cyclic	Acyclic	Synchron	Asynchronous	RTR
0		x	x		
1-240	x		x		
241-251	Reser				
252			x		x
253				x	x
254				x	
Meaning					
0	After SYNC, but only if the value has changed since the last SYNC.				
1-240	Transmit value after 1st or 240th SYNC message.				
252	Cycle Timer = 0	Position integration on SYNC; output of the stored position following request (Remote Frame).			
	Cycle Timer ≠ 0	Current position is transmitted in the timer's cycle. Position integration on SYNC; output of the stored position following request (Remote Frame) remains active.			
253	Cycle Timer = 0	Current position is transmitted upon request (Remote Frame).			
	Cycle Timer ≠ 0	Current position is transmitted in the timer's cycle. Current position is also transmitted following request (Remote Frame).			
254	Cycle Timer = 0	Data output occurs in the event of a position change. Current position is also transmitted following request (Remote Frame).			
	Cycle Timer ≠ 0	Current position is transmitted in the timer's cycle. Data output also occurs in the event of a position change. Current position is also transmitted following request (Remote Frame).			

**Figura 12.12** – Códigos de los modos de transmisión [70]

En la tabla de la figura 12.12 se observa que el código del modo polling es el 253. Por lo tanto, habrá que configurar los dispositivos con este código para establecer este modo de transmisión. Sin embargo, más adelante, la tabla del objeto 1800h del diccionario (PDO1) indica que el modo de transmisión por defecto de este objeto es precisamente el correspondiente al código 253, de manera que no será necesaria la configuración del dispositivo.



## 6. Programming and diagnosis (object directory)

### 6.2.13 Object 1800<sub>n</sub> - First transmit PDO

Index	Sub	Name	Data type	Access	Range/Value	Default
1800 <sub>n</sub>	00	Largest supported subindex	Unsigned8	ro	3	
	01	COB-ID	Unsigned32	rw	0 ... 0x7FF	0x180 + Node-ID
	02	Transmission type	Unsigned8	rw	252,253,254	253
	03	Inhibit time	Unsigned16	rw	0 ... 65535	0

Object 1800<sub>n</sub> defines the first PDO's communication data. Only transmission types 252,253,254 are supported.

Sub-index 01 (COB ID) contains the identifier for PDO1.

In default status, this has the value 0x180 + node address. If the object is written, the node address is no longer added. The default status can be restored via „load default“ (object 1011<sub>n</sub>).

The inhibit time (ms) is the time before the PDO is permitted to be transmitted again.

(See operating modes in [Chapter 4.1](#))

**Figura 12.13 – Objeto PDO1**

Por tanto, para obtener la posición de cada encoder bastará con enviar un TPDO1 (First transmit PDO) sin datos y con el bit RTR activado. El COB-ID correspondiente se obtiene de la tabla de la figura 12.4:

- Código de función: 00112
- ID del nodo: 00000012 - 00000112

El COB-ID correspondiente en hexadecimal será entonces 0x180+ ID, es decir, 0x181 o 0x182.

En el monitor serie se visualiza el encío de datos de los encoders:

```

COM5
Enter setting mode success
set rate success!!
Enter Normal Mode Success!!
CAN BUS Shield init ok!
-----Setup-----
OFF -> ON
-----
COB-ID: 0x701  Databytes: 0
COB-ID: 0x702  Databytes: 0
-----
Start all nodes
-----
COB-ID: 0x181  Databytes: 94  8
COB-ID: 0x182  Databytes: 76  E
-----Loop-----
-----
Nombre Nodo    COB-ID        Posicion
-----
AZIMUT         0x181         193.05
ELEVACION     0x182         325.45
AZIMUT         0x181         193.58
ELEVACION     0x182         324.92
AZIMUT         0x181         194.11
ELEVACION     0x182         324.40
AZIMUT         0x181         194.64
AZIMUT         0x181         195.16
ELEVACION     0x182         323.87
ELEVACION     0x182         323.34
AZIMUT         0x181         195.69
AZIMUT         0x181         196.22
AZIMUT         0x181         196.75
Autoscroll [x]  Mostrar marca temporal [ ]  Nueva línea [v]  115200 baudio [v]  Limpiar salida [b]

```

**Figura 12.14** – Funcionamiento en modo Polling (RTR activado)

Este resultado se obtiene a partir del código del programa principal referente al protocolo CANopen, adjunto en el anexo 17.

## 13 RECEPTOR GPS

En este anexo se describe el proceso de decodificación de la información procedente del receptor GPS NEO6M.

### 13.1. Estándar de comunicaciones NMEA

El formato NMEA (National Marine Electronic Association) es un estándar de comunicaciones, utilizado originalmente para establecer la comunicación entre equipos de navegación. Como ya se ha indicado en la sección 7.1.2, se utiliza el módulo NEO 6M para realizar la lectura GPS. Este se comunica con la placa Arduino a través de puerto serie, por lo que se utilizará la biblioteca SoftwareSerial.h, incluida en el propio IDE Arduino.

Con este pequeño programa, que se adjunta en el anexo 18.3, se visualiza en el puerto serie la información transmitida por el receptor GPS.

Tal como se aprecia en la figura 13.1, el receptor que se utiliza transmite la información en distintos formatos.

El resultado que se visualiza a través del monitor serie del IDE de Arduino es el siguiente:

```

COM3
$GPRMC,192205.00,A,4329.42037,N,00813.22585,W,2.296,,010819,,,A*6D
$GPVTG,,T,,M,2.296,N,4.253,K,A*2C
$GPGGA,192205.00,4329.42037,N,00813.22585,W,1,04,2.40,0.0,M,51.6,M,,*4F
$GPGSA,A,2,30,06,07,19,,,,,,,,,2.60,2.40,1.00*0A
$GPGSV,2,1,05,06,74,233,23,07,37,144,28,17,10,207,10,19,19,218,18*70
$GPGSV,2,2,05,30,16,172,29*47
$GPGLL,4329.42037,N,00813.22585,W,192205.00,A,A*7A
$GPRMC,192206.00,A,4329.42054,N,00813.22548,W,0.908,,010819,,,A*64

```

Figura 13.1 – Datos serie del receptor GPS

Dentro del estándar NMEA existen distintos formatos, aunque utilizaremos el GPRMC, ya que es el más utilizado para este tipo de aplicaciones. Presenta la siguiente estructura [57, 49]:

```
$GPRMC,hhmmss.ss,A,III.II,a,yyyyy.yy,a,x.x,x.x,ddmmyy,x.x,a*hh
```

Cada uno de los parámetros que se transmiten dentro de la trama va separado por comas. Así, en primer lugar, nos encontramos con el formato de la trama, GPRMC.

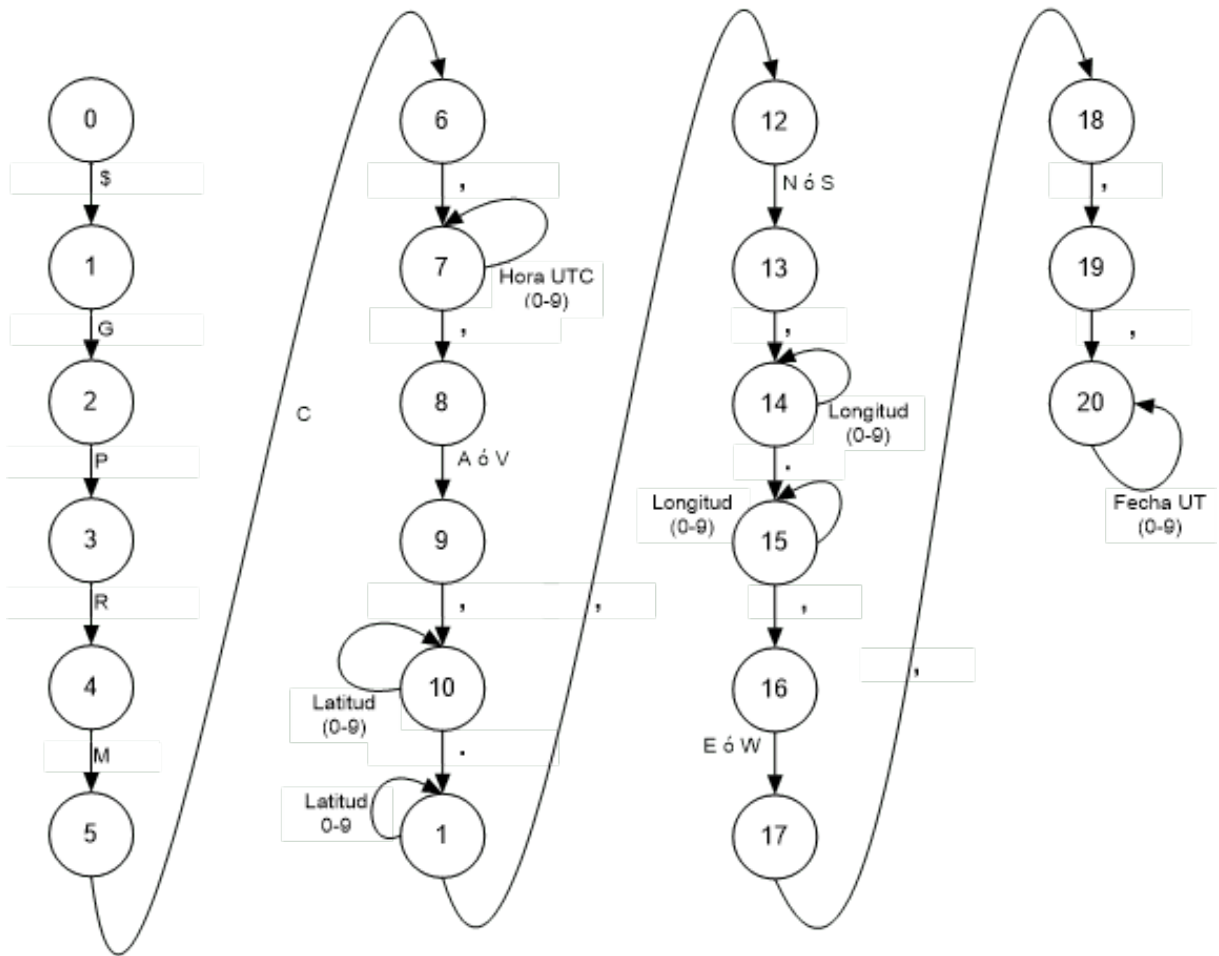
- hhmmss.ss: Hora UTC (Coordinated Universal Time)
- A: Estado de validez (A=válido, V=inválido)
- IIII.II: longitud

- a: norte(N)/sur(S)
- yyyy.yy: latitud
- a: este(E)/oeste(W)
- x.x: velocidad en nudos
- x.x: curso en grados
- ddmmyy: fecha UT (Universal Time)
- x.x,a: variación magnética en grados
- a: este(E)/oeste(W)
- \*hh: Checksum

## 13.2. Máquina de estados

Para decodificar esta trama se ha optado por implementar una máquina de estados [48], de manera que con cada carácter recibido por puerto serie, se comprueba si concuerda con el formato seleccionado y se guarda en la variable correspondiente cuando proceda:

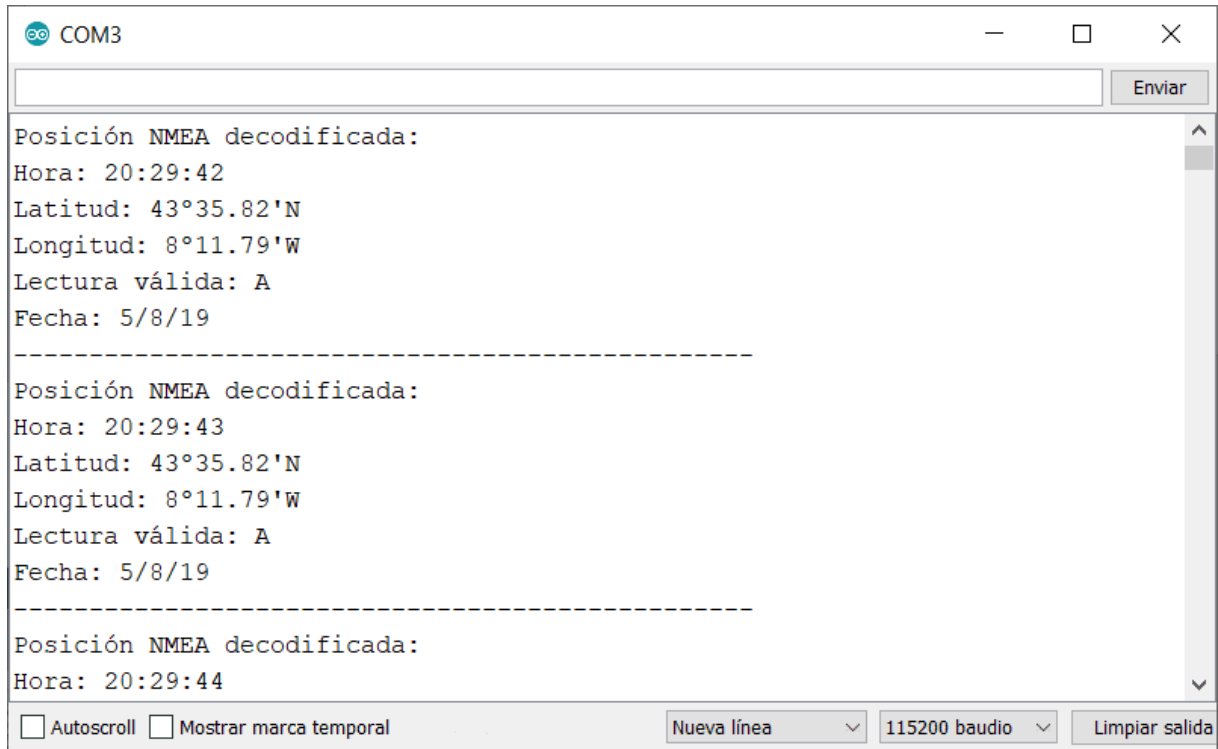




**Figura 13.2 – Máquina de estados GPS**

En cada estado, en caso de que el carácter recibido no se corresponda con el que establece el formato GPRMC, se devuelve la máquina de estados al estado inicial (en el diagrama no se representa la devolución en cada estado al estado inicial para mayor simplicidad visual). De esta manera se garantiza que sólo se decodificará completamente la trama si esta es la correcta. Esto quiere decir que no hay posibilidad de confusión con otro formato, la máquina de estados decodificará la trama completa únicamente cuando esta sea en el formato indicado.

En el monitor serie se verifica la decodificación:



**Figura 13.3** – Trama NMEA decodificada

El código con el que se ha obtenido este resultado se encuentra en el programa principal (anexo 18) en las funciones referentes a la lectura GPS. En él se realizaron las modificaciones necesarias para poder visualizar en el monitor serie los resultados.

## 14 TRANSMISIÓN DE LA POSICIÓN DEL SATÉLITE POR SOFTWARE EXTERNO

En el capítulo 7 de análisis de soluciones se establece que para este proyecto se utilizará el software PstRotator para transmitir al microcontrolador los parámetros de posición del satélite a seguir. Se indica también que esta transmisión se realizará en formato Easycom. Una vez instalado el software en el equipo, se procede a configurarlo.

### 14.1. Guía de configuración del software PstRotator

En primer lugar, debemos establecer nuestra ubicación en coordenadas de latitud y longitud, clicando en Setup - My Location:

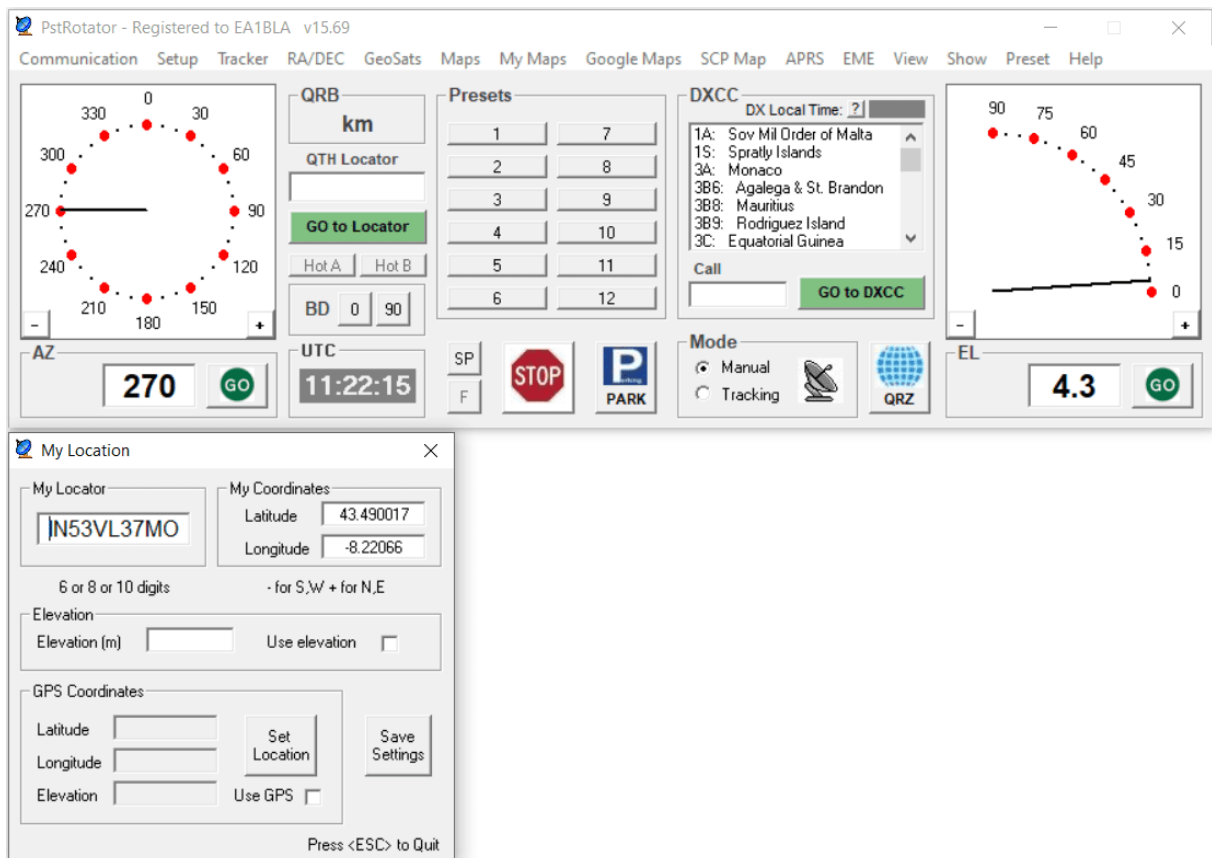


Figura 14.1 – Configuración de la ubicación

A continuación, al clicar en la pestaña Setup - Satellites Tracking se observa que aparece una nueva ventana del programa con el nombre de Satellites Tracking:

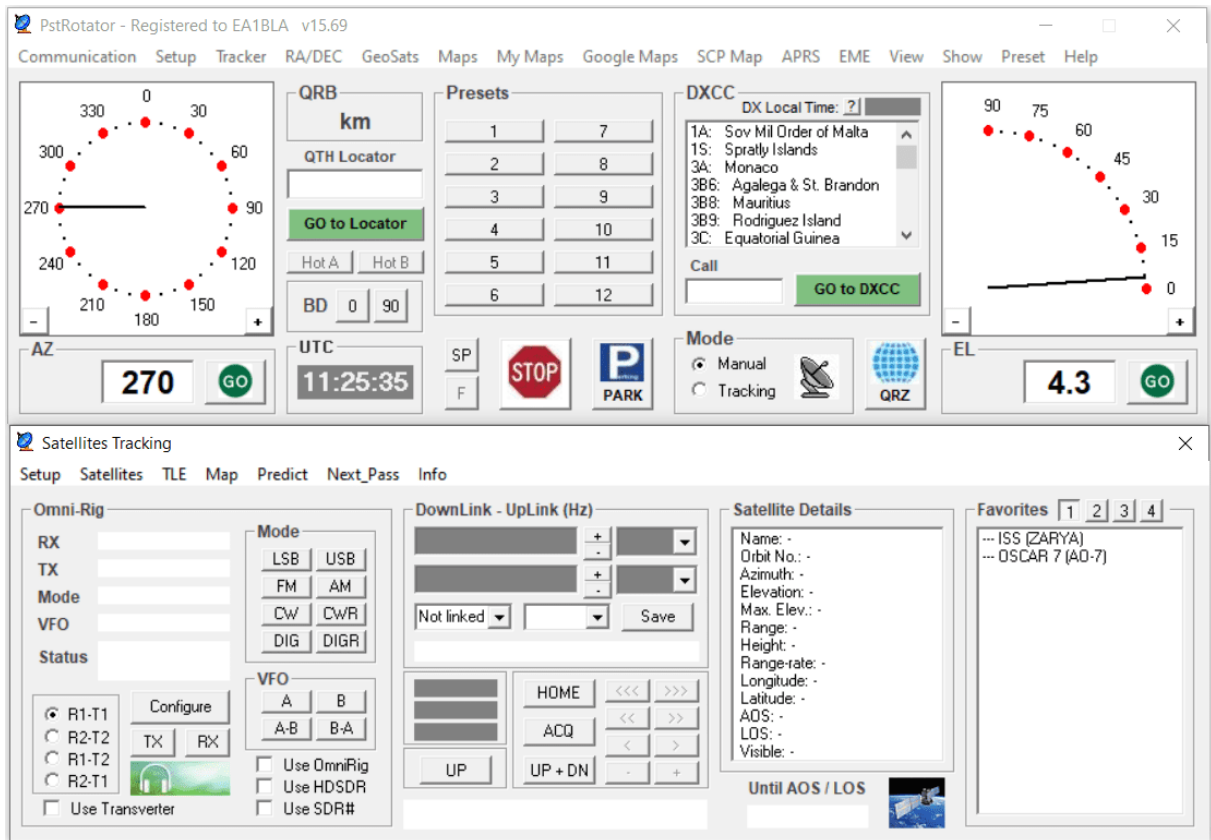
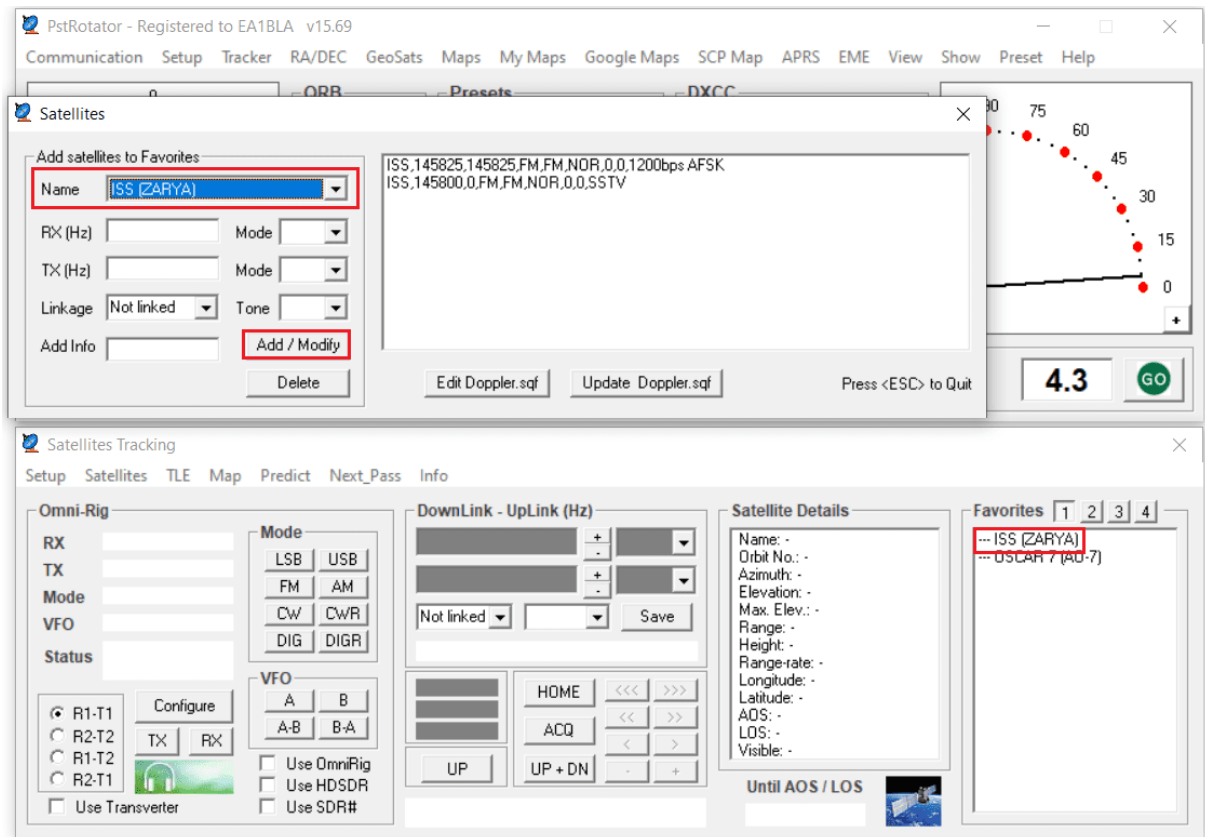


Figura 14.2 – Configuración de la ventana Satellites Tracking

Esta nueva ventana del programa permite, entre otras opciones, seleccionar los satélites de una determinada base de datos. Para ello, basta con clicar sobre la pestaña Satellites, seleccionar el satélite que se desea seguir, y añadirlo a la lista:



**Figura 14.3** – Configuración de la lista de satélites

Es muy importante también mantener los datos TLE actualizados para que la posición de apuntamiento proporcionada por el programa sea correcta. Esto se logra en la pestaña TLE de la segunda ventana del PstRotator. En la figura 14.4 se indica cómo se deben actualizar estos parámetros TLE.

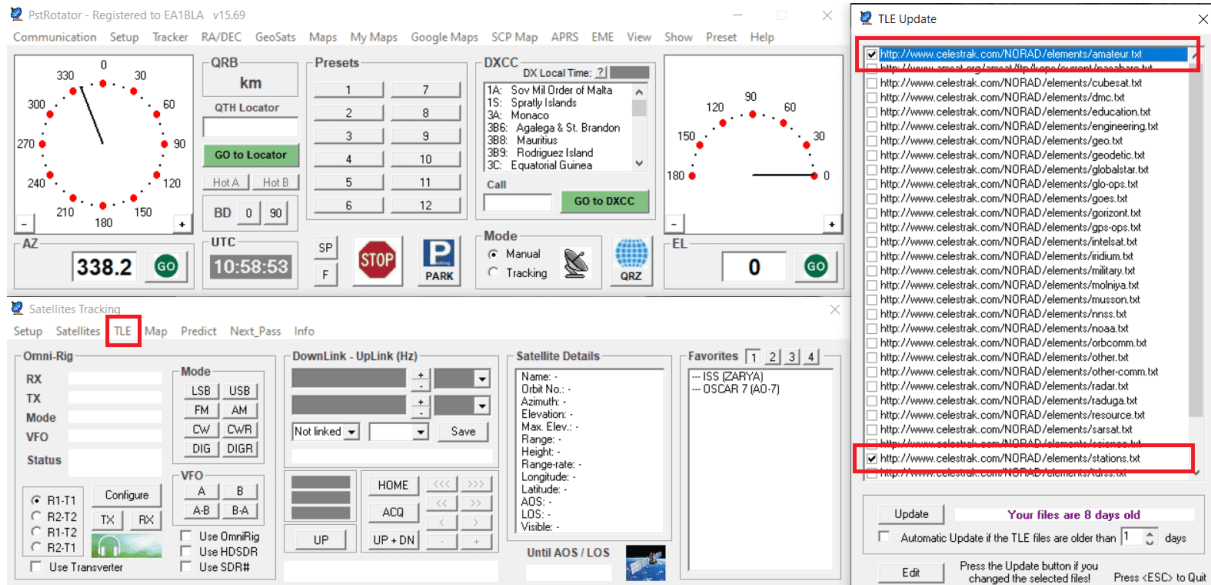
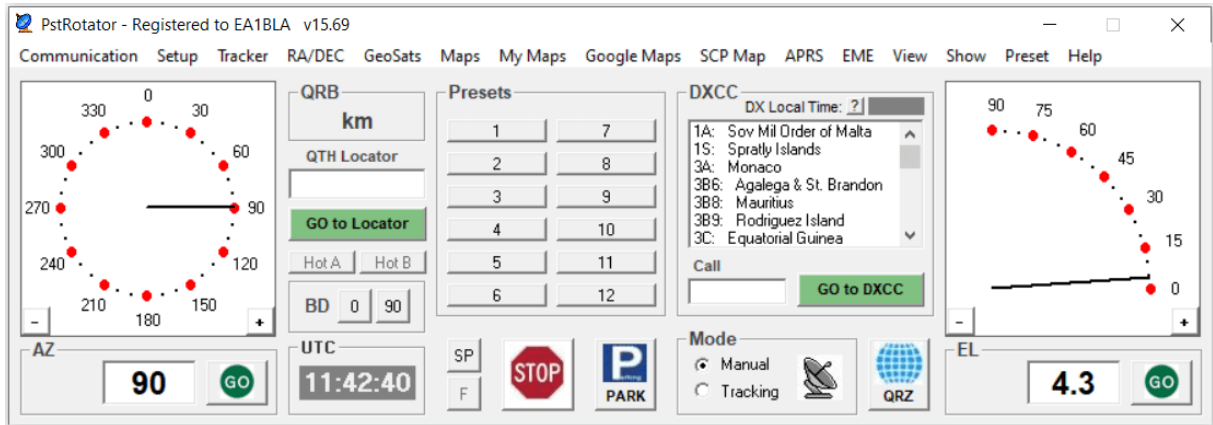


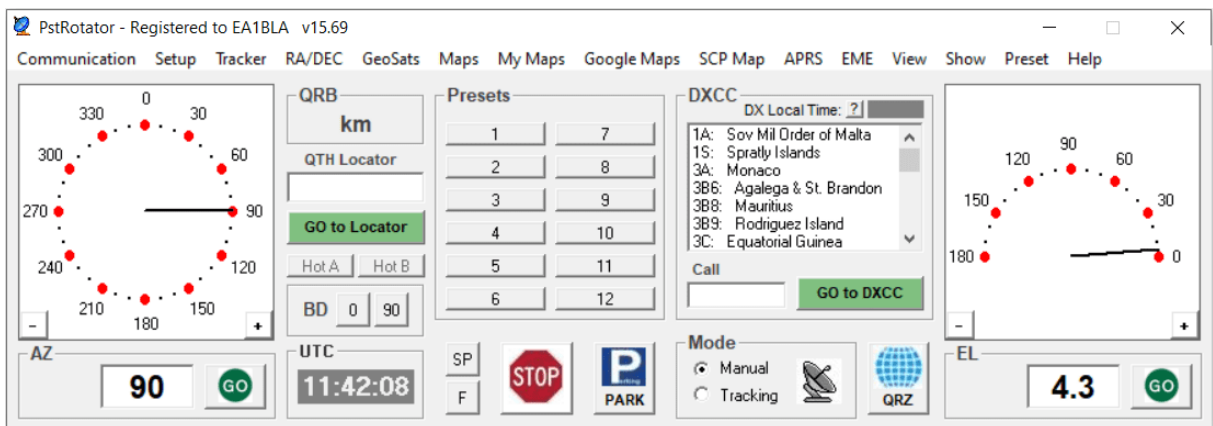
Figura 14.4 – Actualización TLE en PstRotator

Estos datos TLE, como ya se ha mencionado en la sección 7.1.2, contienen la información orbital del satélite necesaria para su seguimiento. El análisis de estos datos TLE se encuentra en el anexo 15.

De nuevo en la ventana principal del programa, debe establecerse el formato de transmisión de los datos de posición del satélite. Esta opción se encuentra en la pestaña Setup - EL/AZ + EL Controller. Dentro de esta pestaña, tal como se ha indicado en el capítulo de análisis de soluciones 7, se seleccionará la opción K3NG (Easycom). Cabe destacar que, dependiendo del sistema implementado, el ángulo de elevación puede indicarse en un rango de 0° a 90°, o bien de 0° a 180°. Este último rango es el que se ha seleccionado para este proyecto, por lo tanto, se seleccionará esta opción en la pestaña Setup - 180 deg Elevation. Se observa que el indicador gráfico de la pestaña principal del programa correspondiente al ángulo de elevación se modifica:



(a) Rango de elevación de 0° a 90°



(b) Rango de elevación de 0° a 180°

**Figura 14.5** – Configuración del rango del ángulo de elevación

El último paso es comenzar la transmisión por puerto serie, se selecciona el modo Tracking en lugar del modo Manual, se selecciona el satélite que se desea seguir y, en la ventana principal del programa, se hace clic sobre Communication - EL/AZ +EL COM Port y se selecciona el puerto al que se encuentra conectado el microcontrolador:

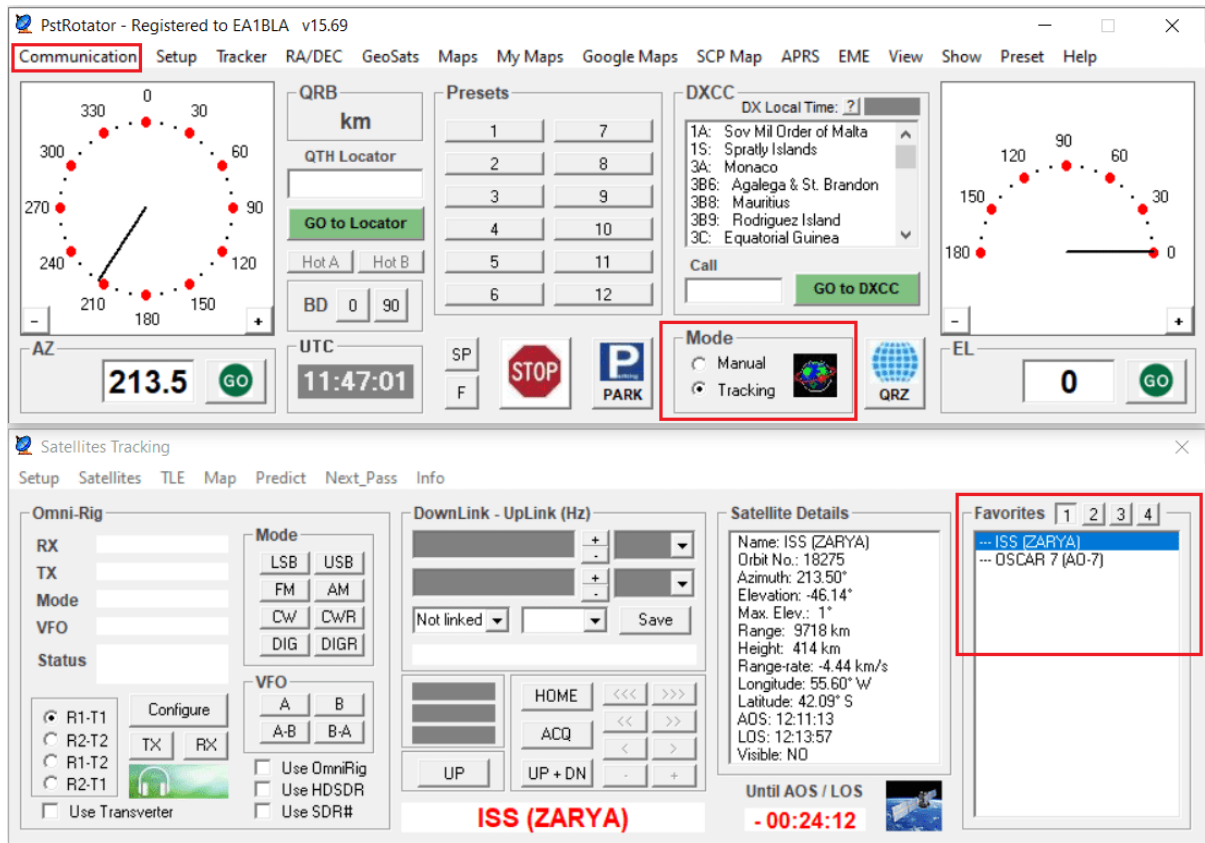


Figura 14.6 – Transmisión por puerto serie

Cabe destacar que este software ofrece la posibilidad de seguir otros objetos espaciales. En la pestaña Tracker de la pestaña principal del programa se encuentran las diversas opciones. Para este proyecto es necesario seleccionar la opción Satellites.



## 14.2. Decodificación de los datos

Para poder decodificar los datos con el microcontrolador, será necesario conocer el formato de la trama que se recibe por puerto serie. Para ello, mediante el programa de software libre Free Serial Analyzer se puede visualizar el puerto serie:

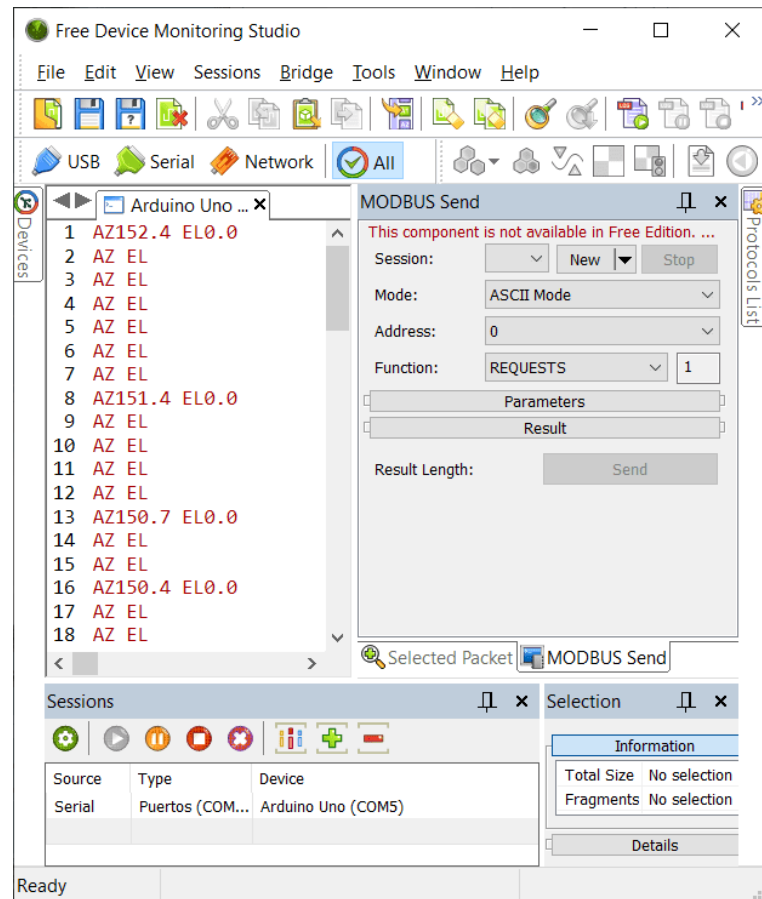


Figura 14.7 – Monitor serie en código ASCII

Como se observa en la figura 14.7, los dos ángulos van precedidos de un identificador de dos letras , AZ y EL, y separados por un espacio entre ellos. Si se observa el contenido del puerto serie en hexadecimal en lugar de en código ASCII, puede apreciarse que el elemento que separa dos mensajes Easycom es un retorno de carro, que se corresponde con el valor 0x0D en hexadecimal.

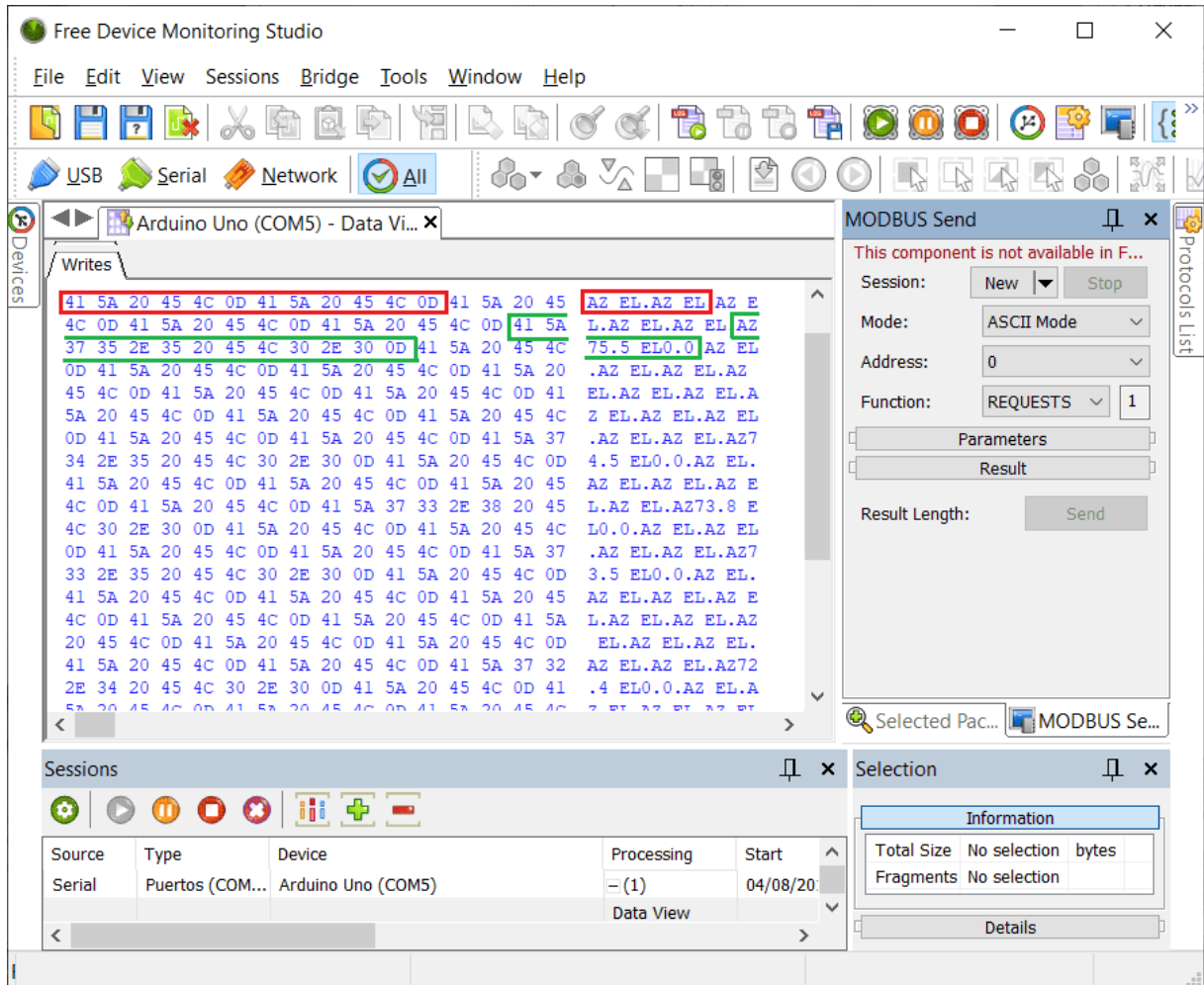
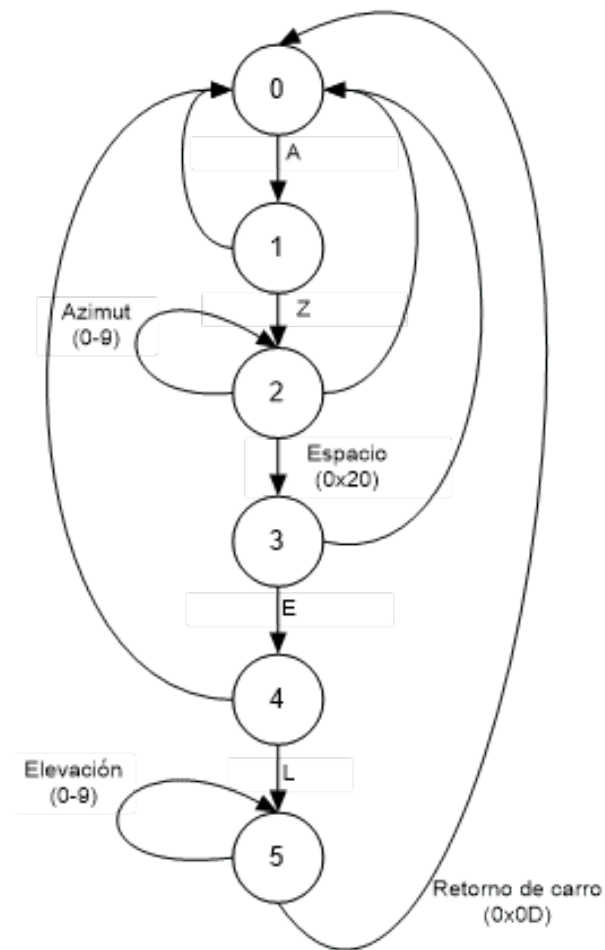


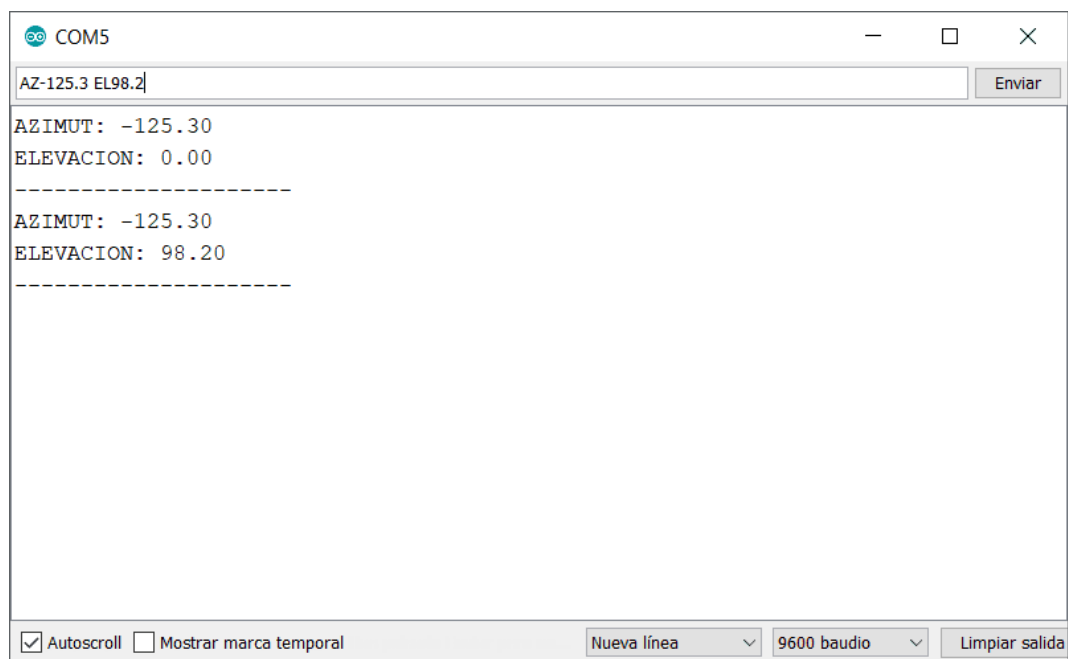
Figura 14.8 – Monitor serie en hexadecimal

Para decodificar esta trama Easycom se utiliza el mismo método que para decodificar la trama en formato NMEA del receptor GPS, es decir, una máquina de estados que verifique con cada carácter recibido por puerto serie si este se corresponde con el formato Easycom. La representación de esta máquina de estados se ilustra en la figura 14.9.



**Figura 14.9** – Máquina de estados para el formato Easycom

El resultado se imprime por puerto serie para verificar el correcto funcionamiento:



**Figura 14.10** – Resultado de la decodificación Easycom

El código con el que se ha obtenido este resultado se encuentra en el programa principal (anexo 18) en las funciones referentes a la decodificación de la trama Easycom. En el se realizaron las modificaciones necesarias para poder visualizar en el monitor serie los resultados.

## 15 CÁLCULOS KEPLERIANOS DE APUNTAMIENTO. BASES TEÓRICAS

Tal como se ha comentado en el capítulo 7 de análisis de soluciones, el sistema es capaz de calcular la posición del satélite en coordenadas altazimutales en función del tiempo.

Para conseguir esto, se debe disponer de datos muy precisos de la órbita del satélite. Estos datos son actualizados periódicamente por NORAD (North American Aerospace Defense Command), y se publican en un formato normalizado denominado TLE (Two Line Elements). [28]

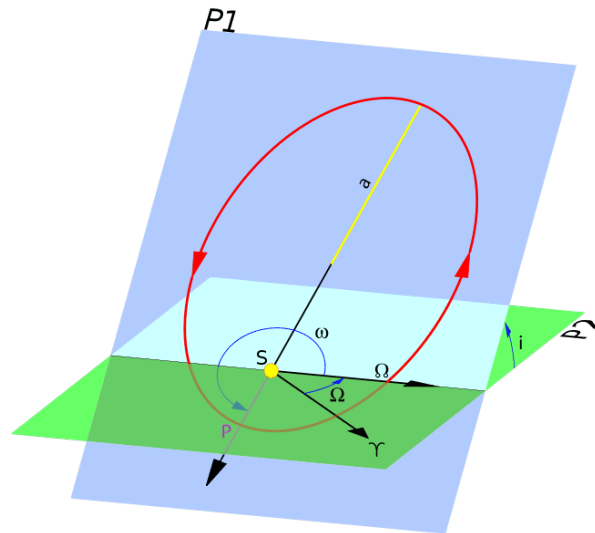
Estos conjuntos de datos incluyen los parámetros orbitales necesarios para realizar el cálculo de la posición y velocidad del satélite en un instante determinado.

Aunque en principio el cálculo pueda parecer trivial basándose en las ecuaciones de Kepler, determinar la posición del satélite no tan sencillo debido a la existencia de numerosas perturbaciones que alteran la trayectoria orbital. Para tener en cuenta estas perturbaciones, se han desarrollado unos algoritmos matemáticos, que en el argot aeroespacial reciben el nombre de propagadores. Estos algoritmos tienen efectos como los movimientos de la Tierra, atracción gravitatoria de la Luna y del Sol, rozamiento de la atmósfera, e incluso perturbaciones de espacio profundo.

El modelo de perturbaciones y propagador utilizado para este proyecto es el SGP4 (Simplified General Perturbations Satellite Orbit Model 4). Este modelo fue desarrollado por la NASA y es especialmente útil para órbitas bajas (LEO), en las que la resistencia del rozamiento atmosférico es considerable. Con él, se consiguen precisiones en torno a 1km durante unos días. Más tarde, sería necesario actualizar los datos TLE.

### 15.1. Elementos orbitales

Para definir una órbita y la posición de un cuerpo sobre ella, es necesario conocer, basándose en la teoría de Johannes Kepler, además del tiempo, seis elementos orbitales.



**Figura 15.1** – *wikipedia*. Elementos orbitales [63]

Dos de ellos definen el tamaño y forma de la elipse:

- Excentricidad: parámetro que determina el grado de desviación respecto a una circunferencia.
- Semieje mayor: distancia desde el centro de la elipse hasta el periastro (punto más cercano de la órbita al cuerpo que genera la atracción gravitatoria de la misma).

Otros dos definen la orientación del plano orbital:

- Inclinación: ángulo vertical de la elipse con respecto al plano de referencia (en este caso, el plano ecuatorial), medido en el nodo ascendente. Este último coincide, en nuestro caso, con la dirección del equinoccio vernal, o punto Aries, que es un punto imaginario en el espacio sobre la línea de intersección del plano ecuatorial y el plano de la órbita de la Tierra alrededor del Sol, o eclíptica.
- Longitud del nodo ascendente: es el ángulo horizontal medido sobre el plano de referencia (ecuatorial para este caso) respecto al punto Aries.

Los últimos dos elementos son:

- Argumento del periastro: define la orientación de la elipse en el plano orbital, medido desde el nodo ascendente hacia el periastro.
- Anomalía media de la época: define la posición del cuerpo orbital sobre la elipse en un instante concreto. Este instante se denomina época. La anomalía define la posición utilizando una circunferencia auxiliar concéntrica con la elipse y de radio el semieje mayor. Tiene la ventaja de que el cuerpo sobre la circunferencia se mueve con velocidad constante. Se corresponde con el ángulo  $M$  en el dibujo.

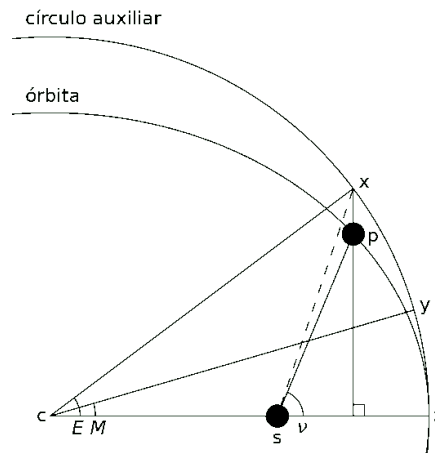


Figura 15.2 – wikipedia. Anomalía media [77]

## 15.2. Estructura del formato TLE

Los datos TLE se organizan en dos líneas de 69 caracteres cada una, precedidas de 11 caracteres con el nombre del satélite.

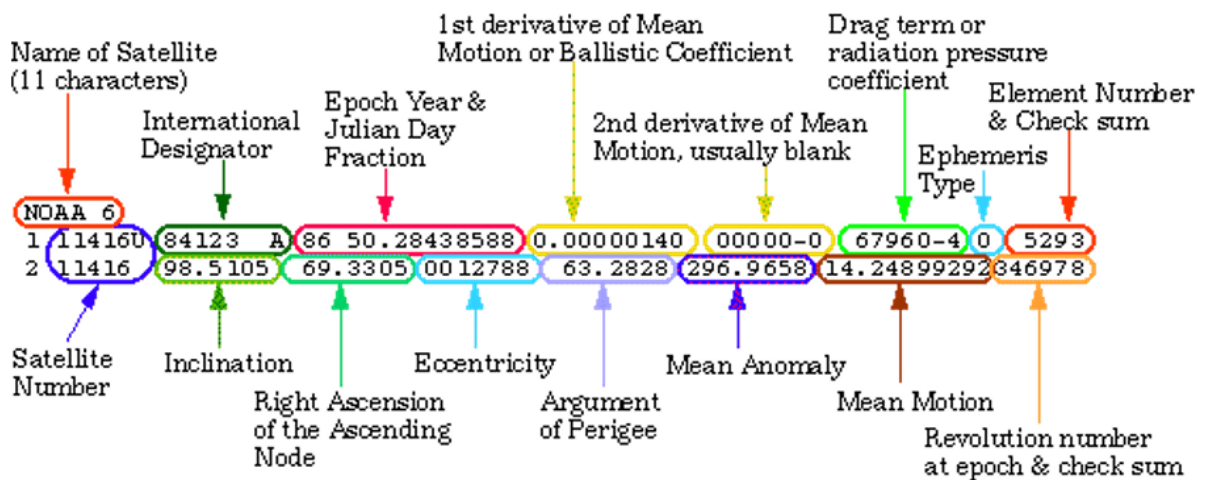


Figura 15.3 – NASA. TLE [62]

La primera línea contiene:

- Número del satélite más clasificación (5 + 1 caracteres)
- Designación internacional (10 caracteres)
- Instante de la época en fecha y fracción de día juliano (14 caracteres, 2 para el año y 12 para la fecha juliana). La época define el momento en el que se realizó la última actualización de los datos del satélite. Esta viene expresada en lo se denomina Día Juliano. Se entiende Día Juliano como el tiempo transcurrido desde el mediodía en Greenwich del 1 de enero de 4713 a.C. Consta de una parte entera (número de días) y una parte decimal (hora del día en UTC).

- Coeficiente balístico (11 caracteres): primera derivada del movimiento medio del satélite. Segunda derivada del movimiento medio (7 caracteres más 2 para la potencia de 10)
- Coeficiente de presión de radiación, BSTAR (7 caracteres más 2 para la potencia de 10)
- Tipo de efemérides
- Número de TLE más check sum: el número TLE es un número correlativo que se incrementa con cada actualización de datos.

En la segunda línea se encuentra:

- Número del satélite, continuación del dato homónimo de la primera línea.
- Inclinación
- Ascensión del nodo ascendente
- Excentricidad
- Argumento del perigeo
- Anomalía media
- Movimiento medio. Representa el número de vueltas por día.
- Número de revoluciones y check sum. El número de revoluciones representa el número de órbitas completadas en la época de estos datos.

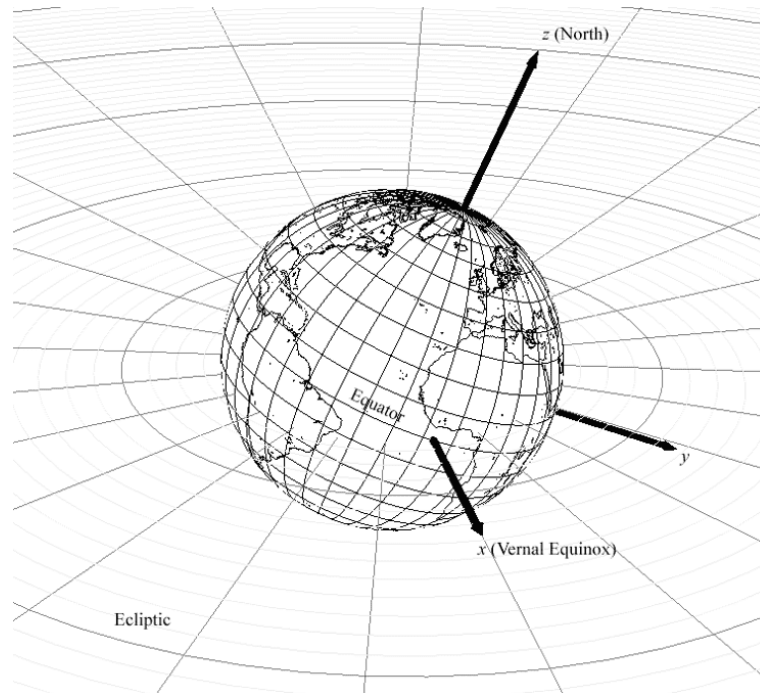
### 15.3. Cálculo de las coordenadas altazimutales

Es conveniente comprender los sistemas de coordenadas involucrados en este proceso.

#### 15.3.1. Coordenadas geocéntricas (ECI)

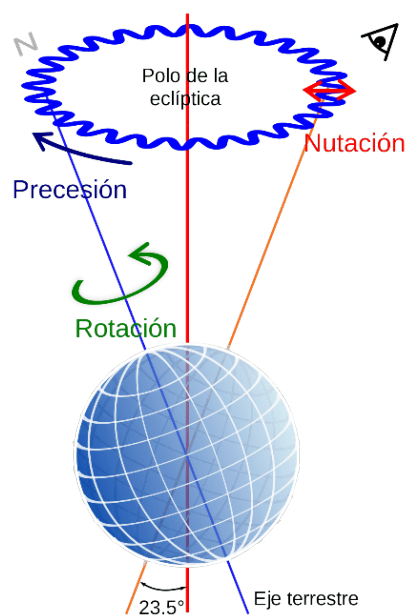
El sistema de coordenadas que se utiliza para realizar todos los cálculos de posición del satélite es el sistema denominado ECI, cuyo origen se sitúa en el centro de la Tierra. El eje X apunta en la dirección del punto Aries, el eje Z coincide con el eje de rotación terrestre y el eje Y se corresponde con un eje perpendicular a estos dos en un sistema dextrógiro. Se trata de un sistema de referencia inercial, ya que no tiene en cuenta la aceleración debida al giro en su movimiento de traslación con respecto al Sol. Es decir, sus ejes están fijos respecto del espacio profundo.





**Figura 15.4** – *celestrak*. Sistema de coordenadas ECI [52]

En particular, el algoritmo orbital SGP4 utiliza el sistema de coordenadas denominado TE-ME (True Equator Mean Equinox), que utiliza una aproximación necesaria ya que el equinoccio vernal varía con los movimientos de precesión y nutación (este último no se tiene en cuenta en dicho algoritmo).



**Figura 15.5** – *wikipedia*. Movimientos de precesión y nutación [81]

### 15.3.2. Coordenadas topocéntricas

Las coordenadas geocéntricas descritas en el apartado anterior son útiles para determinar la posición del satélite. Sin embargo, se necesita un sistema de coordenadas centrado en la posición de observación que nos permita obtener la dirección de apuntamiento del satélite desde nuestra ubicación.

El sistema de coordenadas final que se pretende obtener es un sistema de coordenadas polar en el que la posición del satélite viene determinada por la distancia al observador y los ángulos de elevación y azimut.

Dado que la posición del satélite y del observador vienen determinadas en el sistema ECI, es necesario realizar un proceso de transformación de sistema de coordenadas hasta alcanzar el resultado final. Para ello se utiliza un sistema cartesiano de coordenadas topocéntricas intermedio denominado SEZ (Sur Este Zenit).

Por otro lado, para determinar la posición del lugar de observación sobre la superficie de la Tierra, se utiliza el sistema habitual de coordenadas polares, altitud, longitud y latitud.

Por último, conviene precisar, en relación con esto último, la diferencia que existe entre coordenadas geocéntricas y coordenadas geodésicas. Estas últimas, que son las que figuran en los mapas, tienen en cuenta el achatamiento de la Tierra, no así las primeras.

## 15.4. Procedimiento de cálculo para el apuntamiento

El proceso de cálculo consiste básicamente en:

- Determinar el vector de posición del satélite en el instante de observación
- Determinar el vector de posición del lugar de observación
- Calcular la diferencia de ambos vectores
- Transformar este vector diferencia a los ángulos de elevación y azimut

Todos estos vectores son función del tiempo, pero hay que precisar qué referencia de tiempo se va a utilizar.

Todas las medidas de tiempo que se realizan en la vida cotidiana están referidas a lo que se denomina día solar medio, que es el tiempo transcurrido desde el mediodía de un día hasta el mediodía del día siguiente, entendiéndose por mediodía el instante en el que la línea que une el centro de la Tierra con el centro del Sol pasa por nuestro meridiano local. El tiempo en este sistema de referencia es lo que se conoce como UT1 (Universal Time 1). Además, existe también el UTC (Universal Time Coordinated), que inserta un segundo en determinados momentos con el fin de evitar la imprecisión entre las unidades de medida empleadas (horas minutos y segundos) y el día solar medio real, ya que estas no coinciden. Aunque UT1 y UTC no son realmente las mismas, el error cometido se encuentra dentro de la incertidumbre teórica del procedimiento SGP4 (David Vallado e.a., *Revisiting Spacetrack Report 3*, página 6 [6]).

Además del día solar, existe otra unidad de medida: el día sideral. La definición de este coincide con la de día solar medio, pero cambiando el Sol por una estrella muy lejana.

Puede apreciarse en la figura que ambos períodos no coinciden, ya que el ángulo recorrido en un día solar es  $\theta^\circ$  mayor que recorrido en el día sideral.

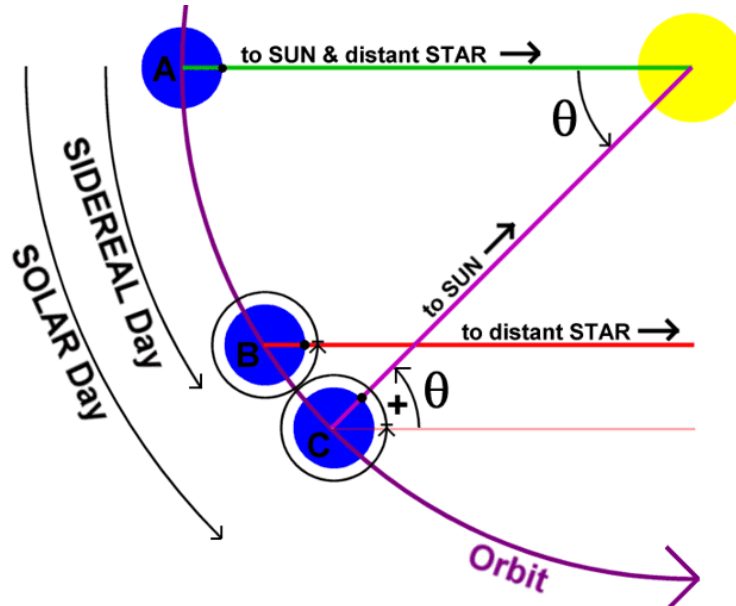


Figura 15.6 – *celestialnorth*. Día sideral y día solar medio [69]

Por otro lado, además de estar de acuerdo en las unidades de medida, es necesario tener una referencia temporal común para todos los procesos, y para eso se utiliza el día juliano (JD), definido anteriormente. De esta manera, tanto el instante de observación como la época de los datos TLE, la época del satélite y otras marcas temporales utilizadas se expresan como JD. La parte decimal de estas medidas temporales se corresponde con la hora UTC, mientras que la parte entera representa el número de días transcurridos. El día juliano se calcula mediante el algoritmo basado en el indicado en la página 606 de *Explanatory Supplement to the Astronomical Almanac* [4] (adaptado por Michael F. Henry para la aplicación Orbit Tools [51], de libre acceso para fines no comerciales):

$$JD = 367,0 \cdot anho - int((7 \cdot (anho + int(\frac{(mes+9)}{12,0}))) \cdot 0,25) + int(275 \cdot \frac{mes}{9,0}) + dia + 1721013,5 + \frac{(\frac{seg}{60,0} + minuto)}{24,0} + hora \quad (15.1)$$

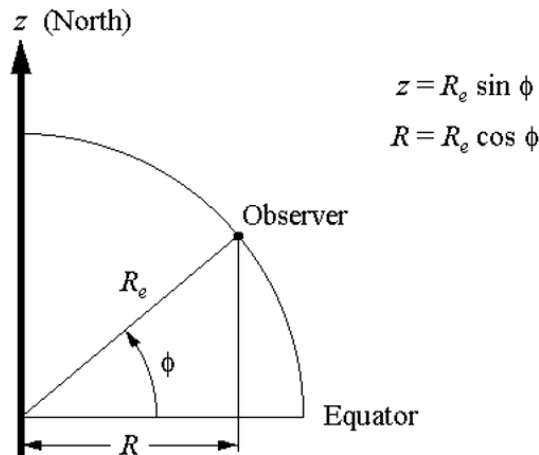
entendiendo por int la parte entera de la operación.

Para determinar la posición y velocidad del satélite en el instante de la observación, debemos indicar al algoritmo propagador SGP4 los datos del satélite decodificados del conjunto TLE, así como el instante de observación en JD. Con estos datos, el algoritmo calcula los vectores de posición  $(x_s, y_s, z_s)$  y velocidad  $(Vx_s, Vy_s, Vz_s)$  en coordenadas ECI.

A continuación, se calcula el vector de posición del lugar de observación, también en coor-

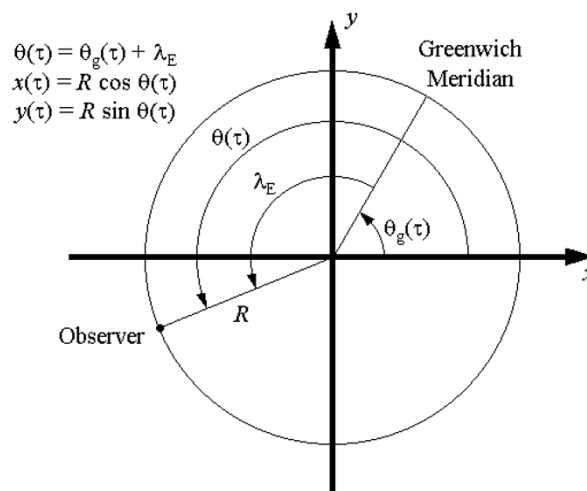
denadas ECI. Inicialmente se supone que la Tierra es completamente esférica, suposición que será corregida más adelante.

La siguiente figura representa un corte transversal de la Tierra por un meridiano, donde se observan la coordenada  $z$  y la distancia  $R$  de la posición del observador al eje terrestre, en función del radio de la Tierra  $R_e$  y del ángulo de latitud.



**Figura 15.7** – celestrak. Coordenada  $z$  y distancia  $R$  [52]

Las coordenadas  $x$  e  $y$  no son tan inmediatas porque dependen del tiempo. Por tanto, es necesario conocer el ángulo del lugar de observación con respecto al punto Aries. Para ello se calcula la posición del meridiano de Greenwich a las 00:00:00 horas del día de la observación.



**Figura 15.8** – celestrak. Coordenadas  $x$  e  $y$  [52]

Este cálculo se realiza con la siguiente fórmula (página 50 de *Explanatory Supplement to the Astronomical Almanac* [4]) (en UT1):

$$\theta_g(0h) = 24110s,54841 + 8640184s,812866 \cdot Tu + 0s,093104 \cdot Tu^2 - 6,210 - 6Tu^3 \quad (15.2)$$

donde  $T_u = \frac{d_u}{36525}$ , siendo  $d_u$  el número de días de UT1 transcurridos desde el 1 de enero

del 2000 a las 12:00:00 UT1. A este valor hay que sumarle el ángulo recorrido por el meridiano de Greenwich hasta la hora de observación. Este ángulo viene dado por el producto de la velocidad de rotación de la Tierra por la hora UT1 (parte decimal de JD), ( $\theta_g$ ):

$$\theta_g(\tau) = \theta_g(0h) + \omega_e \cdot \Delta\tau \quad (15.3)$$

Además, al valor anterior se le suma la longitud de la posición del observador ( $\lambda_E$ ).

$$\theta = \theta_g + \lambda_E \quad (15.4)$$

Por lo tanto, las coordenadas ECI del vector de posición del observador son:

$$x_o = R \cdot \cos(\phi) \quad (15.5)$$

$$y_o = R \cdot \sin(\phi) \quad (15.6)$$

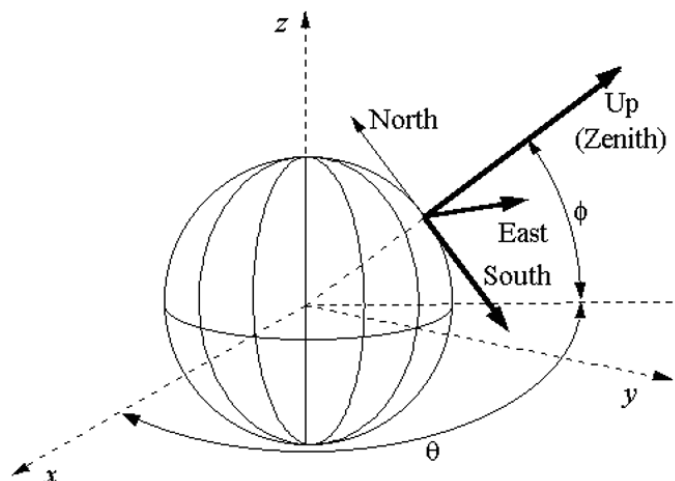
$$z_o = R_e \cdot \sin(\phi) \quad (15.7)$$

donde

$$R = R_e \cdot \cos(\phi) \quad (15.8)$$

Con esto ya se puede calcular el vector de posición del satélite respecto a la posición del observador (en coordenadas ECI), calculado como la diferencia entre la posición del satélite y la posición del observador  $r = (x_s - x_o, y_s - y_o, z_s - z_o)$ .

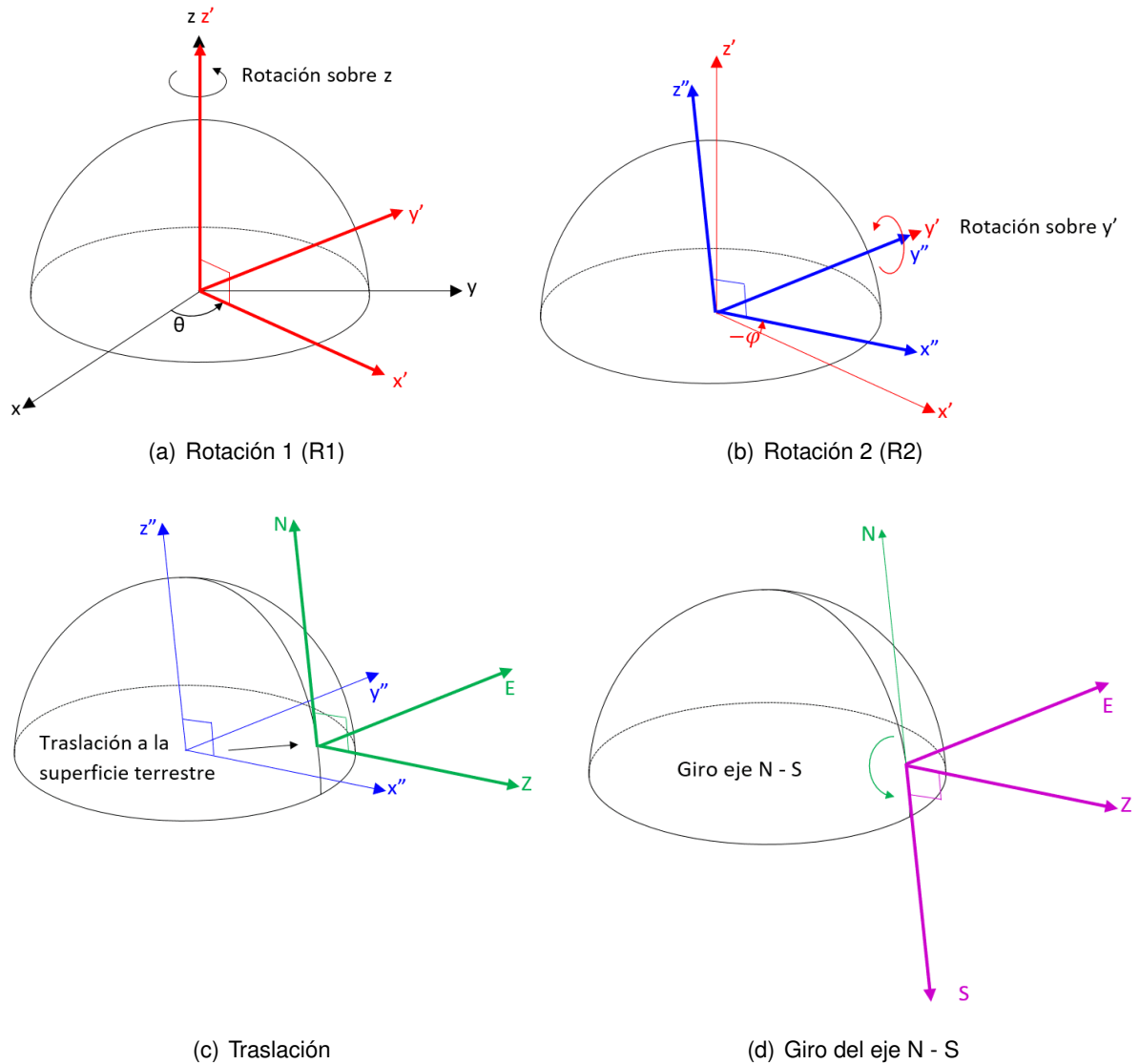
El último paso consiste en realizar las transformaciones de ejes del sistema de coordenadas geocéntrico al topocéntrico. Primero se transforma el sistema ECI en SEZ, como se describe en la siguiente figura:



**Figura 15.9** – celestrak. Coordenadas SEZ [53]

1. Rotación de  $\theta$  ° en torno al eje z
2. Rotación de  $\phi$  ° en torno al nuevo eje y

3. Inversión del eje z original para que apunte al Sur en lugar del Norte, y conformar así el sistema SEZ



**Figura 15.10** – Transformaciones de coordenadas

Las matrices de rotación quedan:

$$R1 = \begin{pmatrix} \cos(\theta) & \sin(\theta) & 0 \\ -\sin(\theta) & \cos(\theta) & 0 \\ 0 & 0 & 1 \end{pmatrix}$$

$$R2 = \begin{pmatrix} \cos(-\phi) & 0 & -\sin(-\phi) \\ 0 & 1 & 0 \\ \sin(-\phi) & 0 & \cos(-\phi) \end{pmatrix}$$

$$R = R2 \cdot R1 = \begin{pmatrix} \cos(\phi)\cos(\theta) & \cos(\phi)\sin(\theta) & \sin(\phi) \\ -\sin(\theta) & \cos(\theta) & 0 \\ -\sin(\phi)\cos(\theta) & -\sin(\phi)\sin(\theta) & \cos(\phi) \end{pmatrix} \quad (15.9)$$

Así, para obtener las coordenadas del vector diferencia en el sistema SEZ, se realiza primero la siguiente ecuación matricial, que nos da las coordenadas en el sistema NEZ (Norte Este Zénit):

$$\begin{pmatrix} r_{NEZ} \\ r_N \\ r_E \\ r_Z \end{pmatrix} = R \cdot \begin{pmatrix} r_x \\ r_y \\ r_z \end{pmatrix} \quad (15.10)$$

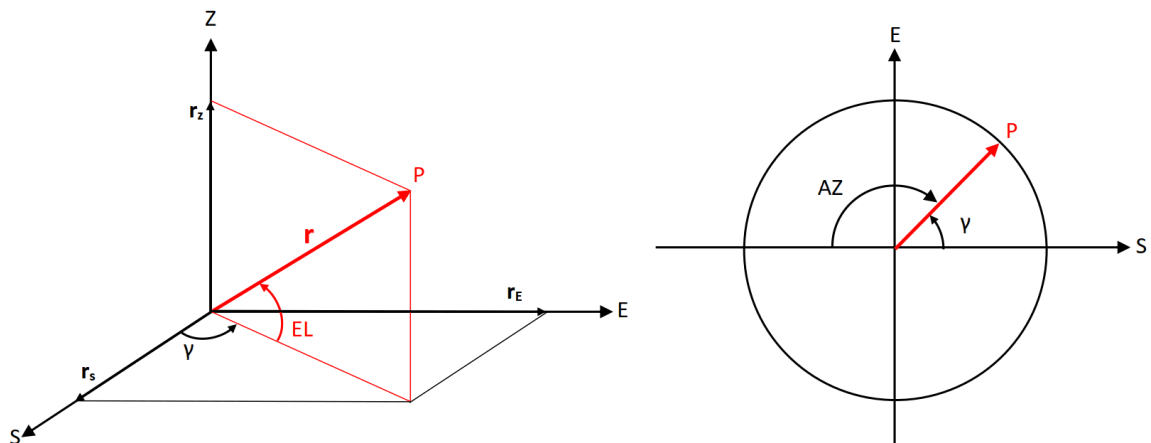
siendo  $r$  el vector diferencia y  $R$  la matriz de rotación final.

Ahora se invierte el eje Norte (N), obteniendo así el sistema de coordenadas SEZ:

$$\begin{pmatrix} r_S \\ r_E \\ r_Z \end{pmatrix} = \begin{pmatrix} -r_N \\ r_E \\ r_Z \end{pmatrix} \quad (15.11)$$

Hay que tener en cuenta que el movimiento de traslación de los ejes no resulta necesario ya que queda implícito en el vector diferencia entre la posición del satélite y la del observador (ambas referidas al centro de la Tierra).

Transformado el vector al sistema SEZ, queda simplemente calcular las coordenadas altazimutales.



**Figura 15.11** – Ángulos de azimut (AZ) y elevación (EL)

De la imagen 15.11 se pueden obtener las coordenadas altazimutales del punto P, que representa la posición del satélite:

$$r = \sqrt{r_S^2 + r_E^2 + r_Z^2} \quad (15.12)$$

$$EL = \sin^{-1}\left(\frac{r_Z}{r}\right) \quad (15.13)$$

$$\gamma = \tan^{-1}\left(\frac{r_E}{r_S}\right) \quad (15.14)$$

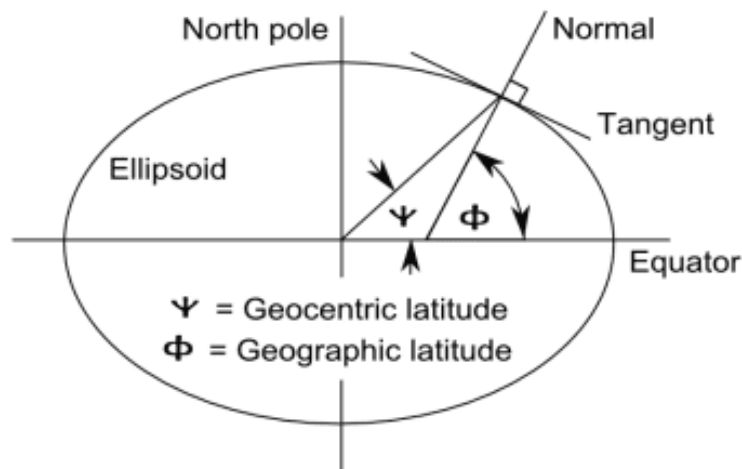
$$AZ = \pi - \gamma \quad (15.15)$$

Debe observarse que el ángulo  $\gamma$  está medido con respecto al Sur, mientras que los ángulos de azimut se miden con respecto al Norte, por lo que:

$$AZ = \tan^{-1}\left(-\frac{r_E}{r_S}\right) \quad (15.16)$$

Por último, queda por realizar la corrección por el achatamiento de la Tierra.

En el proceso el proceso anterior se ha mencionado que los cálculos están simplificados al considerar la Tierra como una esfera perfecta. Sin embargo, esto no es así, sino que presenta un achatamiento en la dirección del eje de rotación, que origina dos sistemas de coordenadas distintos para el posicionamiento de un punto sobre la superficie terrestre: sistema geocéntrico y sistema geodésico, ambos en coordenadas polares, que es el método utilizado para definir la posición de un punto sobre la Tierra, mediante los ángulos de latitud y longitud.



**Figura 15.12** – johndcook. Coordenadas geocéntricas y geodésicas [35]

En un sistema de coordenadas geocéntrico, el plano horizontal es perpendicular a la línea que une la posición del observador con el centro de la Tierra, y esta línea es lo que se toma como vertical del lugar.

Por el contrario, dado que la Tierra no es esférica, la anterior afirmación no es correcta, de manera que la vertical es una línea perpendicular al plano horizontal, siendo este este el plano tangente a la superficie terrestre en dicho punto, como puede verse en la figura 15.12.

Como consecuencia, el ángulo de latitud, que es el ángulo formado entre la vertical y el plano del ecuador, es diferente en ambos sistemas.



El error cometido por considerar la Tierra esférica puede corregirse con el siguiente procedimiento ( página 126 de *Explanatory Supplement to the Astronomical Almanac* [4]), que considera la Tierra como un esferoide de referencia (una elipse de revolución que queda definida por su radio (a) y achatamiento (f), dónde es el radio de la Tierra en km y  $f = \frac{1}{298,257}$ ).

Se definen dos variables auxiliares c y s, que son función de la latitud ( $\phi$ ) y longitud ( $\theta$ ) geodésicas:

$$c = \frac{1}{\sqrt{(1 + f \cdot \sin^2(\phi) \cdot (f - 2))}} \quad (15.17)$$

$$s = (1 - f)^2 \cdot c \quad (15.18)$$

Y con ellas obtenemos las coordenadas (x, y, z) del punto de observación en coordenadas ECI.

$$x_o = (a \cdot c + h) \cdot \cos(\phi) \cdot \cos(\theta) \quad (15.19)$$

$$y_o = (a \cdot c + h) \cdot \cos(\phi) \cdot \sin(\theta) \quad (15.20)$$

$$z_o = (a \cdot s + h) \cdot \sin(\phi) \quad (15.21)$$

## 16 CÁLCULOS KEPLERIANOS DE APUNTAMIENTO. ACLARACIONES DEL SOFTWARE

Para realizar los cálculos de apuntamiento del sistema de forma autónoma, se ha elaborado un software que implementa los procesos teóricos descritos en 15, utilizando las funciones de David Vallado para el propagador SGP4 [6]. Estas son complemento de su libro *Fundamentals of astrodynamics and applications* [5].

La programación de este cálculo autónomo incorpora software de diversas fuentes, especialmente el de Michael F. Henry, de Orbit Tools [51], que realiza el proceso completo de apuntamiento, y el del mencionado David Vallado. Este último no está orientado al apuntamiento, sino a la realización de comprobaciones de operatividad y precisión del propagador.

Una vez analizado el funcionamiento de este software, se procedió a la programación de un código que se adaptara a las necesidades de este proyecto, incluyendo también funciones (de código libre) de terceros (D. Vallado), concretamente las que realizan la propagación con el algoritmo SGP4. Estas requieren unos conocimientos de teoría y tecnología aeroespacial que superan el alcance de este proyecto. En algunos casos, como se comentará más adelante, ha sido necesario realizar ciertas modificaciones al código original para adaptarlo a las necesidades de este sistema.

La elaboración del software para el cálculo autónomo de apuntamiento se realizó en dos etapas:

- En la primera, se optó por compilar y ejecutar el programa sobre el propio PC, debido a las numerosas pruebas a realizar, que requerían una agilidad que no sería posible si se compilara sobre Arduino, dada la considerable lentitud del proceso de compilación y grabación debido al tamaño del programa.

Es en esta fase en la que se elaboró el código, y se realizaron las verificaciones de precisión, obteniendo unos resultados altamente satisfactorios.

- En la segunda fase, se realizaron los cambios necesarios para adaptar el código anterior a la plataforma Arduino.

Durante esta fase se encontró un inesperado problema de precisión que hacía que el programa fuera completamente inservible, dando unos resultados completamente erróneos. Por este motivo, fue necesario realizar una nueva serie de modificaciones para obtener unos resultados aceptables como se observa en las figuras 16.1 y 16.2.

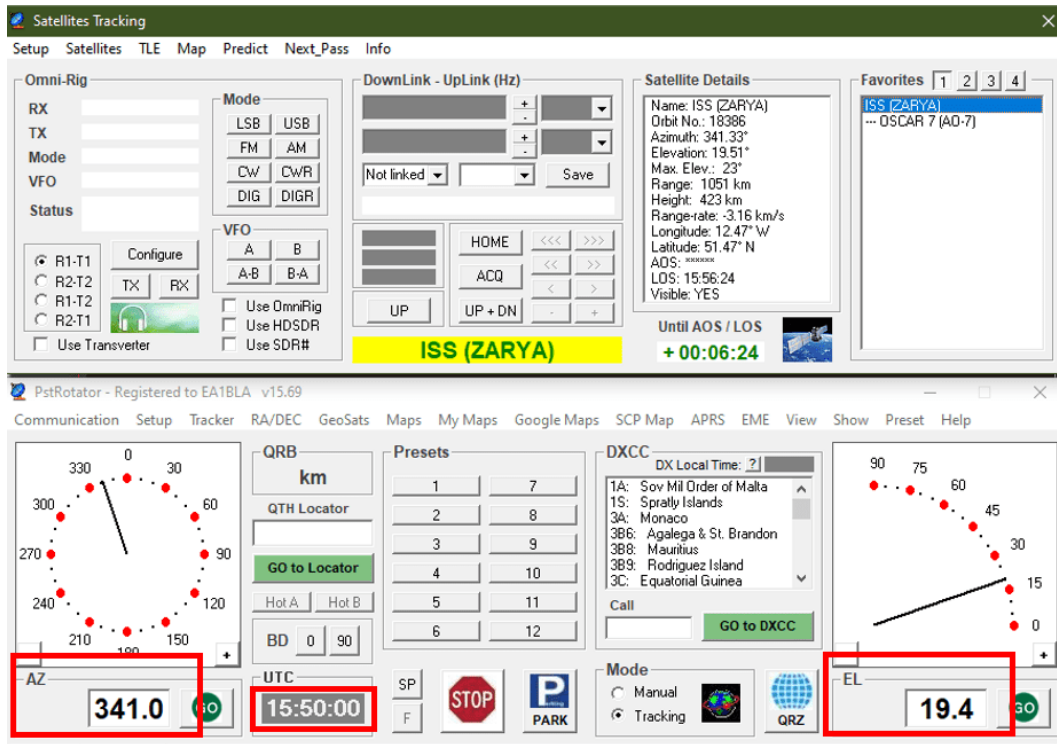


Figura 16.1 – Resultado en Pst Rotator

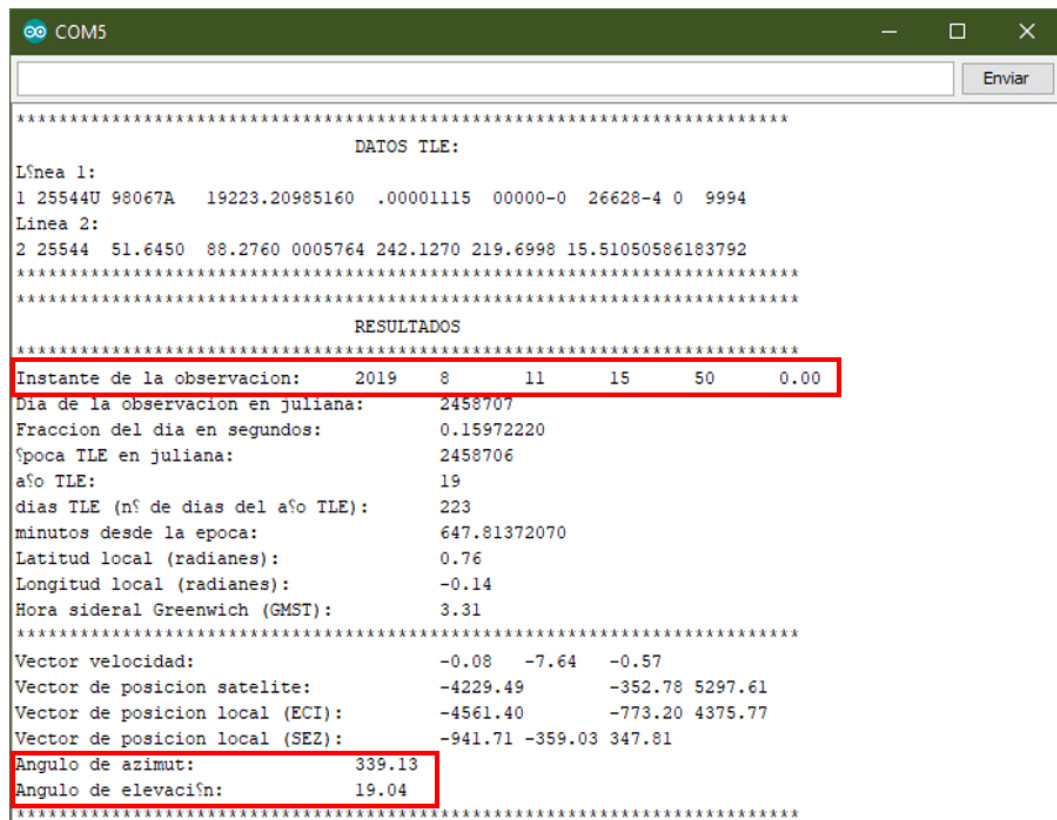


Figura 16.2 – Resultado en Arduino

La falta de precisión se debía al hecho de que muchas de las variables empleadas por

las funciones del propagador SGP4 y otras funciones son de coma flotante con doble precisión (tipo `double`), de 8 bytes. Estas no causaron problemas en la compilación en PC, sin embargo, tal como se documenta en la web de Arduino [13], en el modelo utilizado (MEGA 2560), las variables `double` son reducidas a tipo `float`, de 4 bytes.

Aunque a primera vista, esta precisión pueda parecer suficiente, dependiendo del tamaño del número representado, el número de cifras decimales se ve recortado considerablemente, haciendo el cálculo totalmente incorrecto. Esto sucedía, por ejemplo, con el instante de observación, que en el código original viene expresado en días, por lo que los segundos ocupan de la quinta posición decimal en adelante.

Al ejecutar el programa en Arduino y convertir estas cantidades a tipo `float`, quedaban recortadas a 2 cifras decimales, que corresponden a las horas, por lo que puede comprenderse que el sistema resultaba inservible para el seguimiento.

Para corregir este problema hubo que sustituir varias de las funciones originales, programar otras nuevas e introducir modificaciones en el software original del propagador SGP4, que se detalla a continuación. Básicamente, las modificaciones introducidas consisten en separar la parte entera de las variables que representan el instante de la observación (días) de la parte decimal (horas, minutos y segundos), para permitir que las variables de tipo `float` conserven todas las cifras significativas necesarias.

## 16.1. Descripción del código

Con el objetivo de ofrecer más claridad en la organización de las funciones, se ha mantenido la organización del código empleado en la comprobación sobre el compilador del PC, y se han separado las funciones referentes al cálculo autónomo del programa principal de basado en menús.

Así, las funciones empleadas para el cálculo autónomo están definidas en el fichero `.cpp` `sgp4`, y sus cabeceras, declaradas en `.h` `sgp4`.

En lo referente al programa principal (`.ino`), en la función `setup()`, que se ejecuta al iniciar el sistema, los datos TLE guardados en la memoria EEPROM son cargados en dos vectores de caracteres llamados `linea1[]` y `linea2[]`.

Cuando se selecciona el modo de funcionamiento de cálculo autónomo en el menú del `setup`, los datos de hora y localización son actualizados periódicamente con la función `leeGPS()`, llamada desde la función `automatico()`, que representa el modo automático de funcionamiento. Esos datos se pasan como argumentos a la función `calc.kepler()`, siendo esta es la que inicia el proceso de cálculo para la obtención de los ángulos de azimut y elevación.

La función `tleArv()` interpreta los datos TLE, los acondiciona y los guarda en una estructura, definida como variable global, llamada `datosSat`, del tipo `elsetrec`. Esta estructura está declarada en el fichero `sgp4.h`, y es original del software del propagador SGP4 (las funciones de este software se refieren a ella como `satrec`). Incluye todos los datos del satélite requeridos para la aplicación del algoritmo propagador.

Como se ha indicado en el anexo 15, es necesario referir el tiempo a un origen común, lo que se conoce como día juliano. Esto es lo que hace la función *díajul()*. Sin embargo, los datos TLE indican la época (instante de actualización de dichos datos) en formato de año (de dos dígitos) y número de días del año, con parte decimal que indica la hora. Por ejemplo, 19223,523410 indicaría que nos encontramos en el día 223,523410 del año 2019.

Para poder determinar el día juliano de la época hay que transformar ese formato TLE en año, mes, día, hora, minutos y segundos. Esto se consigue con la función *days2mdhms()* (original del software de David Vallado).

La función que implementa el algoritmo SGP4 es *sgp4()*, pero previamente hay que realizar una inicialización de los parámetros, para poder aplicar dicho algoritmo. Esto lo hace la función *sgp4init()*, que toma los datos cargados en la estructura *datosSat* (*satrec* en esta función) procedentes de los TLE, y realiza las operaciones necesarias para obtener todos los datos requeridos por el SGP4. Para ello, *sgp4init()* requiere las funciones:

- *initl()*: es otra función de inicialización . Calcula algunos valores adicionales de la época del satélite y del ángulo theta de posición del meridiano de Greenwich en ese momento, así como la corrección conocida como mecanismo de Kozai que determina la perturbación de la órbita por la atracción gravitatoria de otro cuerpo.
- *getgravconst()*: el software original del propagador tiene un propósito de verificación, y permite la utilización de diversos modos de operación así como varios juegos de constantes gravitatorias, necesarias para los cálculos de perturbación de la órbita. Estas están referidas a distintos marcos de referencia geodésicos, denominados wgs (World Geodetic System), concretamente el wgs-72, wgs-72 de baja precisión y wgs-84.

Esta función toma los valores adecuados, dependiendo del marco de referencia elegido. En el caso concreto de este proyecto, se utiliza el valor por defecto wgs-72, el usado como referencia en el Spacetrack Report #3 [6](David Vallado e.a. ,página 15).

- *dpper()*, *dscm()* y *dsinit()*: determinan los elementos de espacio profundo que pueden influir en la alteración de la órbita. Sin embargo, estas funciones sólo se aplican para órbitas que no entran en la categoría de órbitas bajas (se consideran órbitas bajas aquellas que tienen un período inferior a 225 minutos). Este procedimiento proporciona contribuciones en el espacio profundo a elementos medios para perturbar el tercer cuerpo. Estos efectos se han promediado en una revolución del sol y la luna. Para los efectos de resonancia de la tierra, los efectos se han promediado sin revoluciones del satélite (movimiento medio).

Además, en relación con la contribución de los elementos de espacio profundo, *sgp4()* llama a la función *dspace()*, que promedia los efectos de estos elementos sobre una revolución del Sol y la Luna.

En cuanto al modo de operación, el software de David Vallado ofrece dos posibilidades: la estándar AFSPC (Air Force SPace Command) (a) y la mejorada (i). Se ha optado por la opción estándar, que ofrece una suficiente precisión para los cálculos realizados.

El resultado final de la función *sgp4()* es el vector de posición del satélite en el momento de la observación (*rSat[]*), en coordenadas ECI.

Una vez aplicado el propagador, se calcula el vector de posición del punto de observación. Para ello usamos la función *theta()*, que proporciona el ángulo theta (en radianes) entre el punto de observación y el equinoccio vernal (punto aries) en el momento de la observación. A continuación aplicamos la corrección por achatamiento de la Tierra, mediante la función *geoide()*, que finalmente nos proporciona el vector de posición local (*rLoc[]*), también en coordenadas ECI.

La diferencia entre estos dos vectores (*rSat[]* y *rLoc[]*) proporciona las componentes cartesianas del vector de posición del satélite desde el lugar de observación (vector *dif[]*), también en coordenadas ECI.

El siguiente paso es la aplicación de la matriz de transformación descrita en el anexo 15, para transformar el vector diferencia al sistema de coordenadas SEZ (vector *rSez[]*).

Por último, se pasa de coordenadas rectangulares a polares, para determinar los ángulos de azimut y elevación.

En la segunda fase, comentada anteriormente, para solventar los problemas con las variables de tipo *double* al implementar el programa en Arduino, además de adaptar las funciones propias y crear otras (*restaxSep()*, que realiza la diferencia de números expresados con la parte entera y la decimal por separado), se realizaron las siguientes modificaciones sobre el código del propagador SGP4:

- En la estructura *datosSat* (*satrec* en el código original):
  - *double jdstepoch* fue sustituida por *long int jdsatepoch* más *double jdsatepoch-fraccion*
  - *double epochdays* fue sustituida por *long int epochdays* más *double epochdays-fraccion*
- En la función *days2mdhms()*:
  - El segundo argumento, *double days* fue sustituido por *long int days* más *double days-fraccion*
  - *dayofyr* se igualó a *days*
  - Se modificó la conversión a horas, minutos y segundos
- En la función *sgp4init()*:
  - Se sustituyó *const double epoch* (4º argumento) por *const long int epoch* más *const double epoch-fraccion*
  - Se incluyó una nueva variable *double época = epoch + epoch-fraccion*
  - Llamamos a *dscm* con *epoca* en lugar de con *epoch*
- En la función *initl()*:

- Se sustituyó el 4º argumento, *double epoch* por *const long int epoch* más *const double epoch-fraccion*
- Se modificaron los cálculos de las variables locales *ts70* y *ds70*

## 17 FLUJOGRAMAS DEL CÓDIGO DE PROGRAMACIÓN

### 17.1. Flujograma principal. Sistema de menús

Se ha mencionado en apartados anteriores que todo el funcionamiento del sistema está gestionado por el programa cargado sobre la placa del microcontrolador de Arduino.

Este programa está basado en un sistema de menús que permiten al usuario acceder a los distintos modos de funcionamiento y configuración.

El sistema de menús involucra, para cada menú, una variable matricial tipo char en la que se almacena el texto del menú correspondiente y un contador, que se incrementa o decrementa con cada pulsación de las teclas para desplazarse por el menú. Este contador sirve como índice de la matriz a la hora de presentar el texto del menú en la pantalla. Se necesita también una variable (nivel), que indicará qué opción de cada menú ha seleccionado.

Por ejemplo, para el menú principal tendríamos:

- Variable de nivel: nivel\_menu
  
- Índice de la matriz: x
  
- Menus[]: matriz tipo char

Mientras nivel-menu = 0, permanecemos en el entorno de selección de los modos de funcionamiento que ofrece el menú principal, incrementando y decrementando el índice de la matriz [x] con cada pulsación de las teclas de selección.

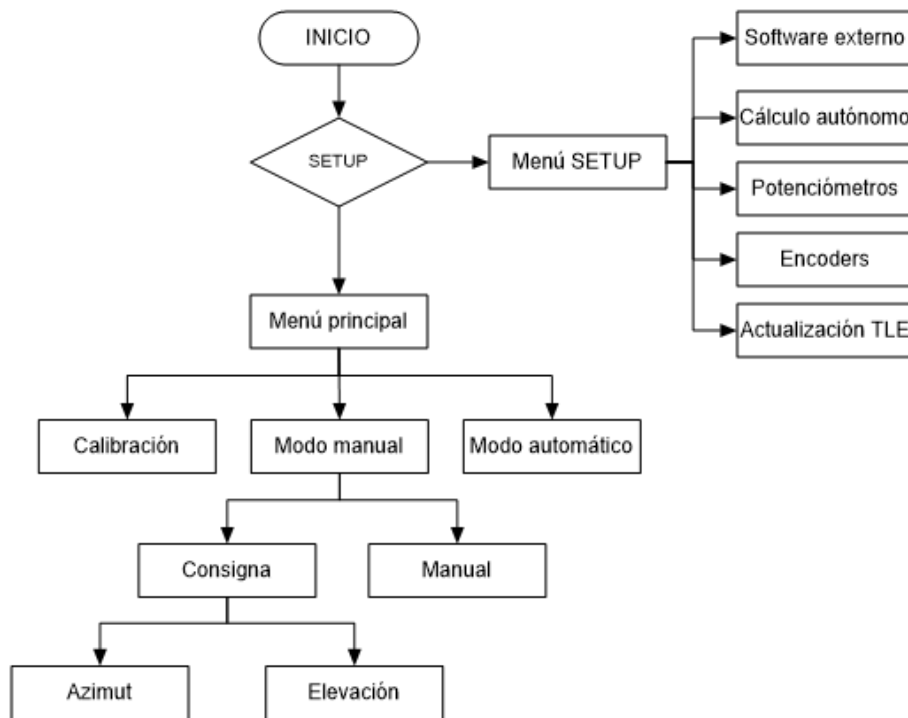
Al pulsar la tecla central (intro), se accede a ese modo de funcionamiento dado que se actualiza el valor del nivel del menú,  $\text{nivel\_menu} = x + 1$ .

De esta forma, mientras no se seleccione ningún modo, nivel-menu = 0.

A continuación se muestra el diagrama de flujo principal del programa, así como los flujogramas de las funciones relevantes que intervienen en el funcionamiento del sistema.

Estos diagramas de flujo ilustran de una manera visual el funcionamiento del software, y sirven de guía, junto con las anotaciones en los comentarios del mismo, para comprender el código.





**Figura 17.1** – Flujograma principal

Los cometidos de cada uno de los distintos menús se han detallado anteriormente en la sección 8.2, y en el manual de usuario del anexo 19 se especifica el modo de utilización del sistema de menús.

## 17.2. Flujograma del modo de seguimiento automático

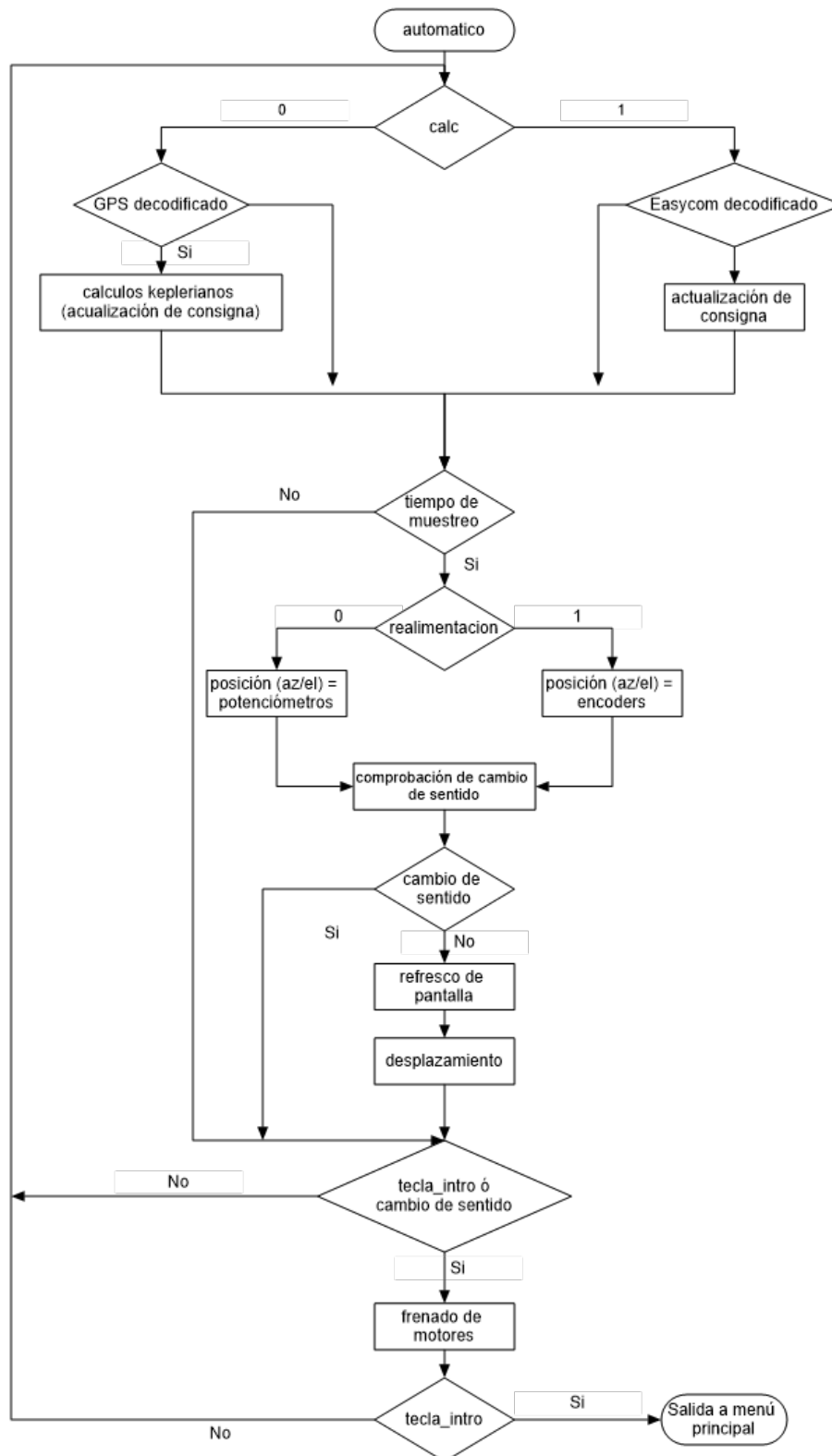


Figura 17.2 – Modo automático

Ya se ha explicado en la sección 8.2 que este modo de funcionamiento es el que permite apuntar en todo momento a la posición actual del satélite.

La variable *calc* al inicio del flujograma determina el modo de obtención de los ángulos de apuntamiento, seleccionado en el setup.

A continuación, cuando se cumple el tiempo de muestreo, se adquiere la posición de la antena, ya sea a través de encoders o a través de potenciómetros, según se haya establecido en el setup.

Adquirida la posición se comprueba que no se haya producido ningún cambio de sentido. Ya se ha explicado en la sección 8.2 que un cambio de sentido sucede, por ejemplo, si la antena se pasa de la posición de consigna, o bien si hay un cambio de consigna que obligue a los motores a girar en sentido contrario al que actualmente se encuentra girando. Este último caso puede darse, por ejemplo, si en el software de cálculo externo se cambia el satélite que se desea seguir sin antes haber detenido los motores, acción altamente recomendable si se desea cambiar de satélite.

En caso de que no se haya detectado cambio de sentido, se calcula la señal PWM para cada motor.

En caso de que sí se haya detectado cambio de sentido o se haya pulsado la tecla central de la botonera, se frenan los motores. Si el motivo de la frenada fue por un cambio de sentido, se vuelve al inicio de la función. Por otro lado, si se ha pulsado la tecla central, además de frenar los motores, el programa regresa al menú principal.

### 17.3. Control de posición y velocidad. Flujograma

Para realizar controles de posición y velocidad se suelen emplear reguladores PID. Sin embargo, para el caso concreto de este proyecto, no será así.

En primer lugar, la parte derivativa del regulador queda descartada, ya que conferiría al sistema un carácter más brusco, cuando la intención es justo la contraria, debido a que, como ya se ha mencionado, se trata de un sistema de naturaleza lenta.

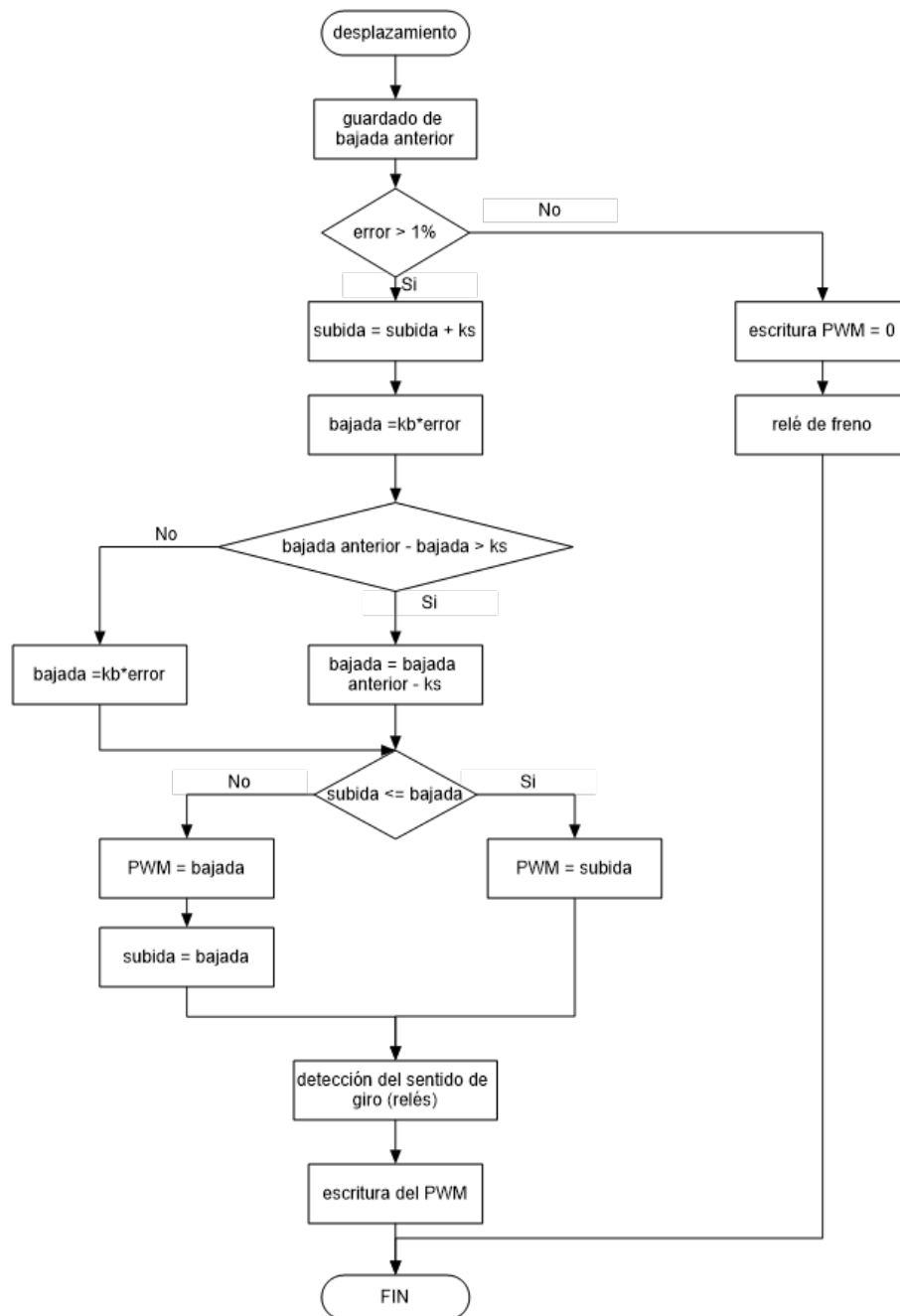
Por otro lado, la parte integral de un regulador reduce el error en el estado estacionario. En este proyecto, una vez alcanzada la posición deseada por los motores, estos se enclavarán con un freno del propio motor. Por lo tanto, no será necesario corregir el error en régimen permanente.

Queda, por tanto, un regulador de tipo proporcional. Un regulador proporcional genera una señal de control proporcional al error. Así, para este proyecto, la señal de control se corresponde con la señal PWM de cada motor, y el error es la diferencia entre la posición deseada y la posición actual de la antena. De esta forma, cuanto mayor sea el error, mayor será la señal de control generada.

Teniendo en cuenta que los cambios bruscos de potencia son perjudiciales para los motores eléctricos y para la propia estructura del sistema, especialmente si se trata de motores de alta potencia, como sería el caso de un radiotelescopio o de antenas de grandes dimensiones, es necesario evitar cambios bruscos de potencia en el motor, que dañarían la estructura del mismo. Por tanto, a este regulador proporcional se le añade una restricción tanto en la aceleración como en la deceleración del mismo.

Así, el sistema acelerará siempre con una rampa de aceleración constante, calculando en todo momento la parte proporcional. En el momento en el que la parte proporcional calcule una velocidad menor que la calculada por la rampa de aceleración, la velocidad PWM será entonces la parte proporcional. Si esta parte proporcional decelera en exceso, también se limita el cambio de velocidad.

Si en cualquier momento cambia la consigna de posición, y el error es suficientemente grande como para superar la velocidad calculada por la deceleración, se acelera el motor con la rampa de aceleración que se mencionaba anteriormente.



**Figura 17.3** – Control de posicionamiento

## 17.4. Flujograma del posicionamiento por consigna

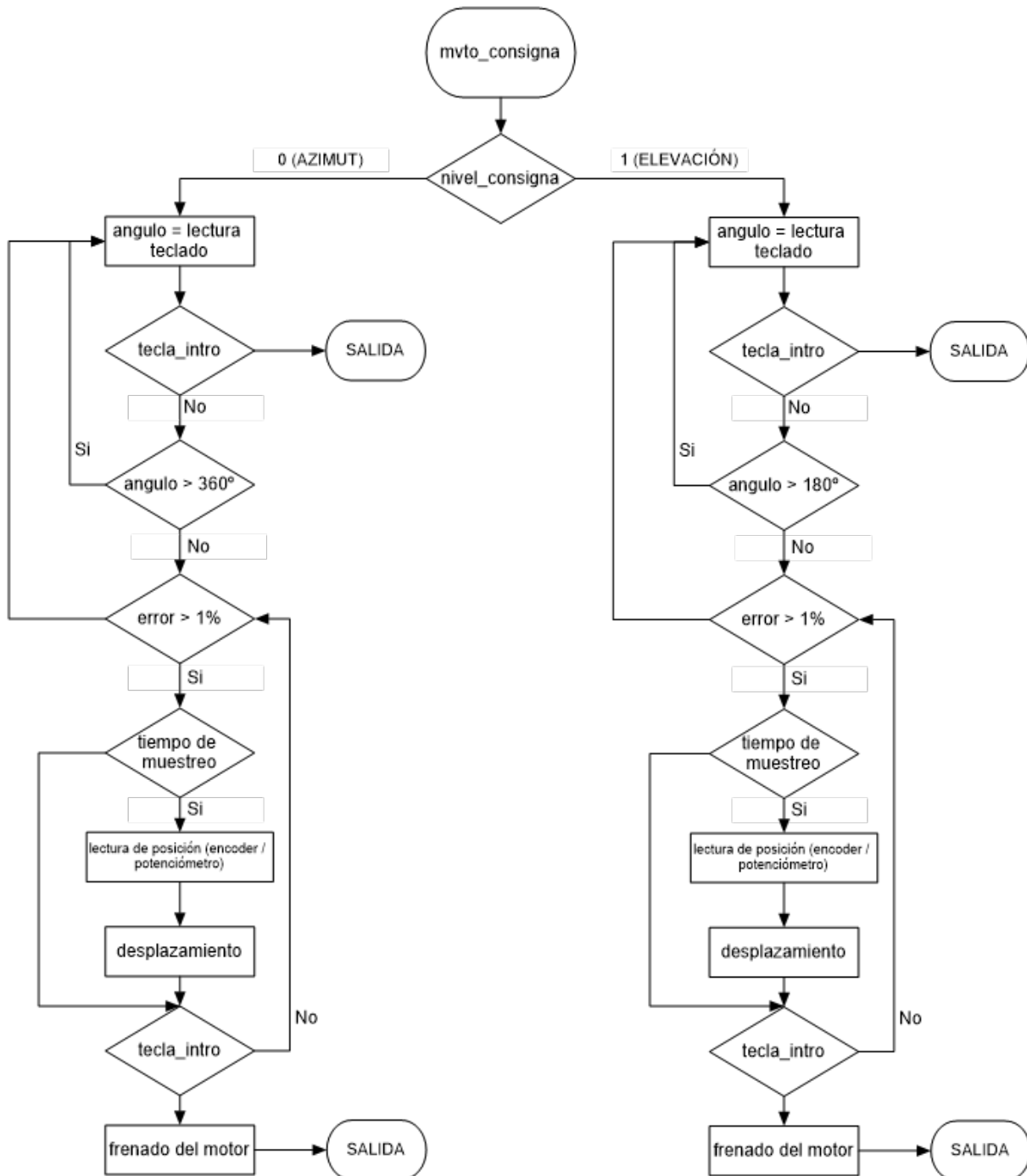


Figura 17.4 – Posicionamiento de motores por consigna

Esta función es la que permite al usuario colocar un determinado motor en la posición deseada introduciendo la consigna por teclado.

La variable *nivel\_consigna* al inicio del flujograma representa qué motor es el que se ha de posicionar.

La primera acción será obtener la lectura del teclado. Si durante dicha lectura el usuario

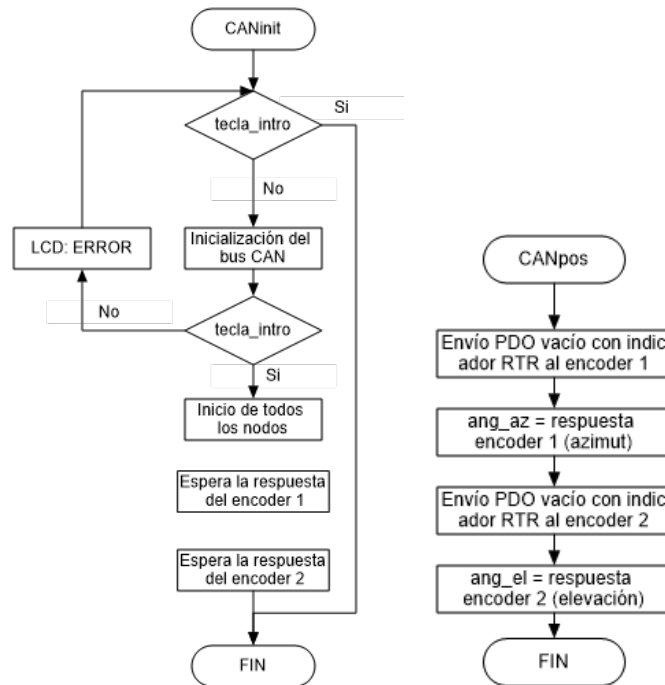
presiona la tecla central, el programa regresa el menú anterior (dónde se selecciona qué motor se desea desplazar). Si la consigna introducida no es válida, se solicitará una nueva consigna.

Una vez obtenida la consigna, se comprueba si el motor se encuentra o no en esa posición. Si la posición es suficientemente próxima a la consigna, no se moverá el motor y se solicitará una nueva consigna. De lo contrario, comenzará el movimiento del motor (controlado por la función desplazamiento, descrita anteriormente), cumpliendo con el tiempo de muestreo.

Si durante el movimiento del motor se presiona la tecla central de la botonera, se detendrán los motores y se regresará al menú anterior.

## 17.5. Flujograma de comunicación con los encoder

En el anexo 12 se realiza una descripción detallada del diálogo que se debe establecer entre los encoder y el microcontrolador. En primer lugar se inicializa el bus y los encoders mediante la función *CANinit()*, desde el setup, y posteriormente, cuando sea necesaria la lectura de la posición, se utiliza *CANpos()*. Este diálogo queda reflejado de manera más visual en los siguientes flujogramas.



(a) Inicialización del bus y de los encoders

(b) Comunicación y recepción de la posición de los encoders

**Figura 17.5** – Comunicaciones CANopen

## 17.6. Cálculos keplerianos

El primer paso se realiza en el setup, donde se guardan los datos TLE. Posteriormente, en la función *automatico()* se llama a la función *calc\_kepler()*, que devolverá los ángulos AZ y EL.

En los siguientes flujogramas se muestran funciones y procesos previamente explicadas en los anexos 16 y 15.

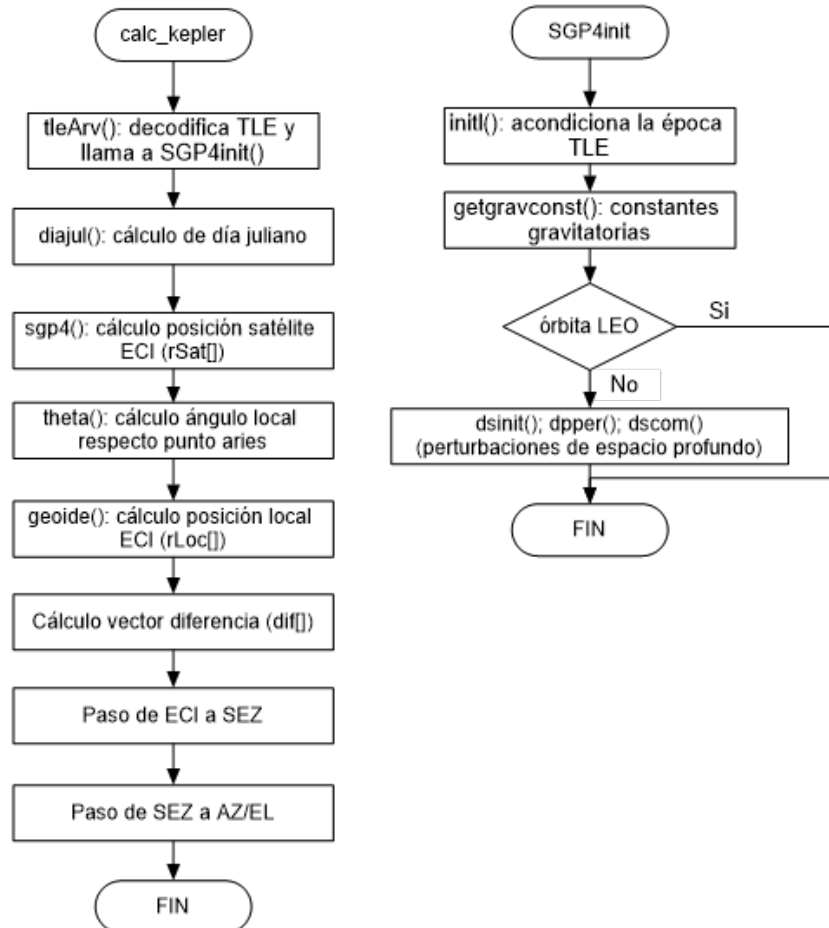


Figura 17.6 – Cálculos keplerianos



## **18 CÓDIGOS DE PROGRAMACIÓN**

### **18.1. Código de comunicación simple con encoder**

```

1  #include <SPI.h>
2  #include <mcp_can.h>
3
4
5  const int SPI_CS_PIN = 10;
6
7  MCP_CAN CAN(SPI_CS_PIN)
8
9  void setup()
10 {
11     unsigned char stmp[2] = {1, 0};
12     unsigned long canId;
13     unsigned char len;
14     unsigned char buf[8];
15
16     Serial.begin(115200);
17
18     //-----
19     //                               Inicializacion del bus a 20 kbaudios
20     //-----
21
22     while (CAN_OK != CAN.begin(CAN_20KBPS))
23     {
24         Serial.println("Error en la inicializacion del CAN BUS");
25         Serial.println("Inicializa el bus de nuevo");
26         delay(100);
27     }
28     Serial.println("Inicializacion del CAN BUS: OK!");
29     Serial.println("En espera del cambio del voltaje OFF -> ON");
30
31     while(CAN_MSGAVAIL != CAN.checkReceive());
32
33
34     //-----
35     //                               Respuesta en el paso de ON-->OFF
36     //-----
37     if(CAN_MSGAVAIL == CAN.checkReceive())
38     {
39         Serial.println("-----Setup-----");
40         while(CAN_MSGAVAIL == CAN.checkReceive())
41         {
42
43             while((canId = CAN.getCanId()) != 0x701)
44             {
45                 CAN.readMsgBuf(&len, buf);
46             }
47             Serial.println("COB-ID \t Databyte 0 \t Databyte 1" );
48             Serial.print("0x");
49             Serial.print(canId, HEX);
50             Serial.print(" \t");
51             for(int i = 0; i<len; i++)
52             {
53                 Serial.print(buf[i], HEX);
54                 Serial.print("\t\t");
55             }
56             Serial.println();
57             Serial.println("-----");
58             Serial.flush();
59
60             delay(50);
61         }
62     }
63
64     //-----
65     //                               START ALL NODES
66     //-----
67
68     stmp[1] = 0x00;
69     stmp[0] = 0x01;
70     CAN.sendMsgBuf(0x00, CAN_STDID, 2, stmp);
71     delay(50);
72
73     while(CAN_MSGAVAIL != CAN.checkReceive());

```

```

74 //-----
75 //                                     Respuesta PDO1
76 //-----
77     if(CAN_MSGAVAIL == CAN.checkReceive())
78     {
79         while(CAN_MSGAVAIL == CAN.checkReceive())
80         {
81
82             while((canId = CAN.getCanId()) != 0x181)
83             {
84                 CAN.readMsgBuf(&len, buf);
85             }
86             Serial.println("COB-ID \t Databyte 0 \t Databyte 1" );
87             Serial.print("0x");
88             Serial.print(canId, HEX);
89             Serial.print(" \t");
90             for(int i = 0; i<len; i++)
91             {
92                 Serial.print(buf[i], HEX);
93                 Serial.print("\t\t");
94             }
95             Serial.println();
96             Serial.flush();
97
98             delay(50);
99         }
100     }
101     Serial.println("-----Fin Setup-----");
102
103 }
104
105
106
107 void loop()
108 {
109     unsigned char len = 0;
110     unsigned char buf[8];
111     float valor=9000,valor_anterior;
112     unsigned long canId = CAN.getCanId();
113
114
115     while(1)
116     {
117         CAN.sendMsgBuf(0x80, 0, 0,0); // envio del objeto SYNC
118         delay(50);
119
120
121 //-----
122 //                                     Respuesta PDO2
123 //-----
124     if(CAN_MSGAVAIL == CAN.checkReceive())
125     {
126
127         while(CAN_MSGAVAIL == CAN.checkReceive())
128         {
129
130             while((canId = CAN.getCanId()) != 0x281)
131             {
132                 CAN.readMsgBuf(&len, buf);
133             }
134
135
136             valor_anterior=valor;
137             valor=(buf[0]+256*buf[1])*(360.0/4095.0);
138             // El buffer son 8 bytes, pero el TBN
139             // me envia la posicion solo en 2, lo
140             // dice el manual de usuario en pagina
141             // 8/22 y la propia hoja de caracteristicas.
142             if(valor_anterior!=valor)
143             {
144
145
146                 Serial.println("COB-ID \t Databyte 0 \t Databyte 1" );

```

```
147 Serial.print("0x");
148 Serial.print(canId, HEX);
149 Serial.print(" \t");
150 for(int i = 0; i<len; i++)
151 {
152     Serial.print(buf[i], HEX);
153     Serial.print("\t\t");
154 }
155 Serial.println();
156 Serial.print("Posicion:");
157 Serial.println(valor);
158 Serial.println("-----");
159
160 }
161
162 delay(100);
163 }
164 }
165 }
166 }
167 }
168 }
169
170
```

## **18.2. Código de cambio de dirección del encoder**

```

1  #include <SPI.h>
2  #include <mcp_can.h>
3
4
5  //const int SPI_CS_PIN = 9;
6  const int SPI_CS_PIN = 10;
7
8  MCP_CAN CAN(SPI_CS_PIN); // Set CS pin
9
10 void setup()
11 {
12     Serial.begin(115200);
13     /*-----
14         Inicializacion del bus
15     -----*/
16
17     while (CAN_OK != CAN.begin(CAN_20KBPS)) // init can bus : baudrate
18         = 20k
19     {
20         Serial.println("CAN BUS Shield init fail");
21         Serial.println(" Init CAN BUS Shield again");
22         delay(100);
23     }
24     Serial.println("CAN BUS Shield init ok!");
25 }
26
27
28 bool ini=1; // Variable con valor 1 uncamente en la primera iteración del bucle
29 void loop()
30 {
31     byte msg2[2];
32     byte msg8[8];
33     unsigned char len = 0;
34     unsigned char buf[8];
35
36
37     while(CAN_MSGAVAIL != CAN.checkReceive()); // Espera hasta que se conecte el
38     encoder
39
40     CAN.readMsgBuf(&len, buf);
41
42     unsigned long canId = CAN.getCanId();
43
44     Serial.println("-----Boot-up del nodo-----");
45     if(ini == 1)
46     {
47         Serial.println("-----ID inicial-----");
48     }else{
49         Serial.println("-----ID nueva-----");
50     }
51     Serial.print("COB-ID: 0x");
52     Serial.println(canId, HEX);
53     Serial.print("Databytes: ");
54
55     for(int i = 0; i<len; i++)
56     {
57         Serial.print(buf[i], HEX);
58         Serial.print("\t");
59     }
60     Serial.println();
61
62     if (ini==1)
63     // Cambio de direccion a través de LSS se realiza únicamente en el arranque
64     {
65
66     /*-----
67         Start all nodes
68     -----*/
69
70     msg2[0] = 0x01;
71     msg2[1] = 0x00;
72     CAN.sendMsgBuf(0x0, CAN_STDID, 2, msg2); //Start all nodes

```

```

72     delay(10);
73     /*-----
74             RESPUESTA DE LA 0x181
75     -----*/
76
77     CAN.readMsgBuf(&len, buf);
78
79     canId = CAN.getCanId();
80
81     Serial.println("-----");
82     Serial.print("COB-ID: 0x");
83     Serial.println(canId, HEX);
84     Serial.print("Databytes: ");
85
86     for(int i = 0; i<len; i++)
87     {
88         Serial.print(buf[i], HEX);
89         Serial.print("\t");
90     }
91     Serial.println();
92     /*-----
93             Stop all nodes
94     -----*/
95
96
97     msg2[0] = 0x02;
98     msg2[1] = 0x00;
99     CAN.sendMsgBuf(0x0, CAN_STDID, 2, msg2);    //Stop all nodes
100    delay(10);
101
102    /*-----
103            Manufacturer name
104    -----*/
105
106    //msg8 = {0x40,0x0D,0X01,0X00,0X00,0X00,0X00,0X00}; // Mensaje en hexadecimal
107    //msg8 = {64,13,1,0,0,0,0,0}; // Mensaje en decimal
108    msg8[0] = 0x40;
109    msg8[1] = 0x0D;
110    msg8[2] = 0X01;
111    msg8[3] = 0X00;
112    msg8[4] = 0X00;
113    msg8[5] = 0X00;
114    msg8[6] = 0X00;
115    msg8[7] = 0X00;
116    CAN.sendMsgBuf(0x7E5, CAN_STDID, 8, msg8); //Manufacturer name
117    delay(10);
118    /*-----
119            Product number
120    -----*/
121
122    //msg8 = {0x41,0x00,0X60,0X00,0X00,0X00,0X00,0X00}; // Mensaje en hexadecimal
123    //msg8 = {65,0,96,0,0,0,0,0}; // Mensaje en decimal
124    msg8[0] = 0x41;
125    msg8[1] = 0x00;
126    msg8[2] = 0X60;
127    msg8[3] = 0X00;
128    msg8[4] = 0X00;
129    msg8[5] = 0X00;
130    msg8[6] = 0X00;
131    msg8[7] = 0X00;
132    CAN.sendMsgBuf(0x7E5, CAN_STDID, 8, msg8); //Product number
133    delay(10);
134    /*-----
135            Revision number
136    -----*/
137
138    //msg8 = {0x42,0x03,0X00,0X01,0X00,0X00,0X00,0X00}; // Mensaje en hexadecimal
139    //msg8 = {66,3,0,1,0,0,0,0}; // Mensaje en decimal
140    msg8[0] = 0x42;
141    msg8[1] = 0x03;
142    msg8[2] = 0X00;
143    msg8[3] = 0X01;
144    msg8[4] = 0X00;

```

```

145     msg8[5] = 0X00;
146     msg8[6] = 0X00;
147     msg8[7] = 0X00;
148     CAN.sendMsgBuf(0x7E5, CAN_STDID, 8, msg8); //Revision number
149     delay(10);
150     /*-----
151             S/N:459764=0X0703F4 (serial number)
152     -----*/
153
154     //msg8 = {0x43,0x66,0XBE,0X02,0X00,0X00,0X00,0X00}; // Mensaje en hexadecimal
155     //msg8 = {67,244,3,7,0,0,0,0}; // Mensaje en decimal
156     msg8[0] = 0x43;
157     msg8[1] = 0xF4;
158     msg8[2] = 0X03;
159     msg8[3] = 0X07;
160     msg8[4] = 0X00;
161     msg8[5] = 0X00;
162     msg8[6] = 0X00;
163     msg8[7] = 0X00;
164     CAN.sendMsgBuf(0x7E5, CAN_STDID, 8, msg8); //S/N:459764=0X0703F4 (serial
165     number)
166     delay(10);
167     /*-----
168             SUCCES MESSAGE FROM SENSOR
169     -----*/
170
171     CAN.readMsgBuf(&len, buf);
172
173     canId = CAN.getCanId();
174
175     Serial.println("-----");
176     Serial.print("COB-ID: 0x");
177     Serial.println(canId, HEX);
178     Serial.print("Databytes: ");
179
180     for(int i = 0; i<len; i++)
181     {
182         Serial.print(buf[i], HEX);
183         Serial.print("\t");
184     }
185     Serial.println();
186     delay(10);
187     /*-----
188             Node adress 2 programming
189     -----*/
190
191     //msg8 = {0X11,0x02,0X00,0X00,0X00,0X00,0X00,0X00}; // Mensaje en hexadecimal
192     //msg8 = {17,2,0,0,0,0,0,0}; // Mensaje en decimal
193     msg8[0] = 0X11;
194     msg8[1] = 0x01;
195     msg8[2] = 0X00;
196     msg8[3] = 0X00;
197     msg8[4] = 0X00;
198     msg8[5] = 0X00;
199     msg8[6] = 0X00;
200     msg8[7] = 0X00;
201     CAN.sendMsgBuf(0x7E5, CAN_STDID, 8, msg8); //Node adress 2 programming
202     delay(10);
203     /*-----
204             SUCCES MESSAGE FROM SENSOR
205     -----*/
206
207     CAN.readMsgBuf(&len, buf);
208
209     canId = CAN.getCanId();
210
211     Serial.println("-----");
212     Serial.print("COB-ID: 0x");
213     Serial.println(canId, HEX);
214     Serial.print("Databytes: ");
215
216     for(int i = 0; i<len; i++)
217     {

```



```

217         Serial.print(buf[i], HEX);
218         Serial.print("\t");
219     }
220     Serial.println();
221     delay(10);
222     /*-----
223         Zero-voltage protected saving
224     -----*/
225
226     //msg8 = {0X17,0x00,0X00,0X00,0X00,0X00,0X00,0X00}; // Mensaje en hexadecimal
227     //msg8 = {23,0,0,0,0,0,0,0}; // Mensaje en decimal
228     msg8[0] = 0X17;
229     msg8[1] = 0x00;
230     msg8[2] = 0X00;
231     msg8[3] = 0X00;
232     msg8[4] = 0X00;
233     msg8[5] = 0X00;
234     msg8[6] = 0X00;
235     msg8[7] = 0X00;
236     CAN.sendMsgBuf(0x7E5, CAN_STDID, 8, msg8); //Zero-voltage protected saving
237     delay(10);
238     /*-----
239         SUCCES MESSAGE FROM SENSOR
240     -----*/
241
242     CAN.readMsgBuf(&len, buf);
243
244     canId = CAN.getCanId();
245
246     Serial.println("-----");
247     Serial.print("COB-ID: 0x");
248     Serial.println(canId, HEX);
249     Serial.print("Databytes: ");
250
251     for(int i = 0; i<len; i++)
252     {
253         Serial.print(buf[i], HEX);
254         Serial.print("\t");
255     }
256     Serial.println();
257     delay(10);
258     /*-----
259         Sensor reseted to LSS-Operating-Mode
260     -----*/
261
262     //msg8 = {0X04,0x00,0X00,0X00,0X00,0X00,0X00,0X00}; // Mensaje en hexadecimal
263     //msg8 = {4,0,0,0,0,0,0,0}; // Mensaje en decimal
264     msg8[0] = 0X04;
265     msg8[1] = 0x00;
266     msg8[2] = 0X00;
267     msg8[3] = 0X00;
268     msg8[4] = 0X00;
269     msg8[5] = 0X00;
270     msg8[6] = 0X00;
271     msg8[7] = 0X00;
272     CAN.sendMsgBuf(0x7E5, CAN_STDID, 8, msg8); //Sensor reseted to
273     LSS-Operating-Mode
274     delay(10);
275     /*-----
276         BOOT-UP NODE WITH NEW NODE ADDRESS
277     -----*/
278
279     CAN.readMsgBuf(&len, buf);
280
281     canId = CAN.getCanId();
282
283     Serial.println("-----");
284     Serial.print("COB-ID: 0x");
285     Serial.println(canId, HEX);
286     Serial.print("Databytes: ");
287
288     for(int i = 0; i<len; i++)
289     {

```

```
289         Serial.print(buf[i], HEX);
290         Serial.print("\t");
291     }
292     Serial.println();
293     delay(10);
294 //-----
295     }
296     ini=0;
297 }
298
299
300
```

### **18.3. Código auxiliar para GPS**

```
1  #include <SoftwareSerial.h>
2  /*const int RX = 10;
3  const int TX = 11;*/
4  /*const int RX = 3;
5  const int TX = 4;*/
6  const int TX = 62; //A8
7  const int RX = 63; //A9
8  SoftwareSerial gps(RX, TX);
9  void setup()
10 {
11     Serial.begin(115200);
12     //gps.begin(115200);
13     gps.begin(9600);
14 }
15 void loop()
16 {
17     if (gps.available())
18     {
19         char data;
20         data = gps.read();
21         Serial.print(data);
22     }
23 }
```

## **18.4. Fichero principal .ino**

```

1  #include <Arduino.h>
2  #include <LiquidCrystal.h>
3  #include <Keypad.h>
4  #include <Wire.h>
5  // #include <LiquidCrystal_I2C.h>
6  #include <SPI.h>
7  #include <mcp_can.h>
8  #include "sgp4Completo.h"
9  #include <SoftwareSerial.h>
10 #include <string.h>
11 #include <EEPROM.h>
12
13
14 /*const int RX = 0;
15 const int TX = 1;*/ //Para arduino UNO
16
17 const int TX = 62; //A8
18 const int RX = 63; //A9
19
20 SoftwareSerial gps(RX, TX);
21
22
23 // CANopen
24 #define SPI_CS_PIN 10
25
26 MCP_CAN CAN(SPI_CS_PIN); // pin CS del CAN shield
27
28 // Botones
29 #define izquierda 43
30 #define intro 39
31 #define derecha 37
32 #define arriba 45
33 #define abajo 41
34
35
36 // Menus
37 #define numeroMenus 3
38 // #define numeroNiveis 1
39 #define num_menus_setup 5
40
41 // Constantes de control de velocidad
42 #define ks 5 // Aceleración
43 #define kb 0.75 // Constante proporcional
44 #define vmin 1 // PWM minimo
45 #define vmax 255 // PWM maximo
46
47 // Pines PWM
48 #define AZ_PWM_pin 7
49 #define EL_PWM_pin 8
50
51 // Pines relés
52 #define AZcw 3
53 #define AZbrk 14
54 #define AZccw 15
55 #define ELcw 6
56 #define ELbrk 5
57 #define ELccw 4
58
59 // Variable para activar o no los relés de freno (1 activos, 0 desactivados)
60 #define freno 0
61
62
63 // Pines lectura analógica
64 #define AZ_input A0
65 #define EL_input A1
66
67
68
69 // Depuración
70 #define debug_kepler false
71 #define debug_kepler_loop false //debug keplerianos en loop()
72 #define debug_CAN false
73 #define debug_GPS false

```

```

74 #define debug_easycom false
75 #define debug_auto false
76 #define debug_dsplz false //debug de f() desplazamiento
77
78
79
80
81 /*-----
82 Modos de cálculo de
83 posición
84 -----
85 * calc:
86 * 1 => EXTERNO
87 * 0 => AUTÓNOMO
88 * *DEFAULT => AUTÓNOMO
89 -----*/
89 bool calc = 0;
90
91 /*-----
92 Modos de realimentación
93 -----
94 * REALIMENTACION:
95 * 0 => POTENCIOMETRO
96 * 1 => ENCODER TWK
97 * *DEFAULT => POTENCIOMETRO
98 -----*/
99 char realimentacion = 0;
100
101 /*-----
102 BOTONES
103 -----*/
104 bool tecla_intro = 1, tecla_derecha = 1, tecla_izquierda = 1,
105 tecla_arriba = 1, tecla_abajo = 1;
106
107 //lectura a nivel bajo
108
109 //Tengo que declararlas globales para poder usarlas en las funciones
110
111 /*-----
112 MENÚS
113 -----
114 * El sistema de menús involucra, para cada menú, una variable matricial tipo char
115 * en la que se almacena el texto del menú correspondiente y un contador, que se
116 * incrementa o decrementa con cada pulsación de las teclas para desplazarse por
117 * el menú. Este contador sirve como índice de la matriz a la hora de presentar
118 * el texto del menú en la pantalla.
119 *
120 * Se necesita también una variable, nivel, que indicará qué opción de cada menú
121 * se ha seleccionado (seleccionar la opción deseada pulsando la tecla central).
122 *
123 *****
124 *
125 * Ej: menú principal
126 *
127 * Variable de nivel => nivel_menu
128 * Índice de la matriz => x
129 *
130 * Mientras nivel_menu = 0, permanecemos en el entorno de selección de los
131 * modos de funcionamiento que ofrece el menú principal, incrementando y
132 * decrementando el índice de la matriz (x) con cada pulsación de las teclas de
133 * selección. Al pulsar la tecla central (intro), se accede a ese modo de
134 * funcionamiento al actualizar el valor del nivel del menú, nivel_menu = x + 1
135 * De esta forma, mientras no se seleccione ningún modo, nivel_menu = 0.
136 * Si se selecciona el modo de funcionamiento que corresponde con el índice 0
137 * de la matriz, el nivel del menú será 1.
138 *
139 -----*/
140 /*-----
141 MENU SETUP
142 -----*/
143
144 char menu_setup[num_menus_setup][19] = {
145 "1-Software externo",

```

```

146     "2-Potenciometro   ",
147     "3-Encoder TWK     ",
148     "4-Calculo autonomo",
149     "5-Actualizar TLE  "};
150
151
152 char nivel_setup = 0;           // Para el nivel de SETUP
153 char z = 0;
154
155
156 /*-----
157                               MENU PRINCIPAL
158 -----*/
159
160 char Menus[numeroMenus][16] = {
161     "1-Calibracion",
162     "2-Manual      ",
163     "3-Automatico "};
164 char nivel_menu = 0;           // Para el nivel de menu PRINCIPAL
165 char x = 0;
166 /*-----
167                               MENU MANUAL
168 -----*/
169
170 char submenu_manual[2][16] = {
171     "2.1-Consigna  ",
172     "2.2-Manual    "};
173
174 char nivel_submenu = 0;        //Para el nivel de submenus de MANUAL
175 char y = 0;
176
177 /*-----
178                               MENU MANUAL CONSIGNA (AZIMUT o ELEVACION)
179 -----*/
180
181 char submenu_consigna[2][16] = {
182     "2.1.1-Azimut  ",
183     "2.1.2-Elevacion"};
184
185 char nivel_consigna = 0;       //Para el nivel de submenus de CONSIGNA
186 char p = 0;
187
188
189 /*-----
190                               Variables de tiempo
191 -----*/
192
193 long t0 = 0,t1 = 0;
194
195 /*-----
196                               Pantalla
197 -----*/
198 LiquidCrystal lcd(23, 25, 27, 29, 31, 33, 35); //(RS,RW, E, D4, D5, D6, D7)
199
200 /*-----
201                               Teclado matricial
202 -----*/
203
204
205 /*const byte filasCont = 4;
206 const byte colCont = 4;*/
207 #define filasCont 4
208 #define colCont 4
209
210 char teclas[filasCont][colCont] = {
211     { '1','2','3','A' },
212     { '4','5','6','B' },
213     { '7','8','9','C' },
214     { '.', '0', '#', 'D' }
215 };
216
217 const byte filPin[filasCont] = { 47, 49, 51, 53 };
218 const byte colPin[colCont] = { 46, 48, 50, 52 };

```



```

219 Keypad keypad=Keypad(makeKeymap(teclas),filPin,colPin,filasCont,colCont);
220
221
222
223 /*-----
224                               Variables máquina de estados
225 -----*/
226
227 /*-----
228                               Estas variables deben ser globales ya que la maquina de estados se ejecuta en
229                               bucle, se ejecuta cada vez que recibe un caracter por puerto serie, pero debe
230                               mantener el valor de la ejecucion anterior
231 -----*/
232 int s_easycom = 0;
233 bool dat_valido=0; // Variable utilizada para que la
234                   // trama recibida no viene vacía,
235                   // es decir AZ EL no se decodifica
236
237 int cel = 0; //contador elevacion
238 int caz = 0; //contador azimut
239 char azimut[6] = "000000";
240 char elevacion[6] = "000000";
241
242
243 /*-----
244                               Variables de lectura GPS
245 -----*/
246 int s_GPS = 0; // estado de la maquina de estados
247 int ch = 0; // contador hora
248 int clat = 0; // contador latitud
249 int clong = 0; // contador longitud
250 int cfec = 0; // contador fecha
251 char hora[10] = "000000.00";
252 char fecha[7] = "00000000";
253 char latitud[11] = "0000.0000N";
254 char longitud[12] = "00000.0000W";
255 char validez;
256
257
258 /*-----
259                               Variables control velocidad
260 -----*/
261
262 float subida_az = 0, bajada_az = 0, subida_el = 0, bajada_el = 0;
263
264 /*-----
265                               DATOS TLE (provisionales)
266 -----*/
267 char linea1[70] =
268 "1 25544U 98067A 19244.80978439 .00023162 00000-0 40601-3 0 9996",
269 linea2[70] =
270 "2 25544 51.6453 341.1922 0008118 354.9234 154.2883 15.50431209187148";
271
272 /*-----
273                               SETUP
274 -----*/
275
276 bool bios = 0;
277 /*-----
278 * BIOS:
279 * 1 => permanece en menú del setup
280 * 0 => sale del menú del setup (o no entra)
281 * *DEFAULT= 0
282 -----*/
283
284 void setup()
285 {
286     Serial.begin(9600);
287
288     gps.begin(9600);
289
290     // Botonera

```

```

292 pinMode(intro, INPUT);
293 pinMode(derecha, INPUT);
294 pinMode(izquierda, INPUT);
295 pinMode(arriba, INPUT);
296 pinMode(abajo, INPUT);
297
298 // Control de posición-velocidad
299 pinMode(A0 , INPUT);
300 pinMode(A1 , INPUT);
301 pinMode(8 , OUTPUT);
302 pinMode(7 , OUTPUT);
303
304 // Relés
305 pinMode(AZcw , OUTPUT);
306 pinMode(AZccw , OUTPUT);
307 pinMode(AZbrk , OUTPUT);
308 pinMode(ELcw , OUTPUT);
309 pinMode(ELccw , OUTPUT);
310 pinMode(ELbrk , OUTPUT);
311
312 //(control del transistor a nivel bajo)
313 // Freno AZ activado
314 digitalWrite(AZcw,HIGH);
315 digitalWrite(AZccw,HIGH);
316 digitalWrite(AZbrk,HIGH); // NC
317 // Freno EL activado
318 digitalWrite(ELcw,HIGH);
319 digitalWrite(ELccw,HIGH);
320 digitalWrite(ELbrk,HIGH); // NC
321
322 // Lectura de los datos TLE grabados en la EEPROM
323 int i, j;
324
325 for(i = 0; i < 69; i++)
326 {
327     linea1[i] = EEPROM.read(i);
328 }
329 linea1[i++] = '\0';
330
331 for(j = 0; i < 139; i++, j++)
332 {
333     linea2[j] = EEPROM.read(i);
334 }
335 linea2[j] = '\0';
336
337 /*lcd.init();
338 lcd.backlight();*/
339 lcd.begin(20, 4);
340
341 lcd.setCursor(3,0);
342 lcd.print("Seguimiento de");
343 lcd.setCursor(6,1);
344 lcd.print("satelites");
345 lcd.setCursor(9,2);
346 lcd.print("UDC");
347
348 delay(3000);
349
350 // Comprobación de entrada en Setup
351 tecla_izquierda=digitalRead(izquierda);
352 tecla_derecha=digitalRead(derecha);
353 if(!tecla_izquierda||!tecla_derecha)
354 {
355     delay(300);
356     if(!tecla_derecha&&!tecla_izquierda)
357     {
358         t0=millis();
359         while(!tecla_derecha&&!tecla_izquierda)
360         {
361             tecla_izquierda=digitalRead(izquierda);
362             tecla_derecha=digitalRead(derecha);
363             t1=millis();

```

```

365         // Si permanecen pulsados los dos botones más de dos segundos
366         // se accede al setup
367
368         if((t1-t0)>2000)
369         {
370             lcd.clear();
371             lcd.setCursor(0,0);
372             lcd.print("SETUP");
373             delay(500);
374         }
375     }
376     if((t1-t0)>2000)
377     {
378         delay(1000);
379         lcd.setCursor(0,0);
380         lcd.print("SETUP: CONFIGURACION");
381         lcd.setCursor(0,1);
382         lcd.print(menu_setup[z]);
383
384         bios=1;
385         // Mientras bios = 1, se permanece en el setup. En cuanto se
386         // seleccione la configuración deseada --> bios = 0 y se sale
387         // del setup
388
389         while(bios)
390         {
391             while(nivel_setup == 0 && bios)
392             {
393                 sel_setup();
394             }
395             while(nivel_setup == 1 && bios)
396             {
397                 CANinit();
398             }
399             while(nivel_setup == 2 && bios)
400             {
401                 actualizaTLE();
402             }
403         }
404     }
405 }
406
407
408
409 lcd.clear();
410 lcd.setCursor(0,1);
411 lcd.print(Menus[x]);
412 lcd.setCursor(0,0);
413 lcd.print("Menu principal");
414 }
415
416 /*-----
417                                LOOP
418 -----
419 *
420 *
421 *
422 * Esta función llama a las funciones necesarias según el nivel del menú
423 * principal
424 *
425 *
426 *
427 * entradas:
428 *     nivel_menu
429 *
430 * salidas:
431 *
432 *
433 * llamadas a otras funciones:
434 *     sel_menu
435 *     calibracion
436 *     manual
437 *     automatico

```

```

438 *
439 *
440 *-----*/
441 void loop()
442 {
443     while(debug_kepler_loop)
444     {
445         int anho, mes, dia, horas, minut, lat_grad, lon_grad;
446         float lat_min, lon_min,
447             az, el;
448         double seg;
449         if(leeGPS(anho, mes, dia, horas, minut, seg, lat_grad, lon_grad,
450             lat_min, lon_min))
451         {
452             // La función leer GPS devuelve 1 sólo cuando acaba de actualizarse
453             // Entonces en ese momento calculo los keplerianos, mientras tanto
454             // no
455
456             // Cálculos
457
458             calc_kepler
459             ( anho, mes, dia, horas, minut, seg,
460             lat_grad, lon_grad, lat_min, lon_min,
461             az, el);
462         }
463     }
464
465     int PWM_az = 0, PWM_el = 0;
466     float ang_az = 0, ang_el = 0, az_old = 0, el_old = 0,
467         pos_az_old = 0, pos_el_old = 0;
468     // ang_az y ang_el = consigna posición
469     // az_old y el_old = consigna posición anterior
470     // pos_az_old y pos_el_old = posición anterior
471
472     bool init_apunt_auto = 0;
473
474     /*-----*/
475     * Esta variable bool se envía a la función automatico, donde se iguala a 1
476     * en el momento de obtener la primera consigna de posición (por calculo
477     * externo o autónomo). De esta manera, sólo se iniciará el movimiento de los
478     * motores cuando esta variable indique que se ha obtenido la primera
479     * consigna.
480     * Al salir del modo automático se resetea esta variable.
481     *-----*/
482
483
484
485     while(nivel_menu==0)
486     {
487         sel_menu();
488     }
489     while(nivel_menu==1)
490     {
491         calibracion();
492     }
493     while(nivel_menu==2)
494     {
495         manual();
496     }
497     while(nivel_menu==3)
498     {
499         automatico(
500             init_apunt_auto,
501             PWM_az, PWM_el,
502             ang_az, ang_el,
503             az_old, el_old,
504             pos_az_old, pos_el_old);
505     }
506 }
507
508
509
510 /*-----*/

```

## SELECCIÓN DE LA CONFIGURACIÓN (SETUP)

```
511
512 -----
513 *
514 *           función sel_menu
515 *
516 * Esta función permite desplazarse por el SETUP
517 *
518 *
519 *  entradas:
520 *      lectura hardware de los botones
521 *
522 *  salidas:
523 *      bios
524 *      realimentacion
525 *      calc
526 *
527 *  llamadas a otras funciones:
528 *
529 *
530 *-----*/
531 void sel_setup()
532 {
533     tecla_intro = digitalRead(intro);
534     tecla_derecha = digitalRead(derecha);
535     tecla_izquierda = digitalRead(izquierda);
536     if(!tecla_derecha)
537     {
538         delay(300);
539         if(++z > num_menus_setup-1)
540         {
541             z=0;
542         }
543         lcd.clear();
544         lcd.setCursor(0,0);
545         lcd.print("SETUP: CONFIGURACION");
546         lcd.setCursor(0,1);
547         lcd.print(menu_setup[z]);
548     }
549     if(!tecla_izquierda)
550     {
551         delay(300);
552         if(--z < 0)
553         {
554             z = num_menus_setup-1;
555         }
556         lcd.clear();
557         lcd.setCursor(0,0);
558         lcd.print("SETUP: CONFIGURACION");
559         lcd.setCursor(0,1);
560         lcd.print(menu_setup[z]);
561     }
562     if(!tecla_intro)
563     {
564         delay(300);
565
566         t0 = millis();
567         while(!tecla_intro)
568         {
569             t1 = millis();
570             if((t1-t0)>1000)
571             {
572                 lcd.clear();
573                 lcd.setCursor(0,0);
574                 lcd.print("SETUP: CONFIGURACION");
575                 lcd.setCursor(0,1);
576                 lcd.print("Configuracion");
577                 lcd.setCursor(0,2);
578                 lcd.print("realizada");
579                 delay(1500);
580             }
581             tecla_intro = digitalRead(intro);
582         }
583     }
```

```

584     t1 = millis();
585
586     if((t1-t0)>1000)
587     {
588         bios = 0;
589         // En caso de que la pulsación sea sostenida salgo del setup con la
590         // última configuración
591     }else
592     {
593         // Si la pulsación es corta, se selecciona el valor de realimentación
594         // que corresponda
595
596         // En este menu no voy a querer acceder a otras funciones salvo en el
597         // caso de introducir constante de velocidad o cambiar a encoder, asique
598         // no voy a cambiar el nivel del menu salvo en ese caso. Por tanto, el
599         // switch case sera con el indice del menu,y no con el nivel
600         switch(z)
601         {
602             case 0:
603                 calc = 1;
604
605                 lcd.clear();
606                 lcd.setCursor(0,0);
607                 lcd.print("SETUP: CONFIGURACION");
608                 nivel_setup = 0;
609                 lcd.setCursor(0,1);
610                 lcd.print("Seleccion: ");
611                 lcd.setCursor(0,2);
612                 lcd.print("Software externo");
613                 //-----
614                 delay(1500);
615                 lcd.clear();
616                 lcd.setCursor(0,0);
617                 lcd.print("SETUP: CONFIGURACION");
618                 lcd.setCursor(0,1);
619                 lcd.print(menu_setup[z]);
620                 break;
621             case 1:
622                 realimentacion = 0;
623                 lcd.clear();
624                 lcd.setCursor(0,0);
625                 lcd.print("SETUP: CONFIGURACION");
626                 lcd.setCursor(0,1);
627                 lcd.print("Seleccion:");
628                 lcd.setCursor(0,2);
629                 lcd.print("Potenciometro");
630                 //-----
631                 // El pin 11 pertenece al pinout del CANshield, como output
632                 // el bus no funciona
633                 pinMode(11 , OUTPUT);
634                 //-----
635                 delay(1500);
636                 lcd.clear();
637                 lcd.setCursor(0,0);
638                 lcd.print("SETUP: CONFIGURACION");
639                 lcd.setCursor(0,1);
640                 lcd.print(menu_setup[z]);
641                 break;
642             case 2:
643                 realimentacion = 1;
644                 //-----
645                 pinMode(11 , INPUT);
646                 // Así el bus puede funionar de nuevo
647                 //-----
648                 nivel_setup = 1;
649                 lcd.clear();
650                 lcd.setCursor(0,0);
651                 lcd.print("SETUP: CONFIGURACION");
652                 lcd.setCursor(0,1);
653                 lcd.print("Seleccion:");
654                 lcd.setCursor(0,2);
655                 lcd.print("Encoder TBN 12b");
656                 lcd.setCursor(0,3);

```

```

657         lcd.print("CANbus inicializando");
658         delay(1500);
659
660         break;
661     case 3:
662         calc = 0;
663         lcd.clear();
664         lcd.setCursor(0,0);
665         lcd.print("SETUP: CONFIGURACION");
666         lcd.setCursor(0,1);
667         lcd.print("Seleccion: ");
668         lcd.setCursor(0,2);
669         lcd.print("Calculo autonomo");
670         delay(1500);
671         lcd.clear();
672         lcd.setCursor(0,0);
673         lcd.print("SETUP: CONFIGURACION");
674         lcd.setCursor(0,1);
675         lcd.print(menu_setup[z]);
676         break;
677     case 4:
678         nivel_setup = 2;
679         lcd.clear();
680         lcd.setCursor(0,0);
681         lcd.print("SETUP: CONFIGURACION");
682         lcd.setCursor(0,1);
683         lcd.print("Actualizar TLE");
684         lcd.setCursor(0,2);
685         lcd.print("Abre monitor serie");
686         lcd.setCursor(0,3);
687         lcd.print("y vuelve a este menu");
688         break;
689
690     default:
691         lcd.clear();
692         lcd.setCursor(0,0);
693         lcd.print("Intro para salir");
694         break;
695     }
696 }
697 }
698 }
699
700 /*-----
701          SELECCION DEL MODO DE FUNCIONAMIENTO PRINCIPAL
702 -----*/
703 *
704 *          función sel_menu
705 *
706 * Esta función permite desplazarse por el menú principal
707 *
708 *
709 *  entradas:
710 *      lectura hardware de botones
711 *
712 *  salidas:
713 *      nivel_menu
714 *
715 *  llamadas a otras funciones:
716 *
717 *
718 *-----*/
719 void sel_menu()
720 {
721
722     tecla_intro = digitalRead(intro);
723     tecla_derecha = digitalRead(derecha);
724     tecla_izquierda = digitalRead(izquierda);
725
726
727
728     if(!tecla_derecha)
729     {

```

```

730     delay(300);
731     if(++x > numeroMenus-1)
732     {
733         x = 0;
734     }
735     lcd.setCursor(0,1);
736     lcd.print(Menus[x]);
737 }
738 if(!tecla_izquierda)
739 {
740     delay(300);
741     if(--x<0)
742     {
743         x = numeroMenus-1;
744     }
745     lcd.setCursor(0,1);
746     lcd.print(Menus[x]);
747 }
748 if(!tecla_intro)
749 {
750     delay(300);
751     nivel_menu = x+1;
752     //porque el indice empieza en cero pero los menus son del 1 al 5
753     switch(x)
754     {
755         case 0:
756             lcd.clear();
757             lcd.setCursor(0,0);
758             lcd.print("Calibracion");
759             break;
760         case 1:
761             x=0;
762             lcd.clear();
763             lcd.setCursor(0,0);
764             lcd.print("Modo manual");
765             lcd.setCursor(0,1);
766             lcd.print(submenu_manual[x]);
767             break;
768         case 2:
769             lcd.clear();
770             lcd.setCursor(0,0);
771             lcd.print("Modo automatico");
772
773             break;
774         /*case 3:
775             lcd.clear();
776             lcd.setCursor(0,0);
777             lcd.print("Seleccion de");
778             lcd.setCursor(0,1);
779             lcd.print("satelite");
780             break;
781         case 4:
782             lcd.clear();
783             lcd.setCursor(0,0);
784             lcd.print("Calculos");
785             lcd.setCursor(0,1);
786             lcd.print("keplerianos");
787             break;*/
788         default:
789             lcd.clear();
790             lcd.setCursor(0,0);
791             lcd.print("Intro para sair");
792             break;
793     }
794 }
795 }
796
797 /*-----
798                SELECCION DEL MODO DE FUNCIONAMIENTO MANUAL
799 -----*/
800 *
801 *           función manual
802 *

```



```

803 * Esta función llama a las funciones necesarias según el nivel del submenú
804 * manual
805 *
806 *
807 *
808 * entradas:
809 *     lectura hardware de botones
810 *     nivel_menu
811 *     nivel_submenu
812 *
813 * salidas:
814 *
815 *
816 * llamadas a otras funciones:
817 *     sel_submenu_manual
818 *     consigna
819 *     flechas
820 *
821 *-----*/
822 void manual()
823 {
824     while(nivel_submenu == 0 && nivel_menu == 2)
825     {
826         sel_submenu_manual();           // Selección den el submenú manual
827                                         // (movimiento manual o por consigna)
828     }
829     while(nivel_submenu == 1 && nivel_menu == 2)
830     {
831         consigna();                   // Entra en un submenú para seleccionar
832                                         // el motor que se desea colocar
833     }
834     while(nivel_submenu == 2 && nivel_menu == 2)
835     {
836         flechas();                   // Movimiento de los motores de manera
837                                         // completamente manual
838     }
839 }
840
841 /*-----
842             SELECCION DEL MODO DE FUNCIONAMIENTO MANUAL
843 -----*/
844 *
845 *             función sel_submenu_manual
846 *
847 * Esta función permite desplazarse por el submenú del menú manual (consgina o
848 * sirectamente manual)
849 *
850 *
851 * entradas:
852 *     lectura hardware de botones
853 *
854 * salidas:
855 *     nivel_menu
856 *     nivel_submenu
857 *
858 * llamadas a otras funciones:
859 *
860 *
861 *-----*/
862 void sel_submenu_manual()
863 {
864     tecla_intro=digitalRead(intro);
865     tecla_derecha=digitalRead(derecha);
866     tecla_izquierda=digitalRead(izquierda);
867     if(!tecla_derecha)
868     {
869         delay(300);
870         if(++y>2-1)
871         {
872             y=0;
873         }
874         lcd.setCursor(0,1);
875         lcd.print(submenu_manual[y]);

```

```

876     }
877     if(!tecla_izquierda)
878     {
879         delay(300);
880         if(--y<0)
881         {
882             //y=numeroMenus-1;
883             y=2-1;
884         }
885         lcd.setCursor(0,1);
886         lcd.print(submenu_manual[y]);
887     }
888     if(!tecla_intro)
889     {
890         delay(300);
891
892         t0=millis();
893         while(!tecla_intro)
894         {
895             t1=millis();
896             if((t1-t0)>1000)
897             {
898
899                 lcd.clear();
900                 lcd.setCursor(0,0);
901                 lcd.print("Menu principal");
902                 lcd.setCursor(0,1);
903                 lcd.print(Menus[x]);
904                 delay(300);
905             }
906             tecla_intro=digitalRead(intro);
907         }
908
909         t1=millis();
910
911         if((t1-t0)>1000)
912         {
913             nivel_menu=0;
914             nivel_submenu=0;
915             // Salida del menú manual y entrada en menú principal
916         }else
917         {
918             nivel_submenu=y+1;
919             switch(y)
920             {
921                 case 0:
922                     lcd.clear();
923                     lcd.setCursor(0,0);
924                     lcd.print("Modo manual");
925                     lcd.setCursor(0,1);
926                     lcd.print("Selecciona el angulo");
927                     lcd.setCursor(0,2);
928                     lcd.print(submenu_consigna[p]);
929                     //lcd2.clear();
930                     //delay(1500);
931                     break;
932                 case 1:
933                     lcd.clear();
934                     lcd.setCursor(0,0);
935                     lcd.print("Modo manual");
936                     //lcd.clear();
937                     lcd.setCursor(0,1);
938                     lcd.print("Mantener pulsado");
939                     lcd.setCursor(0,2);
940                     lcd.print("para mover");
941                     delay(1500);
942                     lcd.setCursor(0,1);
943                     lcd.print("                ");
944                     lcd.setCursor(0,2);
945                     lcd.print("                ");
946                     break;
947                 default:
948                     lcd.clear();

```

```

949         lcd.setCursor(0,0);
950         lcd.print("Intro para sair");
951         break;
952     }
953 }
954 }
955 }
956
957 /*-----
958             MOVIMIENTO MANUAL POR BOTONES
959 -----*/
960 *
961 *             función flechas
962 *
963 * Esta función permite mover los motores de manea completamente manual mientras
964 * se mantiene presionada la tecla correspondiente
965 *
966 *
967 * entradas:
968 *         lectura hardware de los botones
969 *
970 *
971 * salidas:
972 *         nivel_submenu
973 *         accionamiento sobre motores
974 *
975 * llamadas a otras funciones:
976 *         actuación sobre motores
977 *
978 *
979 *-----*/
980 void flechas ()
981 {
982     float pos_az, pos_el;
983
984     tecla_intro = digitalRead(intro);
985     tecla_derecha = digitalRead(derecha);
986     tecla_izquierda = digitalRead(izquierda);
987     tecla_arriba = digitalRead(arriba);
988     tecla_abajo = digitalRead(abajo);
989
990
991     while(!tecla_derecha)
992     {
993         t1 = millis();
994         if((t1-t0) > 250) // Tiempo de muestreo
995         {
996             t0=t1;
997             if(realimentacion == 0)
998             {
999                 // Lectura analógica
1000                 pos_az = analogRead(A0)*(360.0/1024.0); // Posición en °
1001                 pos_el = analogRead(A1)*(180.0/1024.0); // Posición en °
1002             }else if(realimentacion == 1)
1003             {
1004                 // Lectura encoders
1005                 CANpos(pos_az, pos_el);
1006             }
1007             lcd.setCursor(0,1);
1008             lcd.print("AZ: ");
1009             lcd.setCursor(4,1);
1010             lcd.print("      ");
1011             lcd.setCursor(4,1);
1012             lcd.print(pos_az);
1013             lcd.setCursor(0,2);
1014             lcd.print("EL: ");
1015             lcd.setCursor(4,2);
1016             lcd.print("      ");
1017             lcd.setCursor(4,2);
1018             lcd.print(pos_el);
1019         }
1020         tecla_derecha = digitalRead(derecha);
1021         digitalWrite(AZcw,LOW);

```

```

1022     digitalWrite(AZccw,HIGH);
1023     if(freno)
1024     {
1025         digitalWrite(AZbrk,LOW);
1026     }
1027
1028     analogWrite(AZ_PWM_pin, vmin);
1029 }
1030
1031 while(!tecla_izquierda)
1032 {
1033     t1 = millis();
1034     if((t1-t0) > 250) // Tiempo de muestreo
1035     {
1036         t0=t1;
1037         if(realimentacion == 0)
1038         {
1039             // Lectura analógica
1040             pos_az = analogRead(A0)*(360.0/1024.0); // Posición en °
1041             pos_el = analogRead(A1)*(180.0/1024.0); // Posición en °
1042         }else if(realimentacion == 1)
1043         {
1044             // Lectura encoders
1045             CANpos(pos_az, pos_el);
1046         }
1047         lcd.setCursor(0,1);
1048         lcd.print("AZ: ");
1049         lcd.setCursor(4,1);
1050         lcd.print("      ");
1051         lcd.setCursor(4,1);
1052         lcd.print(pos_az);
1053         lcd.setCursor(0,2);
1054         lcd.print("EL: ");
1055         lcd.setCursor(4,2);
1056         lcd.print("      ");
1057         lcd.setCursor(4,2);
1058         lcd.print(pos_el);
1059     }
1060     tecla_izquierda = digitalRead(izquierda);
1061     digitalWrite(AZcw,HIGH);
1062     digitalWrite(AZccw,LOW);
1063     if(freno)
1064     {
1065         digitalWrite(AZbrk,LOW);
1066     }
1067     analogWrite(AZ_PWM_pin, vmin);
1068 }
1069
1070 while(!tecla_arriba)
1071 {
1072     t1 = millis();
1073     if((t1-t0) > 250) // Tiempo de muestreo
1074     {
1075         t0=t1;
1076         if(realimentacion == 0)
1077         {
1078             // Lectura analógica
1079             pos_az = analogRead(A0)*(360.0/1024.0); // Posición en °
1080             pos_el = analogRead(A1)*(180.0/1024.0); // Posición en °
1081         }else if(realimentacion == 1)
1082         {
1083             // Lectura encoders
1084             CANpos(pos_az, pos_el);
1085         }
1086         lcd.setCursor(0,1);
1087         lcd.print("AZ: ");
1088         lcd.setCursor(4,1);
1089         lcd.print("      ");
1090         lcd.setCursor(4,1);
1091         lcd.print(pos_az);
1092         lcd.setCursor(0,2);
1093         lcd.print("EL: ");
1094         lcd.setCursor(4,2);

```

```

1095         lcd.print("          ");
1096         lcd.setCursor(4,2);
1097         lcd.print(pos_el);
1098     }
1099     tecla_arriba = digitalRead(arriba);
1100     digitalWrite(ELcw,LOW);
1101     digitalWrite(ELccw,HIGH);
1102     if(freno)
1103     {
1104         digitalWrite(ELbrk,LOW);
1105     }
1106
1107     analogWrite(EL_PWM_pin, vmin);
1108 }
1109
1110
1111 while(!tecla_abajo)
1112 {
1113     t1 = millis();
1114     if((t1-t0) > 250) // Tiempo de muestreo
1115     {
1116         t0=t1;
1117         if(realimentacion == 0)
1118         {
1119             // Lectura analógica
1120             pos_az = analogRead(A0)*(360.0/1024.0); // Posición en °
1121             pos_el = analogRead(A1)*(180.0/1024.0); // Posición en °
1122         }else if(realimentacion == 1)
1123         {
1124             // Lectura encoders
1125             CANpos(pos_az, pos_el);
1126         }
1127         lcd.setCursor(0,1);
1128         lcd.print("AZ: ");
1129         lcd.setCursor(4,1);
1130         lcd.print("          ");
1131         lcd.setCursor(4,1);
1132         lcd.print(pos_az);
1133         lcd.setCursor(0,2);
1134         lcd.print("EL: ");
1135         lcd.setCursor(4,2);
1136         lcd.print("          ");
1137         lcd.setCursor(4,2);
1138         lcd.print(pos_el);
1139     }
1140     tecla_abajo = digitalRead(abajo);
1141     digitalWrite(ELcw,HIGH);
1142     digitalWrite(ELccw,LOW);
1143     if(freno)
1144     {
1145         digitalWrite(ELbrk,LOW);
1146     }
1147
1148     analogWrite(EL_PWM_pin, vmin);
1149 }
1150
1151 analogWrite(AZ_PWM_pin, 0);
1152 analogWrite(EL_PWM_pin, 0);
1153 digitalWrite(AZcw,HIGH);
1154 digitalWrite(AZccw,HIGH);
1155 digitalWrite(AZbrk,HIGH);
1156 digitalWrite(ELcw,HIGH);
1157 digitalWrite(ELccw,HIGH);
1158 digitalWrite(ELbrk,HIGH);
1159
1160
1161 if(!tecla_intro)
1162 {
1163     delay(300);
1164     nivel_submenu=0;
1165     lcd.clear();
1166     lcd.setCursor(0,1);
1167     lcd.print(submenu_manual[y]);

```

```

1168         //lcd2.clear();
1169         lcd.setCursor(0,0);
1170         lcd.print("Menu manual");
1171     }
1172 }
1173
1174 /*-----
1175             INTRODUCCIÓN DE LA CONSIGNA MANUALMENTE
1176 -----*/
1177 *
1178 *             función consigna
1179 *
1180 * Esta función permite introducir la consigna manualmente con el teclado y
1181 * desplazar el motor a dicha consigna después de haber seleccionado
1182 * qué motor se desea mover
1183 *
1184 *
1185 *   entradas:
1186 *       nivel_submenu
1187 *       nivel_consigna
1188 *
1189 *
1190 *   salidas:
1191 *
1192 *       nivel_consigna
1193 *
1194 *   llamadas a otras funciones:
1195 *       sel_submenu_consigna
1196 *       mvto_consigna
1197 *
1198 *-----*/
1199 void consigna ()
1200 {
1201     while(nivel_consigna == 0 && nivel_submenu == 1)
1202     {
1203         sel_submenu_consigna ();
1204     }
1205
1206     // nivel_consigna = 1 -> AZIMUT
1207     // nivel_consigna = 2 -> ELEVACION
1208     while((nivel_consigna == 1 || nivel_consigna == 2) && nivel_submenu == 1)
1209     {
1210         mvto_consigna ();
1211     }
1212 }
1213
1214 /*-----
1215 -----
1216 -----
1217 -----
1218 *
1219 *             función mvto_consigna
1220 *
1221 * Esta función
1222 *
1223 *
1224 *   entradas:
1225 *       nivel_submenu
1226 *       nivel_consigna
1227 *       realimentación
1228 *
1229 *   salidas:
1230 *       subida_el
1231 *       bajada_el
1232 *       subida_az
1233 *       bajada_az
1234 *       nivel_consigna
1235 *
1236 *   llamadas a otras funciones:
1237 *
1238 *       CANpos
1239 *       desplazamiento
1240 *

```

```

1241  *-----*/
1242  void mvto_consigna()
1243  {
1244      float pos_el, pos_az;
1245      int PWM;
1246
1247      lcd.clear();
1248      lcd.setCursor(0,1);
1249      lcd.print("CONSIGNA:");
1250
1251      // nivel_consigna = 1 -> AZIMUT
1252      // nivel_consigna = 2 -> ELEVACION
1253
1254      if(nivel_consigna == 1)
1255      {
1256          lcd.clear();
1257          lcd.setCursor(0,0);
1258          lcd.print("AZIMUT");
1259          float angulo = teclado();
1260          tecla_intro = digitalRead(intro);
1261          if(!tecla_intro)
1262          {
1263              delay(300);
1264              nivel_consigna = 0;
1265              lcd.clear();
1266              lcd.setCursor(0,0);
1267              lcd.print("Modo manual");
1268              lcd.setCursor(0,1);
1269              lcd.print("Selecciona el angulo");
1270              lcd.setCursor(0,2);
1271              lcd.print(submenu_consigna[p]);
1272          }else if (angulo > 360.0)
1273          {
1274              lcd.clear();
1275              lcd.setCursor(0,0);
1276              lcd.print("Angulo > 360");
1277              delay(1000);
1278              lcd.clear();
1279              lcd.setCursor(0,0);
1280              lcd.print("Modo manual");
1281              lcd.setCursor(0,1);
1282              lcd.print("Consigna: ");
1283              lcd.setCursor(0,2);
1284              lcd.print("Azimut: ");
1285          }else
1286          {
1287
1288              if(realimentacion == 0)
1289              {
1290                  pos_az = analogRead(A0)*(360.0/1024.0); // Posición en °
1291              }else if(realimentacion == 1)
1292              {
1293                  CANpos(pos_az, pos_el);
1294              }
1295              lcd.clear();
1296              lcd.setCursor(0,0);
1297              lcd.print("Modo manual");
1298              lcd.setCursor(0,1);
1299              lcd.print("Consigna: ");
1300              lcd.setCursor(0,2);
1301              lcd.print("Azimut: ");
1302
1303              // Si hay un error mayor de 1% se mueven los motores
1304              while((abs(angulo - pos_az)*100.0/360.0 > 1) && nivel_consigna == 1)
1305              {
1306                  t1 = millis();
1307                  if((t1-t0) > 250)
1308                  {
1309                      t0=t1;
1310                      if(realimentacion == 0)
1311                      {
1312                          pos_az = analogRead(A0)*(360.0/1024.0);
1313                          // Posición en °

```

```

1314         }else if(realimentacion == 1)
1315         {
1316             CANpos(pos_az, pos_el);
1317         }
1318
1319         desplazamiento(angulo, pos_az, subida_az, bajada_az,
1320             AZ_PWM_pin, AZcw, AZccw, AZbrk, 360.0, PWM);
1321
1322
1323         lcd.setCursor(10,1);
1324         lcd.print("          ");
1325         lcd.setCursor(10,1);
1326         lcd.print(angulo);
1327         lcd.setCursor(8,2);
1328         lcd.print("          ");
1329         lcd.setCursor(8,2);
1330         lcd.print(pos_az);
1331     }
1332
1333     tecla_intro = digitalRead(intro);
1334     if(!tecla_intro)
1335     {
1336         lcd.clear();
1337         lcd.setCursor(0,0);
1338         lcd.print("Modo manual");
1339         lcd.setCursor(0,1);
1340         lcd.print("Frenando motor AZ");
1341
1342         while(PWM != 0)
1343         {
1344             t1 = millis();
1345             if((t1-t0) > 250)
1346             {
1347                 t0 = t1;
1348                 PWM-= ks*255/100;
1349
1350                 if(PWM <= 0)
1351                     PWM = 0;
1352
1353                 analogWrite(AZ_PWM_pin,PWM);
1354                 // Frenada del motor antes de salir
1355
1356             }
1357         }
1358         // Freno AZ activado
1359         digitalWrite(AZcw,HIGH);
1360         digitalWrite(AZccw,HIGH);
1361         digitalWrite(AZbrk,HIGH); // NC
1362         // Reset de variables de control de velocidad
1363         subida_az = bajada_az = 0;
1364         delay(300);
1365         nivel_consigna = 0;
1366         lcd.clear();
1367         lcd.setCursor(0,0);
1368         lcd.print("Modo manual");
1369         lcd.setCursor(0,1);
1370         lcd.print("Selecciona el angulo");
1371         lcd.setCursor(0,2);
1372         lcd.print(submenu_consigna[p]);
1373     }
1374 }
1375     subida_az = bajada_az = 0; //Reseteo porque son globales
1376 }
1377 }
1378 if(nivel_consigna == 2)
1379 {
1380     lcd.clear();
1381     lcd.setCursor(0,0);
1382     lcd.print("ELEVACION");
1383     float angulo = teclado();
1384     tecla_intro = digitalRead(intro);
1385     if(!tecla_intro)
1386     {

```



```

1387     delay(300);
1388     nivel_consigna = 0;
1389     lcd.clear();
1390     lcd.setCursor(0,0);
1391     lcd.print("Modo manual");
1392     lcd.setCursor(0,1);
1393     lcd.print("Selecciona el angulo");
1394     lcd.setCursor(0,2);
1395     lcd.print(submenu_consigna[p]);
1396 }else if (angulo > 180.0)
1397 {
1398     lcd.clear();
1399     lcd.setCursor(0,0);
1400     lcd.print("Angulo > 180");
1401     delay(1000);
1402     lcd.clear();
1403     lcd.setCursor(0,0);
1404     lcd.print("Modo manual");
1405     lcd.setCursor(0,1);
1406     lcd.print("Consigna: ");
1407     lcd.setCursor(0,2);
1408     lcd.print("Elevacion: ");
1409 }else
1410 {
1411
1412     if(realimentacion == 0)
1413     {
1414         pos_el = analogRead(A1)*(180.0/1024.0); // Posición en °
1415     }else if(realimentacion == 1)
1416     {
1417         CANpos(pos_az, pos_el);
1418     }
1419
1420     lcd.clear();
1421     lcd.setCursor(0,0);
1422     lcd.print("Modo manual");
1423     lcd.setCursor(0,1);
1424     lcd.print("Consigna: ");
1425     lcd.setCursor(0,2);
1426     lcd.print("Elevacion: ");
1427
1428     // Si hay un error mayor de 1% se mueven los motores
1429     while((abs(angulo - pos_el)*100/180 > 1) && nivel_consigna == 2)
1430     {
1431         t1 = millis();
1432         if((t1-t0) > 250)
1433         {
1434             t0=t1;
1435             if(realimentacion == 0)
1436             {
1437                 pos_el = analogRead(A1)*(180.0/1024.0);
1438                 // Posición en °
1439             }else if(realimentacion == 1)
1440             {
1441                 CANpos(pos_az, pos_el);
1442             }
1443
1444             desplazamiento(angulo, pos_el, subida_el, bajada_el,
1445                 EL_PWM_pin, ELcw, ELccw, ELbrk, 180.0, PWM);
1446
1447             lcd.setCursor(10,1);
1448             lcd.print(" ");
1449             lcd.setCursor(10,1);
1450             lcd.print(angulo);
1451             lcd.setCursor(11,2);
1452             lcd.print(" ");
1453             lcd.setCursor(11,2);
1454             lcd.print(pos_el);
1455         }
1456
1457         tecla_intro = digitalRead(intro);
1458         if(!tecla_intro)
1459         {

```

```

1460         lcd.clear();
1461         lcd.setCursor(0,0);
1462         lcd.print("Modo manual");
1463         lcd.setCursor(0,1);
1464         lcd.print("Frenando motor EL");
1465         while(PWM != 0)
1466         {
1467             t1 = millis();
1468             if((t1-t0) > 250)
1469             {
1470                 t0 = t1;
1471                 PWM-= ks*255/100;
1472
1473                 if(PWM <= 0)
1474                     PWM = 0;
1475
1476                 analogWrite(EL_PWM_pin,PWM);
1477                 // Frenada del motor antes de salir
1478
1479             }
1480         }
1481         // Freno AZ activado
1482         digitalWrite(ELcw,HIGH);
1483         digitalWrite(ELccw,HIGH);
1484         digitalWrite(ELbrk,HIGH); // NC
1485         // Reseteo de variables de control de velocidad
1486
1487         subida_el = bajada_el = 0;
1488         delay(300);
1489         nivel_consigna = 0;
1490         lcd.clear();
1491         lcd.setCursor(0,0);
1492         lcd.print("Modo manual");
1493         lcd.setCursor(0,1);
1494         lcd.print("Selecciona el angulo");
1495         lcd.setCursor(0,2);
1496         lcd.print(submenu_consigna[p]);
1497     }
1498 }
1499     subida_el = bajada_el = 0; //Reset porque son globales
1500 }
1501 }
1502 }
1503
1504 /*-----
1505             SELECCIÓN DEL ÁNGULO PARA CONSIGNA
1506 -----*/
1507 *
1508 *             función sel_submenu_consigna
1509 *
1510 * Esta función permite esplazarnos por el menú en donde seleccionamos el angulo
1511 * azimut o elevación (para introducir posteriormente la consigna manualmente con
1512 * el teclado)
1513 *
1514 *
1515 *   entradas:
1516 *       lectura hardware de los botones
1517 *
1518 *   salidas:
1519 *       nivel_submenu
1520 *       nivel_consigna
1521 *
1522 *   llamadas a otras funciones:
1523 *
1524 *
1525 *-----*/
1526 void sel_submenu_consigna()
1527 {
1528     tecla_intro = digitalRead(intro);
1529     tecla_derecha = digitalRead(derecha);
1530     tecla_izquierda = digitalRead(izquierda);
1531     if(!tecla_derecha)
1532     {

```

```

1533     delay(300);
1534     if(++p > 2-1)
1535     {
1536         p = 0;
1537     }
1538     lcd.setCursor(0,2);
1539     lcd.print(submenu_consigna[p]);
1540 }
1541 if(!tecla_izquierda)
1542 {
1543     delay(300);
1544     if(--p<0)
1545     {
1546         //y=numeroMenus-1;
1547         p = 2-1;
1548     }
1549     lcd.setCursor(0,2);
1550     lcd.print(submenu_consigna[p]);
1551 }
1552 if(!tecla_intro)
1553 {
1554     delay(300);
1555
1556     t0 = millis();
1557     while(!tecla_intro)
1558     {
1559         t1 = millis();
1560         if((t1-t0)>1000)
1561         {
1562             nivel_submenu = 0;
1563             nivel_consigna = 0;
1564             lcd.clear();
1565             lcd.setCursor(0,0);
1566             lcd.print("Menu manual");
1567             lcd.setCursor(0,1);
1568             lcd.print(submenu_manual[x]);
1569             delay(300);
1570         }
1571         tecla_intro = digitalRead(intro);
1572     }
1573
1574     t1 = millis();
1575
1576     if((t1-t0)>1000)
1577     {
1578         nivel_consigna = 0;
1579         nivel_submenu = 0;
1580         // Salida del menu de consigna y regreso al submenu manual
1581     }else
1582     {
1583         nivel_consigna = p+1;
1584         // porque el indice empieza en cero pero los menus son del 1 al 5
1585         switch(p)
1586         {
1587             case 0:
1588                 lcd.clear();
1589                 lcd.setCursor(0,0);
1590                 lcd.print("Modo manual");
1591                 lcd.setCursor(0,1);
1592                 lcd.print("CONSIGNA AZIMUT");
1593                 break;
1594             case 1:
1595                 lcd.clear();
1596                 lcd.setCursor(0,0);
1597                 lcd.print("Modo manual");
1598                 lcd.setCursor(0,1);
1599                 lcd.print("CONSIGNA ELEVACION");
1600                 break;
1601             default:
1602                 lcd.clear();
1603                 lcd.setCursor(0,0);
1604                 lcd.print("Intro para sair");
1605                 break;

```

```

1606     }
1607 }
1608 }
1609 }
1610
1611
1612 /*-----
1613                               Calibracion
1614 -----*/
1615 *
1616 *                               función calibracion
1617 *
1618 *
1619 *  entradas:
1620 *      nivel_menu
1621 *
1622 *  salidas:
1623 *
1624 *  llamadas a otras funciones:
1625 *      calibrar
1626 *
1627 *-----*/
1628
1629 void calibracion()
1630 {
1631     calibrar();
1632
1633     nivel_menu=0;
1634     lcd.clear();
1635     lcd.setCursor(0,1);
1636     lcd.print(Menu[x]);
1637     lcd.setCursor(0,0);
1638     lcd.print("Menu principal");
1639 }
1640
1641 /*-----
1642                               CALIBRACION DE OFFSET Y GANANCIA DEL POTENCIOMETRO ANALOGICO
1643 -----*/
1644 *
1645 *                               función calibracion
1646 *
1647 *  Esta función permite ajustar el offset y ganancia de ambos motores
1648 *
1649 *
1650 *  entradas:
1651 *      lectura hardware de botones
1652 *      lectura analógica de offset y ganancia
1653 *
1654 *  salidas:
1655 *      actuación sobre motores
1656 *
1657 *
1658 *  llamadas a otras funciones:
1659 *
1660 *
1661 *-----*/
1662 void calibrar()
1663 {
1664     float offset, ganancia;
1665
1666     //                               AJUSTE AZIMUT
1667     //-----
1668     lcd.clear();
1669     lcd.setCursor(0,0);
1670     lcd.print("Calibracion");
1671     lcd.setCursor(0,1);
1672     lcd.print("AZIMUT");
1673     lcd.setCursor(0,2);
1674     lcd.print("Ajuste el offset 0V");
1675     lcd.setCursor(0,3);
1676     lcd.print("Offset: ");
1677
1678     while (digitalRead(intro)) //Mientras no se pulse la tecla central

```

```

1679     {
1680
1681         tecla_derecha = digitalRead(derecha);
1682         tecla_izquierda = digitalRead(izquierda);
1683
1684         while(!tecla_derecha)
1685         {
1686
1687             tecla_derecha = digitalRead(derecha);
1688             digitalWrite(AZcw,LOW);
1689             digitalWrite(AZccw,HIGH);
1690             if(freno)
1691             {
1692                 digitalWrite(AZbrk,LOW);
1693             }
1694
1695             analogWrite(AZ_PWM_pin, vmin);
1696         }
1697
1698         while(!tecla_izquierda)
1699         {
1700
1701             tecla_izquierda = digitalRead(izquierda);
1702             digitalWrite(AZcw,HIGH);
1703             digitalWrite(AZccw,LOW);
1704             if(freno)
1705             {
1706                 digitalWrite(AZbrk,LOW);
1707             }
1708             analogWrite(AZ_PWM_pin, vmin);
1709         }
1710
1711         analogWrite(AZ_PWM_pin, 0);
1712         analogWrite(EL_PWM_pin, 0);
1713         digitalWrite(AZcw,HIGH);
1714         digitalWrite(AZccw,HIGH);
1715         digitalWrite(AZbrk,HIGH);
1716         digitalWrite(ELcw,HIGH);
1717         digitalWrite(ELccw,HIGH);
1718         digitalWrite(ELbrk,HIGH);
1719
1720         offset = analogRead(A0) * (5.0/1023.0);;
1721         t1 = millis();
1722         if((t1-t0)>250)
1723         {
1724             t0 = t1;
1725             lcd.setCursor(8,3);
1726             lcd.print(offset);
1727         }
1728     }
1729     delay(300);
1730
1731     lcd.clear();
1732     lcd.setCursor(0,0);
1733     lcd.print("Calibracion");
1734     lcd.setCursor(0,1);
1735     lcd.print("AZIMUT");
1736     lcd.setCursor(0,2);
1737     lcd.print("Ajuste ganancia 5V");
1738     lcd.setCursor(0,3);
1739     lcd.print("Ganancia: ");
1740
1741     while (digitalRead(intro)) //Mientras no se pulse la tecla central
1742     {
1743         tecla_derecha = digitalRead(derecha);
1744         tecla_izquierda = digitalRead(izquierda);
1745
1746         while(!tecla_derecha)
1747         {
1748
1749             tecla_derecha = digitalRead(derecha);
1750             digitalWrite(AZcw,LOW);
1751             digitalWrite(AZccw,HIGH);

```

```

1752         if(freno)
1753         {
1754             digitalWrite(AZbrk,LOW);
1755         }
1756
1757         analogWrite(AZ_PWM_pin, vmin);
1758     }
1759
1760     while(!tecla_izquierda)
1761     {
1762
1763         tecla_izquierda = digitalRead(izquierda);
1764         digitalWrite(AZcw,HIGH);
1765         digitalWrite(AZccw,LOW);
1766         if(freno)
1767         {
1768             digitalWrite(AZbrk,LOW);
1769         }
1770         analogWrite(AZ_PWM_pin, vmin);
1771     }
1772
1773     analogWrite(AZ_PWM_pin, 0);
1774     analogWrite(EL_PWM_pin, 0);
1775     digitalWrite(AZcw,HIGH);
1776     digitalWrite(AZccw,HIGH);
1777     digitalWrite(AZbrk,HIGH);
1778     digitalWrite(ELcw,HIGH);
1779     digitalWrite(ELccw,HIGH);
1780     digitalWrite(ELbrk,HIGH);
1781
1782     ganancia = analogRead(A0)*(5.0/1023.0);;
1783     t1 = millis();
1784     if((t1-t0)>250)
1785     {
1786         t0=t1;
1787         lcd.setCursor(10,3);
1788         lcd.print(ganancia);
1789     }
1790 }
1791 delay(300);
1792
1793
1794 //----- AJUSTE ELEVACIÓN
1795 //-----
1796 lcd.clear();
1797 lcd.setCursor(0,0);
1798 lcd.print("Calibracion");
1799 lcd.setCursor(0,1);
1800 lcd.print("ELEVACION");
1801 lcd.setCursor(0,2);
1802 lcd.print("Ajuste offset 0V");
1803 lcd.setCursor(0,3);
1804 lcd.print("Offset: ");
1805
1806 while (digitalRead(intro)) //Mientras no se pulse la tecla central
1807 {
1808     tecla_arriba = digitalRead(arriba);
1809     tecla_abajo = digitalRead(abajo);
1810
1811     while(!tecla_arriba)
1812     {
1813
1814         tecla_arriba = digitalRead(arriba);
1815         digitalWrite(ELcw,LOW);
1816         digitalWrite(ELccw,HIGH);
1817         if(freno)
1818         {
1819             digitalWrite(ELbrk,LOW);
1820         }
1821
1822         analogWrite(EL_PWM_pin, vmin);
1823     }
1824

```

```

1825     while(!tecla_abajo)
1826     {
1827
1828         tecla_abajo = digitalRead(abajo);
1829         digitalWrite(ELcw,HIGH);
1830         digitalWrite(ELccw,LOW);
1831         if(freno)
1832         {
1833             digitalWrite(ELbrk,LOW);
1834         }
1835         analogWrite(EL_PWM_pin, vmin);
1836     }
1837
1838     analogWrite(AZ_PWM_pin, 0);
1839     analogWrite(EL_PWM_pin, 0);
1840     digitalWrite(AZcw,HIGH);
1841     digitalWrite(AZccw,HIGH);
1842     digitalWrite(AZbrk,HIGH);
1843     digitalWrite(ELcw,HIGH);
1844     digitalWrite(ELccw,HIGH);
1845     digitalWrite(ELbrk,HIGH);
1846
1847     offset = analogRead(A1)*(5.0/1023.0);;
1848     t1 = millis();
1849     if((t1-t0)>250)
1850     {
1851         t0=t1;
1852         lcd.setCursor(8,3);
1853         lcd.print(offset);
1854     }
1855 }
1856 delay(300);
1857
1858 lcd.clear();
1859 lcd.setCursor(0,0);
1860 lcd.print("Calibracion");
1861 lcd.setCursor(0,1);
1862 lcd.print("ELEVACION");
1863 lcd.setCursor(0,2);
1864 lcd.print("Ajuste ganancia 5V");
1865 lcd.setCursor(0,3);
1866 lcd.print("Ganancia: ");
1867
1868 while (digitalRead(intro)) //Mientras no se pulse la tecla central
1869 {
1870     tecla_arriba = digitalRead(arriba);
1871     tecla_abajo = digitalRead(abajo);
1872
1873     while(!tecla_arriba)
1874     {
1875
1876         tecla_arriba = digitalRead(arriba);
1877         digitalWrite(ELcw,LOW);
1878         digitalWrite(ELccw,HIGH);
1879         if(freno)
1880         {
1881             digitalWrite(ELbrk,LOW);
1882         }
1883
1884         analogWrite(EL_PWM_pin, vmin);
1885     }
1886
1887     while(!tecla_abajo)
1888     {
1889
1890         tecla_abajo = digitalRead(abajo);
1891         digitalWrite(ELcw,HIGH);
1892         digitalWrite(ELccw,LOW);
1893         if(freno)
1894         {
1895             digitalWrite(ELbrk,LOW);
1896         }
1897         analogWrite(EL_PWM_pin, vmin);

```

```

1898     }
1899
1900     analogWrite(AZ_PWM_pin, 0);
1901     analogWrite(EL_PWM_pin, 0);
1902     digitalWrite(AZcw,HIGH);
1903     digitalWrite(AZccw,HIGH);
1904     digitalWrite(AZbrk,HIGH);
1905     digitalWrite(ELcw,HIGH);
1906     digitalWrite(ELccw,HIGH);
1907     digitalWrite(ELbrk,HIGH);
1908
1909     ganancia=analogRead(A1)*(5.0/1023.0);;
1910     t1 = millis();
1911     if((t1-t0)>250)
1912     {
1913         t0 = t1;
1914         lcd.setCursor(10,3);
1915         lcd.print(ganancia);
1916     }
1917 }
1918 delay(300);
1919 }
1920
1921 /*-----
1922                          AUTOMÁTICO
1923 -----
1924 *
1925 *                          función automatico
1926 *
1927 * Esta función gestiona el funcionamiento automático del sistema. En función de
1928 * la consigna establecida por el software externo o el cálculo autónomo, se
1929 * calcula una señal PWM para cada motor de la antena en función de la posición
1930 * actual, la posición de consigna y la velocidad
1931 *
1932 *
1933 *  entradas:
1934 *      ang_az
1935 *      ang_el
1936 *      nivel_menu
1937 *      calc --> indica si se utiliza software autónomo o externo
1938 *              0 = externo
1939 *              1 = autónomo
1940 *      realimentación --> indica el tipo de realimentación
1941 *              0 = potenciómetros
1942 *              1 = encoders
1943 *      init_apunt_auto --> explicado en loop
1944 *
1945 *  salidas:
1946 *      ang_az --> consigna az
1947 *      ang_el --> consigna el
1948 *      subida --> control velocidad
1949 *      bajada --> control velocidad
1950 *      az_old --> consigna az anterior
1951 *      pos_az_old --> posición az anterior
1952 *      el_old --> consigna el anterior
1953 *      pos_el_old --> posición el anterior
1954 *      PWM --> PWM
1955 *      nivel_menu -->
1956 *
1957 *  llamadas a otras funciones:
1958 *      deco_easycomm
1959 *      desplazamiento
1960 *      cadena2float
1961 *      leeGPS
1962 *      calc_kepler
1963 *      CANpos
1964 *
1965 *-----*/
1966 void automatico
1967 (bool &init_apunt_auto, int &PWM_az, int &PWM_el,
1968 float &ang_az, float &ang_el, float &az_old, float &el_old, float &pos_az_old,
1969 float &pos_el_old)
1970 {

```



```

1971 float pos_az, pos_el;
1972
1973 bool cambio_sentido = 0;
1974
1975 // Variables de lectura GPS para cálculos keplerianos
1976
1977 int anho, mes, dia, horas, minut, lat_grad, long_grad;
1978 float lat_min, long_min;
1979 double seg;
1980
1981
1982 if(debug_auto)
1983 {
1984     pinMode(A3, INPUT);
1985
1986     ang_az = analogRead(A3)*(360.0/1024.0);
1987     ang_el = analogRead(A3)*(180.0/1024.0);
1988 }
1989 //-----
1990
1991 // Lectura serie de la posición del satélite
1992 if(calc == 1)
1993 {
1994     if (Serial.available())
1995     {
1996
1997         if (deco_easycomm(Serial.read()))
1998         {
1999             char i;
2000
2001             az_old = ang_az,
2002             el_old = ang_el;
2003
2004
2005             ang_az = cadena2float(azimut);
2006             ang_el = cadena2float(elevacion);
2007
2008             for (i=2;i<8;i++) azimut[i]='0';
2009             for (i=2;i<8;i++) elevacion[i]='0';
2010
2011             if(!init_apunt_auto)
2012             {
2013                 init_apunt_auto = 1;
2014                 // se recibe la primera consigna y se desactivan los frenos
2015                 // Freno AZ desactivado
2016                 digitalWrite(AZcw,HIGH);
2017                 digitalWrite(AZccw,HIGH);
2018                 if(freno)
2019                 {
2020                     digitalWrite(AZbrk,LOW); // NC
2021                 }
2022
2023                 // Freno EL desactivado
2024                 digitalWrite(ELcw,HIGH);
2025                 digitalWrite(ELccw,HIGH);
2026                 if(freno)
2027                 {
2028                     digitalWrite(ELbrk,LOW); // NC
2029                 }
2030                 // Al activar el rele freno (LOW), se desactiva el freno
2031             }
2032         }
2033     }
2034 }else
2035 {
2036
2037     // Cálculo autónomo (keplerianos)
2038
2039     if(leeGPS(anho, mes, dia, horas, minut, seg, lat_grad, long_grad,
2040             lat_min, long_min))
2041     {
2042         // La función leeGPS devuelve '1' sólo cuando acaba de actualizarse
2043         // En ese momento calculo los keplerianos, mientras tanto no

```

```

2044     az_old = ang_az,
2045     el_old = ang_el;
2046
2047     // Calculos keplerianos
2048
2049     calc_kepler
2050     ( anho, mes, dia, horas, minut, seg,
2051       lat_grad, long_grad, lat_min, long_min,
2052       ang_az, ang_el);
2053
2054     if(!init_apunt_auto)
2055     {
2056         init_apunt_auto = 1;           // se recibe la primera consigna
2057     }
2058
2059     }
2060 }
2061
2062 if(ang_az < 0)
2063     ang_az = 0;
2064 if(ang_el < 0)
2065     ang_el = 0;
2066
2067 if(ang_az > 360)
2068     ang_az = 360;
2069 if(ang_el > 180)
2070     ang_el = 180;
2071
2072 t1 = millis();
2073 if((t1-t0) > 250)           // Tiempo de muestreo
2074 {
2075     t0=t1;
2076
2077
2078     //-----
2079     if(debug_auto)
2080     {
2081         // Potenciómetro para simular consigna
2082         ang_az = analogRead(A3)*(360.0/1024.0);
2083         ang_el = analogRead(A3)*(180.0/1024.0);
2084     }
2085
2086     //----- lectura de posición
2087
2088
2089     if(realimentacion == 0)
2090     {
2091         // Lectura analógica
2092         pos_az = analogRead(A0)*(360.0/1024.0);           // Posición en °
2093         pos_el = analogRead(A1)*(180.0/1024.0);           // Posición en °
2094     }else if(realimentacion == 1)
2095     {
2096         // Lectura encoders
2097         CANpos(pos_az, pos_el);
2098     }
2099
2100
2101     // Sólo se calcula el PWM si no se detecta cambio de sentido
2102     // Si la posición se encuentra entre la consigna nueva y la vieja hay un
2103     // cambio de sentido
2104     // Si la consigna se encuentra entre la posición actual y la vieja
2105     // también hay un cambio de sentido
2106
2107
2108     //-----
2109     //-----detección de cambio de sentido-----
2110     //-----
2111     //Cambio de sentido AZ (cambio de consigna || cambio de posición)
2112     if(((ang_az - pos_az)*(az_old - pos_az) < 0) || ((pos_az - ang_az)*
2113        (pos_az_old - ang_az) < 0))
2114     {
2115         //Si el error es > 1%
2116         if(abs(ang_az - pos_az)*100.0/360.0 > 1)

```

```

2117     {
2118         cambio_sentido = 1;
2119     }
2120 }else if(((ang_el - pos_el)*(el_old - pos_el) < 0) || ((pos_el - ang_el)
2121 * (pos_el_old - ang_el) < 0))
2122 //Cambio de sentido EL (cambio de consigna || cambio de posición)
2123 {
2124     //Si el error es > 1%
2125     if(abs(ang_el - pos_el)*100.0/180.0 > 1)
2126     {
2127         cambio_sentido = 1;
2128     }
2129 }else
2130 {
2131     cambio_sentido = 0;
2132 }
2133
2134
2135 // Se calcula el PWM si no se detecta cambio de sentido y si se ha
2136 // obtenido la primera consigna
2137 if(cambio_sentido == 0 && init_apunt_auto == 1)
2138 {
2139
2140     lcd.setCursor(0,0);
2141     lcd.print("Modo automatico");
2142     // Consigna
2143     lcd.setCursor(0,1);
2144     lcd.print("CONSIGNA");
2145     lcd.setCursor(8,1);           lcd.print(" ");
2146     lcd.setCursor(0,2);
2147     lcd.print("AZ:");
2148     lcd.setCursor(0,3);
2149     lcd.print("EL:");
2150
2151     lcd.setCursor(3,2);           lcd.print(" ");
2152     lcd.setCursor(3,2);           lcd.print(ang_az);
2153     lcd.setCursor(3,3);           lcd.print(" ");
2154     lcd.setCursor(3,3);           lcd.print(ang_el);
2155     // Posición
2156     lcd.setCursor(11,1);
2157     lcd.print("POSICION");
2158     lcd.setCursor(11,2);
2159     lcd.print("AZ:");
2160     lcd.setCursor(19,2);
2161     lcd.print(" ");
2162
2163     lcd.setCursor(11,3);
2164     lcd.print("EL:");
2165
2166     lcd.setCursor(14,2);           lcd.print(" ");
2167     lcd.setCursor(14,2);           lcd.print(pos_az);
2168     lcd.setCursor(14,3);           lcd.print(" ");
2169     lcd.setCursor(14,3);           lcd.print(pos_el);
2170
2171     desplazamiento( ang_az, pos_az, subida_az, bajada_az,
2172 AZ_PWM_pin, AZcw, AZccw, AZbrk, 360.0, PWM_az);
2173     desplazamiento( ang_el, pos_el, subida_el, bajada_el,
2174 EL_PWM_pin, ELcw, ELccw, ELbrk, 180.0, PWM_el);
2175 }else if(cambio_sentido == 1)
2176 {
2177
2178     if(debug_auto)
2179     {
2180         Serial.println("Cambio de sentido = 1");
2181         Serial.print("az_old= ");
2182         Serial.println(ang_old);
2183         Serial.print("el_old= ");
2184         Serial.println(el_old);
2185         Serial.print("-----");
2186     }
2187 }
2188
2189 if(init_apunt_auto == 0)

```

```

2190     {
2191         lcd.setCursor(0,1);
2192         lcd.print("Esperando posicion  ");
2193         lcd.setCursor(0,2);
2194         lcd.print("de apuntamiento  ");
2195         lcd.setCursor(0,3);
2196         lcd.print("                ");
2197         lcd.setCursor(0,4);
2198         lcd.print("                ");
2199     }
2200
2201     // Guardado posición actual de los motores para que en el siguiente
2202     // muestreo sean la posición anterior
2203     pos_az_old = pos_az;
2204     pos_el_old = pos_el;
2205 }
2206
2207 // Letura de la tecla al final para no ejecutar el resto del código después
2208 // de pulsar
2209 tecla_intro = digitalRead(intro);
2210 if(!tecla_intro || cambio_sentido == 1)
2211 {
2212     if(init_apunt_auto == 1)
2213     {
2214
2215         lcd.clear();
2216         lcd.setCursor(0,0);
2217         lcd.print("Modo automatico");
2218         lcd.setCursor(0,1);
2219         lcd.print("Frenando motores");
2220         if(cambio_sentido)
2221             // Si el motivo de parar motores fue cambio de sentido
2222             {
2223                 // Al detectar un cambio de sentido, se resetea la variable
2224                 // init_apunt_auto para que solamente escriba en la LCD la
2225                 // primera iteración mientras se frenan los motores, evitando
2226                 // el parpadeo de la LCD
2227                 cambio_sentido = 0;
2228                 init_apunt_auto = 0;
2229                 lcd.setCursor(0,2);
2230                 lcd.print("Cambio de sentido");
2231                 lcd.setCursor(0,3);
2232                 lcd.print("detectado");
2233             }
2234     }
2235
2236     // No hace falta comprobar hacia que lado estaban girando (cw/ccw)
2237     // En la funcion desplazamiento() quedaron activados los relés adecuados
2238     while(PWM_az != 0 || PWM_el != 0)
2239     {
2240         t1 = millis();
2241         if((t1-t0) > 250)
2242         {
2243             t0 = t1;
2244             PWM_az -= ks*255/100;
2245             PWM_el -= ks*255/100;
2246
2247             if(PWM_az <= 0)
2248             {
2249                 PWM_az = 0;
2250                 // Freno AZ activado
2251                 digitalWrite(AZcw,HIGH);
2252                 digitalWrite(AZccw,HIGH);
2253                 digitalWrite(AZbrk,HIGH); // NC
2254             }
2255
2256             if(PWM_el <= 0)
2257             {
2258                 PWM_el = 0;
2259                 // Freno EL activado
2260                 digitalWrite(ELcw,HIGH);
2261                 digitalWrite(ELccw,HIGH);
2262                 digitalWrite(ELbrk,HIGH); // NC

```

```

2263     }
2264
2265
2266         analogWrite(AZ_PWM_pin,PWM_az);
2267         // Frenada del motor antes de salir
2268         analogWrite(EL_PWM_pin,PWM_el);
2269         // Frenada del motor antes de salir
2270
2271     }
2272 }
2273 subida_az = bajada_az = subida_el = bajada_el = 0;
2274 analogWrite(AZ_PWM_pin,0);
2275     // Frenada del motor antes de salir
2276 analogWrite(EL_PWM_pin,0);
2277     // Frenada del motor antes de salir
2278
2279 if(!tecla_intro) // Si el motivo de parar motores es pulsación intro
2280 {
2281     nivel_menu = 0;
2282     init_apunt_auto = 0;
2283     lcd.clear();
2284     lcd.setCursor(0,1);
2285     lcd.print(Menus[x]);
2286     lcd.setCursor(0,0);
2287     lcd.print("Menu principal");
2288     delay(300);
2289
2290 }
2291 }
2292
2293 }
2294
2295 /*-----
2296                          CONTROL DE VELOCIDAD
2297 -----*/
2298 *
2299 *                               función desplazamiento
2300 *
2301 * Esta función realiza el control de velocidad y posición del motor
2302 *
2303 *
2304 *  entradas:
2305 *      consigna
2306 *      pos --> posición actual del motor
2307 *      subida --> velocidad de la rampa aceleración de la muestra anterior
2308 *      bajada --> velocidad de la rampa deceleración de la muestra anterior
2309 *      PWMpin --> pin PWM para el motor
2310 *      cw --> pin de sentido horario
2311 *      ccw --> pin de sentido antihorario
2312 *      brk --> pin de freno
2313 *      fondo_escala --> 360° en AZ y 180° en EL
2314 *
2315 *  salidas:
2316 *      subida --> velocidad de la rampa aceleración actualizada
2317 *      bajada --> velocidad de la rampa deceleración actualizada
2318 *      PWM --> velocidad PWM calculada
2319 *
2320 *  llamadas a otras funciones:
2321 *
2322 *
2323 *-----*/
2324 void desplazamiento(float consigna, float pos, float &subida, float &bajada,
2325 const int PWMpin, const int cw, const int ccw, const int brk,
2326 float fondo_escala, int &PWM )
2327 {
2328     float error;
2329     float bajada_old;
2330     //float PWM;
2331
2332     bajada_old = bajada;
2333 //                               Cálculos
2334 //-----

```

```

2335     error = abs(consigna - pos)*100.0/fondo_escalas; // Error en %
2336
2337     //     AZIMUT
2338     //-----
2339
2340     if(error > 1) // Margen de frenada (%)
2341     {
2342         //Aceleración y frenada
2343         // AZIMUT
2344         subida += ks;           // Rampa de aceleración constante
2345         if(subida > 100)
2346             subida = 100;
2347         bajada = kb*error; // Rampa deceleración (regulador proporcional)
2348         // Control de pendiente de la deceleración
2349
2350         //-----
2351         if(debug_dsplz)
2352         {
2353             Serial.println("bajada inicial:");
2354             Serial.println(bajada);
2355             Serial.print("bajada_old= ");
2356             Serial.println(bajada_old);
2357
2358         }
2359         //-----
2360
2361         if(bajada_old - bajada > ks)
2362         {
2363             bajada = bajada_old - ks;
2364             if(debug_dsplz)
2365                 Serial.println("Frenando despacio");
2366         }
2367
2368         if(debug_dsplz)
2369         {
2370             Serial.println("bajada acondicionada:");
2371             Serial.println(bajada);
2372
2373             Serial.println("-----");
2374         }
2375
2376
2377
2378         if(bajada > 100)
2379             bajada = 100;
2380
2381         //Velocidad en rango 0 - 255
2382         // AZIMUT
2383         if(subida <= bajada)
2384             PWM = subida*(255.0/100.0);
2385         else if (subida > bajada)
2386         {
2387             subida = bajada;
2388             // se iguala la velocidad de la rampa de
2389             // aceleración a la de deceleración para que en caso de
2390             // tener que acelerar se empiece desde la velocidad anterior
2391             PWM = bajada*(255.0/100.0);
2392         }
2393         if(PWM > vmax)
2394             PWM = vmax;
2395         if(consigna >= pos)
2396         {
2397             // CW
2398             digitalWrite(cw,LOW);
2399             digitalWrite(ccw,HIGH);
2400             if(freno)
2401             {
2402                 digitalWrite(brk,LOW); // NC
2403             }
2404
2405
2406         }else
2407         {

```

```

2408         // CCW
2409         digitalWrite(cw,HIGH);
2410         digitalWrite(ccw,LOW);
2411         if(freno)
2412         {
2413             digitalWrite(brk,LOW); // NC
2414         }
2415     }
2416 }else
2417 {
2418     subida = 0;
2419     bajada = 0;
2420     PWM = 0;
2421     digitalWrite(cw,HIGH);
2422     digitalWrite(ccw,HIGH);
2423     digitalWrite(brk,HIGH); // NC
2424 }
2425
2426 analogWrite(PWMpin, PWM);
2427 }
2428
2429 /*-----
2430                                LECTURA DEL TECLADO
2431 -----
2432 *
2433 *                                función teclado
2434 *
2435 * Esta función realiza la lectura de la consigna escrita en el teclado
2436 *
2437 *
2438 *  entradas:
2439 *          lectura hardware de teclado
2440 *
2441 *  salidas:
2442 *          consigna --> num
2443 *
2444 *  llamadas a otras funciones:
2445 *
2446 *-----*/
2447
2448 float teclado()
2449 {
2450     char i;
2451     bool polling_teclado = 0;
2452     // Permanece en un bucle mientras polling sea 0, y sale del bucle
2453     // cuando se pulse tecla aceptar '#', poniendo polling = 1
2454     float num;
2455     char consigna[6] = "000000";//inicializo a 0 el vector
2456     char cont_key = 0;
2457     lcd.setCursor(0,1);
2458     lcd.print("CONSIGNA:");
2459     // Salgo del bucle si ya acepte la consigna o pulse intro
2460     tecla_intro = digitalRead(intro);
2461     while(!polling_teclado && tecla_intro)
2462     {
2463         char key = keypad.getKey();
2464         if (key)
2465         {
2466             delay(200); // Antirebotes
2467             // máximo = centenas + . + 2 decimales -> necesito vector de 6
2468             // Se rellena el vector de derecha a izquierda -> despazar la
2469             // cifra anterior de derecha a izquierda con cada pulsación
2470
2471             if(((key >= '0' && key <= '9') || key == '.') && cont_key < 6)
2472             // tecla valida y no excede el numero de pulsaciones
2473             {
2474                 cont_key++;
2475                 for(i=0;i<6;i++)
2476                 {
2477                     consigna[i] = consigna[i+1];
2478                     // Desplazo a la izquierda cada vez que pulso un numero
2479                 }
2480                 consigna[5] = key; // La última pulsación se guarda directamente

```

```

2481
2482         lcd.setCursor(0,2);
2483         num = atof(consigna);
2484         lcd.print("                ");
2485         lcd.setCursor(0,2);
2486         lcd.print(num);
2487
2488     }else if(key == '#' && cont_key > 0)
2489     {
2490         num = atof(consigna);
2491         if(num <= 360)
2492         {
2493             lcd.setCursor(0,1);
2494             lcd.print("CONSIGNA ACEPTADA");
2495             lcd.setCursor(0,2);
2496             lcd.print("                ");
2497             lcd.setCursor(0,2);
2498             lcd.print(num);
2499             delay(1000);
2500             cont_key = 0;
2501             polling_teclado = 1;
2502         }else
2503         {
2504             lcd.setCursor(0,1);
2505             lcd.print("CONSIGNA INCORRECTA");
2506             lcd.setCursor(0,2);
2507             //lcd.print("                ");
2508             lcd.print(num);
2509             delay(1000);
2510             cont_key = 0;
2511             polling_teclado = 0;
2512             lcd.setCursor(0,1);
2513             lcd.print("CONSIGNA:                ");
2514             char i;
2515             for(i = 0; i < 6; i++)
2516             {
2517                 consigna[i] = '0';
2518             }
2519             lcd.setCursor(0,2);
2520             num = atof(consigna);
2521             //lcd.print("                ");
2522             lcd.print(num);
2523         }
2524     }
2525 }else if(cont_key > 0 && key == 'C')
2526 {
2527     char i;
2528     for(i = 0; i < 6; i++)
2529     {
2530         consigna[i] = '0';
2531     }
2532     lcd.setCursor(0,2);
2533     lcd.print("                ");
2534     lcd.setCursor(0,2);
2535     num = atof(consigna);
2536     lcd.print(num);
2537     cont_key = 0;
2538 }else if(cont_key > 0 && key == 'D')
2539 {
2540     cont_key--;
2541     for(i=5;i>0;i--)
2542     {
2543         consigna[i] = consigna[i-1];
2544         //Desplazo a la derecha para borrar
2545     }
2546     lcd.setCursor(0,2);
2547     lcd.print("                ");
2548     num = atof(consigna);
2549     lcd.setCursor(0,2);
2550     lcd.print(num);
2551
2552
2553

```



```

2554     }
2555     else
2556     {
2557         //SI PULSO OTRA LETRA, SIMPLEMENTE NO HACE NADA
2558     }
2559
2560
2561     }
2562     tecla_intro = digitalRead(intro);
2563 }
2564 if(!tecla_intro)
2565 {
2566     delay(300);
2567     nivel_consigna = 0;
2568     lcd.clear();
2569     lcd.setCursor(0,0);
2570     lcd.print("Modo manual");
2571     lcd.setCursor(0,1);
2572     lcd.print("Selecciona el angulo");
2573     lcd.setCursor(0,2);
2574     lcd.print(submenu_consigna[p]);
2575 }else
2576 {
2577     return num;
2578 }
2579
2580 }
2581
2582 /*-----
2583                INICIALIZACIÓN DEL CANopen
2584 -----*/
2585 *
2586 *                función CANinit
2587 *
2588 * Esta función inicializa el bus CAN y los encoders
2589 *
2590 *  entradas:
2591 *
2592 *
2593 *  salidas:
2594 *
2595 *
2596 *  llamadas a otras funciones:
2597 *      funciones de la biblioteca de CAN
2598 *      CAN.begin
2599 *      CAN_MSGAVAIL
2600 *      CAN.checkReceive
2601 *      CAN.getCanId
2602 *      CAN.readMsgBuf
2603 *
2604 *
2605 *-----*/
2606
2607 void CANinit()
2608 {
2609     unsigned char len = 0;
2610     unsigned char buf[8];
2611     unsigned long canId = 0x00;
2612     byte msg8[8], stmp[2];
2613     char i;
2614
2615
2616     while ((CAN_OK != CAN.begin(CAN_20KBPS)) && nivel_setup == 2)
2617     // init can bus : baudrate = 20k
2618     {
2619         if(debug_CAN)
2620         {
2621             Serial.println("CAN BUS Shield init fail");
2622             Serial.println(" Init CAN BUS Shield again");
2623         }
2624
2625
2626         lcd.clear();

```

```

2627     lcd.setCursor(0,0);
2628     lcd.print("SETUP: CONFIGURACION");
2629     lcd.setCursor(0,1);
2630     lcd.print("ERROR EN INICIO CAN");
2631
2632     delay(100);
2633
2634     tecla_intro = digitalRead(intro);
2635     if(!tecla_intro)
2636     {
2637         delay(200);
2638         nivel_setup = 0;
2639         lcd.clear();
2640         lcd.setCursor(0,0);
2641         lcd.print("SETUP: CONFIGURACION");
2642         lcd.setCursor(0,1);
2643         lcd.print(menu_setup[z]);
2644     }
2645 }
2646
2647 if(nivel_setup == 2)
2648 {
2649     if(debug_CAN)
2650         Serial.println("CAN BUS Shield init ok!");
2651
2652     lcd.clear();
2653     lcd.setCursor(0,0);
2654     lcd.print("SETUP: CONFIGURACION");
2655     lcd.setCursor(0,1);
2656     lcd.print("Seleccion:");
2657     lcd.setCursor(0,2);
2658     lcd.print("Encoder TBN 12b");
2659     lcd.setCursor(0,3);
2660     lcd.print("CANbus OK");
2661     delay(1500);
2662
2663     for(i = 0; i<8; i++)
2664     {
2665         msg8[i]=0x00; // Para enviar en el pdo un mensaje vacio
2666     }
2667
2668     //while(CAN_MSGAVAIL != CAN.checkReceive());
2669
2670
2671
2672 //                                     Respuesta en el paso de ON-->OFF
2673 //-----
2674 //                                     Diría que si quito todo esto funcionaría igual
2675 //-----
2676     if(CAN_MSGAVAIL == CAN.checkReceive())
2677     {
2678         if(debug_CAN)
2679         {
2680             Serial.println
2681             ("-----Setup-----");
2682             Serial.println("OFF -> ON");
2683             Serial.println
2684             ("-----");
2685         }
2686
2687         while(CAN_MSGAVAIL == CAN.checkReceive())
2688         {
2689             while((canId = CAN.getCanId()) != 0x701)
2690                 // espera respuesta 1ºencoder
2691             {
2692                 CAN.readMsgBuf(&len, buf);
2693             }
2694             if(debug_CAN)
2695             {
2696                 Serial.print("COB-ID: ");
2697                 Serial.print("0x");
2698                 Serial.print(canId, HEX);
2699                 Serial.print("\t");

```

```

2700         Serial.print("Databytes: ");
2701         for(int i = 0; i<len; i++)
2702         {
2703             Serial.print(buf[i], HEX);
2704             Serial.print("\t");
2705         }
2706         Serial.println();
2707         Serial.flush();
2708     }
2709     while((canId = CAN.getCanId()) != 0x702)
2710         // espera respuesta 2ºencoder
2711     {
2712         CAN.readMsgBuf(&len, buf);
2713     }
2714
2715     if(debug_CAN)
2716     {
2717         Serial.print("COB-ID: ");
2718         Serial.print("0x");
2719         Serial.print(canId, HEX);
2720         Serial.print("\t");
2721         Serial.print("Databytes: ");
2722
2723
2724         for(i = 0; i<len; i++)
2725         {
2726             Serial.print(buf[i], HEX);
2727             Serial.print("\t");
2728         }
2729         Serial.println();
2730         Serial.flush();
2731     }
2732     delay(50);
2733 }
2734 }
2735
2736
2737
2738 //          START ALL NODES
2739 //-----
2740     stmp[0] = 0x01;
2741     stmp[1] = 0x00;
2742
2743     CAN.sendMsgBuf(0x00, CAN_STDID, 2, stmp);
2744     delay(50);
2745
2746 //          PDO1 del boot-up
2747 //-----
2748
2749     while(CAN_MSGAVAIL == CAN.checkReceive())
2750     {
2751         if(debug_CAN)
2752         {
2753             Serial.println
2754             ("-----");
2755             Serial.println("Start all nodes");
2756             Serial.println
2757             ("-----");
2758         }
2759
2760         while((canId = CAN.getCanId()) != 0x181) // espera respuesta 1ºencoder
2761         {
2762             CAN.readMsgBuf(&len, buf);
2763         }
2764
2765         if(debug_CAN)
2766         {
2767             Serial.print("COB-ID: ");
2768             Serial.print("0x");
2769             Serial.print(canId, HEX);
2770             Serial.print("\t");
2771             Serial.print("Databytes: ");
2772             for(int i = 0; i<len; i++)

```

```

2773         {
2774             Serial.print(buf[i], HEX);
2775             Serial.print("\t");
2776         }
2777         Serial.println();
2778         Serial.flush();
2779     }
2780
2781     while((canId = CAN.getCanId()) != 0x182) // espera respuesta 2ºencoder
2782     {
2783         CAN.readMsgBuf(&len, buf);
2784     }
2785
2786     if(debug_CAN)
2787     {
2788         Serial.print("COB-ID: ");
2789         Serial.print("0x");
2790         Serial.print(canId, HEX);
2791         Serial.print("\t");
2792         Serial.print("Databytes: ");
2793
2794         for(i = 0; i<len; i++)
2795         {
2796             Serial.print(buf[i], HEX);
2797             Serial.print("\t");
2798         }
2799         Serial.println();
2800         Serial.flush();
2801     }
2802     delay(50);
2803 }
2804 lcd.clear();
2805 lcd.setCursor(0,0);
2806 lcd.print("SETUP: CONFIGURACION");
2807 lcd.setCursor(0,1);
2808 lcd.print(menu_setup[z]);
2809
2810
2811     nivel_setup = 0; //Regreso al SETUP
2812 }
2813
2814 }
2815 /*-----
2816             LECTURA DE POSICIÓN POR ENCODERS
2817 -----*/
2818 *
2819 *             función CANpos
2820 *
2821 * Esta función realiza la lectura de los encoder, actualizando la posición de
2822 * antenas (az y el)
2823 *
2824 *     entradas:
2825 *
2826 *
2827 *     salidas:
2828 *         az --> azimuth
2829 *         el --> elevación
2830 *
2831 *     llamadas a otras funciones:
2832 *         funciones de la biblioteca de CAN
2833 *         CAN.sendMsgBuf
2834 *         CAN.getCanId
2835 *         CAN.readMsgBuf
2836 *
2837 *-----*/
2838 void CANpos(float &az, float &el)
2839 {
2840     byte RTR = 0x01;
2841     unsigned char len = 0;
2842     unsigned char buf[8];
2843     unsigned long canId; //canId = 32 bits --> long
2844     int i;
2845

```

```

2846     if(debug_CAN)
2847     {
2848         Serial.println
2849         ("-----Loop-----");
2850         Serial.println
2851         ("-----");
2852         Serial.println
2853         ("Nombre Nodo\tCOB-ID\t\tPosicion");
2854         Serial.println
2855         ("-----");
2856     }
2857
2858 //-----
2859 // ENVÍO EL PDO VACÍO CON RTR AL NODO 1
2860 //-----
2861
2862     CAN.sendMessage(0x181, CAN_STDID, RTR, 0, 0, true);
2863     // CAN.sendMessage(ID, extension, RTR, DLC, nada,bool wait_sent=true)
2864     // (línea 136 de mcp_can.h)
2865     delay(50);
2866
2867 //-----
2868 // RESPUESTA DEL ENCODER 1
2869 //-----
2870     while((canId = CAN.getCanId()) != 0x181) // espera respuesta 1ºencoder
2871     {
2872         CAN.readMessage(&len, buf);
2873     }
2874     CAN.readMessage(&len, buf);
2875
2876     az = (buf[0]+256*buf[1])*(360.0/4095.0);
2877
2878     if(debug_CAN)
2879     {
2880         Serial.print("AZIMUT\t\t");
2881         Serial.print("0x");
2882         Serial.print(canId,HEX);
2883         Serial.print("\t\t");
2884         Serial.println(az);
2885         Serial.flush();
2886     }
2887
2888     delay(10);
2889
2890 //-----
2891 // ENVÍO EL PDO VACÍO CON RTR AL NODO 2
2892 //-----
2893
2894     CAN.sendMessage(0x182, CAN_STDID, RTR, 0, 0, true);
2895     // CAN.sendMessage(ID, extension, RTR, DLC, nada,bool wait_sent=true)
2896     // (línea 136 de mcp_can.h)
2897     delay(50);
2898
2899 //-----
2900 // RESPUESTA DEL ENCODER 2
2901 //-----
2902     while((canId = CAN.getCanId()) != 0x182) // espera respuesta 2ºencoder
2903     {
2904         CAN.readMessage(&len, buf);
2905     }
2906     CAN.readMessage(&len, buf);
2907
2908     el = (buf[0]+256*buf[1])*(360.0/4095.0);
2909
2910
2911     if(debug_CAN)
2912     {
2913         Serial.print("\tELEVACION\t");
2914         Serial.print("0x");
2915         Serial.print(canId, HEX);
2916         Serial.print("\t\t");
2917         Serial.println(el);
2918         Serial.flush();

```

```

2919     }
2920
2921
2922
2923     delay(10);
2924 }
2925
2926
2927 /*-----
2928             MAQUINA DE ESTADOS: DECODIFICADOR DE TRAMA EASYCOMM
2929 -----*/
2930 *
2931 *             función deco_easycomm
2932 *
2933 * Esta función decodifica la trama easycom recibida del software externo por
2934 * puerto serie
2935 *
2936 *
2937 * entradas:
2938 *             caracter del puerto serie --> c
2939 *
2940 * salidas:
2941 *             s_easycom --> estados del decodificador easycom
2942 *             dat_valido --> validez de la lectura
2943 *             cel --> contador elevacion
2944 *             caz --> contador azimuth
2945 *             azimuth[6]
2946 *             elevacion[6]
2947 *
2948 * llamadas a otras funciones:
2949 *
2950 *-----*/
2951
2952 boolean deco_easycomm(char c)
2953 {
2954     boolean analizado = false;
2955
2956     // dat_valido se usa para que cuando la trama venga vacía (AZ EL) no se
2957     // decodifique
2958
2959     switch (c) {
2960     case 'A':
2961     case 'a':
2962         if (s_easycom == 0) {
2963             s_easycom++;
2964             dat_valido=0;
2965             cel = caz = 0;
2966         }
2967         break;
2968     //-----
2969     case 'Z':
2970     case 'z':
2971         if (s_easycom == 1)
2972             s_easycom++;
2973         else
2974             s_easycom = 0;
2975         break;
2976     //-----
2977     case 'e':
2978     case 'E':
2979         if (s_easycom == 3)
2980             s_easycom++;
2981         else
2982             s_easycom = 0;
2983         break;
2984     //-----
2985     case 'l':
2986     case 'L':
2987         if (s_easycom == 4){
2988             s_easycom++;
2989         }else
2990         {
2991             s_easycom = 0;

```

```

2992     }
2993     break;
2994 //-----
2995     case ' ': // Espacio
2996     if (s_easycom == 2)
2997     {
2998         if(dat_valido == 1)
2999         {
3000             s_easycom++;
3001         }else
3002         {
3003             s_easycom = 0;
3004         }
3005     }else
3006     s_easycom = 0;
3007     break;
3008     case 0x0D: //CR (retorno de carro)
3009 //-----
3010     if(s_easycom == 5){
3011         if(dat_valido == 1)
3012         {
3013             analizado = true;
3014             dat_valido = 0;
3015         }
3016         s_easycom == 0;
3017     }
3018     break;
3019 //-----
3020     case '0':
3021     case '1':
3022     case '2':
3023     case '3':
3024     case '4':
3025     case '5':
3026     case '6':
3027     case '7':
3028     case '8':
3029     case '9':
3030     case ',':
3031     case '-': // valor negativo
3032     case '.':
3033     if (s_easycom == 2)
3034     {
3035         dat_valido=1;
3036         if (caz > 5)
3037         {
3038             caz = 0;
3039         }else
3040         {
3041             azimut[caz++] = c;
3042         }
3043     } else if (s_easycom == 5)
3044     {
3045         if (cel > 5)
3046         {
3047             cel = 0;
3048         }else
3049         {
3050             elevacion[cel++] = c;
3051         }
3052     }
3053     break;
3054 //-----
3055     default:
3056     s_easycom = 0;
3057     break;
3058     }
3059     return analizado;
3060 }
3061
3062 /*-----
3063 CONVERTIDOR DE CADENA DE CARACTERES A FLOAT
3064 -----

```

```

3065 *
3066 *                               función cadena2float
3067 *
3068 * Esta función devuelve el float correspondiente a una cadena de 6 caracteres
3069 * cuyo separador decimal es ',' en lugar de '.'
3070 *
3071 *  entradas:
3072 *          cadena[6]
3073 *
3074 *  salidas:
3075 *          num --> variable float correspondiente a cadena[6]
3076 *
3077 *  llamadas a otras funciones:
3078 *
3079 *-----*/
3080 float cadena2float(char cadena[6])
3081 {
3082     float num = 0;
3083     char i;
3084     char numeros[6];
3085     for(i = 0;i<6;i++)
3086     {
3087         numeros[i]=cadena[i];
3088         if(cadena[i] == ',')
3089         {
3090             numeros[i] = '.';
3091         }
3092     }
3093     num = atof(numeros);
3094     return num;
3095 }
3096
3097 /*-----
3098                               MAQUINA DE ESTADOS PARA LECTURA DE TRAMA GPS NMEA
3099 -----*/
3100 *
3101 *                               función deco_nmea
3102 *
3103 * Esta función decodifica la trama NMEA en formato GPRMC de los datos serie del
3104 * GPS
3105 *
3106 *  entradas:
3107 *          caracter del puerto serie --> c
3108 *
3109 *  salidas:
3110 *          s_GPS --> estado de la maquina de estados
3111 *          ch --> contador hora
3112 *          clat --> contador latitud
3113 *          clong --> contador longitud
3114 *          cfec --> contador fecha
3115 *          hora[10]
3116 *          fecha[7]
3117 *          latitud[11]
3118 *          longitud[12]
3119 *          validez
3120 *
3121 *  llamadas a otras funciones:
3122 *
3123 *-----*/
3124 boolean deco_nmea(char c)
3125 {
3126     boolean analizado = false;
3127     switch (c)
3128     {
3129 //-----
3130         case '$':
3131             if (s_GPS == 0)
3132             {
3133                 s_GPS++;
3134                 clat = clong = ch = cfec = 0;
3135             }
3136             break;
3137 //-----

```



```

3138     case 'g':
3139     case 'G':
3140         if (s_GPS == 1)
3141             s_GPS++;
3142         else
3143             s_GPS = 0;
3144         break;
3145 //-----
3146     case 'p':
3147     case 'P':
3148         if (s_GPS == 2)
3149             s_GPS++;
3150         else
3151             s_GPS = 0;
3152         break;
3153 //-----
3154     case 'r':
3155     case 'R':
3156         if (s_GPS == 3)
3157             s_GPS++;
3158         else
3159             s_GPS = 0;
3160         break;
3161 //-----
3162     case 'm':
3163     case 'M':
3164         if (s_GPS == 4)
3165             s_GPS++;
3166         else
3167             s_GPS = 0;
3168         break;
3169 //-----
3170     case 'c':
3171     case 'C':
3172         if (s_GPS == 5)
3173             s_GPS++;
3174         else
3175             s_GPS = 0;
3176         break;
3177 //-----
3178     case 'a':
3179     case 'A':
3180     case 'v':
3181     case 'V':
3182         if (s_GPS == 8)
3183         {
3184             validez = c;
3185             s_GPS++;
3186         }
3187         else
3188             s_GPS = 0;
3189         break;
3190 //-----
3191     case ',':
3192         if( s_GPS == 6 || s_GPS == 7 || s_GPS == 9 || s_GPS == 11 ||
3193            s_GPS == 13 || s_GPS == 15 || s_GPS == 17 || s_GPS == 18
3194            || s_GPS == 19 )
3195         {
3196             s_GPS++;
3197         }else if(s_GPS == 20)
3198         {
3199             s_GPS == 0;
3200             analizado = true;
3201         } else
3202             s_GPS == 0;
3203         break;
3204 //-----
3205     case '0':
3206     case '1':
3207     case '2':
3208     case '3':
3209     case '4':
3210     case '5':

```

```

3211     case '6':
3212     case '7':
3213     case '8':
3214     case '9':
3215         if (s_GPS == 7)
3216         {
3217             hora[ch++] = c;
3218             if (ch > 8)
3219             {
3220                 hora[9] = '\0';
3221                 ch = 0;
3222             }
3223         } else if (s_GPS == 11 || s_GPS == 10)
3224         {
3225             latitud[clat++] = c;
3226             if (clat > 9)
3227             {
3228                 latitud[10] = '\0';
3229                 clat = 0;
3230             }
3231         } else if (s_GPS == 15 || s_GPS == 14)
3232         {
3233             longitud[clong++] = c;
3234             if (clong > 10)
3235             {
3236                 longitud[11] = '\0';
3237                 clong = 0;
3238             }
3239         } else if (s_GPS == 20)
3240         {
3241             fecha[cfec++] = c;
3242             if (cfec > 5)
3243             {
3244                 fecha[6] = '\0';
3245                 cfec = 0;
3246             }
3247         } else if (s_GPS == 17 || s_GPS == 18 || s_GPS == 19)
3248         {
3249             //NO HAGO NADA
3250         }
3251         break;
3252 //-----
3253     case '.':
3254         if (s_GPS == 7 || s_GPS == 10 || s_GPS == 14 )
3255         {
3256             if (s_GPS == 7)
3257             {
3258                 hora[6] = '.';
3259                 ch++;
3260             }
3261             if (s_GPS == 10)
3262             {
3263                 latitud[4] = '.';
3264                 clat++;
3265                 s_GPS++;
3266             }
3267             if (s_GPS == 14)
3268             {
3269                 longitud[5] = '.';
3270                 clong++;
3271                 s_GPS++;
3272             }
3273         } else if (s_GPS == 17 || s_GPS == 18 || s_GPS == 19)
3274         {
3275             //NO HAGO NADA
3276         }
3277         else
3278         {
3279             s_GPS = 0;
3280         }
3281         break;
3282 //-----
3283

```



```

3357     aux_min = hora_float/100;
3358     minut = aux_min - horas*100;
3359     seg_aux = (hora_float/1) - aux_min*100;
3360     seg = seg_aux;
3361     //horas = horas + 2;
3362     if(debug_GPS)
3363     {
3364         Serial.println("Posición NMEA decodificada:");
3365         Serial.print("Hora: ");
3366         Serial.print(horas);Serial.print(":");Serial.print(minut);
3367         Serial.print(":");Serial.println(seg);
3368         Serial.flush();
3369     }
3370     /*-----
3371                                LATITUD
3372     -----*/
3373     lat_float = atof(latitud);
3374     lat_grad = lat_float/100;
3375     lat_min = lat_float - lat_grad*100;
3376     if(latitud[9] == 'S' || latitud[9] == 's')
3377     {
3378         lat_grad = -1*lat_grad;
3379         lat_min = -1*lat_min;
3380     }
3381
3382     if(debug_GPS)
3383     {
3384         Serial.print("Latitud: ");
3385         Serial.print(lat_grad); Serial.print("°");
3386         Serial.print(lat_min);
3387         Serial.println(""); //Serial.println(latitud[9]);
3388         Serial.flush();
3389     }
3390     /*-----
3391                                LONGITUD
3392     -----*/
3393     long_float = atof(longitud);
3394     long_grad = long_float/100;
3395     long_min = long_float - long_grad*100;
3396     if(longitud[10] == 'W' || longitud[10] == 'w')
3397     {
3398         long_grad = -1*long_grad;
3399         long_min = -1*long_min;
3400     }
3401     if(debug_GPS)
3402     {
3403         Serial.print("Longitud: ");
3404         Serial.print(long_grad); Serial.print("°");
3405         Serial.print(long_min);
3406         Serial.println(""); //Serial.println(longitud[10]);
3407         Serial.flush();
3408     }
3409     /*-----
3410                                VALIDEZ
3411     -----*/
3412     Serial.print("Lectura válida: ");
3413     Serial.println(validez);
3414     Serial.flush();
3415     /*-----
3416                                FECHA
3417     -----*/
3418     Serial.print("Fecha: ");
3419     }
3420     fecha_float = atof(fecha);
3421     dia = fecha_float/10000;
3422     mes_aux = fecha_float/100;
3423     mes = mes_aux - dia*100;
3424     anho = (fecha_float/1) - mes_aux*100 + 2000;
3425
3426     if(debug_GPS)
3427     {
3428         Serial.print(dia);Serial.print("/");Serial.print(mes);
3429         Serial.print("/");Serial.println(anho);

```

```

3430         Serial.println
3431         ("-----");
3432         Serial.flush();
3433     }
3434 /*-----
3435                                     REINICIO DE VARIABLES
3436 -----*/
3437     for(i = 0; i<10; i++)
3438     {
3439         hora[i] = '0';
3440         latitud[i] = '0';
3441     }
3442     hora[6] = '.';
3443     latitud[9] = 'N';
3444     latitud[4] = '.';
3445
3446     for(i = 0; i<6; i++)
3447     {
3448         fecha[i] = '0';
3449     }
3450
3451     for(i = 0; i<11; i++)
3452     {
3453         longitud[i] = '0';
3454     }
3455     longitud[5] = '.';
3456     longitud[10] = 'W';
3457
3458     GPS_analizado = 1;
3459     }
3460 }
3461
3462     return GPS_analizado;
3463 }
3464
3465 /*-----
3466                                     CÁLCULOS AZ/EL
3467 -----
3468 *
3469 *                                     función calc_kepler
3470 *
3471 * Esta función calcula los ángulos de apuntamiento de la antena (AZ,EL) en
3472 * función del instante y del lugar de observación
3473 *
3474 *   entradas:
3475 *       año --> ano
3476 *       mes --> mes
3477 *       día --> dia
3478 *       horas --> horas
3479 *       minuto --> minu
3480 *       segundo --> seg
3481 *       grados latitud --> lat_grados
3482 *       minutos latitud -->lat_minu
3483 *       grados latitud --> lon_grados
3484 *       minutos latitud --> lon_minu
3485 *
3486 *   salidas:
3487 *       az --> azimuth
3488 *       el --> elevación
3489 *
3490 *   llamadas a otras funciones:
3491 *       deco_nmea
3492 *
3493 -----*/
3494
3495 void calc_kepler
3496 (int ano, int mes, int dia, int horas, int minu, double seg,
3497 int lat_grados, int lon_grados, float lat_minu, float lon_minu,
3498 float &az, float &el)
3499 {
3500     if(debug_GPS)
3501     {
3502         Serial.print("AÑO: ");Serial.println(ano);

```

```

3503         Serial.print("MES: ");Serial.println(mes);
3504         Serial.print("DÍA: ");Serial.println(dia);
3505         Serial.print("HORA: ");Serial.println(horas);
3506         Serial.print("MINUTOS: ");Serial.println(minu);
3507         Serial.print("SEG: ");Serial.println(seg);
3508         Serial.print("LAT_grad: ");Serial.println(lat_grados);
3509         Serial.print("lat_minut: ");Serial.println(lat_minu);
3510         Serial.print("long_grad: ");Serial.println(lon_grados);
3511         Serial.print("long_min: ");Serial.println(lon_minu);
3512
3513     }
3514
3515
3516     //----- variables locales -----
3517     gravconstttype wgs = constDef;           // (gravconstttype es una
3518                                             // enumeración definida en
3519                                             // sgp4unit.h) del estándar
3520                                             // world geodetic system
3521     char modoOperacion = opDef;
3522     //char lineal[70], linea2[70];
3523
3524     elsetrec datosSat;
3525
3526     long int diaj;
3527     double mpe,
3528            fraccion_dj,
3529            diajReduc,
3530            epocaTotal,
3531            lat,
3532            //alt,
3533            lon,
3534            thetaLoc;
3535     double rSat[3], vSat[3], rLoc[3], dif[3], rSez[3];
3536
3537     int i, j;
3538
3539
3540
3541     // ----- datos lugar e instante observación -----
3542     if(debug_kepler_loop)
3543     {
3544         ano = 2019; mes = 8; dia = 26;
3545         horas = 11; minu = 8; seg = 51.0;
3546         lat_grados = 43; lat_minu = 35.82;
3547         lon_grados = -8; lon_minu = -11.79;
3548     }
3549     /* Observacion de referencia verificada
3550     ano = 2019; mes = 8; dia = 11;
3551     horas = 15; minu = 50; seg = 0.0;
3552     lat_grados = 43; lat_minu = 35.82;
3553     lon_grados = -8; lon_minu = -11.79;
3554 */
3555
3556
3557
3558     //----- código -----
3559     if(debug_kepler)
3560     {
3561         Serial.print(
3562     "*****\n");
3563         Serial.print(
3564     "\t\t\t\tDATOS TLE:\nLinea 1:\n");
3565
3566         for(i = 0; i < 69; i++)
3567         {
3568             lineal[i] = EEPROM.read(i);
3569             if(debug_kepler)
3570             {
3571                 Serial.print(lineal[i]);
3572             }
3573         }
3574         lineal[i++] = '\0';
3575

```



```

3649 // fraccion_dj (en días)
3650 diajReduc = (diaj - datosSat.jdsatepoch) + fraccion_dj;
3651 //epocaReduc = (datosSat.jdsatepoch - 2458484)+datosSat.jdsatepoch_fraccion;
3652 // para ganar precisión en el instante de observación, restamos las
3653 // partes enteras del día de observación y la época TLE, y queda una
3654 // parte entera de 1 o 2 dígitos, que permite mejorar el número de
3655 // decimales
3656 mpe = (diajReduc - datosSat.jdsatepoch_fraccion) * 1440.0;
3657 // minutos desde época TLE
3658 sgp4 (wgs, datosSat, mpe, rSat, vSat); // devuelve posición y velocidad
3659 // del satélite en rSat y vSat
3660 //----- Lugar de observación -----
3661 lat = gradArad(lat_grados, lat_minu);
3662 lon = gradArad(lon_grados, lon_minu); // pasamos a radianes
3663 thetaLoc = theta(lon, diaj, fraccion_dj); // devuelve ángulo respecto a
3664 // punto aries
3665 geoide(lat, thetaLoc,/* alt,*/ rLoc); // devuelve posición y velocidad
3666 // locales corregidas
3667
3668 for(i = 0; i < 3; i++)
3669     dif[i] = rSat[i] - rLoc[i];
3670
3671 // ----- cambio a coordenadas SEZ -----
3672
3673 rSez[0] = sin(lat) * cos(thetaLoc) * dif[0] +
3674          sin(lat) * sin(thetaLoc) * dif[1] -
3675          cos(lat) * dif[2];
3676 rSez[1] = -sin(thetaLoc) * dif[0] +
3677          cos(thetaLoc) * dif[1];
3678 rSez[2] = cos(lat) * cos(thetaLoc) * dif[0] +
3679          cos(lat) * sin(thetaLoc) * dif[1] +
3680          sin(lat) * dif[2];
3681
3682 // ----- cálculo ángulos azimut y elevación -----
3683
3684 az = atan(-rSez[1] / rSez[0]);
3685 if (rSez[0] > 0.0)
3686 {
3687     az += pi;
3688 }
3689
3690 if (az < 0.0)
3691 {
3692     az += 2.0 * pi;
3693 }
3694 az = 180 * az / pi;
3695 el = asin(rSez[2] /
3696          sqrt(pow(rSez[0], 2.0) + pow(rSez[1], 2.0) + pow(rSez[2], 2.0)));
3697 el = 180 * el / pi;
3698
3699 // ----- presentación resultados depuración-----
3700 if(debug_kepler)
3701 {
3702     Serial.print(
3703 "*****\n");
3704     Serial.print(
3705 "\t\t\t\t\tRESULTADOS\n");
3706     Serial.print(
3707 "*****\n");
3708     Serial.print(
3709 "Instante de la observacion:\t");
3710     Serial.print(ano); Serial.print("\t");
3711     Serial.print(mes); Serial.print("\t");
3712     Serial.print(dia); Serial.print("\t");
3713     Serial.print(hora); Serial.print("\t");
3714     Serial.print(minu); Serial.print("\t");
3715     Serial.print(seg); Serial.print("\n");
3716
3717     Serial.print(
3718 "Dia de la observacion en juliana:\t");
3719     Serial.print(diaj); Serial.print("\n");
3720
3721     Serial.print(

```



```

3722     "Fraccion del dia en segundos:\t\t");
3723     Serial.print(fraccion_dj,8); Serial.print("\n");
3724
3725     /*
3726     Serial.print(
3727     "Instante de la observacion en juliana:\t");
3728     //Serial.print(diajFloat,8);Serial.print("\t");
3729     //Serial.print(fraccion_dj / segxDia_,8); Serial.print("\t");
3730     //Serial.print(diajLong,8); Serial.print("\n");
3731     */
3732     Serial.print(
3733     "época TLE en juliana:\t\t\t");
3734     Serial.print(datosSat.jdsatepoch); Serial.print("\n");
3735
3736     Serial.print(
3737     "año TLE: \t\t\t\t");
3738     Serial.print(datosSat.epochyr); Serial.print("\n");
3739
3740     Serial.print(
3741     "dias TLE (n° de dias del año TLE):\t");
3742     Serial.print(datosSat.epochdays); Serial.print("\n");
3743
3744     Serial.print(
3745     "minutos desde la epoca:\t\t\t");
3746     Serial.print(mpe,8); Serial.print("\n");
3747
3748     Serial.print(
3749     "Latitud local (radianes):\t\t");
3750     Serial.print(lat);
3751
3752     Serial.print(
3753     "\nLongitud local (radianes):\t\t");
3754     Serial.print(lon);
3755     Serial.print("\n");
3756
3757     Serial.print(
3758     "Hora sideral Greenwich (GMST):\t\t");
3759     Serial.println(thetaLoc);
3760
3761     Serial.print(
3762     "*****\n");
3763     Serial.print(
3764     "Vector velocidad:\t\t\t");
3765     Serial.print(vSat[0]); Serial.print("\t");
3766     Serial.print(vSat[1]); Serial.print("\t");
3767     Serial.print(vSat[2]);
3768     Serial.println();
3769
3770     Serial.print(
3771     "Vector de posicion satelite:\t\t");
3772     Serial.print(rSat[0]); Serial.print("\t");
3773     Serial.print(rSat[1]); Serial.print("\t");
3774     Serial.print(rSat[2]);
3775     Serial.println();
3776
3777     Serial.print(
3778     "Vector de posicion local (ECI):\t\t");
3779     Serial.print(rLoc[0]); Serial.print("\t");
3780     Serial.print(rLoc[1]); Serial.print("\t");
3781     Serial.print(rLoc[2]);
3782     Serial.println();
3783
3784     Serial.print(
3785     "Vector de posicion local (SEZ):\t\t");
3786     Serial.print(rSez[0]); Serial.print("\t");
3787     Serial.print(rSez[1]); Serial.print("\t");
3788     Serial.print(rSez[2]);
3789     Serial.println();
3790
3791     Serial.print(
3792     "Angulo de azimut:\t\t");
3793     Serial.print((float)az);
3794     Serial.println();

```

```

3795
3796     Serial.print(
3797     "Angulo de elevación:\t\t");
3798     Serial.print((float)el);
3799     Serial.println();
3800     Serial.print(
3801     "*****\n");
3802
3803     //while(1);
3804
3805     }
3806 }
3807
3808
3809 /*-----
3810             ACTUALIZACIÓN DE DATOS TLE
3811 -----*/
3812 *
3813 *             función actualizaTLE
3814 *
3815 * Permite actualizar los datos TLE, y guardarlos en la memoria y en las variable
3816 * lineal y linea2, que se utilizará para los cálculos keplerianos
3817 *
3818 * entradas:
3819 *     lectura puerto serie de datos TLE
3820 *
3821 * salidas:
3822 *     lineal[70] --> línea 1 del TLE
3823 *     linea2[70] --> línea 2 del TLE
3824 *     nivel_setup--> permite regresar al menú setup
3825 *
3826 * llamadas a otras funciones:
3827 *
3828 *
3829 *-----*/
3830
3831 void actualizaTLE()
3832 {
3833     int i, j, eeDir;
3834     //char lineal[70], linea2[70];
3835     String buffer_S;
3836
3837     Serial.println("Copia los datos TLE de la siguiente dirección: ");
3838     Serial.println("https://www.celestrak.com/NORAD/elements/");
3839     Serial.println
3840     ("Copia únicamente las líneas 1 y 2, sin el nombre del satélite");
3841     Serial.println
3842     ("Pega en el puerto serie los datos TLE del satélite y envía");
3843     Serial.end();
3844     Serial.begin(9600);
3845     // Se apaga y se enciende el puerto serie para reiniciar porque flush() no
3846     // funciona correctamete
3847     while(!Serial.available());
3848     buffer_S = Serial.readString();
3849     Serial.println("Grabando en EEPROM...");
3850
3851     // ----- grabación en EEPROM
3852     eeDir = 0;
3853     while(buffer_S[eeDir] != '\0')
3854     {
3855         EEPROM.update(eeDir, buffer_S[eeDir]);
3856         //Serial.print(eeDir);
3857         //Serial.print('\t');
3858         //Serial.println(buffer_S[eeDir]);
3859         eeDir++;
3860     }
3861     EEPROM.update(eeDir, '\0');
3862     delay(1000);
3863     Serial.print(
3864     "*****\n");
3865     Serial.print(
3866     "\t\t\t VERIFICACIÓN DE LOS DATOS GRABADOS EN EEPROM:\nLínea 1:\n");
3867     for(eeDir = 0; eeDir < 69; eeDir++)

```

```
3868     {
3869         linea1[eeDir] = EEPROM.read(eeDir);
3870         Serial.print(linea1[eeDir]);
3871     }
3872     linea1[eeDir++] = '\0';
3873
3874     Serial.print(
3875     "\nLinea 2:\n");
3876     for(j = 0; eeDir < 139; eeDir++, j++)
3877     {
3878         linea2[eeDir] = EEPROM.read(eeDir);
3879         Serial.print(linea2[eeDir]);
3880     }
3881     linea2[j] = '\0';
3882     Serial.println();
3883     Serial.print(
3884     "*****\n");
3885     nivel_setup = 0;
3886     lcd.clear();
3887     lcd.setCursor(0,0);
3888     lcd.print("SETUP: CONFIGURACION");
3889     lcd.setCursor(0,1);
3890     lcd.print("TLE actualizado");
3891     delay(1500);
3892     lcd.clear();
3893     lcd.setCursor(0,0);
3894     lcd.print("SETUP: CONFIGURACION");
3895     lcd.setCursor(0,1);
3896     lcd.print(menu_setup[z]);
3897
3898 }
```

## **18.5. SGP4.cpp**

```

1
2 #include "sgp4Completo.h"
3 #include <stdlib.h>
4
5
6 const char help = 'n';
7 FILE *dbgfile;
8
9
10 /* ----- local functions - only ever used internally by sgp4 ----- */
11 static void dpper
12 (
13     double e3,      double ee2,      double peo,      double pgho,      double pho,
14     double pinco,   double plo,      double se2,      double se3,      double sgh2,
15     double sgh3,   double sgh4,   double sh2,      double sh3,      double si2,
16     double si3,    double sl2,    double sl3,      double sl4,      double t,
17     double xgh2,   double xgh3,   double xgh4,     double xh2,      double xh3,
18     double xi2,    double xi3,    double xl2,      double xl3,      double xl4,
19     double zmol,   double zmos,   double inclo,
20     char init,
21     double& ep,    double& inclp, double& nodep,   double& argpp,   double& mp,
22     char opsmode
23 );
24
25 static void dscom
26 (
27     double epoch,  double ep,      double argpp,    double tc,        double inclp,
28     double nodep,  double np,
29     double& snodm, double& cnodm,  double& sinim,   double& cosim,   double& sinomm,
30     double& cosomm, double& day,     double& e3,      double& ee2,     double& em,
31     double& emsq,  double& gam,    double& peo,     double& pgho,    double& pho,
32     double& pinco, double& plo,     double& rtemsq,  double& se2,     double& se3,
33     double& sgh2,  double& sgh3,   double& sgh4,    double& sh2,     double& sh3,
34     double& si2,   double& si3,    double& sl2,     double& sl3,     double& sl4,
35     double& s1,    double& s2,     double& s3,      double& s4,      double& s5,
36     double& s6,    double& s7,     double& ss1,     double& ss2,     double& ss3,
37     double& ss4,   double& ss5,    double& ss6,     double& ss7,     double& sz1,
38     double& sz2,   double& sz3,    double& sz11,    double& sz12,    double& sz13,
39     double& sz21,  double& sz22,   double& sz23,    double& sz31,    double& sz32,
40     double& sz33,  double& xgh2,   double& xgh3,    double& xgh4,    double& xh2,
41     double& xh3,   double& xi2,    double& xi3,     double& xl2,     double& xl3,
42     double& xl4,   double& nm,     double& z1,      double& z2,      double& z3,
43     double& z11,   double& z12,    double& z13,     double& z21,     double& z22,
44     double& z23,   double& z31,    double& z32,     double& z33,     double& zmol,
45     double& zmos
46 );
47
48 static void dsinit
49 (
50     gravconsttype whichconst,
51     double cosim,  double emsq,    double argpo,    double s1,        double s2,
52     double s3,     double s4,      double s5,       double sinim,     double ss1,
53     double ss2,    double ss3,     double ss4,      double ss5,       double sz1,
54     double sz3,    double sz11,    double sz13,     double sz21,      double sz23,
55     double sz31,   double sz33,    double t,        double tc,        double gsto,
56     double mo,     double mdot,    double no,       double nodeo,     double nodedot,
57     double xpidot, double z1,      double z3,       double z11,       double z13,
58     double z21,    double z23,     double z31,      double z33,       double ecco,
59     double eccsq,  double& em,     double& argpm,   double& inclm,   double& mm,
60     double& nm,    double& nodem,
61     int& irez,
62     double& atime, double& d2201,  double& d2211,   double& d3210,   double& d3222,
63     double& d4410, double& d4422,  double& d5220,   double& d5232,   double& d5421,
64     double& d5433, double& dedt,   double& didt,    double& dmdt,    double& dndt,
65     double& dnodt, double& domdt,  double& del1,    double& del2,    double& del3,
66     double& xfact, double& xlamo,  double& xli,     double& xni
67 );
68
69 static void dspace
70 (
71     int irez,
72     double d2201,  double d2211,   double d3210,   double d3222,   double d4410,
73     double d4422,  double d5220,   double d5232,   double d5421,   double d5433,

```

```

74     double dedt,    double dell,    double del2,    double del3,    double didt,
75     double dmdt,    double dnodt,    double domdt,    double argpo,    double argpdot,
76     double t,        double tc,        double gsto,    double xfact,    double xlamo,
77     double no,
78     double& atime,    double& em,        double& argpm,    double& inclm,    double& xli,
79     double& mm,        double& xni,        double& nodem,    double& dndt,    double& nm
80     );
81
82 static void initl
83     (
84     int satn,        gravconsttype whichconst,
85     double ecco,    double epoch,    double inclo,    double& no,
86     char& method,
87     double& ainv,    double& ao,        double& con41,    double& con42,    double& cosio,
88     double& cosio2, double& eccsq,    double& omeosq,    double& posq,
89     double& rp,        double& rteosq, double& sinio ,    double& gsto,    char opsmode
90     );
91
92 /* -----
93 *
94 *
95 *
96 *   this procedure provides deep space long period periodic contributions
97 *   to the mean elements.  by design, these periodics are zero at epoch.
98 *   this used to be dscom which included initialization, but it's really a
99 *   recurring function.
100 *
101 *   author          : david vallado          719-573-2600   28 jun 2005
102 *
103 *   inputs          :
104 *   e3               -
105 *   ee2              -
106 *   peo              -
107 *   pgho             -
108 *   pho              -
109 *   pinco            -
110 *   plo              -
111 *   se2 , se3 , sgh2, sgh3, sgh4, sh2, sh3, si2, si3, sl2, sl3, sl4 -
112 *   t                -
113 *   xh2, xh3, xi2, xi3, xl2, xl3, xl4 -
114 *   zmol             -
115 *   zmos             -
116 *   ep               - eccentricity          0.0 - 1.0
117 *   inclo            - inclination - needed for lyddane modification
118 *   nodep            - right ascension of ascending node
119 *   argpp            - argument of perigee
120 *   mp               - mean anomaly
121 *
122 *   outputs         :
123 *   ep               - eccentricity          0.0 - 1.0
124 *   inclp            - inclination
125 *   nodep            - right ascension of ascending node
126 *   argpp            - argument of perigee
127 *   mp               - mean anomaly
128 *
129 *   locals          :
130 *   alfdp            -
131 *   betdp            -
132 *   cosip , sinip , cosop , sinop ,
133 *   dalf             -
134 *   dbet             -
135 *   dls              -
136 *   f2, f3           -
137 *   pe               -
138 *   pgh              -
139 *   ph               -
140 *   pinc             -
141 *   pl               -
142 *   sel , ses , sgh1 , sghs , shl , shs , sil , sinzf , sis ,
143 *   sll , sls        -
144 *   xls              -
145 *   xnoh             -
146 *   zf               -

```

```

147 *      zm      -
148 *
149 * coupling    :
150 *      none.
151 *
152 * references   :
153 *      hoots, roehrich, norad spacetrack report #3 1980
154 *      hoots, norad spacetrack report #6 1986
155 *      hoots, schumacher and glover 2004
156 *      vallado, crawford, hujsak, kelso 2006
157 -----*/
158
159 static void dpper
160 (
161     double ee2,      double ee3,      double ee4,      double ee5,      double ee6,
162     double pinco,    double plo,      double se2,      double se3,      double se4,
163     double sgh3,     double sgh4,    double sh2,      double sh3,      double sh4,
164     double si3,      double sl2,     double sl3,      double sl4,      double t,
165     double xgh2,     double xgh3,    double xgh4,     double xh2,      double xh3,
166     double xi2,      double xi3,     double xl2,      double xl3,      double xl4,
167     double zmol,     double zmos,    double inclo,
168     char init,
169     double& ep,      double& inclp, double& nodep,   double& argpp, double& mp,
170     char opsmode
171 )
172 {
173     /* ----- local variables ----- */
174     const double twopi = 2.0 * pi;
175     double alfdp, betdp, cosip, cosop, dalf, dbet, dls,
176     f2, f3, pe, pgh, ph, pinc, pl,
177     sel, ses, sghl, sgls, shll, shs, sil,
178     sinip, sinop, sinzf, sis, sll, sls, xls,
179     xnoh, zf, zm, zel, zes, znl, zns;
180
181     /* ----- constants ----- */
182     zns = 1.19459e-5;
183     zes = 0.01675;
184     znl = 1.5835218e-4;
185     zel = 0.05490;
186
187     /* ----- calculate time varying periodics ----- */
188     zm = zmos + zns * t;
189     // be sure that the initial call has time set to zero
190     if (init == 'y')
191         zm = zmos;
192     zf = zm + 2.0 * zes * sin(zm);
193     sinzf = sin(zf);
194     f2 = 0.5 * sinzf * sinzf - 0.25;
195     f3 = -0.5 * sinzf * cos(zf);
196     ses = se2 * f2 + se3 * f3;
197     sis = si2 * f2 + si3 * f3;
198     sls = sl2 * f2 + sl3 * f3 + sl4 * sinzf;
199     sgls = sgh2 * f2 + sgh3 * f3 + sgh4 * sinzf;
200     shs = sh2 * f2 + sh3 * f3;
201     zm = zmol + znl * t;
202     if (init == 'y')
203         zm = zmol;
204     zf = zm + 2.0 * zel * sin(zm);
205     sinzf = sin(zf);
206     f2 = 0.5 * sinzf * sinzf - 0.25;
207     f3 = -0.5 * sinzf * cos(zf);
208     sel = ee2 * f2 + ee3 * f3;
209     sil = xi2 * f2 + xi3 * f3;
210     sll = xl2 * f2 + xl3 * f3 + xl4 * sinzf;
211     sghl = xgh2 * f2 + xgh3 * f3 + xgh4 * sinzf;
212     shll = xh2 * f2 + xh3 * f3;
213     pe = ses + sel;
214     pinc = sis + sil;
215     pl = sls + sll;
216     pgh = sgls + sghl;
217     ph = shs + shll;
218
219     if (init == 'n')

```

```

220     {
221     pe      = pe - peo;
222     pinc   = pinc - pinco;
223     pl     = pl - plo;
224     pgh    = pgh - pgho;
225     ph     = ph - pho;
226     inclp  = inclp + pinc;
227     ep     = ep + pe;
228     sinip  = sin(inclp);
229     cosip  = cos(inclp);
230
231     /* ----- apply periodics directly ----- */
232     //  sgp4fix for lyddane choice
233     //  strn3 used original inclination - this is technically feasible
234     //  gsfc used perturbed inclination - also technically feasible
235     //  probably best to readjust the 0.2 limit value and limit discontinuity
236     //  0.2 rad = 11.45916 deg
237     //  use next line for original strn3 approach and original inclination
238     //  if (inclo >= 0.2)
239     //  use next line for gsfc version and perturbed inclination
240     if (inclp >= 0.2)
241     {
242         ph      = ph / sinip;
243         pgh     = pgh - cosip * ph;
244         argpp   = argpp + pgh;
245         nodep   = nodep + ph;
246         mp      = mp + pl;
247     }
248     else
249     {
250         /* ---- apply periodics with lyddane modification ---- */
251         sinop   = sin(nodep);
252         cosop   = cos(nodep);
253         alfdp   = sinip * sinop;
254         betdp   = sinip * cosop;
255         dalf    = ph * cosop + pinc * cosip * sinop;
256         dbet    = -ph * sinop + pinc * cosip * cosop;
257         alfdp   = alfdp + dalf;
258         betdp   = betdp + dbet;
259         nodep   = fmod(nodep, twopi);
260         //  sgp4fix for afspc written intrinsic functions
261         //  nodep used without a trigonometric function ahead
262         if ((nodep < 0.0) && (opsmode == 'a'))
263             nodep = nodep + twopi;
264         xls     = mp + argpp + cosip * nodep;
265         dls     = pl + pgh - pinc * nodep * sinip;
266         xls     = xls + dls;
267         xnoh    = nodep;
268         nodep   = atan2(alfdp, betdp);
269         //  sgp4fix for afspc written intrinsic functions
270         //  nodep used without a trigonometric function ahead
271         if ((nodep < 0.0) && (opsmode == 'a'))
272             nodep = nodep + twopi;
273         if (fabs(xnoh - nodep) > pi)
274             if (nodep < xnoh)
275                 nodep = nodep + twopi;
276             else
277                 nodep = nodep - twopi;
278         mp      = mp + pl;
279         argpp   = xls - mp - cosip * nodep;
280     }
281     } // if init == 'n'
282
283     //#include "debug1.cpp"
284 } // end dpper
285
286 /*-----
287 *
288 *                               procedure dscom
289 *
290 *  this procedure provides deep space common items used by both the secular
291 *  and periodics subroutines.  input is provided as shown.  this routine
292 *  used to be called dpper, but the functions inside weren't well organized.

```



```

293 *
294 * author      : david vallado              719-573-2600   28 jun 2005
295 *
296 * inputs      :
297 *   epoch      -
298 *   ep         - eccentricity
299 *   argpp      - argument of perigee
300 *   tc         -
301 *   inclp     - inclination
302 *   nodep     - right ascension of ascending node
303 *   np        - mean motion
304 *
305 * outputs     :
306 *   sinim , cosim , sinomm , cosomm , snodm , cnodm
307 *   day      -
308 *   e3       -
309 *   ee2      -
310 *   em       - eccentricity
311 *   emsq     - eccentricity squared
312 *   gam      -
313 *   peo      -
314 *   pgho     -
315 *   pho      -
316 *   pinco    -
317 *   plo      -
318 *   rtemsq   -
319 *   se2, se3      -
320 *   sgh2, sgh3, sgh4      -
321 *   sh2, sh3, si2, si3, sl2, sl3, sl4      -
322 *   s1, s2, s3, s4, s5, s6, s7      -
323 *   ss1, ss2, ss3, ss4, ss5, ss6, ss7, sz1, sz2, sz3      -
324 *   sz11, sz12, sz13, sz21, sz22, sz23, sz31, sz32, sz33      -
325 *   xgh2, xgh3, xgh4, xh2, xh3, xi2, xi3, xl2, xl3, xl4      -
326 *   nm       - mean motion
327 *   z1, z2, z3, z11, z12, z13, z21, z22, z23, z31, z32, z33      -
328 *   zmol     -
329 *   zmos     -
330 *
331 * locals      :
332 *   a1, a2, a3, a4, a5, a6, a7, a8, a9, a10      -
333 *   betasq   -
334 *   cc       -
335 *   ctem, stem      -
336 *   x1, x2, x3, x4, x5, x6, x7, x8      -
337 *   xnodce   -
338 *   xnoi     -
339 *   zcosg , zsing , zcosgl , zsingl , zcosh , zsinh , zcoshl , zsinhl ,
340 *   zcosi , zsini , zcosil , zsinil ,
341 *   zx       -
342 *   zy       -
343 *
344 * coupling    :
345 *   none.
346 *
347 * references   :
348 *   hoots, roehrich, norad spacetrack report #3 1980
349 *   hoots, norad spacetrack report #6 1986
350 *   hoots, schumacher and glover 2004
351 *   vallado, crawford, hujsak, kelso 2006
352 *-----*/
353
354 static void dscom
355 (
356     double epoch,
357     double ep,      double argpp,      double tc,      double inclp,
358     double nodep,  double np,
359     double& snodm, double& cnodm, double& sinim, double& cosim, double& sinomm,
360     double& cosomm, double& day, double& e3, double& ee2, double& em,
361     double& emsq, double& gam, double& peo, double& pgho, double& pho,
362     double& pinco, double& plo, double& rtemsq, double& se2, double& se3,
363     double& sgh2, double& sgh3, double& sgh4, double& sh2, double& sh3,
364     double& si2, double& si3, double& sl2, double& sl3, double& sl4,
365     double& s1, double& s2, double& s3, double& s4, double& s5,

```

```

366     double& s6,      double& s7,      double& ss1,    double& ss2,    double& ss3,
367     double& ss4,    double& ss5,    double& ss6,    double& ss7,    double& sz1,
368     double& sz2,    double& sz3,    double& sz11,   double& sz12,   double& sz13,
369     double& sz21,   double& sz22,   double& sz23,   double& sz31,   double& sz32,
370     double& sz33,   double& xgh2,   double& xgh3,   double& xgh4,   double& xh2,
371     double& xh3,    double& xi2,    double& xi3,    double& xl2,    double& xl3,
372     double& xl4,    double& nm,     double& z1,     double& z2,     double& z3,
373     double& z11,    double& z12,    double& z13,    double& z21,    double& z22,
374     double& z23,    double& z31,    double& z32,    double& z33,    double& zmol,
375     double& zmos
376 )
377 {
378     /* ----- constants ----- */
379     const double zes      = 0.01675;
380     const double zel      = 0.05490;
381     const double clss     = 2.9864797e-6;
382     const double c1l      = 4.7968065e-7;
383     const double zsinis   = 0.39785416;
384     const double zcosis   = 0.91744867;
385     const double zcosgs   = 0.1945905;
386     const double zsings   = -0.98088458;
387     const double twopi    = 2.0 * pi;
388
389     /* ----- local variables ----- */
390     int lsflg;
391     double a1, a2, a3, a4, a5, a6, a7,
392            a8, a9, a10, betasq, cc, ctem, stem,
393            x1, x2, x3, x4, x5, x6, x7,
394            x8, xnodce, xnoi, zcosg, zcosgl, zcosh, zcoshl,
395            zcosi, zcosil, zsing, zsingl, zsinh, zsinhl, zsinil,
396            zx, zy;
397
398     nm      = np;
399     em      = ep;
400     snodm   = sin(nodep);
401     cnodm   = cos(nodep);
402     sinomm  = sin(argpp);
403     cosomm  = cos(argpp);
404     sinim   = sin(inclp);
405     cosim   = cos(inclp);
406     emsq    = em * em;
407     betasq  = 1.0 - emsq;
408     rtemsq  = sqrt(betasq);
409
410     /* ----- initialize lunar solar terms ----- */
411     peo     = 0.0;
412     pinco   = 0.0;
413     plo     = 0.0;
414     pgho    = 0.0;
415     pho     = 0.0;
416     day     = epoch + 18261.5 + tc / 1440.0;
417     xnodce  = fmod(4.5236020 - 9.2422029e-4 * day, twopi);
418     stem    = sin(xnodce);
419     ctem    = cos(xnodce);
420     zcosil  = 0.91375164 - 0.03568096 * ctem;
421     zsinil  = sqrt(1.0 - zcosil * zcosil);
422     zsinhl  = 0.089683511 * stem / zsinil;
423     zcoshl  = sqrt(1.0 - zsinhl * zsinhl);
424     gam     = 5.8351514 + 0.0019443680 * day;
425     zx      = 0.39785416 * stem / zsinil;
426     zy      = zcoshl * ctem + 0.91744867 * zsinhl * stem;
427     zx      = atan2(zx, zy);
428     zx      = gam + zx - xnodce;
429     zcosgl  = cos(zx);
430     zsingl  = sin(zx);
431
432     /* ----- do solar terms ----- */
433     zcosg   = zcosgs;
434     zsing   = zsings;
435     zcosi   = zcosis;
436     zsinil  = zsinis;
437     zcosh   = cnodm;
438     zsinh   = snodm;

```

```

439     cc      = c1ss;
440     xnoi    = 1.0 / nm;
441
442     for (lsflg = 1; lsflg <= 2; lsflg++)
443     {
444         a1 = zcosg * zcosh + zsing * zcosi * zsinh;
445         a3 = -zsing * zcosh + zcosg * zcosi * zsinh;
446         a7 = -zcosg * zsinh + zsing * zcosi * zcosh;
447         a8 = zsing * zsinl;
448         a9 = zsing * zsinh + zcosg * zcosi * zcosh;
449         a10 = zcosg * zsinl;
450         a2 = cosim * a7 + sinim * a8;
451         a4 = cosim * a9 + sinim * a10;
452         a5 = -sinim * a7 + cosim * a8;
453         a6 = -sinim * a9 + cosim * a10;
454
455         x1 = a1 * cosomm + a2 * sinomm;
456         x2 = a3 * cosomm + a4 * sinomm;
457         x3 = -a1 * sinomm + a2 * cosomm;
458         x4 = -a3 * sinomm + a4 * cosomm;
459         x5 = a5 * sinomm;
460         x6 = a6 * sinomm;
461         x7 = a5 * cosomm;
462         x8 = a6 * cosomm;
463
464         z31 = 12.0 * x1 * x1 - 3.0 * x3 * x3;
465         z32 = 24.0 * x1 * x2 - 6.0 * x3 * x4;
466         z33 = 12.0 * x2 * x2 - 3.0 * x4 * x4;
467         z1 = 3.0 * (a1 * a1 + a2 * a2) + z31 * emsq;
468         z2 = 6.0 * (a1 * a3 + a2 * a4) + z32 * emsq;
469         z3 = 3.0 * (a3 * a3 + a4 * a4) + z33 * emsq;
470         z11 = -6.0 * a1 * a5 + emsq * (-24.0 * x1 * x7 - 6.0 * x3 * x5);
471         z12 = -6.0 * (a1 * a6 + a3 * a5) + emsq *
472             (-24.0 * (x2 * x7 + x1 * x8) - 6.0 * (x3 * x6 + x4 * x5));
473         z13 = -6.0 * a3 * a6 + emsq * (-24.0 * x2 * x8 - 6.0 * x4 * x6);
474         z21 = 6.0 * a2 * a5 + emsq * (24.0 * x1 * x5 - 6.0 * x3 * x7);
475         z22 = 6.0 * (a4 * a5 + a2 * a6) + emsq *
476             (24.0 * (x2 * x5 + x1 * x6) - 6.0 * (x4 * x7 + x3 * x8));
477         z23 = 6.0 * a4 * a6 + emsq * (24.0 * x2 * x6 - 6.0 * x4 * x8);
478         z1 = z1 + z1 + betasq * z31;
479         z2 = z2 + z2 + betasq * z32;
480         z3 = z3 + z3 + betasq * z33;
481         s3 = cc * xnoi;
482         s2 = -0.5 * s3 / rtemsq;
483         s4 = s3 * rtemsq;
484         s1 = -15.0 * em * s4;
485         s5 = x1 * x3 + x2 * x4;
486         s6 = x2 * x3 + x1 * x4;
487         s7 = x2 * x4 - x1 * x3;
488
489         /* ----- do lunar terms ----- */
490         if (lsflg == 1)
491         {
492             ss1 = s1;
493             ss2 = s2;
494             ss3 = s3;
495             ss4 = s4;
496             ss5 = s5;
497             ss6 = s6;
498             ss7 = s7;
499             sz1 = z1;
500             sz2 = z2;
501             sz3 = z3;
502             sz11 = z11;
503             sz12 = z12;
504             sz13 = z13;
505             sz21 = z21;
506             sz22 = z22;
507             sz23 = z23;
508             sz31 = z31;
509             sz32 = z32;
510             sz33 = z33;
511             zcosg = zcosgl;

```

```

512         zsing = zsingl;
513         zcosi = zcosil;
514         zsini = zsinil;
515         zcosh = zcoshl * cnodm + zsinhl * snodm;
516         zsinh = snodm * zcoshl - cnodm * zsinhl;
517         cc     = c1l;
518     }
519 }
520
521 zmol = fmod(4.7199672 + 0.22997150 * day - gam, twopi);
522 zmos = fmod(6.2565837 + 0.017201977 * day, twopi);
523
524 /* ----- do solar terms ----- */
525 se2 = 2.0 * ss1 * ss6;
526 se3 = 2.0 * ss1 * ss7;
527 si2 = 2.0 * ss2 * sz12;
528 si3 = 2.0 * ss2 * (sz13 - sz11);
529 sl2 = -2.0 * ss3 * sz2;
530 sl3 = -2.0 * ss3 * (sz3 - sz1);
531 sl4 = -2.0 * ss3 * (-21.0 - 9.0 * emsq) * zes;
532 sgh2 = 2.0 * ss4 * sz32;
533 sgh3 = 2.0 * ss4 * (sz33 - sz31);
534 sgh4 = -18.0 * ss4 * zes;
535 sh2 = -2.0 * ss2 * sz22;
536 sh3 = -2.0 * ss2 * (sz23 - sz21);
537
538 /* ----- do lunar terms ----- */
539 ee2 = 2.0 * s1 * s6;
540 e3  = 2.0 * s1 * s7;
541 xi2 = 2.0 * s2 * z12;
542 xi3 = 2.0 * s2 * (z13 - z11);
543 xl2 = -2.0 * s3 * z2;
544 xl3 = -2.0 * s3 * (z3 - z1);
545 xl4 = -2.0 * s3 * (-21.0 - 9.0 * emsq) * zel;
546 xgh2 = 2.0 * s4 * z32;
547 xgh3 = 2.0 * s4 * (z33 - z31);
548 xgh4 = -18.0 * s4 * zel;
549 xh2 = -2.0 * s2 * z22;
550 xh3 = -2.0 * s2 * (z23 - z21);
551
552 //#include "debug2.cpp"
553 } // end dscom
554
555 /*-----
556 *
557 *
558 *
559 * this procedure provides deep space contributions to mean motion dot due
560 * to geopotential resonance with half day and one day orbits.
561 *
562 * author          : david vallado              719-573-2600   28 jun 2005
563 *
564 * inputs          :
565 *   cosim, sinim-
566 *   emsq          - eccentricity squared
567 *   argpo        - argument of perigee
568 *   s1, s2, s3, s4, s5 -
569 *   ss1, ss2, ss3, ss4, ss5 -
570 *   sz1, sz3, sz11, sz13, sz21, sz23, sz31, sz33 -
571 *   t            - time
572 *   tc          -
573 *   gsto        - greenwich sidereal time                rad
574 *   mo          - mean anomaly
575 *   mdot        - mean anomaly dot (rate)
576 *   no          - mean motion
577 *   nodeo       - right ascension of ascending node
578 *   nodedot     - right ascension of ascending node dot (rate)
579 *   xpidot      -
580 *   z1, z3, z11, z13, z21, z23, z31, z33 -
581 *   eccm        - eccentricity
582 *   argpm       - argument of perigee
583 *   inclm       - inclination
584 *   mm          - mean anomaly

```

```

585 *      xn          - mean motion
586 *      nodem       - right ascension of ascending node
587 *
588 *  outputs        :
589 *      em          - eccentricity
590 *      argpm       - argument of perigee
591 *      inclm       - inclination
592 *      mm          - mean anomaly
593 *      nm          - mean motion
594 *      nodem       - right ascension of ascending node
595 *      irez        - flag for resonance          0-none, 1-one day, 2-half day
596 *      atime       -
597 *      d2201, d2211, d3210, d3222, d4410, d4422, d5220, d5232, d5421, d5433 -
598 *      dedt        -
599 *      didt        -
600 *      dmdt        -
601 *      dndt        -
602 *      dnodt       -
603 *      domdt       -
604 *      dell, del2, del3 -
605 *      ses , sghl , sghs , sgs , shl , shs , sis , sls
606 *      theta       -
607 *      xfact       -
608 *      xlamo       -
609 *      xli         -
610 *      xni         -
611 *
612 *  locals         :
613 *      ainv2       -
614 *      aonv        -
615 *      cosisq      -
616 *      eoc         -
617 *      f220, f221, f311, f321, f322, f330, f441, f442, f522, f523, f542, f543 -
618 *      g200, g201, g211, g300, g310, g322, g410, g422, g520, g521, g532, g533 -
619 *      sini2       -
620 *      temp        -
621 *      temp1       -
622 *      theta       -
623 *      xno2        -
624 *
625 *  coupling       :
626 *      getgravconst
627 *
628 *  references      :
629 *      hoots, roehrich, norad spacetrack report #3 1980
630 *      hoots, norad spacetrack report #6 1986
631 *      hoots, schumacher and glover 2004
632 *      vallado, crawford, hujsak, kelso 2006
633 * -----*/
634
635 static void dsinit
636 (
637     gravconsttype whichconst,
638     double cosim, double emsq, double argpo, double s1, double s2,
639     double s3, double s4, double s5, double sinim, double ss1,
640     double ss2, double ss3, double ss4, double ss5, double sz1,
641     double sz3, double sz11, double sz13, double sz21, double sz23,
642     double sz31, double sz33, double t, double tc, double gsto,
643     double mo, double mdot, double no, double nodeo, double nodedot,
644     double xpidot, double z1, double z3, double z11, double z13,
645     double z21, double z23, double z31, double z33, double ecco,
646     double eccsq, double& em, double& argpm, double& inclm, double& mm,
647     double& nm, double& nodem,
648     int& irez,
649     double& atime, double& d2201, double& d2211, double& d3210, double& d3222,
650     double& d4410, double& d4422, double& d5220, double& d5232, double& d5421,
651     double& d5433, double& dedt, double& didt, double& dmdt, double& dndt,
652     double& dnodt, double& domdt, double& dell, double& del2, double& del3,
653     double& xfact, double& xlamo, double& xli, double& xni
654 )
655 {
656     /* ----- local variables ----- */
657     const double twopi = 2.0 * pi;

```

```

658
659 double ainvt2 , aonv=0.0, cosisq, eoc, f220 , f221 , f311 ,
660     f321 , f322 , f330 , f441 , f442 , f522 , f523 ,
661     f542 , f543 , g200 , g201 , g211 , g300 , g310 ,
662     g322 , g410 , g422 , g520 , g521 , g532 , g533 ,
663     ses , sgs , sgh1 , sghs , shs , sh11 , sis ,
664     sini2 , sls , temp , temp1 , theta , xno2 , q22 ,
665     q31 , q33 , root22, root44, root54, rptim , root32,
666     root52, x2o3 , xke , znl , emo , zns , emsqo,
667     tumin, mu, radioTierra, j2, j3, j4, j3oj2;
668
669 q22     = 1.7891679e-6;
670 q31     = 2.1460748e-6;
671 q33     = 2.2123015e-7;
672 root22  = 1.7891679e-6;
673 root44  = 7.3636953e-9;
674 root54  = 2.1765803e-9;
675 rptim   = 4.37526908801129966e-3; // this equates to 7.29211514668855e-5 rad/sec
676 root32  = 3.7393792e-7;
677 root52  = 1.1428639e-7;
678 x2o3    = 2.0 / 3.0;
679 znl     = 1.5835218e-4;
680 zns     = 1.19459e-5;
681
682 // sgp4fix identify constants and allow alternate values
683 getgravconst( whichconst, tumin, mu, radioTierra, xke, j2, j3, j4, j3oj2 );
684
685 /* ----- deep space initialization ----- */
686 irez = 0;
687 if ((nm < 0.0052359877) && (nm > 0.0034906585))
688     irez = 1;
689 if ((nm >= 8.26e-3) && (nm <= 9.24e-3) && (em >= 0.5))
690     irez = 2;
691
692 /* ----- do solar terms ----- */
693 ses = ss1 * zns * ss5;
694 sis = ss2 * zns * (sz11 + sz13);
695 sls = -zns * ss3 * (sz1 + sz3 - 14.0 - 6.0 * emsq);
696 sghs = ss4 * zns * (sz31 + sz33 - 6.0);
697 shs = -zns * ss2 * (sz21 + sz23);
698 // sgp4fix for 180 deg incl
699 if ((inclm < 5.2359877e-2) || (inclm > pi - 5.2359877e-2))
700     shs = 0.0;
701 if (sinim != 0.0)
702     shs = shs / sinim;
703 sgs = sghs - cosim * shs;
704
705 /* ----- do lunar terms ----- */
706 dedt = ses + s1 * znl * s5;
707 didt = sis + s2 * znl * (z11 + z13);
708 dmdt = sls - znl * s3 * (z1 + z3 - 14.0 - 6.0 * emsq);
709 sgh1 = s4 * znl * (z31 + z33 - 6.0);
710 sh11 = -znl * s2 * (z21 + z23);
711 // sgp4fix for 180 deg incl
712 if ((inclm < 5.2359877e-2) || (inclm > pi - 5.2359877e-2))
713     sh11 = 0.0;
714 domdt = sgs + sgh1;
715 dnodt = shs;
716 if (sinim != 0.0)
717     {
718         domdt = domdt - cosim / sinim * sh11;
719         dnodt = dnodt + sh11 / sinim;
720     }
721
722 /* ----- calculate deep space resonance effects ----- */
723 dn dt = 0.0;
724 theta = fmod(gsto + tc * rptim, twopi);
725 em = em + dedt * t;
726 inclm = inclm + didt * t;
727 argpm = argpm + domdt * t;
728 nodem = nodem + dnodt * t;
729 mm = mm + dmdt * t;
730 // sgp4fix for negative inclinations

```

```

731 // the following if statement should be commented out
732 //if (inclm < 0.0)
733 // {
734 //   inclm = -inclm;
735 //   argpm = argpm - pi;
736 //   nodem = nodem + pi;
737 // }
738
739 /* ----- initialize the resonance terms ----- */
740 if (irez != 0)
741 {
742   aonv = pow(nm / xke, x2o3);
743
744   /* ----- geopotential resonance for 12 hour orbits ----- */
745   if (irez == 2)
746   {
747     cosisq = cosim * cosim;
748     emo     = em;
749     em      = ecco;
750     emsqo   = emsq;
751     emsq    = eccsq;
752     eoc     = em * emsq;
753     g201    = -0.306 - (em - 0.64) * 0.440;
754
755     if (em <= 0.65)
756     {
757       g211 = 3.616 - 13.2470 * em + 16.2900 * emsq;
758       g310 = -19.302 + 117.3900 * em - 228.4190 * emsq + 156.5910 * eoc;
759       g322 = -18.9068 + 109.7927 * em - 214.6334 * emsq + 146.5816 * eoc;
760       g410 = -41.122 + 242.6940 * em - 471.0940 * emsq + 313.9530 * eoc;
761       g422 = -146.407 + 841.8800 * em - 1629.014 * emsq + 1083.4350 * eoc;
762       g520 = -532.114 + 3017.977 * em - 5740.032 * emsq + 3708.2760 * eoc;
763     }
764     else
765     {
766       g211 = -72.099 + 331.819 * em - 508.738 * emsq + 266.724 *
767       eoc;
768       g310 = -346.844 + 1582.851 * em - 2415.925 * emsq + 1246.113 *
769       eoc;
770       g322 = -342.585 + 1554.908 * em - 2366.899 * emsq + 1215.972 *
771       eoc;
772       g410 = -1052.797 + 4758.686 * em - 7193.992 * emsq + 3651.957 *
773       eoc;
774       g422 = -3581.690 + 16178.110 * em - 24462.770 * emsq + 12422.520 *
775       eoc;
776       if (em > 0.715)
777         g520 = -5149.66 + 29936.92 * em - 54087.36 * emsq + 31324.56 *
778         eoc;
779       else
780         g520 = 1464.74 - 4664.75 * em + 3763.64 * emsq;
781     }
782     if (em < 0.7)
783     {
784       g533 = -919.22770 + 4988.6100 * em - 9064.7700 * emsq + 5542.21 *
785       eoc;
786       g521 = -822.71072 + 4568.6173 * em - 8491.4146 * emsq + 5337.524 *
787       eoc;
788       g532 = -853.66600 + 4690.2500 * em - 8624.7700 * emsq + 5341.4 *
789       eoc;
790     }
791     else
792     {
793       g533 = -37995.780 + 161616.52 * em - 229838.20 * emsq + 109377.94 *
794       eoc;
795       g521 = -51752.104 + 218913.95 * em - 309468.16 * emsq + 146349.42 *
796       eoc;
797       g532 = -40023.880 + 170470.89 * em - 242699.48 * emsq + 115605.82 *
798       eoc;
799     }
800
801     sini2= sinim * sinim;
802     f220 = 0.75 * (1.0 + 2.0 * cosim+cosisq);
803     f221 = 1.5 * sini2;

```

```

792     f321 = 1.875 * sinim * (1.0 - 2.0 * cosim - 3.0 * cosisq);
793     f322 = -1.875 * sinim * (1.0 + 2.0 * cosim - 3.0 * cosisq);
794     f441 = 35.0 * sini2 * f220;
795     f442 = 39.3750 * sini2 * sini2;
796     f522 = 9.84375 * sinim * (sini2 * (1.0 - 2.0 * cosim - 5.0 * cosisq) +
797         0.333333333 * (-2.0 + 4.0 * cosim + 6.0 * cosisq) );
798     f523 = sinim * (4.92187512 * sini2 * (-2.0 - 4.0 * cosim +
799         10.0 * cosisq) + 6.56250012 * (1.0+2.0 * cosim - 3.0 * cosisq));
800     f542 = 29.53125 * sinim * (2.0 - 8.0 * cosim+cosisq *
801         (-12.0 + 8.0 * cosim + 10.0 * cosisq));
802     f543 = 29.53125 * sinim * (-2.0 - 8.0 * cosim+cosisq *
803         (12.0 + 8.0 * cosim - 10.0 * cosisq));
804     xno2 = nm * nm;
805     ainv2 = aonv * aonv;
806     templ = 3.0 * xno2 * ainv2;
807     temp = templ * root22;
808     d2201 = temp * f220 * g201;
809     d2211 = temp * f221 * g211;
810     templ = templ * aonv;
811     temp = templ * root32;
812     d3210 = temp * f321 * g310;
813     d3222 = temp * f322 * g322;
814     templ = templ * aonv;
815     temp = 2.0 * templ * root44;
816     d4410 = temp * f441 * g410;
817     d4422 = temp * f442 * g422;
818     templ = templ * aonv;
819     temp = templ * root52;
820     d5220 = temp * f522 * g520;
821     d5232 = temp * f523 * g532;
822     temp = 2.0 * templ * root54;
823     d5421 = temp * f542 * g521;
824     d5433 = temp * f543 * g533;
825     xlam0 = fmod(mo + nodeo + nodeo-theta - theta, twopi);
826     xfact = mdot + dmdt + 2.0 * (nodedot + dnodt - rptim) - no;
827     em = emo;
828     emsq = emsqo;
829 }
830
831 /* ----- synchronous resonance terms ----- */
832 if (irez == 1)
833 {
834     g200 = 1.0 + emsq * (-2.5 + 0.8125 * emsq);
835     g310 = 1.0 + 2.0 * emsq;
836     g300 = 1.0 + emsq * (-6.0 + 6.60937 * emsq);
837     f220 = 0.75 * (1.0 + cosim) * (1.0 + cosim);
838     f311 = 0.9375 * sinim * sinim * (1.0 + 3.0 * cosim) - 0.75 * (1.0 +
839         cosim);
840     f330 = 1.0 + cosim;
841     f330 = 1.875 * f330 * f330 * f330;
842     del1 = 3.0 * nm * nm * aonv * aonv;
843     del2 = 2.0 * del1 * f220 * g200 * q22;
844     del3 = 3.0 * del1 * f330 * g300 * q33 * aonv;
845     del1 = del1 * f311 * g310 * q31 * aonv;
846     xlam0 = fmod(mo + nodeo + argpo - theta, twopi);
847     xfact = mdot + xpidot - rptim + dmdt + domdt + dnodt - no;
848 }
849
850 /* ----- for sgp4, initialize the integrator ----- */
851 xli = xlam0;
852 xni = no;
853 atime = 0.0;
854 nm = no + dndt;
855 }
856
857 // #include "debug3.cpp"
858 } // end dsinit
859
860 /*-----
861 *
862 *
863 * this procedure provides deep space contributions to mean elements for

```



```

864 *   perturbing third body.  these effects have been averaged over one
865 *   revolution of the sun and moon.  for earth resonance effects, the
866 *   effects have been averaged over no revolutions of the satellite.
867 *   (mean motion)
868 *
869 *   author           : david vallado           719-573-2600   28 jun 2005
870 *
871 *   inputs           :
872 *   d2201, d2211, d3210, d3222, d4410, d4422, d5220, d5232, d5421, d5433 -
873 *   dedt             -
874 *   del1, del2, del3 -
875 *   didt             -
876 *   dmdt             -
877 *   dnodt            -
878 *   domdt            -
879 *   irez             - flag for resonance           0-none, 1-one day, 2-half day
880 *   argpo            - argument of perigee
881 *   argpdot          - argument of perigee dot (rate)
882 *   t                - time
883 *   tc               -
884 *   gsto             - gst
885 *   xfact            -
886 *   xlamo            -
887 *   no               - mean motion
888 *   atime            -
889 *   em               - eccentricity
890 *   ft               -
891 *   argpm            - argument of perigee
892 *   inclm            - inclination
893 *   xli              -
894 *   mm               - mean anomaly
895 *   xni              - mean motion
896 *   nodem            - right ascension of ascending node
897 *
898 *   outputs          :
899 *   atime            -
900 *   em               - eccentricity
901 *   argpm            - argument of perigee
902 *   inclm            - inclination
903 *   xli              -
904 *   mm               - mean anomaly
905 *   xni              -
906 *   nodem            - right ascension of ascending node
907 *   dndt             -
908 *   nm               - mean motion
909 *
910 *   locals           :
911 *   delt             -
912 *   ft               -
913 *   theta            -
914 *   x2li             -
915 *   x2omi            -
916 *   xl               -
917 *   xldot            -
918 *   xnndt            -
919 *   xndt             -
920 *   xomi             -
921 *
922 *   coupling         :
923 *   none             -
924 *
925 *   references       :
926 *   hoots, roehrich, norad spacetrack report #3 1980
927 *   hoots, norad spacetrack report #6 1986
928 *   hoots, schumacher and glover 2004
929 *   vallado, crawford, hujsak, kelso 2006
930 * -----*/
931
932 static void dspace
933 (
934     int irez,
935     double d2201, double d2211, double d3210, double d3222, double d4410,
936     double d4422, double d5220, double d5232, double d5421, double d5433,

```

```

937         double dedt,      double dell,      double del2,      double del3,      double didt,
938         double dmdt,      double dnodt,    double domdt,    double argpo,    double argpdot,
939         double t,         double tc,       double gsto,     double xfact,    double xlamo,
940         double no,
941         double& atime,    double& em,      double& argpm,   double& inclm,   double& xli,
942         double& mm,      double& xni,     double& nodem,   double& dndt,    double& nm
943     )
944 {
945     const double twopi = 2.0 * pi;
946     int iretn , iret;
947     double delt, ft, theta, x2li, x2omi, xl, xldot , xnddt, xndt, xomi, g22, g32,
948         g44, g52, g54, fasx2, fasx4, fasx6, rptim , step2, stepn , stepp;
949
950     fasx2 = 0.13130908;
951     fasx4 = 2.8843198;
952     fasx6 = 0.37448087;
953     g22   = 5.7686396;
954     g32   = 0.95240898;
955     g44   = 1.8014998;
956     g52   = 1.0508330;
957     g54   = 4.4108898;
958     rptim = 4.37526908801129966e-3; // this equates to 7.29211514668855e-5 rad/sec
959     stepp = 720.0;
960     stepn = -720.0;
961     step2 = 259200.0;
962
963     /* ----- calculate deep space resonance effects ----- */
964     dndt   = 0.0;
965     theta  = fmod(gsto + tc * rptim, twopi);
966     em     = em + dedt * t;
967
968     inclm  = inclm + didt * t;
969     argpm  = argpm + domdt * t;
970     nodem  = nodem + dnodt * t;
971     mm     = mm + dmdt * t;
972
973     // sgp4fix for negative inclinations
974     // the following if statement should be commented out
975     // if (inclm < 0.0)
976     // {
977     //     inclm = -inclm;
978     //     argpm = argpm - pi;
979     //     nodem = nodem + pi;
980     // }
981
982     /* - update resonances : numerical (euler-maclaurin) integration - */
983     /* ----- epoch restart ----- */
984     // sgp4fix for propagator problems
985     // the following integration works for negative time steps and periods
986     // the specific changes are unknown because the original code was so convoluted
987
988     // sgp4fix take out atime = 0.0 and fix for faster operation
989     ft = 0.0;
990     if (irez != 0)
991     {
992         // sgp4fix streamline check
993         if ((atime == 0.0) || (t * atime <= 0.0) || (fabs(t) < fabs(atime)) )
994         {
995             atime = 0.0;
996             xni   = no;
997             xli   = xlamo;
998         }
999         // sgp4fix move check outside loop
1000        if (t > 0.0)
1001            delt = stepp;
1002        else
1003            delt = stepn;
1004
1005        iretn = 381; // added for do loop
1006        iret  = 0; // added for loop
1007        while (iretn == 381)
1008        {
1009            /* ----- dot terms calculated ----- */

```

```

1010      /* ----- near - synchronous resonance terms ----- */
1011      if (irez != 2)
1012      {
1013          xndt = del1 * sin(xli - fasx2) + del2 * sin(2.0 * (xli - fasx4)) +
1014              del3 * sin(3.0 * (xli - fasx6));
1015          xldot = xni + xfact;
1016          xnddt = del1 * cos(xli - fasx2) +
1017              2.0 * del2 * cos(2.0 * (xli - fasx4)) +
1018              3.0 * del3 * cos(3.0 * (xli - fasx6));
1019          xnddt = xnddt * xldot;
1020      }
1021      else
1022      {
1023          /* ----- near - half-day resonance terms ----- */
1024          xomi = argpo + argpdot * atime;
1025          x2omi = xomi + xomi;
1026          x2li = xli + xli;
1027          xndt = d2201 * sin(x2omi + xli - g22) + d2211 * sin(xli - g22) +
1028              d3210 * sin(xomi + xli - g32) + d3222 * sin(-xomi + xli -
1029              g32) +
1030              d4410 * sin(x2omi + x2li - g44) + d4422 * sin(x2li - g44) +
1031              d5220 * sin(xomi + xli - g52) + d5232 * sin(-xomi + xli -
1032              g52) +
1033              d5421 * sin(xomi + x2li - g54) + d5433 * sin(-xomi + x2li -
1034              g54);
1035          xldot = xni + xfact;
1036          xnddt = d2201 * cos(x2omi + xli - g22) + d2211 * cos(xli - g22) +
1037              d3210 * cos(xomi + xli - g32) + d3222 * cos(-xomi + xli -
1038              g32) +
1039              d5220 * cos(xomi + xli - g52) + d5232 * cos(-xomi + xli -
1040              g52) +
1041              2.0 * (d4410 * cos(x2omi + x2li - g44) +
1042              d4422 * cos(x2li - g44) + d5421 * cos(xomi + x2li - g54) +
1043              d5433 * cos(-xomi + x2li - g54));
1044          xnddt = xnddt * xldot;
1045      }
1046
1047      /* ----- integrator ----- */
1048      // sgp4fix move end checks to end of routine
1049      if (fabs(t - atime) >= stepp)
1050      {
1051          iret = 0;
1052          iretn = 381;
1053      }
1054      else // exit here
1055      {
1056          ft = t - atime;
1057          iretn = 0;
1058      }
1059
1060      if (iretn == 381)
1061      {
1062          xli = xli + xldot * delt + xndt * step2;
1063          xni = xni + xndt * delt + xnddt * step2;
1064          atime = atime + delt;
1065      }
1066      // while iretn = 381
1067
1068      nm = xni + xndt * ft + xnddt * ft * ft * 0.5;
1069      xl = xli + xldot * ft + xndt * ft * ft * 0.5;
1070      if (irez != 1)
1071      {
1072          mm = xl - 2.0 * nodem + 2.0 * theta;
1073          dndt = nm - no;
1074      }
1075      else
1076      {
1077          mm = xl - nodem - argpm + theta;
1078          dndt = nm - no;
1079      }
1080      nm = no + dndt;
1081  }

```

```

1078 // #include "debug4.cpp"
1079 } // end dsspace
1080
1081 /*-----*/
1082 *
1083 *           procedure initl
1084 *
1085 * this procedure initializes the spg4 propagator. all the initialization is
1086 * consolidated here instead of having multiple loops inside other routines.
1087 *
1088 * author      : david vallado           719-573-2600   28 jun 2005
1089 *
1090 * inputs      :
1091 *   ecco       - eccentricity                0.0 - 1.0
1092 *   epoch      - epoch time in days from jan 0, 1950. 0 hr
1093 *   inclo      - inclination of satellite
1094 *   no         - mean motion of satellite
1095 *   satn       - satellite number
1096 *
1097 * outputs     :
1098 *   ainv       - 1.0 / a
1099 *   ao         - semi major axis
1100 *   con41      -
1101 *   con42      - 1.0 - 5.0 cos(i)
1102 *   cosio      - cosine of inclination
1103 *   cosio2     - cosio squared
1104 *   eccsq      - eccentricity squared
1105 *   method     - flag for deep space           'd', 'n'
1106 *   omeosq     - 1.0 - ecco * ecco
1107 *   posq       - semi-parameter squared
1108 *   rp         - radius of perigee
1109 *   rteosq     - square root of (1.0 - ecco*ecco)
1110 *   sinio      - sine of inclination
1111 *   gsto       - gst at time of observation    rad
1112 *   no         - mean motion of satellite
1113 *
1114 * locals      :
1115 *   ak         -
1116 *   dl         -
1117 *   del        -
1118 *   adel       -
1119 *   po         -
1120 *
1121 * coupling    :
1122 *   getgravconst
1123 *   gstime     - find greenwich sidereal time from the julian date
1124 *
1125 * references   :
1126 *   hoots, roehrich, norad spacetrack report #3 1980
1127 *   hoots, norad spacetrack report #6 1986
1128 *   hoots, schumacher and glover 2004
1129 *   vallado, crawford, hujsak, kelso 2006
1130 -----*/
1131
1132 static void initl
1133 (
1134     int satn,          gravconsttype whichconst,
1135     double ecco,      long int epoch,  double epoch_fraccion,
1136     double inclo,     double& no, char& method, double& ainv,
1137     double& ao,       double& con41,  double& con42, double& cosio,
1138     double& cosio2,  double& eccsq,  double& omeosq, double& posq,
1139     double& rp,       double& rteosq, double& sinio , double& gsto,
1140     char opsmode
1141 )
1142 {
1143     /* ----- local variables ----- */
1144     double ak, dl, del, adel, po, x2o3, j2, xke,
1145            tumin, mu, radiusearthkm, j3, j4, j3oj2;
1146
1147     // sgp4fix use old way of finding gst
1148     double ds70;
1149     double ts70, /*tfrac,*/ c1, thgr70, fk5r, clp2p, ts70_2;
1150     const double twopi = 2.0 * pi;

```

```

1151
1152 /* ----- earth constants ----- */
1153 // sgp4fix identify constants and allow alternate values
1154 getgravconst( whichconst, tumin, mu, radiusearthkm, xke, j2, j3, j4, j3oj2 );
1155 x2o3 = 2.0 / 3.0;
1156
1157 /* ----- calculate auxillary epoch quantities ----- */
1158 eccsq = ecco * ecco;
1159 omeosq = 1.0 - eccsq;
1160 rteosq = sqrt(omeosq);
1161 cosio = cos(inclo);
1162 cosio2 = cosio * cosio;
1163
1164 /* ----- un-kozai the mean motion ----- */
1165 ak = pow(xke / no, x2o3);
1166 dl = 0.75 * j2 * (3.0 * cosio2 - 1.0) / (rteosq * omeosq);
1167 del = dl / (ak * ak);
1168 adel = ak * (1.0 - del * del - del *
1169 (1.0 / 3.0 + 134.0 * del * del / 81.0));
1170 del = dl / (adel * adel);
1171 no = no / (1.0 + del);
1172
1173 ao = pow(xke / no, x2o3);
1174 sinio = sin(inclo);
1175 po = ao * omeosq;
1176 con42 = 1.0 - 5.0 * cosio2;
1177 con41 = -con42 - cosio2 - cosio2;
1178 ainv = 1.0 / ao;
1179 posq = po * po;
1180 rp = ao * (1.0 - ecco);
1181 method = 'n';
1182
1183 // sgp4fix modern approach to finding sidereal time
1184 if (opsmode == 'a')
1185 {
1186 // sgp4fix use old way of finding gst
1187 // count integer number of days from 0 jan 1970
1188
1189 /*
1190 ts70 = epoch - 7305.0;
1191 ds70 = floor(ts70 + 1.0e-8);
1192 tfrac = ts70 - ds70;
1193 */
1194
1195 ds70 = epoch - 7305.0;
1196 ts70 = ds70 + epoch_fraccion;
1197 // find greenwich location at epoch
1198 c1 = 1.72027916940703639e-2;
1199 thgr70 = 1.7321343856509374;
1200 fk5r = 5.07551419432269442e-15;
1201 clp2p = c1 + twopi;
1202 gsto = fmod( thgr70 + c1*ds70 + clp2p*epoch_fraccion + ts70*ts70*fk5r,
1203 twopi);
1204 if ( gsto < 0.0 )
1205 gsto = gsto + twopi;
1206 }
1207 else
1208 gsto = gstime(epoch + 2433281.5);
1209
1210 // #include "debug5.cpp"
1211 } // end initl
1212
1213 /*-----
1214 *
1215 * procedure sgp4init
1216 *
1217 * this procedure initializes variables for sgp4.
1218 *
1219 * author : david vallado 719-573-2600 28 jun 2005
1220 *
1221 * inputs :
1222 * opsmode - mode of operation afspc or improved 'a', 'i'

```

```

1223 *   whichconst - which set of constants to use 72, 84
1224 *   satn      - satellite number
1225 *   bstar     - sgp4 type drag coefficient          kg/m2er
1226 *   ecco      - eccentricity
1227 *   epoch     - epoch time in days from jan 0, 1950. 0 hr
1228 *   argpo     - argument of perigee (output if ds)
1229 *   inclo     - inclination
1230 *   mo        - mean anomaly (output if ds)
1231 *   no        - mean motion
1232 *   nodeo     - right ascension of ascending node
1233 *
1234 * outputs    :
1235 *   satrec    - common values for subsequent calls
1236 *   return code - non-zero on error.
1237 *           1 - mean elements, ecc >= 1.0 or ecc < -0.001 or a < 0.95 er
1238 *           2 - mean motion less than 0.0
1239 *           3 - pert elements, ecc < 0.0 or ecc > 1.0
1240 *           4 - semi-latus rectum < 0.0
1241 *           5 - epoch elements are sub-orbital
1242 *           6 - satellite has decayed
1243 *
1244 * locals     :
1245 *   cnodm , snodm , cosim , sinim , cosomm , sinomm
1246 *   cclsq , cc2   , cc3
1247 *   coef   , coef1
1248 *   cosio4 -
1249 *   day     -
1250 *   dn dt   -
1251 *   em      - eccentricity
1252 *   emsq    - eccentricity squared
1253 *   eeta    -
1254 *   etasq   -
1255 *   gam     -
1256 *   argpm   - argument of perigee
1257 *   nodem   -
1258 *   inclm   - inclination
1259 *   mm      - mean anomaly
1260 *   nm      - mean motion
1261 *   perige  - perigee
1262 *   pinvsq  -
1263 *   psisq   -
1264 *   qzms24  -
1265 *   rtemsq  -
1266 *   s1, s2, s3, s4, s5, s6, s7 -
1267 *   sfour   -
1268 *   ss1, ss2, ss3, ss4, ss5, ss6, ss7 -
1269 *   sz1, sz2, sz3
1270 *   sz11, sz12, sz13, sz21, sz22, sz23, sz31, sz32, sz33 -
1271 *   tc      -
1272 *   temp    -
1273 *   temp1, temp2, temp3 -
1274 *   tsi     -
1275 *   xpidot  -
1276 *   xhdot1  -
1277 *   z1, z2, z3 -
1278 *   z11, z12, z13, z21, z22, z23, z31, z32, z33 -
1279 *
1280 * coupling   :
1281 *   getgravconst-
1282 *   initl    -
1283 *   dscom    -
1284 *   dpper    -
1285 *   dsinit   -
1286 *   sgp4     -
1287 *
1288 * references :
1289 *   hoots, roehrich, norad spacetrack report #3 1980
1290 *   hoots, norad spacetrack report #6 1986
1291 *   hoots, schumacher and glover 2004
1292 *   vallado, crawford, hujsak, kelso 2006
1293 * -----*/
1294
1295 bool sgp4init

```

```

1296 (
1297     gravconsttype whichconst, char opsmode, const int satn,
1298     const long int epoch, const double epoch_fraccion,
1299     const double xbstar, const double xecco,
1300     const double xargpo, const double xinclo, const double xmo,
1301     const double xno, const double xnodeo, elsetrec& satrec
1302 )
1303 {
1304     /* ----- local variables ----- */
1305     double ao, ainv, con42, cosio, sinio, cosio2, eccsq,
1306         omeosq, posq, rp, rteosq,
1307         cnodm, snodm, cosim, sinim, cosomm, sinomm, cclsq,
1308         cc2, cc3, coef, coef1, cosio4, day, dndt,
1309         em, emsq, eeta, etasq, gam, argpm, nodem,
1310         inclm, mm, nm, perige, pinvsq, psisq, qzms24,
1311         rtemsq, s1, s2, s3, s4, s5, s6,
1312         s7, sfour, ss1, ss2, ss3, ss4, ss5,
1313         ss6, ss7, sz1, sz2, sz3, sz11, sz12,
1314         sz13, sz21, sz22, sz23, sz31, sz32, sz33,
1315         tc, temp, temp1, temp2, temp3, tsi, xpidot,
1316         xhdot1, z1, z2, z3, z11, z12, z13,
1317         z21, z22, z23, z31, z32, z33,
1318         qzms2t, ss, j2, j3oj2, j4, x2o3, r[3], v[3],
1319         tumin, mu, radiusearthkm, xke, j3, delmotemp, qzms2ttemp, qzms24temp;
1320     double epoca;
1321
1322     /* ----- initialization ----- */
1323     // sgp4fix divisor for divide by zero check on inclination
1324     // the old check used 1.0 + cos(pi-1.0e-9), but then compared it to
1325     // 1.5 e-12, so the threshold was changed to 1.5e-12 for consistency
1326     const double temp4 = 1.5e-12;
1327
1328     /* ----- set all near earth variables to zero ----- */
1329     satrec.isimp = 0; satrec.method = 'n'; satrec.aycof = 0.0;
1330     satrec.con41 = 0.0; satrec.ccl = 0.0; satrec.cc4 = 0.0;
1331     satrec.cc5 = 0.0; satrec.d2 = 0.0; satrec.d3 = 0.0;
1332     satrec.d4 = 0.0; satrec.delmo = 0.0; satrec.eta = 0.0;
1333     satrec.argpdot = 0.0; satrec.omgcof = 0.0; satrec.sinmao = 0.0;
1334     satrec.t = 0.0; satrec.t2cof = 0.0; satrec.t3cof = 0.0;
1335     satrec.t4cof = 0.0; satrec.t5cof = 0.0; satrec.xlmth2 = 0.0;
1336     satrec.x7thm1 = 0.0; satrec.mdot = 0.0; satrec.nodedot = 0.0;
1337     satrec.xlcof = 0.0; satrec.xmcof = 0.0; satrec.nodecf = 0.0;
1338
1339     /* ----- set all deep space variables to zero ----- */
1340     satrec.irez = 0; satrec.d2201 = 0.0; satrec.d2211 = 0.0;
1341     satrec.d3210 = 0.0; satrec.d3222 = 0.0; satrec.d4410 = 0.0;
1342     satrec.d4422 = 0.0; satrec.d5220 = 0.0; satrec.d5232 = 0.0;
1343     satrec.d5421 = 0.0; satrec.d5433 = 0.0; satrec.dedt = 0.0;
1344     satrec.del1 = 0.0; satrec.del2 = 0.0; satrec.del3 = 0.0;
1345     satrec.didt = 0.0; satrec.dmdt = 0.0; satrec.dnodt = 0.0;
1346     satrec.domdt = 0.0; satrec.e3 = 0.0; satrec.ee2 = 0.0;
1347     satrec.peo = 0.0; satrec.pgho = 0.0; satrec.pho = 0.0;
1348     satrec.pinco = 0.0; satrec.plo = 0.0; satrec.se2 = 0.0;
1349     satrec.se3 = 0.0; satrec.sgh2 = 0.0; satrec.sgh3 = 0.0;
1350     satrec.sgh4 = 0.0; satrec.sh2 = 0.0; satrec.sh3 = 0.0;
1351     satrec.si2 = 0.0; satrec.si3 = 0.0; satrec.sl2 = 0.0;
1352     satrec.sl3 = 0.0; satrec.sl4 = 0.0; satrec.gsto = 0.0;
1353     satrec.xfact = 0.0; satrec.xgh2 = 0.0; satrec.xgh3 = 0.0;
1354     satrec.xgh4 = 0.0; satrec.xh2 = 0.0; satrec.xh3 = 0.0;
1355     satrec.xi2 = 0.0; satrec.xi3 = 0.0; satrec.xl2 = 0.0;
1356     satrec.xl3 = 0.0; satrec.xl4 = 0.0; satrec.xlamo = 0.0;
1357     satrec.zmol = 0.0; satrec.zmos = 0.0; satrec.atime = 0.0;
1358     satrec.xli = 0.0; satrec.xni = 0.0;
1359
1360     // sgp4fix - note the following variables are also passed directly via satrec.
1361     // it is possible to streamline the sgp4init call by deleting the "x"
1362     // variables, but the user would need to set the satrec.* values first. we
1363     // include the additional assignments in case twoline2rv is not used.
1364     satrec.bstar = xbstar;
1365     satrec.ecco = xecco;
1366     satrec.argpo = xargpo;
1367     satrec.inclo = xinclo;
1368     satrec.mo = xmo;

```

```

1369     satrec.no      = xno;
1370     satrec.nodeo  = xnodeo;
1371
1372     // sgp4fix add opsmode
1373     satrec.operationmode = opsmode;
1374
1375     /* ----- earth constants ----- */
1376     // sgp4fix identify constants and allow alternate values
1377     getgravconst( whichconst, tumin, mu, radiusearthkm, xke, j2, j3, j4, j3oj2 );
1378     ss      = 78.0 / radiusearthkm + 1.0;
1379     // sgp4fix use multiply for speed instead of pow
1380     qzms2ttemp = (120.0 - 78.0) / radiusearthkm;
1381     qzms2t     = qzms2ttemp * qzms2ttemp * qzms2ttemp * qzms2ttemp;
1382     x2o3      = 2.0 / 3.0;
1383
1384     satrec.init = 'y';
1385     satrec.t    = 0.0;
1386
1387     init1
1388     (
1389         satn, whichconst, satrec.ecco, epoch, epoch_fraccion,
1390         satrec.inclo, satrec.no, satrec.method,
1391         ainv, ao, satrec.con41, con42, cosio, cosio2, eccsq, omeosq,
1392         posq, rp, rteosq, sinio, satrec.gsto, satrec.operationmode
1393     );
1394     satrec.error = 0;
1395
1396     // sgp4fix remove this check as it is unnecessary
1397     // the mrt check in sgp4 handles decaying satellite cases even if the starting
1398     // condition is below the surface of the earth
1399     // if (rp < 1.0)
1400     // {
1401     //     printf("# *** satn%d epoch elts sub-orbital ***\n", satn);
1402     //     satrec.error = 5;
1403     // }
1404
1405     if ((omeosq >= 0.0) || (satrec.no >= 0.0))
1406     {
1407         satrec.isimp = 0;
1408         if (rp < (220.0 / radiusearthkm + 1.0))
1409             satrec.isimp = 1;
1410         sfour = ss;
1411         qzms24 = qzms2t;
1412         perige = (rp - 1.0) * radiusearthkm;
1413
1414         /* - for perigees below 156 km, s and qoms2t are altered - */
1415         if (perige < 156.0)
1416         {
1417             sfour = perige - 78.0;
1418             if (perige < 98.0)
1419                 sfour = 20.0;
1420             // sgp4fix use multiply for speed instead of pow
1421             qzms24temp = (120.0 - sfour) / radiusearthkm;
1422             qzms24 = qzms24temp * qzms24temp * qzms24temp * qzms24temp;
1423             sfour = sfour / radiusearthkm + 1.0;
1424         }
1425         pinvsq = 1.0 / posq;
1426
1427         tsi = 1.0 / (ao - sfour);
1428         satrec.eta = ao * satrec.ecco * tsi;
1429         etasq = satrec.eta * satrec.eta;
1430         eeta = satrec.ecco * satrec.eta;
1431         psisq = fabs(1.0 - etasq);
1432         coef = qzms24 * pow(tsi, 4.0);
1433         coef1 = coef / pow(psisq, 3.5);
1434         cc2 = coef1 * satrec.no * (ao * (1.0 + 1.5 * etasq + eeta *
1435             (4.0 + etasq)) + 0.375 * j2 * tsi / psisq * satrec.con41 *
1436             (8.0 + 3.0 * etasq * (8.0 + etasq)));
1437         satrec.ccl = satrec.bstar * cc2;
1438         cc3 = 0.0;
1439         if (satrec.ecco > 1.0e-4)
1440             cc3 = -2.0 * coef * tsi * j3oj2 * satrec.no * sinio / satrec.ecco;
1441         satrec.xlmth2 = 1.0 - cosio2;

```



```

1442 satrec.cc4 = 2.0 * satrec.no * coef1 * ao * omeosq *
1443 (satrec.eta * (2.0 + 0.5 * etasq) + satrec.ecco *
1444 (0.5 + 2.0 * etasq) - j2 * tsi / (ao * psisq) *
1445 (-3.0 * satrec.con41 * (1.0 - 2.0 * eeta + etasq *
1446 (1.5 - 0.5 * eeta)) + 0.75 * satrec.xmlth2 *
1447 (2.0 * etasq - eeta * (1.0 + etasq)) * cos(2.0 *
satrec.argpo));
1448 satrec.cc5 = 2.0 * coef1 * ao * omeosq * (1.0 + 2.75 *
1449 (etasq + eeta) + eeta * etasq);
1450 cosio4 = cosio2 * cosio2;
1451 temp1 = 1.5 * j2 * pinvsq * satrec.no;
1452 temp2 = 0.5 * temp1 * j2 * pinvsq;
1453 temp3 = -0.46875 * j4 * pinvsq * pinvsq * satrec.no;
1454 satrec.mdot = satrec.no + 0.5 * temp1 * rteosq * satrec.con41 + 0.0625 *
1455 temp2 * rteosq * (13.0 - 78.0 * cosio2 + 137.0 * cosio4);
1456 satrec.argpdot = -0.5 * temp1 * con42 + 0.0625 * temp2 *
1457 (7.0 - 114.0 * cosio2 + 395.0 * cosio4) +
1458 temp3 * (3.0 - 36.0 * cosio2 + 49.0 * cosio4);
1459 xhdot1 = -temp1 * cosio;
1460 satrec.nodedot = xhdot1 + (0.5 * temp2 * (4.0 - 19.0 * cosio2) +
1461 2.0 * temp3 * (3.0 - 7.0 * cosio2)) * cosio;
1462 xpidot = satrec.argpdot + satrec.nodedot;
1463 satrec.omgcof = satrec.bstar * cc3 * cos(satrec.argpo);
1464 satrec.xmcof = 0.0;
1465 if (satrec.ecco > 1.0e-4)
1466 satrec.xmcof = -x2o3 * coef * satrec.bstar / eeta;
1467 satrec.nodecf = 3.5 * omeosq * xhdot1 * satrec.cc1;
1468 satrec.t2cof = 1.5 * satrec.cc1;
1469 // sgp4fix for divide by zero with xinco = 180 deg
1470 if (fabs(cosio+1.0) > 1.5e-12)
1471 satrec.xlcof = -0.25 * j3oj2 * sinio * (3.0 + 5.0 * cosio) / (1.0 +
cosio);
1472 else
1473 satrec.xlcof = -0.25 * j3oj2 * sinio * (3.0 + 5.0 * cosio) / temp4;
1474 satrec.aycof = -0.5 * j3oj2 * sinio;
1475 // sgp4fix use multiply for speed instead of pow
1476 delmotemp = 1.0 + satrec.eta * cos(satrec.mo);
1477 satrec.delmo = delmotemp * delmotemp * delmotemp;
1478 satrec.sinmao = sin(satrec.mo);
1479 satrec.x7thml = 7.0 * cosio2 - 1.0;
1480
1481 /* ----- deep space initialization ----- */
1482 if ((2*pi / satrec.no) >= 225.0)
1483 {
1484 satrec.method = 'd';
1485 satrec.isimp = 1;
1486 tc = 0.0;
1487 inclm = satrec.inclo;
1488 epoca = epoch + epoch_fraccion;
1489 dscom
1490 (
1491 epoca, satrec.ecco, satrec.argpo, tc, satrec.inclo, satrec.nodeo,
1492 satrec.no, snodm, cnodm, sinim, cosim, sinomm, cosomm,
1493 day, satrec.e3, satrec.ee2, em, emsq, gam,
1494 satrec.peo, satrec.pgho, satrec.pho, satrec.pinco,
1495 satrec.plo, rtemsq, satrec.se2, satrec.se3,
1496 satrec.sgh2, satrec.sgh3, satrec.sgh4,
1497 satrec.sh2, satrec.sh3, satrec.si2, satrec.si3,
1498 satrec.sl2, satrec.sl3, satrec.sl4, s1, s2, s3, s4, s5,
1499 s6, s7, ss1, ss2, ss3, ss4, ss5, ss6, ss7, sz1, sz2, sz3,
1500 sz11, sz12, sz13, sz21, sz22, sz23, sz31, sz32, sz33,
1501 satrec.xgh2, satrec.xgh3, satrec.xgh4, satrec.xh2,
1502 satrec.xh3, satrec.xi2, satrec.xi3, satrec.xl2,
1503 satrec.xl3, satrec.xl4, nm, z1, z2, z3, z11,
1504 z12, z13, z21, z22, z23, z31, z32, z33,
1505 satrec.zmol, satrec.zmos
1506 );
1507 dpper
1508 (
1509 satrec.e3, satrec.ee2, satrec.peo, satrec.pgho,
1510 satrec.pho, satrec.pinco, satrec.plo, satrec.se2,
1511 satrec.se3, satrec.sgh2, satrec.sgh3, satrec.sgh4,
1512 satrec.sh2, satrec.sh3, satrec.si2, satrec.si3,

```

```

1513         satrec.sl2, satrec.sl3, satrec.sl4, satrec.t,
1514         satrec.xgh2, satrec.xgh3, satrec.xgh4, satrec.xh2,
1515         satrec.xh3, satrec.xi2, satrec.xi3, satrec.xl2,
1516         satrec.xl3, satrec.xl4, satrec.zmol, satrec.zmos, inclm,
           satrec.init,
1517         satrec.ecco, satrec.inclo, satrec.nodeo, satrec.argpo, satrec.mo,
1518         satrec.operationmode
1519     );
1520
1521     argpm = 0.0;
1522     nodem = 0.0;
1523     mm = 0.0;
1524
1525     dsinit
1526     (
1527         whichconst,
1528         cosim, emsq, satrec.argpo, s1, s2, s3, s4, s5, sinim, ss1, ss2,
           ss3, ss4,
1529         ss5, sz1, sz3, sz11, sz13, sz21, sz23, sz31, sz33, satrec.t, tc,
1530         satrec.gsto, satrec.mo, satrec.mdot, satrec.no, satrec.nodeo,
1531         satrec.nodedot, xpidot, z1, z3, z11, z13, z21, z23, z31, z33,
1532         satrec.ecco, eccsq, em, argpm, inclm, mm, nm, nodem,
1533         satrec.irez, satrec.atime,
1534         satrec.d2201, satrec.d2211, satrec.d3210, satrec.d3222,
1535         satrec.d4410, satrec.d4422, satrec.d5220, satrec.d5232,
1536         satrec.d5421, satrec.d5433, satrec.dedt, satrec.didt,
1537         satrec.dmdt, dndt, satrec.dnodt, satrec.domdt,
1538         satrec.del1, satrec.del2, satrec.del3, satrec.xfact,
1539         satrec.xlamo, satrec.xli, satrec.xni
1540     );
1541 }
1542
1543 /* ----- set variables if not deep space ----- */
1544 if (satrec.isimp != 1)
1545 {
1546     cclsq = satrec.ccl * satrec.ccl;
1547     satrec.d2 = 4.0 * ao * tsi * cclsq;
1548     temp = satrec.d2 * tsi * satrec.ccl / 3.0;
1549     satrec.d3 = (17.0 * ao + sfour) * temp;
1550     satrec.d4 = 0.5 * temp * ao * tsi * (221.0 * ao + 31.0 * sfour) *
           satrec.ccl;
1551     satrec.t3cof = satrec.d2 + 2.0 * cclsq;
1552     satrec.t4cof = 0.25 * (3.0 * satrec.d3 + satrec.ccl *
           (12.0 * satrec.d2 + 10.0 * cclsq));
1553     satrec.t5cof = 0.2 * (3.0 * satrec.d4 +
           12.0 * satrec.ccl * satrec.d3 +
           6.0 * satrec.d2 * satrec.d2 +
           15.0 * cclsq * (2.0 * satrec.d2 + cclsq));
1554 }
1555 } // if omeosq = 0 ...
1556
1557 /* finally propogate to zero epoch to initialize all others. */
1558 // sgp4fix take out check to let satellites process until they are actually
1559 below earth surface
1560 // if(satrec.error == 0)
1561 sgp4(whichconst, satrec, 0.0, r, v);
1562
1563 satrec.init = 'n';
1564
1565 //#include "debug6.cpp"
1566 //sgp4fix return boolean. satrec.error contains any error codes
1567 return true;
1568 } // end sgp4init
1569
1570 /*-----
1571 *
1572 *
1573 *
1574 *
1575 *
1576 *
1577 *
1578 *
1579 *
1580 *
1581 *
1582 *
1583 *
1584 *
1585 *
1586 *
1587 *
1588 *
1589 *
1590 *
1591 *
1592 *
1593 *
1594 *
1595 *
1596 *
1597 *
1598 *
1599 *
1600 *
1601 *
1602 *
1603 *
1604 *
1605 *
1606 *
1607 *
1608 *
1609 *
1610 *
1611 *
1612 *
1613 *
1614 *
1615 *
1616 *
1617 *
1618 *
1619 *
1620 *
1621 *
1622 *
1623 *
1624 *
1625 *
1626 *
1627 *
1628 *
1629 *
1630 *
1631 *
1632 *
1633 *
1634 *
1635 *
1636 *
1637 *
1638 *
1639 *
1640 *
1641 *
1642 *
1643 *
1644 *
1645 *
1646 *
1647 *
1648 *
1649 *
1650 *
1651 *
1652 *
1653 *
1654 *
1655 *
1656 *
1657 *
1658 *
1659 *
1660 *
1661 *
1662 *
1663 *
1664 *
1665 *
1666 *
1667 *
1668 *
1669 *
1670 *
1671 *
1672 *
1673 *
1674 *
1675 *
1676 *
1677 *
1678 *
1679 *
1680 *
1681 *
1682 *
1683 *
1684 *
1685 *
1686 *
1687 *
1688 *
1689 *
1690 *
1691 *
1692 *
1693 *
1694 *
1695 *
1696 *
1697 *
1698 *
1699 *
1700 *
1701 *
1702 *
1703 *
1704 *
1705 *
1706 *
1707 *
1708 *
1709 *
1710 *
1711 *
1712 *
1713 *
1714 *
1715 *
1716 *
1717 *
1718 *
1719 *
1720 *
1721 *
1722 *
1723 *
1724 *
1725 *
1726 *
1727 *
1728 *
1729 *
1730 *
1731 *
1732 *
1733 *
1734 *
1735 *
1736 *
1737 *
1738 *
1739 *
1740 *
1741 *
1742 *
1743 *
1744 *
1745 *
1746 *
1747 *
1748 *
1749 *
1750 *
1751 *
1752 *
1753 *
1754 *
1755 *
1756 *
1757 *
1758 *
1759 *
1760 *
1761 *
1762 *
1763 *
1764 *
1765 *
1766 *
1767 *
1768 *
1769 *
1770 *
1771 *
1772 *
1773 *
1774 *
1775 *
1776 *
1777 *
1778 *
1779 *
1780 *
1781 *
1782 *
1783 *
1784 *
1785 *
1786 *
1787 *
1788 *
1789 *
1790 *
1791 *
1792 *
1793 *
1794 *
1795 *
1796 *
1797 *
1798 *
1799 *
1800 *
1801 *
1802 *
1803 *
1804 *
1805 *
1806 *
1807 *
1808 *
1809 *
1810 *
1811 *
1812 *
1813 *
1814 *
1815 *
1816 *
1817 *
1818 *
1819 *
1820 *
1821 *
1822 *
1823 *
1824 *
1825 *
1826 *
1827 *
1828 *
1829 *
1830 *
1831 *
1832 *
1833 *
1834 *
1835 *
1836 *
1837 *
1838 *
1839 *
1840 *
1841 *
1842 *
1843 *
1844 *
1845 *
1846 *
1847 *
1848 *
1849 *
1850 *
1851 *
1852 *
1853 *
1854 *
1855 *
1856 *
1857 *
1858 *
1859 *
1860 *
1861 *
1862 *
1863 *
1864 *
1865 *
1866 *
1867 *
1868 *
1869 *
1870 *
1871 *
1872 *
1873 *
1874 *
1875 *
1876 *
1877 *
1878 *
1879 *
1880 *
1881 *
1882 *
1883 *
1884 *
1885 *
1886 *
1887 *
1888 *
1889 *
1890 *
1891 *
1892 *
1893 *
1894 *
1895 *
1896 *
1897 *
1898 *
1899 *
1900 *
1901 *
1902 *
1903 *
1904 *
1905 *
1906 *
1907 *
1908 *
1909 *
1910 *
1911 *
1912 *
1913 *
1914 *
1915 *
1916 *
1917 *
1918 *
1919 *
1920 *
1921 *
1922 *
1923 *
1924 *
1925 *
1926 *
1927 *
1928 *
1929 *
1930 *
1931 *
1932 *
1933 *
1934 *
1935 *
1936 *
1937 *
1938 *
1939 *
1940 *
1941 *
1942 *
1943 *
1944 *
1945 *
1946 *
1947 *
1948 *
1949 *
1950 *
1951 *
1952 *
1953 *
1954 *
1955 *
1956 *
1957 *
1958 *
1959 *
1960 *
1961 *
1962 *
1963 *
1964 *
1965 *
1966 *
1967 *
1968 *
1969 *
1970 *
1971 *
1972 *
1973 *
1974 *
1975 *
1976 *
1977 *
1978 *
1979 *
1980 *
1981 *
1982 *
1983 *
1984 *
1985 *
1986 *
1987 *
1988 *
1989 *
1990 *
1991 *
1992 *
1993 *
1994 *
1995 *
1996 *
1997 *
1998 *
1999 *
2000 *
2001 *
2002 *
2003 *
2004 *
2005 *
2006 *
2007 *
2008 *
2009 *
2010 *
2011 *
2012 *
2013 *
2014 *
2015 *
2016 *
2017 *
2018 *
2019 *
2020 *
2021 *
2022 *
2023 *
2024 *
2025 *
2026 *
2027 *
2028 *
2029 *
2030 *
2031 *
2032 *
2033 *
2034 *
2035 *
2036 *
2037 *
2038 *
2039 *
2040 *
2041 *
2042 *
2043 *
2044 *
2045 *
2046 *
2047 *
2048 *
2049 *
2050 *
2051 *
2052 *
2053 *
2054 *
2055 *
2056 *
2057 *
2058 *
2059 *
2060 *
2061 *
2062 *
2063 *
2064 *
2065 *
2066 *
2067 *
2068 *
2069 *
2070 *
2071 *
2072 *
2073 *
2074 *
2075 *
2076 *
2077 *
2078 *
2079 *
2080 *
2081 *
2082 *
2083 *
2084 *
2085 *
2086 *
2087 *
2088 *
2089 *
2090 *
2091 *
2092 *
2093 *
2094 *
2095 *
2096 *
2097 *
2098 *
2099 *
2100 *
2101 *
2102 *
2103 *
2104 *
2105 *
2106 *
2107 *
2108 *
2109 *
2110 *
2111 *
2112 *
2113 *
2114 *
2115 *
2116 *
2117 *
2118 *
2119 *
2120 *
2121 *
2122 *
2123 *
2124 *
2125 *
2126 *
2127 *
2128 *
2129 *
2130 *
2131 *
2132 *
2133 *
2134 *
2135 *
2136 *
2137 *
2138 *
2139 *
2140 *
2141 *
2142 *
2143 *
2144 *
2145 *
2146 *
2147 *
2148 *
2149 *
2150 *
2151 *
2152 *
2153 *
2154 *
2155 *
2156 *
2157 *
2158 *
2159 *
2160 *
2161 *
2162 *
2163 *
2164 *
2165 *
2166 *
2167 *
2168 *
2169 *
2170 *
2171 *
2172 *
2173 *
2174 *
2175 *
2176 *
2177 *
2178 *
2179 *
2180 *
2181 *
2182 *
2183 *
2184 *
2185 *
2186 *
2187 *
2188 *
2189 *
2190 *
2191 *
2192 *
2193 *
2194 *
2195 *
2196 *
2197 *
2198 *
2199 *
2200 *
2201 *
2202 *
2203 *
2204 *
2205 *
2206 *
2207 *
2208 *
2209 *
2210 *
2211 *
2212 *
2213 *
2214 *
2215 *
2216 *
2217 *
2218 *
2219 *
2220 *
2221 *
2222 *
2223 *
2224 *
2225 *
2226 *
2227 *
2228 *
2229 *
2230 *
2231 *
2232 *
2233 *
2234 *
2235 *
2236 *
2237 *
2238 *
2239 *
2240 *
2241 *
2242 *
2243 *
2244 *
2245 *
2246 *
2247 *
2248 *
2249 *
2250 *
2251 *
2252 *
2253 *
2254 *
2255 *
2256 *
2257 *
2258 *
2259 *
2260 *
2261 *
2262 *
2263 *
2264 *
2265 *
2266 *
2267 *
2268 *
2269 *
2270 *
2271 *
2272 *
2273 *
2274 *
2275 *
2276 *
2277 *
2278 *
2279 *
2280 *
2281 *
2282 *
2283 *
2284 *
2285 *
2286 *
2287 *
2288 *
2289 *
2290 *
2291 *
2292 *
2293 *
2294 *
2295 *
2296 *
2297 *
2298 *
2299 *
2300 *
2301 *
2302 *
2303 *
2304 *
2305 *
2306 *
2307 *
2308 *
2309 *
2310 *
2311 *
2312 *
2313 *
2314 *
2315 *
2316 *
2317 *
2318 *
2319 *
2320 *
2321 *
2322 *
2323 *
2324 *
2325 *
2326 *
2327 *
2328 *
2329 *
2330 *
2331 *
2332 *
2333 *
2334 *
2335 *
2336 *
2337 *
2338 *
2339 *
2340 *
2341 *
2342 *
2343 *
2344 *
2345 *
2346 *
2347 *
2348 *
2349 *
2350 *
2351 *
2352 *
2353 *
2354 *
2355 *
2356 *
2357 *
2358 *
2359 *
2360 *
2361 *
2362 *
2363 *
2364 *
2365 *
2366 *
2367 *
2368 *
2369 *
2370 *
2371 *
2372 *
2373 *
2374 *
2375 *
2376 *
2377 *
2378 *
2379 *
2380 *
2381 *
2382 *
2383 *
2384 *
2385 *
2386 *
2387 *
2388 *
2389 *
2390 *
2391 *
2392 *
2393 *
2394 *
2395 *
2396 *
2397 *
2398 *
2399 *
2400 *
2401 *
2402 *
2403 *
2404 *
2405 *
2406 *
2407 *
2408 *
2409 *
2410 *
2411 *
2412 *
2413 *
2414 *
2415 *
2416 *
2417 *
2418 *
2419 *
2420 *
2421 *
2422 *
2423 *
2424 *
2425 *
2426 *
2427 *
2428 *
2429 *
2430 *
2431 *
2432 *
2433 *
2434 *
2435 *
2436 *
2437 *
2438 *
2439 *
2440 *
2441 *
2442 *
2443 *
2444 *
2445 *
2446 *
2447 *
2448 *
2449 *
2450 *
2451 *
2452 *
2453 *
2454 *
2455 *
2456 *
2457 *
2458 *
2459 *
2460 *
2461 *
2462 *
2463 *
2464 *
2465 *
2466 *
2467 *
2468 *
2469 *
2470 *
2471 *
2472 *
2473 *
2474 *
2475 *
2476 *
2477 *
2478 *
2479 *
2480 *
2481 *
2482 *
2483 *
2484 *
2485 *
2486 *
2487 *
2488 *
2489 *
2490 *
2491 *
2492 *
2493 *
2494 *
2495 *
2496 *
2497 *
2498 *
2499 *
2500 *
2501 *
2502 *
2503 *
2504 *
2505 *
2506 *
2507 *
2508 *
2509 *
2510 *
2511 *
2512 *
2513 *
2514 *
2515 *
2516 *
2517 *
2518 *
2519 *
2520 *
2521 *
2522 *
2523 *
2524 *
2525 *
2526 *
2527 *
2528 *
2529 *
2530 *
2531 *
2532 *
2533 *
2534 *
2535 *
2536 *
2537 *
2538 *
2539 *
2540 *
2541 *
2542 *
2543 *
2544 *
2545 *
2546 *
2547 *
2548 *
2549 *
2550 *
2551 *
2552 *
2553 *
2554 *
2555 *
2556 *
2557 *
2558 *
2559 *
2560 *
2561 *
2562 *
2563 *
2564 *
2565 *
2566 *
2567 *
2568 *
2569 *
2570 *
2571 *
2572 *
2573 *
2574 *
2575 *
2576 *
2577 *
2578 *
2579 *
2580 *
2581 *
2582 *
2583 *
2584 *
2585 *
2586 *
2587 *
2588 *
2589 *
2590 *
2591 *
2592 *
2593 *
2594 *
2595 *
2596 *
2597 *
2598 *
2599 *
2600 *
2601 *
2602 *
2603 *
2604 *
2605 *
2606 *
2607 *
2608 *
2609 *
2610 *
2611 *
2612 *
2613 *
2614 *
2615 *
2616 *
2617 *
2618 *
2619 *
2620 *
2621 *
2622 *
2623 *
2624 *
2625 *
2626 *
2627 *
2628 *
2629 *
2630 *
2631 *
2632 *
2633 *
2634 *
2635 *
2636 *
2637 *
2638 *
2639 *
2640 *
2641 *
2642 *
2643 *
2644 *
2645 *
2646 *
2647 *
2648 *
2649 *
2650 *
2651 *
2652 *
2653 *
2654 *
2655 *
2656 *
2657 *
2658 *
2659 *
2660 *
2661 *
2662 *
2663 *
2664 *
2665 *
2666 *
2667 *
2668 *
2669 *
2670 *
2671 *
2672 *
2673 *
2674 *
2675 *
2676 *
2677 *
2678 *
2679 *
2680 *
2681 *
2682 *
2683 *
2684 *
2685 *
2686 *
2687 *
2688 *
2689 *
2690 *
2691 *
2692 *
2693 *
2694 *
2695 *
2696 *
2697 *
2698 *
2699 *
2700 *
2701 *
2702 *
2703 *
2704 *
2705 *
2706 *
2707 *
2708 *
2709 *
2710 *
2711 *
2712 *
2713 *
2714 *
2715 *
2716 *
2717 *
2718 *
2719 *
2720 *
2721 *
2722 *
2723 *
2724 *
2725 *
2726 *
2727 *
2728 *
2729 *
2730 *
2731 *
2732 *
2733 *
2734 *
2735 *
2736 *
2737 *
2738 *
2739 *
2740 *
2741 *
2742 *
2743 *
2744 *
2745 *
2746 *
2747 *
2748 *
2749 *
2750 *
2751 *
2752 *
2753 *
2754 *
2755 *
2756 *
2757 *
2758 *
2759 *
2760 *
2761 *
2762 *
2763 *
2764 *
2765 *
2766 *
2767 *
2768 *
2769 *
2770 *
2771 *
2772 *
2773 *
2774 *
2775 *
2776 *
2777 *
2778 *
2779 *
2780 *
2781 *
2782 *
2783 *
2784 *
2785 *
2786 *
2787 *
2788 *
2789 *
2790 *
2791 *
2792 *
2793 *
2794 *
2795 *
2796 *
2797 *
2798 *
2799 *
2800 *
2801 *
2802 *
2803 *
2804 *
2805 *
2806 *
2807 *
2808 *
2809 *
2810 *
2811 *
2812 *
2813 *
2814 *
2815 *
2816 *
2817 *
2818 *
2819 *
2820 *
2821 *
2822 *
2823 *
2824 *
2825 *
2826 *
2827 *
2828 *
2829 *
2830 *
2831 *
2832 *
2833 *
2834 *
2835 *
2836 *
2837 *
2838 *
2839 *
2840 *
2841 *
2842 *
2843 *
2844 *
2845 *
2846 *
2847 *
2848 *
2849 *
2850 *
2851 *
2852 *
2853 *
2854 *
2855 *
2856 *
2857 *
2858 *
2859 *
2860 *
2861 *
2862 *
2863 *
2864 *
2865 *
2866 *
2867 *
2868 *
2869 *
2870 *
2871 *
2872 *
2873 *
2874 *
2875 *
2876 *
2877 *
2878 *
2879 *
2880 *
2881 *
2882 *
2883 *
2884 *
2885 *
2886 *
2887 *
2888 *
2889 *
2890 *
2891 *
2892 *
2893 *
2894 *
2895 *
2896 *
2897 *
2898 *
2899 *
2900 *
2901 *
2902 *
2903 *
2904 *
2905 *
2906 *
2907 *
2908 *
2909 *
2910 *
2911 *
2912 *
2913 *
2914 *
2915 *
2916 *
2917 *
2918 *
2919 *
2920 *
2921 *
2922 *
2923 *
2924 *
2925 *
2926 *
2927 *
2928 *
2929 *
2930 *
2931 *
2932 *
2933 *
2934 *
2935 *
2936 *
2937 *
2938 *
2939 *
2940 *
2941 *
2942 *
2943 *
2944 *
2945 *
2946 *
2947 *
2948 *
2949 *
2950 *
2951 *
2952 *
2953 *
2954 *
2955 *
2956 *
2957 *
2958 *
2959 *
2960 *
2961 *
2962 *
2963 *
2964 *
2965 *
2966 *
2967 *
2968 *
2969 *
2970 *
2971 *
2972 *
2973 *
2974 *
2975 *
2976 *
2977 *
2978 *
2979 *
2980 *
2981 *
2982 *
2983 *
2984 *
2985 *
2986 *
2987 *
2988 *
2989 *
2990 *
2991 *
2992 *
2993 *
2994 *
2995 *
2996 *
2997 *
2998 *
2999 *
3000 *
3001 *
3002 *
3003 *
3004 *
3005 *
3006 *
3007 *
3008 *
3009 *
3010 *
3011 *
3012 *
3013 *
3014 *
3015 *
3016 *
3017 *
3018 *
3019 *
3020 *
3021 *
3022 *
3023 *
3024 *
3025 *
3026 *
3027 *
3028 *
3029 *
3030 *
3031 *
3032 *
3033 *
3034 *
3035 *
3036 *
3037 *
3038 *
3039 *
3040 *
3041 *
3042 *
3043 *
3044 *
3045 *
3046 *
3047 *
3048 *
3049 *
3050 *
3051 *
3052 *
3053 *
3054 *
3055 *
3056 *
3057 *
3058 *
3059 *
3060 *
3061 *
3062 *
3063 *
3064 *
3065 *
3066 *
3067 *
3068 *
3069 *
3070 *
3071 *
3072 *
3073 *
3074 *
3075 *
3076 *
3077 *
3078 *
3079 *
3080 *
3081 *
3082 *
3083 *
3084 *
3085 *
3086 *
3087 *
3088 *
3089 *
3090 *
3091 *
3092 *
3093 *
3094 *
3095 *
3096 *
3097 *
3098 *
3099 *
3100 *
3101 *
3102 *
3103 *
3104 *
3105 *
3106 *
3107 *
3108 *
3109 *
3110 *
3111 *
3112 *
3113 *
3114 *
3115 *
3116 *
3117 *
3118 *
3119 *
3120 *
3121 *
3122 *
3123 *
3124 *
3125 *
3126 *
3127 *
3128 *
3129 *
3130 *
3131 *
3132 *
3133 *
3134 *
3135 *
3136 *
3137 *
3138 *
3139 *
3140 *
3141 *
3142 *
3143 *
3144 *
3145 *
3146 *
3147 *
3148 *
3149 *
3150 *
3151 *
3152 *
3153 *
3154 *
3155 *
3156 *
3157 *
3158 *
3159 *
3160 *
3161 *
3162 *
3163 *
3164 *
3165 *
3166 *
3167 *
3168 *
3169 *
3170 *
3171 *
3172 *
3173 *
3174 *
3175 *
3176 *
3177 *
3178 *
3179 *
3180 *
3181 *
3182 *
3183 *
3184 *
3185 *
3186 *
3187 *
3188 *
3189 *
3190 *
3191 *
3192 *
3193 *
3194 *
3195 *
3196 *
3197 *
3198 *
3199 *
3200 *
3201 *
3202 *
3203 *
3204 *
3205 *
3206 *
3207 *
3208 *
3209 *
3210 *
3211 *
3212 *
3213 *
3214 *
3215 *
3216 *
3217 *
3218 *
3219 *
3220 *
3221 *
3222 *
3223 *
3224 *
3225 *
3226 *
3227 *
3228 *
3229 *
3230 *
3231 *
3232 *
3233 *
3234 *
3235 *
3236 *
3237 *
3238 *
3239 *
3240 *
3241 *
3242 *
3243 *
3244 *
3245 *
3246 *
3247 *
3248 *
3249 *
3250 *
3251 *
3252 *
3253 *
3254 *
3255 *
3256 *
3257 *
3258 *
3259 *
3260 *
3261 *
3262 *
3263 *
3264 *
3265 *
3266 *
3267 *
3268 *
3269 *
3270 *
3271 *
3272 *
3273 *
3274 *
3275 *
3276 *
3277 *
3278 *
3279 *
3280 *
3281 *
3282 *
3283 *
3284 *
3285 *
3286 *
3287 *
3288 *
3289 *
3290 *
3291 *
3292 *
3293 *
3294 *
3295 *
3296 *
3297 *
3298 *
3299 *
3300 *
3301 *
3302 *
3303 *
3304 *
3305 *
3306 *
3307 *
3308 *
3309 *
3310 *
3311 *
3312 *
3313 *
3314 *
3315 *
3316 *
3317 *
3318 *
3319 *
3320 *
3321 *
3322 *
3323 *
3324 *
3325 *
3326 *
3327 *
3328 *
3329 *
3330 *
3331 *
3332 *
3333 *
3334 *
3335 *
3336 *
3337 *
3338 *
3339 *
3340 *
3341 *
3342 *
3343 *
3344 *
3345 *
3346 *
3347 *
3348 *
3349 *
3350 *
3351 *
3352 *
3353 *
3354 *
3355 *
3356 *
3357 *
3358 *
3359 *
3360 *
3361 *
3362 *
3363 *
3364 *
3365 *
3366 *
3367 *
3368 *
3369 *
3370 *
3371 *
3372 *
3373 *
3374 *
3375 *
3376 *
3377 *
3378 *
3379 *
3380 *
3381 *
3382 *
3383 *
3384 *
3385 *
3386 *
3387 *
3388 *
3389 *
3390 *
3391 *
3392 *
3393 *
3394 *
3395 *
3396 *
3397 *
3398 *
3399 *
3400 *
3401 *
3402 *
3403 *
3404 *
3405 *
3406 *
3407 *
3408 *
3409 *
3410 *
3411 *
3412 *
3413 *
3414 *
3415 *
3416 *
3417 *
3418 *
3419 *
3420 *
3421 *
3422 *
3423 *
3424 *
3425 *
3426 *
3427 *
```

```

1583 *
1584 * author      : david vallado              719-573-2600   28 jun 2005
1585 *
1586 * inputs      :
1587 *   satrec    - initialised structure from sgp4init() call.
1588 *   tsince    - time since epoch (minutes)
1589 *
1590 * outputs     :
1591 *   r          - position vector              km
1592 *   v          - velocity                    km/sec
1593 *   return code - non-zero on error.
1594 *               1 - mean elements, ecc >= 1.0 or ecc < -0.001 or a < 0.95 er
1595 *               2 - mean motion less than 0.0
1596 *               3 - pert elements, ecc < 0.0 or ecc > 1.0
1597 *               4 - semi-latus rectum < 0.0
1598 *               5 - epoch elements are sub-orbital
1599 *               6 - satellite has decayed
1600 *
1601 * locals      :
1602 *   am        -
1603 *   axnl, aynl -
1604 *   betal     -
1605 *   cosim    , sinim    , cosomm    , sinomm    , cnod     , snod     , cos2u    ,
1606 *   sin2u    , coseo1   , sineo1   , cosi     , sini     , cosip   , sinip   ,
1607 *   cosisq   , cossu    , sinsu    , cosu     , sinu
1608 *   delm     -
1609 *   delomg   -
1610 *   dndt     -
1611 *   eccm     -
1612 *   emsq     -
1613 *   ecose    -
1614 *   el2      -
1615 *   eol      -
1616 *   eccp     -
1617 *   esine    -
1618 *   argpm    -
1619 *   argpp    -
1620 *   omgadf   -
1621 *   pl       -
1622 *   r        -
1623 *   rtemsq   -
1624 *   rdotl    -
1625 *   rl       -
1626 *   rvdot    -
1627 *   rvdotl   -
1628 *   su       -
1629 *   t2 , t3  , t4    , tc
1630 *   tem5, temp , temp1 , temp2 , tempa , tempe , templ
1631 *   u , ux  , uy    , uz    , vx    , vy    , vz
1632 *   inclm    - inclination
1633 *   mm       - mean anomaly
1634 *   nm       - mean motion
1635 *   nodem    - right asc of ascending node
1636 *   xinc     -
1637 *   xincp    -
1638 *   xl       -
1639 *   xlm      -
1640 *   mp       -
1641 *   xmdf     -
1642 *   xmx      -
1643 *   xmy      -
1644 *   nodedf   -
1645 *   xnode    -
1646 *   nodep    -
1647 *   np       -
1648 *
1649 * coupling   :
1650 *   getgravconst-
1651 *   dpper
1652 *   dpspace
1653 *
1654 * references  :
1655 *   hoots, roehrich, norad spacetrack report #3 1980

```

```

1656 * hoots, norad spacetrack report #6 1986
1657 * hoots, schumacher and glover 2004
1658 * vallado, crawford, hujsak, kelso 2006
1659 -----*/
1660
1661 bool sgp4
1662 (
1663     gravconsttype whichconst, elsetrec& satrec, double tsince,
1664     double r[3], double v[3]
1665 )
1666 {
1667     double am , axnl , aynl , betal , cosim , cnod ,
1668         cos2u , coseo1 , cosi , cosip , cosisq , cossu , cosu ,
1669         delm , delomg , em , emsq , ecose , el2 , eo1 ,
1670         ep , esine , argpm , argpp , argpdf , pl , mrt = 0.0 ,
1671         mvt , rdot1 , rl , rvdot , rvdot1 , sinim ,
1672         sin2u , sineo1 , sini , sinip , sinsu , sinu ,
1673         snod , su , t2 , t3 , t4 , tem5 , temp ,
1674         temp1 , temp2 , tempa , tempe , templ , u , ux ,
1675         uy , uz , vx , vy , vz , inclm , mm ,
1676         nm , nodem , xinc , xincp , xl , xlm , mp ,
1677         xmdf , xmx , xmy , nodedf , xnode , nodep , tc , dn dt ,
1678         twopi , x2o3 , j2 , j3 , tumin , j4 , xke , j3oj2 , radiusearthkm ,
1679         mu , vkmperssec , delmtemp ;
1680     int ktr ;
1681
1682     /* ----- set mathematical constants ----- */
1683     // sgp4fix divisor for divide by zero check on inclination
1684     // the old check used 1.0 + cos(pi-1.0e-9), but then compared it to
1685     // 1.5 e-12, so the threshold was changed to 1.5e-12 for consistency
1686     const double temp4 = 1.5e-12 ;
1687     twopi = 2.0 * pi ;
1688     x2o3 = 2.0 / 3.0 ;
1689     // sgp4fix identify constants and allow alternate values
1690     getgravconst( whichconst , tumin , mu , radiusearthkm , xke , j2 , j3 , j4 , j3oj2 ) ;
1691     vkmperssec = radiusearthkm * xke / 60.0 ;
1692
1693     /* ----- clear sgp4 error flag ----- */
1694     satrec.t = tsince ;
1695     satrec.error = 0 ;
1696
1697     /* ----- update for secular gravity and atmospheric drag ----- */
1698     xmdf = satrec.mo + satrec.mdot * satrec.t ;
1699     argpdf = satrec.argpo + satrec.argpdot * satrec.t ;
1700     nodedf = satrec.nodeo + satrec.nodedot * satrec.t ;
1701     argpm = argpdf ;
1702     mm = xmdf ;
1703     t2 = satrec.t * satrec.t ;
1704     nodem = nodedf + satrec.nodecf * t2 ;
1705     tempa = 1.0 - satrec.ccl * satrec.t ;
1706     tempe = satrec.bstar * satrec.cc4 * satrec.t ;
1707     templ = satrec.t2cof * t2 ;
1708
1709     if (satrec.isimp != 1)
1710     {
1711         delomg = satrec.omgcof * satrec.t ;
1712         // sgp4fix use mutliply for speed instead of pow
1713         delmtemp = 1.0 + satrec.eta * cos(xmdf) ;
1714         delm = satrec.xmcof *
1715             (delmtemp * delmtemp * delmtemp -
1716              satrec.delmo) ;
1717         temp = delomg + delm ;
1718         mm = xmdf + temp ;
1719         argpm = argpdf - temp ;
1720         t3 = t2 * satrec.t ;
1721         t4 = t3 * satrec.t ;
1722         tempa = tempa - satrec.d2 * t2 - satrec.d3 * t3 -
1723             satrec.d4 * t4 ;
1724         tempe = tempe + satrec.bstar * satrec.cc5 * (sin(mm) -
1725             satrec.sinmao) ;
1726         templ = templ + satrec.t3cof * t3 + t4 * (satrec.t4cof +
1727             satrec.t * satrec.t5cof) ;
1728     }

```

```

1729
1730 nm = satrec.no;
1731 em = satrec.ecco;
1732 inclm = satrec.inclm;
1733 if (satrec.method == 'd')
1734 {
1735     tc = satrec.t;
1736     dspace
1737     (
1738         satrec.irez,
1739         satrec.d2201, satrec.d2211, satrec.d3210,
1740         satrec.d3222, satrec.d4410, satrec.d4422,
1741         satrec.d5220, satrec.d5232, satrec.d5421,
1742         satrec.d5433, satrec.dedt, satrec.dell,
1743         satrec.del2, satrec.del3, satrec.didt,
1744         satrec.dmdt, satrec.dnodt, satrec.domdt,
1745         satrec.argpo, satrec.argpdot, satrec.t, tc,
1746         satrec.gsto, satrec.xfact, satrec.xlamo,
1747         satrec.no, satrec.atime,
1748         em, argpm, inclm, satrec.xli, mm, satrec.xni,
1749         nodem, dndt, nm
1750     );
1751 } // if method = d
1752
1753 if (nm <= 0.0)
1754 {
1755 //     printf("# error nm %f\n", nm);
1756     satrec.error = 2;
1757     // sgp4fix add return
1758     return false;
1759 }
1760 am = pow((xke / nm),x2o3) * tempa * tempa;
1761 nm = xke / pow(am, 1.5);
1762 em = em - tempe;
1763
1764 // fix tolerance for error recognition
1765 // sgp4fix am is fixed from the previous nm check
1766 if ((em >= 1.0) || (em < -0.001)/* || (am < 0.95)*/ )
1767 {
1768 //     printf("# error em %f\n", em);
1769     satrec.error = 1;
1770     // sgp4fix to return if there is an error in eccentricity
1771     return false;
1772 }
1773 // sgp4fix fix tolerance to avoid a divide by zero
1774 if (em < 1.0e-6)
1775     em = 1.0e-6;
1776 mm = mm + satrec.no * temp1;
1777 xlm = mm + argpm + nodem;
1778 emsq = em * em;
1779 temp = 1.0 - emsq;
1780
1781 nodem = fmod(nodem, twopi);
1782 argpm = fmod(argpm, twopi);
1783 xlm = fmod(xlm, twopi);
1784 mm = fmod(xlm - argpm - nodem, twopi);
1785
1786 /* ----- compute extra mean quantities ----- */
1787 sinim = sin(inclm);
1788 cosim = cos(inclm);
1789
1790 /* ----- add lunar-solar periodics ----- */
1791 ep = em;
1792 xincp = inclm;
1793 argpp = argpm;
1794 nodep = nodem;
1795 mp = mm;
1796 sinip = sinim;
1797 cosip = cosim;
1798 if (satrec.method == 'd')
1799 {
1800     dpper
1801     (

```

```

1802         satrec.e3,   satrec.ee2,   satrec.peo,
1803         satrec.pgho, satrec.pho,   satrec.pinco,
1804         satrec.plo,  satrec.se2,   satrec.se3,
1805         satrec.sgh2, satrec.sgh3,  satrec.sgh4,
1806         satrec.sh2,  satrec.sh3,   satrec.si2,
1807         satrec.si3,  satrec.sl2,   satrec.sl3,
1808         satrec.sl4,  satrec.t,     satrec.xgh2,
1809         satrec.xgh3, satrec.xgh4,  satrec.xh2,
1810         satrec.xh3,  satrec.xi2,   satrec.xi3,
1811         satrec.xl2,  satrec.xl3,   satrec.xl4,
1812         satrec.zmol, satrec.zmos,  satrec.inclo,
1813         'n', ep, xincp, nodep, argpp, mp, satrec.operationmode
1814     );
1815     if (xincp < 0.0)
1816     {
1817         xincp = -xincp;
1818         nodep = nodep + pi;
1819         argpp = argpp - pi;
1820     }
1821     if ((ep < 0.0) || (ep > 1.0))
1822     {
1823 //         printf("# error ep %f\n", ep);
1824         satrec.error = 3;
1825         // sgp4fix add return
1826         return false;
1827     }
1828     } // if method = d
1829
1830 /* ----- long period periodics ----- */
1831 if (satrec.method == 'd')
1832 {
1833     sinip = sin(xincp);
1834     cosip = cos(xincp);
1835     satrec.aycof = -0.5*j3oj2*sinip;
1836     // sgp4fix for divide by zero for xincp = 180 deg
1837     if (fabs(cosip+1.0) > 1.5e-12)
1838         satrec.xlcof = -0.25 * j3oj2 * sinip * (3.0 + 5.0 * cosip) / (1.0 +
1839         cosip);
1840     else
1841         satrec.xlcof = -0.25 * j3oj2 * sinip * (3.0 + 5.0 * cosip) / temp4;
1842 }
1843 axnl = ep * cos(argpp);
1844 temp = 1.0 / (am * (1.0 - ep * ep));
1845 aynl = ep * sin(argpp) + temp * satrec.aycof;
1846 xl = mp + argpp + nodep + temp * satrec.xlcof * axnl;
1847
1848 /* ----- solve kepler's equation ----- */
1849 u = fmod(xl - nodep, twopi);
1850 eol = u;
1851 tem5 = 9999.9;
1852 ktr = 1;
1853 // sgp4fix for kepler iteration
1854 // the following iteration needs better limits on corrections
1855 while (( fabs(tem5) >= 1.0e-12) && (ktr <= 10) )
1856 {
1857     sineol = sin(eol);
1858     coseol = cos(eol);
1859     tem5 = 1.0 - coseol * axnl - sineol * aynl;
1860     tem5 = (u - aynl * coseol + axnl * sineol - eol) / tem5;
1861     if(fabs(tem5) >= 0.95)
1862         tem5 = tem5 > 0.0 ? 0.95 : -0.95;
1863     eol = eol + tem5;
1864     ktr = ktr + 1;
1865 }
1866
1867 /* ----- short period preliminary quantities ----- */
1868 ecose = axnl*coseol + aynl*sineol;
1869 esine = axnl*sineol - aynl*coseol;
1870 el2 = axnl*axnl + aynl*aynl;
1871 pl = am*(1.0-el2);
1872 if (pl < 0.0)
1873 {
1874 //     printf("# error pl %f\n", pl);

```

```

1874     satrec.error = 4;
1875     // sgp4fix add return
1876     return false;
1877 }
1878 else
1879 {
1880     rl      = am * (1.0 - ecose);
1881     rdotl   = sqrt(am) * esine/rl;
1882     rvdotl  = sqrt(pl) / rl;
1883     betal   = sqrt(1.0 - el2);
1884     temp    = esine / (1.0 + betal);
1885     sinu    = am / rl * (sineo1 - aynl - axnl * temp);
1886     cosu    = am / rl * (coseo1 - axnl + aynl * temp);
1887     su      = atan2(sinu, cosu);
1888     sin2u   = (cosu + cosu) * sinu;
1889     cos2u   = 1.0 - 2.0 * sinu * sinu;
1890     temp    = 1.0 / pl;
1891     temp1   = 0.5 * j2 * temp;
1892     temp2   = temp1 * temp;
1893
1894     /* ----- update for short period periodics ----- */
1895     if (satrec.method == 'd')
1896     {
1897         cosisq          = cosip * cosip;
1898         satrec.con41    = 3.0*cosisq - 1.0;
1899         satrec.xlmth2   = 1.0 - cosisq;
1900         satrec.x7thm1  = 7.0*cosisq - 1.0;
1901     }
1902     mrt    = rl * (1.0 - 1.5 * temp2 * betal * satrec.con41) +
1903             0.5 * temp1 * satrec.xlmth2 * cos2u;
1904     su     = su - 0.25 * temp2 * satrec.x7thm1 * sin2u;
1905     xnode  = nodep + 1.5 * temp2 * cosip * sin2u;
1906     xinc   = xincp + 1.5 * temp2 * cosip * sinip * cos2u;
1907     mvt    = rdotl - nm * temp1 * satrec.xlmth2 * sin2u / xke;
1908     rvdot  = rvdotl + nm * temp1 * (satrec.xlmth2 * cos2u +
1909             1.5 * satrec.con41) / xke;
1910
1911     /* ----- orientation vectors ----- */
1912     sinsu  = sin(su);
1913     cossu  = cos(su);
1914     snod   = sin(xnode);
1915     cnod   = cos(xnode);
1916     sini   = sin(xinc);
1917     cosi   = cos(xinc);
1918     xmx    = -snod * cosi;
1919     xmy    = cnod * cosi;
1920     ux     = xmx * sinsu + cnod * cossu;
1921     uy     = xmy * sinsu + snod * cossu;
1922     uz     = sini * sinsu;
1923     vx     = xmx * cossu - cnod * sinsu;
1924     vy     = xmy * cossu - snod * sinsu;
1925     vz     = sini * cossu;
1926
1927     /* ----- position and velocity (in km and km/sec) ----- */
1928     r[0]   = (mrt * ux) * radiusearthkm;
1929     r[1]   = (mrt * uy) * radiusearthkm;
1930     r[2]   = (mrt * uz) * radiusearthkm;
1931     v[0]   = (mvt * ux + rvdot * vx) * vkmperssec;
1932     v[1]   = (mvt * uy + rvdot * vy) * vkmperssec;
1933     v[2]   = (mvt * uz + rvdot * vz) * vkmperssec;
1934 } // if pl > 0
1935
1936 // sgp4fix for decaying satellites
1937 if (mrt < 1.0)
1938 {
1939     //     printf("# decay condition %11.6f \n",mrt);
1940     satrec.error = 6;
1941     return false;
1942 }
1943
1944 // #include "debug7.cpp"
1945 return true;
1946 } // end sgp4

```

```

1947 /* -----
1948 *
1949 *           function gstime
1950 *
1951 * this function finds the greenwich sidereal time.
1952 *
1953 * author      : david vallado           719-573-2600   1 mar 2001
1954 *
1955 * inputs      :
1956 *   jdut1     - julian date in ut1      range / units
1957 *                                     days from 4713 bc
1958 *
1959 * outputs     :
1960 *   gstime    - greenwich sidereal time  0 to 2pi rad
1961 *
1962 * locals      :
1963 *   temp      - temporary variable for doubles  rad
1964 *   tut1      - julian centuries from the
1965 *               jan 1, 2000 12 h epoch (ut1)
1966 *
1967 * coupling    :
1968 *   none
1969 *
1970 * references   :
1971 *   vallado    2004, 191, eq 3-45
1972 * ----- */
1973 double gstime
1974 (
1975     double jdut1
1976 )
1977 {
1978     const double twopi = 2.0 * pi;
1979     const double deg2rad = pi / 180.0;
1980     double
1981         temp, tut1;
1982
1983     tut1 = (jdut1 - 2451545.0) / 36525.0;
1984     temp = -6.2e-6* tut1 * tut1 * tut1 + 0.093104 * tut1 * tut1 +
1985           (876600.0*3600 + 8640184.812866) * tut1 + 67310.54841; // sec
1986     temp = fmod(temp * deg2rad / 240.0, twopi); //360/86400 = 1/240, to deg, to rad
1987
1988     // ----- check quadrants -----
1989     if (temp < 0.0)
1990         temp += twopi;
1991
1992     return temp;
1993 } // end gstime
1994
1995 /* -----
1996 *
1997 *           function getgravconst
1998 *
1999 * this function gets constants for the propagator. note that mu is identified to
2000 * facilitate comparisons with newer models. the common usage is wgs72.
2001 *
2002 * author      : david vallado           719-573-2600   21 jul 2006
2003 *
2004 * inputs      :
2005 *   whichconst - which set of constants to use  wgs72old, wgs72, wgs84
2006 *
2007 * outputs     :
2008 *   tumin     - minutes in one time unit
2009 *   mu        - earth gravitational parameter
2010 *   radiusearthkm - radius of the earth in km
2011 *   xke       - reciprocal of tumin
2012 *   j2, j3, j4 - un-normalized zonal harmonic values
2013 *   j3oj2     - j3 divided by j2
2014 *
2015 * locals      :
2016 *
2017 * coupling    :
2018 *   none
2019 *

```



```

2020 * references      :
2021 *   norad spacetrack report #3
2022 *   vallado, crawford, hujsak, kelso 2006
2023 ----- */
2024
2025 void getgravconst
2026 (
2027     gravconsttype whichconst,
2028     double& tumin,
2029     double& mu,
2030     double& radiusearthkm,
2031     double& xke,
2032     double& j2,
2033     double& j3,
2034     double& j4,
2035     double& j3oj2
2036 )
2037 {
2038
2039     switch (whichconst)
2040     {
2041         // -- wgs-72 low precision str#3 constants --
2042         case wgs72old:
2043             mu      = 398600.79964;           // in km3 / s2
2044             radiusearthkm = 6378.135;       // km
2045             xke     = 0.0743669161;
2046             tumin  = 1.0 / xke;
2047             j2     = 0.001082616;
2048             j3     = -0.00000253881;
2049             j4     = -0.00000165597;
2050             j3oj2  = j3 / j2;
2051         break;
2052         // ----- wgs-72 constants -----
2053         case wgs72:
2054             mu      = 398600.8;             // in km3 / s2
2055             radiusearthkm = 6378.135;     // km
2056             xke     = 60.0 / sqrt(radiusearthkm*radiusearthkm*radiusearthkm/mu);
2057             tumin  = 1.0 / xke;
2058             j2     = 0.001082616;
2059             j3     = -0.00000253881;
2060             j4     = -0.00000165597;
2061             j3oj2  = j3 / j2;
2062         break;
2063         case wgs84:
2064             // ----- wgs-84 constants -----
2065             mu      = 398600.5;           // in km3 / s2
2066             radiusearthkm = 6378.137;     // km
2067             xke     = 60.0 / sqrt(radiusearthkm*radiusearthkm*radiusearthkm/mu);
2068             tumin  = 1.0 / xke;
2069             j2     = 0.00108262998905;
2070             j3     = -0.00000253215306;
2071             j4     = -0.00000161098761;
2072             j3oj2  = j3 / j2;
2073         break;
2074         default:
2075             fprintf(stderr,"unknown gravity option (%d)\n",whichconst);
2076         break;
2077     }
2078
2079 } // end getgravconst
2080
2081
2082 /* -----
2083 *
2084 *           procedure days2mdhms
2085 *
2086 * this procedure converts the day of the year, days, to the equivalent month
2087 * day, hour, minute and second.
2088 *
2089 * algorithm      : set up array for the number of days per month
2090 *                  find leap year - use 1900 because 2000 is a leap year
2091 *                  loop through a temp value while the value is < the days
2092 *                  perform int conversions to the correct day and month

```

```

2093 *           convert remainder into h m s using type conversions
2094 *
2095 *   author       : david vallado              719-573-2600    1 mar 2001
2096 *
2097 *   inputs       description                  range / units
2098 *     year       - year                      1900 .. 2100
2099 *     days       - julian day of the year    0.0  .. 366.0
2100 *
2101 *   outputs      :
2102 *     mon        - month                      1 .. 12
2103 *     day        - day                       1 .. 28,29,30,31
2104 *     hr         - hour                      0 .. 23
2105 *     min        - minute                    0 .. 59
2106 *     sec        - second                    0.0 .. 59.999
2107 *
2108 *   locals      :
2109 *     dayofyr    - day of year
2110 *     temp       - temporary extended values
2111 *     inttemp    - temporary int value
2112 *     i          - index
2113 *     lmonth[12] - int array containing the number of days per month
2114 *
2115 *   coupling    :
2116 *     none.
2117 * ----- */
2118
2119 void   days2mdhms
2120   (
2121     int year, long int days, double days_fraccion,
2122     int& mon, int& day, int& hr, int& minute, double& sec
2123   )
2124   {
2125     int i, inttemp, dayofyr;
2126     double temp;
2127     int lmonth[] = {31, 28, 31, 30, 31, 30, 31, 31, 30, 31, 30, 31};
2128
2129     //dayofyr = (int)floor(days);
2130     dayofyr = days;
2131     // ----- find month and day of month -----
2132     if ( (year % 4) == 0 )
2133       lmonth[1] = 29;
2134
2135     i = 1;
2136     inttemp = 0;
2137     while ((dayofyr > inttemp + lmonth[i-1]) && (i < 12))
2138     {
2139       inttemp = inttemp + lmonth[i-1];
2140       i++;
2141     }
2142     mon = i;
2143     day = dayofyr - inttemp;
2144
2145     // ----- find hours minutes and seconds -----
2146     //temp = (days - dayofyr) * 24.0;
2147     temp = days_fraccion * 24.0;
2148     hr   = (int)floor(temp);
2149     temp = (temp - hr) * 60.0;
2150     minute = (int)floor(temp);
2151     sec   = (temp - minute) * 60.0;
2152   } // end days2mdhms
2153
2154
2155 /*-----
2156 *
2157 *           función tleArv
2158 *
2159 *   Esta función toma los datos de las cadenas de caracteres obtenidas de los
2160 *   datos TLE, los arregla y carga en la estructura datosSat, e inicializa las
2161 *   variables necesarias para aplicar el propagador de órbitas sgp4, que es el
2162 *   que finalmente devuelve los vectores de posición y velocidad del satélite
2163 *
2164 *   entradas:
2165 *     lineal --> primera línea TLE

```

```

2166 *   linea2 --> segunda línea TLE
2167 *   modoOp --> modo operación (requerido para llamar a sgp4())
2168 *           Valores: 'a' (afspc estándar, el usado aquí)
2169 *           'i' (improved)
2170 *   wgs --> conjunto de constantes:
2171 *           Valores: "wgs72old"
2172 *           "wgs72" (recomendado para este software)
2173 *           "wgs84"
2174 *   mpe --> minutos desde la época(dato TLE del instante en que se tomaron
2175 *           los últimos datos fiables)
2176 *
2177 * salidas:
2178 *   datosSat --> estructura con todos los datos del satélite necesarios para
2179 *           aplicar el propagador de órbitas sgp4
2180 *
2181 * llamadas a otras funciones:
2182 *   getgravconst--> proporciona los elementos orbitales en función del juego de
2183 *           constantes (wgs) seleccionado
2184 *   days2mdhms --> convierte de días a meses, días, horas, minutos y segundos
2185 *   diajul --> convierte de año, mes, día, hora, minuto, segundo a días
2186 *           julianos
2187 *   sgp4init --> inicializa todas las variables necesarias para aplicar el
2188 *           propagador sgp4
2189 *-----*/
2190 void tleArv
2191 (
2192   char lineal[70], char linea2[70],
2193   char modoOp,
2194   gravconsttype wgs,
2195   elsetrec& datosSat
2196 )
2197 {
2198   const double deg2rad = pi / 180.0;           // 0.0174532925199433
2199   const double xpdotp  = 1440.0 / (2.0 *pi);   // 229.1831180523293
2200
2201   double seg,                // segundos
2202          radioTierra,        // radio de la Tierra
2203          mu,                 // parámetro gravitacional de la Tierra =
2204                               // G * M
2205                               // (G constante gravitatoria, M masa
2206                               // de la Tierra)
2207          tumin,              // minutos en una unidad de tiempo
2208          xke,                // 1/tumin. Se calcula xke en getgravconst()
2209                               // a partir de mu y del rado de la ,
2210                               // Tierra y tumin a partir de xke
2211                               // (1/xke)
2212          j2, j3, j4,         // valores armónicos de zona, no
2213                               // normalizados
2214          j3oj2;              // j3/j2
2215 // double startsec, stopsec, startdayofyr, stopdayofyr, jdstart, jdstop;
2216 //int startyear, stopyear, startmon, stopmon, startday, stopday,
2217 //  starthr, stophr, startmin, stopmin;
2218 int nlin, num, j;
2219 long numrev = 0,           // número de órbitas completadas en el
2220                               // momento de actualización de
2221                               // datos (época)
2222          numel = 0;         // número de actualizaciones de datos TLE
2223                               // generados por USSPACECOM
2224 char clasificacion,        // clasificación del satélite
2225       desigInternac[11];   // designación interncional
2226 int ano = 0;               // año
2227 int mes, dia, hr, minu,   // mes,día, horas, minutos
2228       nexp, ibexp;
2229 char buffer[15];
2230 char *p;
2231 long int epoca;
2232 double epoca_frac;
2233
2234 datosSat.error = 0;
2235
2236 // Depuramos los datos TLE
2237 for (j = 10; j <= 15; j++)
2238     if (lineal[j] == ' ')

```

```

2239         lineal[j] = '_';
2240
2241     if (lineal[44] != ' ')
2242         lineal[43] = lineal[44];
2243     lineal[44] = '.';
2244     if (lineal[7] == ' ')
2245         lineal[7] = 'U';
2246     if (lineal[9] == ' ')
2247         lineal[9] = '.';
2248     for (j = 45; j <= 49; j++)
2249         if (lineal[j] == ' ')
2250             lineal[j] = '0';
2251     if (lineal[51] == ' ')
2252         lineal[51] = '0';
2253     if (lineal[53] != ' ')
2254         lineal[52] = lineal[53];
2255     lineal[53] = '.';
2256     linea2[25] = '.';
2257     for (j = 26; j <= 32; j++)
2258         if (linea2[j] == ' ')
2259             linea2[j] = '0';
2260     if (lineal[62] == ' ')
2261         lineal[62] = '0';
2262     if (lineal[68] == ' ')
2263         lineal[68] = '0';
2264     /*
2265     * nlin           - número de línea
2266     * satnum        - número de satélite
2267     * clasificacion - clasificación del satélite
2268     * desigInternac - designación internacional
2269     * epochyr       - año de la época
2270     * epochdays    - días de la época
2271     * ndot          - coeficiente balístico (derivada del movimiento
2272     *               medio)
2273     * nddot        - segunda derivada del movimiento medio
2274     *               (generalmente 0)
2275     * nexp          - potencia de 10 aplicada al coeficiente anterior
2276     * bstar        - término de arrastre o coeficiente de presión de
2277     *               radiación
2278     * ibexp        - potencia de 10 aplicada al coeficiente anterior
2279     * num          - tipo de efemérides
2280     * numel        - número de actualizaciones de datos TLE generados
2281     *               por USSPACECOM
2282     *
2283     * inclo        - inclinación de la órbita
2284     * nodeo        - ascensión recta del nodo ascendente
2285     * ecco         - excentricidad de la órbita
2286     * argpo        - argumento del perigeo (ángulo entre el nodo
2287     *               ascendente y el perigeo)
2288     * mo           - anomalía media (ángulo con respecto al semieje
2289     *               mayor de la posición del satélite si su
2290     *               órbita fuera una circunferencia con radio =
2291     *               semieje mayor)
2292     * no           - movimiento medio, número medio de órbitas por día
2293     * numrev       - número de órbitas desde la época
2294     *
2295     */
2296
2297     //0
2298     p = lineal;
2299     strncpy(buffer, p, 2);
2300     buffer[2] = '\\0';
2301     p += 2;
2302     nlin = atoi(buffer);
2303     //2
2304     strncpy(buffer, p, 5);
2305     buffer[5] = '\\0';
2306     p += 5;
2307     datosSat.satnum = atol(buffer);
2308     //7
2309     clasificacion = *p;
2310     p++;
2311     //8

```

```

2312     strncpy(desigInternac, p, 10);
2313     buffer[10] = '\0';
2314     p += 10;
2315     //18
2316     strncpy(buffer, p, 2);
2317     buffer[2] = '\0';
2318     p += 2;
2319     datosSat.epochyr = atoi(buffer);
2320     //20
2321     /*
2322     strncpy(buffer, p, 12);
2323     buffer[12] = '\0';
2324     p += 12;
2325     datosSat.epochdays = atof(buffer);
2326     */
2327     strncpy(buffer, p, 3);
2328     buffer[3] = '\0';
2329     p += 3;
2330     datosSat.epochdays = atoi(buffer);
2331     //23
2332     strncpy(buffer, p, 9);
2333     buffer[9] = '\0';
2334     p += 9;
2335     datosSat.epochdays_fraccion = atof(buffer);
2336
2337     //32
2338     strncpy(buffer, p, 11);
2339     buffer[11] = '\0';
2340     p += 11;
2341     datosSat.ndot = atof(buffer);
2342     //43
2343     strncpy(buffer, p, 7);
2344     buffer[7] = '\0';
2345     p += 7;
2346     datosSat.nddot = atof(buffer);
2347     //50
2348     strncpy(buffer, p, 2);
2349     buffer[2] = '\0';
2350     p += 2;
2351     nexp = atoi(buffer);
2352     //52
2353     strncpy(buffer, p, 7);
2354     buffer[7] = '\0';
2355     p += 7;
2356     datosSat.bstar = atof(buffer);
2357     //59
2358     strncpy(buffer, p, 2);
2359     buffer[2] = '\0';
2360     p += 2;
2361     ibexp = atoi(buffer);
2362     //61
2363     strncpy(buffer, p, 2);
2364     buffer[2] = '\0';
2365     p += 2;
2366     num = atoi(buffer);
2367     //63
2368     strncpy(buffer, p, 6);
2369     buffer[6] = '\0';
2370     nlin = atol(buffer);
2371
2372     /* no funciona en arduino
2373     sscanf(linea1,
2374            "%2d %5ld %1c %10s %2d %12lf %11lf %7lf %2d %7lf %2d %2d %6ld ",
2375            &nlin, &datosSat.satnum, &clasificacion, desigInternac,
2376            &datosSat.epochyr, &datosSat.epochdays, &datosSat.ndot,
2377            &datosSat.nddot, &nexp, &datosSat.bstar, &ibexp, &num, &numel );
2378     */
2379
2380     {
2381         if (linea2[52] == ' ')
2382         {
2383             //0
2384             p = linea2;

```

```

2385     strncpy(buffer, p, 2);
2386     buffer[2] = '\0';
2387     p += 2;
2388     nlin = atoi(buffer);
2389     //2
2390     strncpy(buffer, p, 5);
2391     buffer[5] = '\0';
2392     p += 5;
2393     datosSat.satnum = atol(buffer);
2394     //7
2395     strncpy(buffer, p, 9);
2396     buffer[9] = '\0';
2397     p += 9;
2398     datosSat.inclo = atof(buffer);
2399     //16
2400     strncpy(buffer, p, 9);
2401     buffer[9] = '\0';
2402     p += 9;
2403     datosSat.nodeo = atof(buffer);
2404     //25
2405     strncpy(buffer, p, 8);
2406     buffer[8] = '\0';
2407     p += 8;
2408     datosSat.ecco = atof(buffer);
2409     //33
2410     strncpy(buffer, p, 9);
2411     buffer[9] = '\0';
2412     p += 9;
2413     datosSat.argpo = atof(buffer);
2414     //42
2415     strncpy(buffer, p, 9);
2416     buffer[9] = '\0';
2417     p += 9;
2418     datosSat.mo = atof(buffer);
2419     //51
2420     strncpy(buffer, p, 10);
2421     buffer[10] = '\0';
2422     p += 10;
2423     datosSat.no = atof(buffer);
2424     //61
2425     strncpy(buffer, p, 6);
2426     buffer[6] = '\0';
2427     numrev = atof(buffer);
2428     /*
2429     sscanf(linea2,"%2d %5ld %9lf %9lf %8lf %9lf %9lf %10lf %6ld \n",
2430             &nlin,&datosSat.satnum, &datosSat.inclo,
2431             &datosSat.nodeo,&datosSat.ecco, &datosSat.argpo,
2432             &datosSat.mo, &datosSat.no, &numrev );
2433     */
2434 }
2435 else
2436 {
2437     //0
2438     p = linea2;
2439     strncpy(buffer, p, 2);
2440     buffer[2] = '\0';
2441     p += 2;
2442     nlin = atoi(buffer);
2443     //2
2444     strncpy(buffer, p, 5);
2445     buffer[5] = '\0';
2446     p += 5;
2447     datosSat.satnum = atol(buffer);
2448     //7
2449     strncpy(buffer, p, 9);
2450     buffer[9] = '\0';
2451     p += 9;
2452     datosSat.inclo = atof(buffer);
2453     //16
2454     strncpy(buffer, p, 9);
2455     buffer[9] = '\0';
2456     p += 9;
2457     datosSat.nodeo = atof(buffer);

```

```

2458         //25
2459         strncpy(buffer, p, 8);
2460         buffer[8] = '\0';
2461         p += 8;
2462         datosSat.ecco = atof(buffer);
2463         //33
2464         strncpy(buffer, p, 9);
2465         buffer[9] = '\0';
2466         p += 9;
2467         datosSat.argpo = atof(buffer);
2468         //42
2469         strncpy(buffer, p, 9);
2470         buffer[9] = '\0';
2471         p += 9;
2472         datosSat.mo = atof(buffer);
2473         //51
2474         strncpy(buffer, p, 11);
2475         buffer[11] = '\0';
2476         p += 11;
2477         datosSat.no = atof(buffer);
2478         //62
2479         strncpy(buffer, p, 6);
2480         buffer[6] = '\0';
2481         numrev = atof(buffer);
2482         /* no funciona en arduino
2483         sscanf(linea2,"%2d %5ld %9lf %9lf %8lf %9lf %9lf %11lf %6ld \n",
2484             &nlin,&datosSat.satnum, &datosSat.inclo,
2485             &datosSat.nodeo,&datosSat.ecco, &datosSat.argpo,
2486             &datosSat.mo, &datosSat.no, &numrev );
2487         */
2488     }
2489 }
2490
2491 // ---- adecuamos no, ndot, nndot ----
2492 datosSat.no = datosSat.no / xpdotp;
2493 // pasamos mov medio a rad/min
2494 datosSat.nndot= datosSat.nndot * pow(10.0, nexp);
2495 // aplicamos pot de 10 a 2ª derivada
2496 datosSat.bstar= datosSat.bstar * pow(10.0, ibexp);
2497 // aplicamos pot de 10 al término de
2498 // arrastre
2499
2500 // ---- convertimos a unidades empleadas en sgp4 ----
2501 datosSat.ndot = datosSat.ndot / (xpdotp*1440.0);
2502 datosSat.nndot= datosSat.nndot / (xpdotp*1440.0*1440);
2503
2504 // ---- elementos orbitales keplerianos ----
2505 datosSat.a = pow( datosSat.no * tumin_, (-2.0/3.0) ); // semieje mayor
2506 datosSat.inclo = datosSat.inclo * deg2rad; // inclinación de la órbita
2507 datosSat.nodeo = datosSat.nodeo * deg2rad; // longitud nodo ascendente
2508 datosSat.argpo = datosSat.argpo * deg2rad; // argumento del perigeo
2509 datosSat.mo = datosSat.mo * deg2rad; // anomalía media
2510 // al último elemento orbital
2511 // (excentricidad) no hay que
2512 // hacerle nada
2513
2514 // ---- distancias del apogeo y perigeo al centro de la Tierra ----
2515 datosSat.alta = datosSat.a * (1.0 + datosSat.ecco) - 1.0;
2516 datosSat.altp = datosSat.a * (1.0 - datosSat.ecco) - 1.0;
2517
2518
2519 // -----
2520 // ----- Determinación de la época de los datos TLE -----
2521 // ----- en formato de fecha juliana -----
2522 // -----
2523 // Hay que tener en cuenta que este software utiliza la versión
2524 // de sgp4 que toma como referencia el 01/01/1950 a las 00:00 horas, por
2525 // lo que hay que restar esa fecha juliana en las llamadas a las
2526 // funciones del propagador sgp4
2527 // -----
2528
2529 // ----- ponemos el año de la época en 4 cifras (entre 1957 y 2056) -----
2530 if (datosSat.epochyr < 57)

```

```

2531         ano = datosSat.epochyr + 2000;
2532     else
2533         ano = datosSat.epochyr + 1900;
2534
2535     // ---- determinamos la época TLE en fecha juliana y la colocamos en
2536     // datosSat en jdsatepoch (días) y jdsatepoch_fraccion (fracción)
2537     days2mdhms (ano, datosSat.epochdays, datosSat.epochdays_fraccion,
2538     mes, dia, hr, minu, seg );
2539     diajul(ano, mes, dia, hr, minu, seg, datosSat.jdsatepoch,
     datosSat.jdsatepoch_fraccion);
2540
2541     // ----inicialización de los datos de la órbita para la época TLE -----
2542     // hay que restar la fecha juliana de 01/01/1950 (2433281.5) para la
2543     // que está programado este propagador de órbitas sgp4 a la época TLE
2544     restaxSep(datosSat.jdsatepoch, 2433281, epoca,
2545     datosSat.jdsatepoch_fraccion, 0.5, epoca_frac);
2546     sgp4init(wgs, modoOp, datosSat.satnum, epoca, epoca_frac,
2547     datosSat.bstar, datosSat.ecco,
2548     datosSat.argpo, datosSat.inclo, datosSat.mo,
2549     datosSat.no, datosSat.nodeo, datosSat);
2550
2551     } // fin tleArv
2552
2553
2554 /*-----
2555 *
2556 *             función theta
2557 *
2558 * Esta función determina la hora sidereal del momento de la observación, y con
2559 * ella, la posición del meridiano de Greenwich (hacia el Este) con respecto al
2560 * equinoccio vernal (ángulo thetaG).
2561 * Se emplea la fórmula indicada en "Explanatory Supplement to the Astronomical
2562 * Almanac" (página 50), que toma como tiempo de referencia el 01/01/200 a las
2563 * 12:00.
2564 *
2565 * constantes empleadas:
2566 * fecha juliana de 01/01/2000 12:00          -->    2451515.0 días
2567 * omegaT_ (rotación de la Tierra por día sidereal,
2568 * definida en fic. cabecera)          -->    1.00273790934
2569 * segxDia_ (seg/día, definida en fic. cabecera)  -->    86400
2570 *
2571 * entradas:
2572 * lon          --> longitud local en radianes
2573 * djut1        --> parte entera del instante de observación en formato de
2574 * día juliano, referido a la referencia horaria UT1
2575 *              (también válida la UTC)
2576 * djut1_fraccion --> parte decimal del instante de observación en formato
2577 * de día juliano, referido a la referencia horaria UT1
2578 *
2579 * salidas:
2580 * GMST        --> ángulo entre la posición de observación y el equinoccio vernal
2581 * para el momento de observación (en radianes)
2582 *
2583 * llamadas a otras funciones:
2584 *-----*/
2585 double theta(double lon, long int djut1, double djut1_fraccion)
2586 {
2587     double          UT,          // Universal Time,
2588     Tu,             // Tiempo desde 01/01/2000
2589     GMST;           // Greenwich Mean Sidereal Time
2590
2591     UT = djut1_fraccion + 0.5;
2592     if(UT >= 1.0)
2593     {
2594         UT -= 1.0;
2595         djut1 += 1;
2596     }
2597
2598     // se pasa a siglos el número de días desde la referencia 01/01/2000
2599     Tu = (djut1 - 2451545.0) / 36525.0;
2600     // se aplica la fórmula de cálculo de GMST
2601     GMST = 24110.54841 + Tu *

```



```

2602             (8640184.812866 + Tu * (0.093104 - Tu * 6.2e-06));
2603
2604 // cálculo thetaG.
2605 GMST = fmod((GMST + segxDia_ * omegaT_ * UT), segxDia_);
2606
2607 if (GMST < 0.0)
2608 {
2609     GMST += segxDia_; // sumamos 1 día en caso de que dé negativo
2610 }
2611
2612 GMST = (2.0 * pi * GMST / segxDia_); // conversión a radianes
2613 // cálculo theta, para la posición de observación
2614 GMST = fmod(GMST + lon, (2.0 * pi));
2615 return GMST;
2616 } // fin theta()
2617
2618 /*-----*/
2619 *
2620 *                               función geoide
2621 *
2622 * Esta función aplica a la latitud del lugar de observación la corrección por
2623 * achatamiento de la Tierra, según la fórmula indicada en "Explanatory
2624 * Supplement to the Astronomical Almanac" (página 126)
2625 *
2626 * constantes empleadas:
2627 *   achat_ (definida en fich cabecera)    -->    1.0/298.26 (valor WGS72)
2628 *   radioTierra_ (definida en fich cab)   -->    6378.135 (valor WGS72)
2629 *   segxDia_ (seg/día, definida en fich cab) -->    86400
2630 *   h_ (altitud, definida en fich cab)    -->    0
2631 *   pi (definida en fich cab)            -->    3.14159265358979323846
2632 *
2633 * entradas:
2634 *   lat          --> latitud (ojo, en radianes)
2635 *   theta        --> ángulo entre la posición de observación y el equinoccio
2636 *                   vernal para el momento de observación (en radianes)
2637 *   h            --> altitud del lugar de observación (en Km) (suponemos 0)
2638 *
2639 * salidas:
2640 *   rLoc         --> vector de posición del lugar de observación
2641 *
2642 * llamadas a otras funciones:
2643 *
2644 *-----*/
2645 void geoide(double lat, double theta, /*double h,*/ double rLoc[3])
2646 {
2647     double c, s;
2648
2649     c = 1.0 / sqrt(1.0 + achat_ * pow((sin(lat)), 2.0) * (achat_ - 2.0));
2650     s = pow((1.0 - achat_), 2.0) * c;
2651
2652     rLoc[0] = ((radioTierra_ * c + h_) * cos(lat)) * cos(theta); // rx (Km)
2653     rLoc[1] = ((radioTierra_ * c + h_) * cos(lat)) * sin(theta); // ry (Km)
2654     rLoc[2] = (radioTierra_ * s + h_) * sin(lat); // rz (Km)
2655 } // fin geoide()
2656
2657 /*-----*/
2658 *
2659 *                               función gradArad
2660 *
2661 * Cambia de grados, minutos, segundos a radianes
2662 *
2663 * constantes empleadas:
2664 *   pi (definida en fich cab)            -->    3.14159265358979323846
2665 *
2666 * entradas:
2667 *   grad         --> grados sexagesimales de arco
2668 *   min          --> minutos de arco
2669 *   seg          --> segundos de arco
2670 *
2671 * salidas:
2672 *               --> valor del ángulo en radianes
2673 *
2674 * llamadas a otras funciones:

```

```

2675 *
2676 *-----*/
2677
2678 double gradArad(int grad, float minu)
2679 {
2680     return ((grad + minu / 60.0) / (180.0 / pi));
2681 }
2682
2683
2684 /*-----*/
2685 *
2686 *           función diajul
2687 *
2688 * Sustituye a jday para adaptar a los cálculos en punto foltante de
2689 * Arduino.Calcula la fecha juliana, pero en días y fracción de días por separado
2690 * La fracción de días la da en días
2691 *
2692 * constantes empleadas:
2693 *   pi   (definida en fich cab)           -->   3.14159265358979323846
2694 *
2695 * entradas:
2696 *           -->
2697 *           -->
2698 *           -->
2699 *
2700 * salidas:
2701 *           -->
2702 * llamadas a otras funciones:
2703 *
2704 *-----*/
2705 void diajul
2706 (
2707     int ano, int mes, int dia, int hr, int minutos, double seg,
2708     long int& dj, double& fraccion
2709 )
2710 {
2711     float dj_ent;
2712     dj_ent = 367.0 * ano -
2713         floor((7 * (ano + floor((mes + 9) / 12.0))) * 0.25) +
2714         floor( 275 * mes / 9.0 ) +
2715         dia + 1721013.5 ;
2716     fraccion = fmod(dj_ent, 1.0);
2717     dj = dj_ent - fraccion;
2718     fraccion = fraccion +
2719         (hr + (minutos + (seg / 60))/60) /24;
2720     if(fraccion >= 1)
2721     {
2722         dj += 1;
2723         fraccion = (fraccion - 1);
2724     }
2725 } // fin diajul
2726
2727 /*-----*/
2728 *
2729 *           función restaxSep
2730 *
2731 * Hace la resta de dos números con decimales, expresados con su parte entera
2732 * y su parte decimal por separado
2733 *
2734 *
2735 * entradas:
2736 *   e1     --> parte entera del minuendo
2737 *   e2     --> parte entera del sustraendo
2738 *   d1     --> parte decimal del minuendo
2739 *   d2     --> parte decimal del sustraendo
2740 *
2741 * salidas:
2742 *   eDif   --> parte entera del resultado
2743 *   dDif   --> parte decimal del resultado
2744 *
2745 * llamadas a otras funciones:
2746 *
2747 *-----*/

```

```
2748 void restaxSep(long int e1, long int e2, long int& eDif,  
2749               double d1, double d2, double& dDif)  
2750 {  
2751     int llevamos = 0;  
2752  
2753     if(e1>e2)  
2754     {  
2755         dDif = d1 - d2;  
2756         if(dDif < 0)  
2757         {  
2758             dDif += 1;  
2759             llevamos = 1;  
2760         }  
2761         eDif = e1 - (e2 + llevamos);  
2762     }  
2763     else if (e1 == e2)  
2764     {  
2765         eDif = 0;  
2766         dDif = d1 - d2;  
2767     }  
2768     else // e1<e2  
2769     {  
2770         dDif = d2 - d1;  
2771         if(dDif < 0)  
2772         {  
2773             dDif += 1;  
2774             llevamos = 1;  
2775         }  
2776         eDif = (e2 - (e1 + llevamos)) * (-1);  
2777         if(eDif == 0)  
2778             if((d2 - d1) < 0)  
2779             {  
2780                 dDif *= (-1);  
2781             }  
2782     }  
2783 } // fin restaxSep  
2784
```

## **18.6. SGP4.h**

```

1  #ifndef SGP4COMPLETO_H_INCLUDED
2  #define SGP4COMPLETO_H_INCLUDED
3
4
5  #include <math.h>
6  #include <stdio.h>
7  #include <string.h>
8
9  #define SGP4Version  "SGP4 Version 2011-12-30"
10
11  #define pi 3.14159265358979323846
12
13  ///////////////////////////////////////////////////////////////////
14  // ----- directivas preprocesador propias
15  #define radioTierra_ 6378.135
16  #define tumin_ (1.0/0.0743669161)
17  #define achat_ (1.0/298.26)
18  #define segxDia_ 86400.0
19  #define omegaT_ 1.00273790934
20
21  #define constDef      wgs72          //valor recomendado en SpaceTrack Report 3
22  #define opDef        'a'
23  #define h_          0
24
25  // ----- structure declarations -----
26  typedef enum
27  {
28      wgs72old,
29      wgs72,
30      wgs84
31  } gravconsttype;
32
33  typedef struct elsetrec
34  {
35      long int  satnum;
36      int       epochyr, epochtynumrev;
37      int       error;
38      char      operationmode;
39      char      init, method;
40
41      /* Near Earth */
42      int       isimp;
43      double   aycof , con41 , cc1 , cc4 , cc5 , d2 , d3 , d4 ,
44              delmo , eta , argpdot, omgcof , sinmao , t , t2cof, t3cof ,
45              t4cof , t5cof , xlmth2 , x7thml , mdot , nodedot, xlcof , xmcof ,
46              nodecf;
47
48      /* Deep Space */
49      int       irez;
50      long int  jdsatepoch, epochdays;          // partes enteras de esas variables
51      // jdsatepoch pasa a ser el número de días de la época TLE y
52      // jdsatepoch_fraccion la fracción de día
53      double   d2201 , d2211 , d3210 , d3222 , d4410 , d4422 , d5220 , d5232 ,
54              d5421 , d5433 , dedt , del1 , del2 , del3 , didt , dmdt ,
55              dnodt , domdt , e3 , ee2 , peo , pgho , pho , pinco ,
56              plo , se2 , se3 , sgh2 , sgh3 , sgh4 , sh2 , sh3 ,
57              si2 , si3 , sl2 , sl3 , sl4 , gsto , xfact , xgh2 ,
58              xgh3 , xgh4 , xh2 , xh3 , xi2 , xi3 , xl2 , xl3 ,
59              xl4 , xlamo , zmol , zmos , atime , xli , xni;
60
61      double   a , altp , alta ,
62              /*epochdays*/ epochdays_fraccion,          // parte decimal
63              /*jdsatepoch*/ jdsatepoch_fraccion,          // parte decimal
64              nddot, ndot , bstar , rcse , inclo , nodeo , ecco ,
65              argpo, mo , no;
66  } elsetrec;
67
68
69  // ----- function declarations -----
70  bool sgp4init
71  (
72      gravconsttype whichconst, char opsmode, const int satn,
73      const long int epoch, const double epoch_fraccion,

```

```

74     const double xbstar, const double xecco,
75     const double xargpo, const double xinclo, const double xmo,
76     const double xno, const double xnodeo, elsetrec& satrec
77     );
78
79 bool sgp4
80     (
81     gravconsttype whichconst, elsetrec& satrec, double tsince,
82     double r[3], double v[3]
83     );
84
85 double gstime
86     (
87     double jdut1
88     );
89
90 void getgravconst
91     (
92     gravconsttype whichconst,
93     double& tumin,
94     double& mu,
95     double& radiusearthkm,
96     double& xke,
97     double& j2,
98     double& j3,
99     double& j4,
100    double& j3oj2
101    );
102
103 void days2mdhms
104     (
105     int year, long int days, double days_fraccion,
106     int& mon, int& day, int& hr, int& minute, double& sec
107     );
108
109 void tleArv
110     (
111     char longstr1[70], char longstr2[70],
112     char modoOp,
113     gravconsttype wgs,
114     elsetrec& datosSat
115     );
116
117 double theta
118     (double lon, long int djut1, double djut1_fraccion);
119
120 void geaide
121     (double lat, double theta, /*double h,*/ double rLoc[3]/*,
122     double vLoc[3]*/);
123
124 double gradArad
125     (int grad, float minu);
126
127 void diajul
128     (
129     int ano, int mes, int dia, int hr, int minutos, double seg,
130     long int& dj, double& fraccion);
131
132 void restaxSep(long int e1, long int e2, long int& eDif,
133     double d1, double d2, double& dDif);
134
135 #endif // SGP4COMPLETO_H_INCLUDED
136

```

## 19 MANUAL DE USUARIO

### 19.1. Setup

Al conectar el sistema, se muestra el siguiente texto por pantalla durante tres segundos:

*Seguimiento de satélites  
UDC*

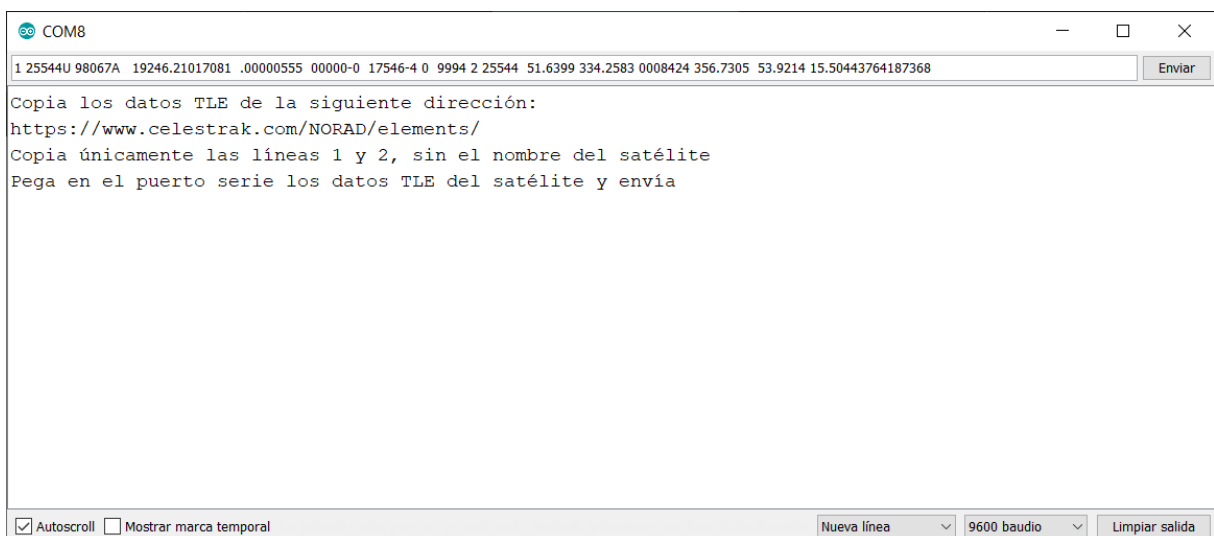
Si en este intervalo de tiempo se presionan simultáneamente las botones de izquierda y derecha, se accede al setup del sistema, en el que se ofrecen las siguientes opciones de configuración:

- Cálculo de ángulos de apuntamiento por software externo
- Cálculos autónomo de ángulos de apuntamiento en base a parámetros keplerianos
- Actualización de datos TLE
- Realimentación mediante encoder
- Realimentación mediante potenciómetro

Para cambiar entre una opción y otra se utilizan las botones de izquierda y derecha, seleccionando la opción deseada con la tecla central.

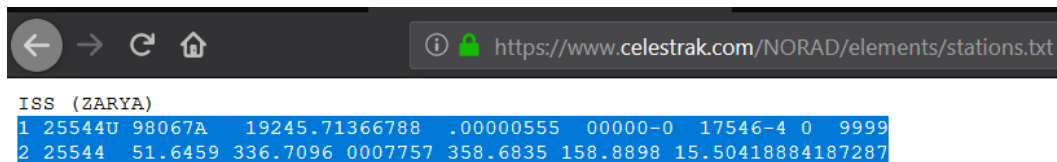
Para actualizar los datos TLE, el usuario deberá abrir el monitor serie del IDE Arduino y, posteriormente, acceder a la base de datos del NORAD [28] (cuyo enlace se mostrará al usuario en el monitor serie) y obtener los datos TLE más actualizados, que se grabarán en la memoria EEPROM del microcontrolador enviándolos por puerto serie.

Al acceder a esta opción de configuración, se mostrará en el monitor serie lo indicado en la figura 19.1:



**Figura 19.1** – Mensaje por puerto serie

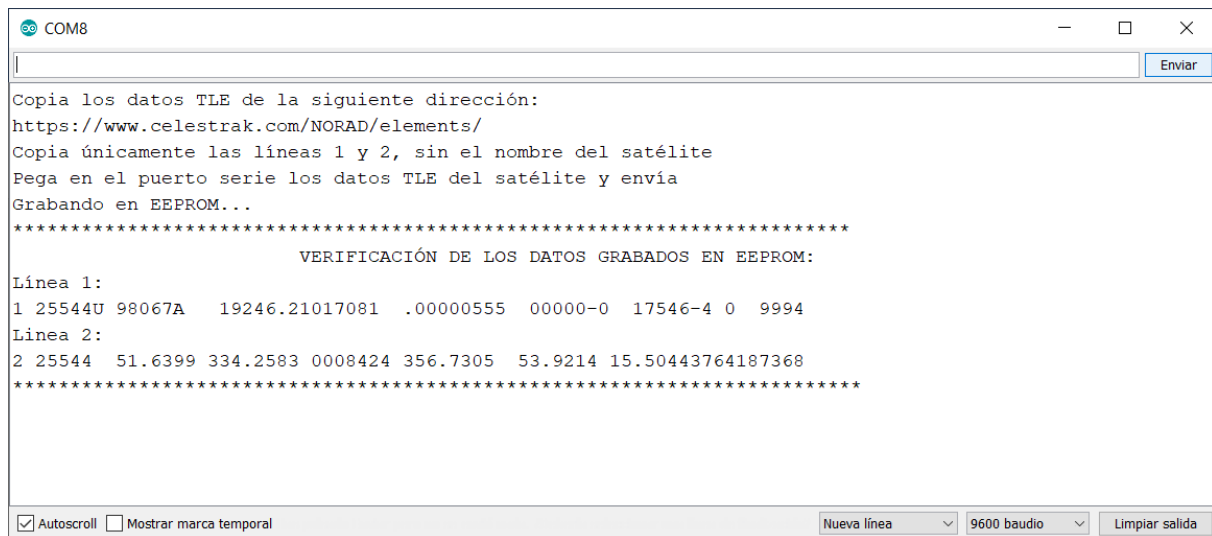
Se deben enviar únicamente las dos líneas del TLE, sin el nombre del satélite, como se indica en la figura 19.2:



```
ISS (ZARYA)
1 25544U 98067A 19245.71366788 .00000555 00000-0 17546-4 0 9999
2 25544 51.6459 336.7096 0007757 358.6835 158.8898 15.50418884187287
```

**Figura 19.2** – Datos TLE actualizados de la web

Cuando se envían los datos, se verifica en el puerto serie que se han guardado de manera correcta en la EEPROM del microcontrolador.



```
COM8
Copia los datos TLE de la siguiente dirección:
https://www.celestrak.com/NORAD/elements/
Copia únicamente las líneas 1 y 2, sin el nombre del satélite
Pega en el puerto serie los datos TLE del satélite y envía
Grabando en EEPROM...
*****
VERIFICACIÓN DE LOS DATOS GRABADOS EN EEPROM:
Línea 1:
1 25544U 98067A 19246.21017081 .00000555 00000-0 17546-4 0 9994
Línea 2:
2 25544 51.6399 334.2583 0008424 356.7305 53.9214 15.50443764187368
*****
 Autoscroll  Mostrar marca temporal Nueva línea 9600 baudio Limpiar salida
```

**Figura 19.3** – Verificación de guardado

Cabe destacar que, en caso de abrir el monitor serie del IDE Arduino con el sistema en funcionamiento, la propia acción de abrir el monitor serie reseteará el sistema y será necesario acceder de nuevo a la opción de actualización de TLE (con el monitor serie ya abierto).

Realizada la configuración en el setup, se mantiene pulsada la tecla central hasta que se muestre por pantalla el siguiente mensaje:

*Configuración realizada*

## 19.2. Menú principal

Una vez realizada la configuración del sistema en el setup se accede al menú principal. En él se selecciona entre distintos modos de funcionamiento disponibles presionando la tecla central:

- **Calibración:** en este menú se realiza el ajuste de offset y de ganancia del circuito analógico, necesario para optimizar el funcionamiento del convertor A/D en caso de realizar la lectura de la posición a través de encoders.



Se ajusta en primer lugar el offset de azimut, moviendo el motor con la botonera hasta su posición de  $0^\circ$ , y ajustando con el potenciómetro de offset hasta que el indicador de tensión en la pantalla indique 0V.

Ajustado el offset, se presiona la tecla central para acceder al ajuste de ganancia, en el que se ajustará el potenciómetro de ganancia hasta los 5V, después de haber colocado el motor en la posición de  $360^\circ$ , y se presiona de nuevo la tecla central para acceder a la calibración de elevación. Esta se realizará siguiendo el mismo procedimiento que en el caso de azimut.

En la pantalla LCD se visualizará lo siguiente:

Calibración	
AZIMUT	
Ajuste offset a 0V	
Offset:	0.82

**Tabla 19.1** – Pantalla LCD en calibración

- **Manual:** este modo de funcionamiento permite al usuario colocar las antenas en una posición concreta de dos maneras distintas:
  - **Consigna:** después de seleccionar qué motor se desea mover (azimut o elevación), se introduce a través del teclado el ángulo deseado con hasta dos decimales. Al pulsar la tecla aceptar del teclado, el motor correspondiente comenzará a moverse hasta la posición indicada, mostrando en la LCD la posición de consigna y la posición actual.

Modo manual			
Consigna:	170.00		
Azimut:	100.54	AZ:	35.00

**Tabla 19.2** – Pantalla LCD en manual-consigna

Para detener el motor y volver al menú anterior de selección del motor que se desea desplazar se pulsará la tecla central.

- **Manual:** manteniendo pulsadas las teclas de izquierda, derecha, arriba y abajo se moverán los motores correspondientes en los sentidos que proceda. Este modo manual se utilizará únicamente para colocar los motores de manera aproximada.
- En cualquiera de estos modos, para regresar al menú anterior, se mantendrá pulsada la tecla central. En el caso del menú *Consigna*, en el que establecemos la consigna por teclado y se realiza el desplazamiento de motor correspondiente, bastará con una pulsación, para poder frenar los motores rápidamente.
- **Uso del teclado:**

- Tecla aceptar: #
  - Punto decimal: \*
  - Borrar dígito: D
  - Borrar todo: C
- Automático: este modo permite el seguimiento automático del satélite.

En la pantalla LCD se muestra en todo momento la posición actual de los motores y la posición de consigna:

Modo automático			
CONSIGNA		POSICIÓN	
AZ:	100.54	AZ:	35.00
EL:	0.00	EL:	94.28

**Tabla 19.3** – Pantalla LCD en modo automático

Para frenar los motores bastará con pulsar el botón central de la botonera, y se accederá de nuevo al menú principal.

En caso de que exista un cambio de consigna que implique un cambio de sentido de giro de algún motor, se frenarán los motores para evitar cambios bruscos que dañen tanto el motor como la propia estructura del sistema.

Si este cambio de sentido es provocado porque el motor ha excedido la posición de consigna, también se frenarán los motores antes de cambiar el sentido de giro.

### 19.3. Especificaciones técnicas

#### ■ Alimentación

Alimentador externo de doble polaridad

- **Positiva:** 11V a 16V, 1A
- **Negativa:** -11V a -16V, 150mA

#### ■ Accionamiento de motores

- 6 relés (contactos libres de potencial). Máximas prestaciones: 250V, 10A
- 2 señales PWM (0 a 5V)
- 2 señales de tensión (0 a 5V)

#### ■ Realimentación de motores

- Tensión analógica
- Encoder TBN50-SA2048RC2SN14 (CANopen)

#### ■ Controles

- 5 botones
- Teclado matricial 4x4
- **Indicadores**
  - Diodos LED
  - Pantalla LCD 20x04
- **Recepción de datos GPS**
  - En interior requiere antena de 26dB de ganancia
- **Conexiones**
  - Alimentación: conectores de apriete por tornillo
  - Salidas: conectores de apriete por tornillo
  - Realimentación analógica: conectores de apriete por tornillo
  - Realimentación CANopen: conector SUB-D DB9 (hembra)
  - Antena GPS: MMCX
- **Controlador**
  - Atmega2560
- **Dimensiones**
  - 215x185x45 mm
- **Peso**
  - 480 g

## **20 HOJA DE CARACTERÍSTICAS TBN50-SA2048RC2SN14**

- Ausgabecode: Binär
- Gegenstecker: Binder Sensor Steckverbinder Serie 763  
Kontaktanzahl: 4 (Buchse)
- Arbeitstemperaturbereich: -40°C ... +85°C
- Diskette: EDS-Datei

- Output code: Binary
- Counter plug: Binder Sensor connector series 763
- Number of contacts: 4 (socket)
- Operating temperature range : -40°C ... +85°C
- Disk: EDS-file

Kontakt-Nr <i>Pin No</i>	Belegt mit ...	<i>Connected to ...</i>
1	<b>V+</b> = +5,5 ... +18 Volt, $I_o < 80 \text{ mA}$ (typ. $I_o = 60 \text{ mA}$ ) Spitzenspannung: +26 Volt / 1 Minute	<b>V+</b> = +5,5 ... +18 VDC, $I_o < 80 \text{ mA}$ (typ. $I_o = 60 \text{ mA}$ ) Peak voltage: +26 VDC / 1 minute
2	<b>V- / CAN GND</b>	<b>V- / CAN GND</b>
3	<b>CAN +</b>	<b>CAN +</b>
4	<b>CAN -</b>	<b>CAN -</b>

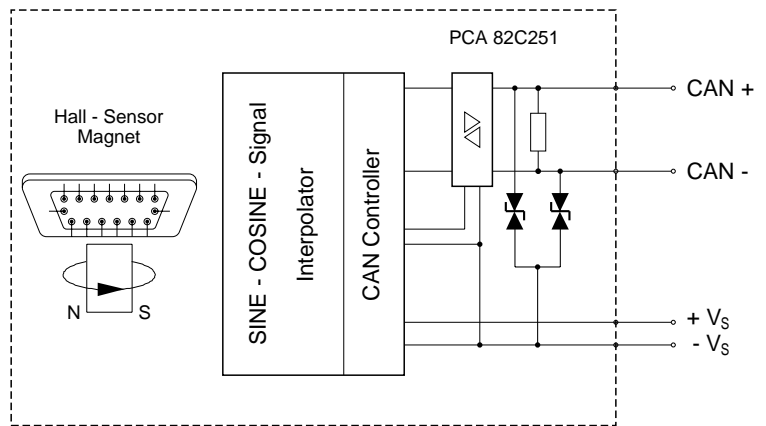
**CANopen Profil für Winkelcodierer**  
**CiA DSP 406 Version 3.0**  
**Siehe Anwenderhandbuch TBN 11551**  
**Zusätzliche Informationen siehe Rückseite**

**CANopen profile for encoders**  
**CiA DSP 406 version 3.0**  
**See user manual TBN 11551**  
**Additional informations p.t.o.**

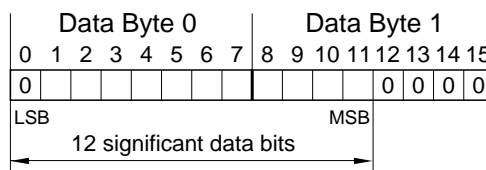
### CAN-Bus - Interface

- Treiber nach ISO/DIS 11898  
*Driver refers to ISO/DIS 11898*

### Block Diagram



### PDO 1 / PDO 2



## Lieferform

Wenn nicht anders vereinbart, werden die Winkelcodierer mit folgenden Werten eingestellt geliefert:

- Knoten-Nummer: 1  
Einstellbar über LSS oder Objekt 2000
- Baudrate: 20 kBaud

### PDO 1:

Index	Sub-Index	Kommentar	Vorgabewert
1800h	1	COB-ID für PDO 1	180h + Knotenadresse
	2	transmission type (asynchron, herstellerdefiniert)	253
	3	inhibit time	0

### PDO 2:

Index	Sub-Index	Kommentar	Vorgabewert
1801h	1	COB-ID für PDO 2	280h + Knotenadresse
	2	transmission type (zyklisch synchron)	1

### SDO:

SDO (tx) (Codierer -> Master): 580h (1408) + Knotenadresse  
SDO (rx) (Master -> Codierer): 600h (1536) + Knotenadresse  
Hinweis: Die SDO-Identifizierer sind nicht änderbar

LSS-Adresse (siehe Identity-Objekt 1018):

Vendor ID = 0x0000 010D  
Produkt ID = 0x0000 06000  
Revisionsnummer: = 0x0001 0003  
Seriennummer = siehe Typenschild

Bemerkung: LSS = Layer Setting Service DSP 305 V1.1.1

Busabschlußwiderstand: 120 Ohm (intern)

## Programmed values as supplied

Unless agreed otherwise, the encoders are supplied with the following adjusted values

- Node number: 1  
Adjustable via LSS or object 2000
- Baud rate: 20 kBaud

### PDO1:

Index	Sub-Index	Comment	Default value
1800h	1	COB-ID for PDO 1	180h + Node-ID
	2	transmission type (asynchronous, manufacturer defined)	253
	3	inhibit time	0

### PDO 2:

Index	Sub-Index	Comment	Default value
1801h	1	COB-ID for PDO 2	280h + Node-ID
	2	transmission type (cyclic synchronous)	1

### SDO:

SDO (tx) (Encoder -> Master): 580h (1408) + Node-ID  
SDO (rx) (Master -> Encoder): 600h (1536) + Node-ID  
Hint: SDO-identifiers are not changeable

LSS-adress (see identity-object 1018):

Vendor ID = 0x0000 010D  
Product ID = 0x0000 6000  
Revision number = 0x0001 0003  
Serial number = see nameplate

Note: LSS = Layer setting service DSP 305 V1.1.1

Bus terminal resistor: 120 Ohm (internal)

TÍTULO: **SISTEMA DE SEGUIMIENTO DE SATÉLITES**

---

# **PLANOS**

---

PETICIONARIO: **ESCUELA UNIVERSITARIA POLITÉCNICA**

**AVDA. 19 DE FEBREIRO, S/N**

**15405 - FERROL**

FECHA: **SEPTIEMBRE DE 2019**

AUTOR: **EL ALUMNO**

Fdo.: **GABRIEL CASAL RODRÍGUEZ**

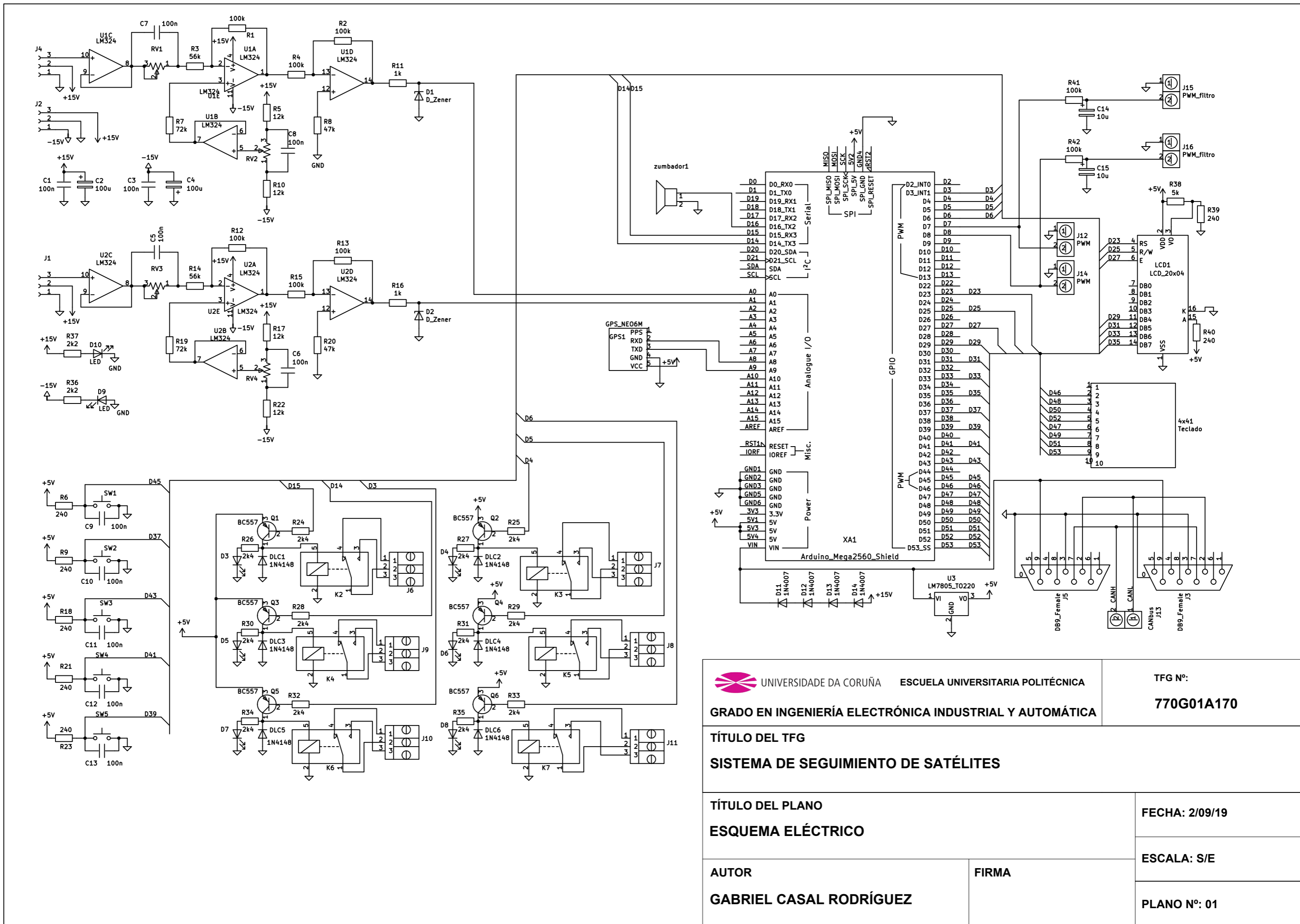




## Índice de planos

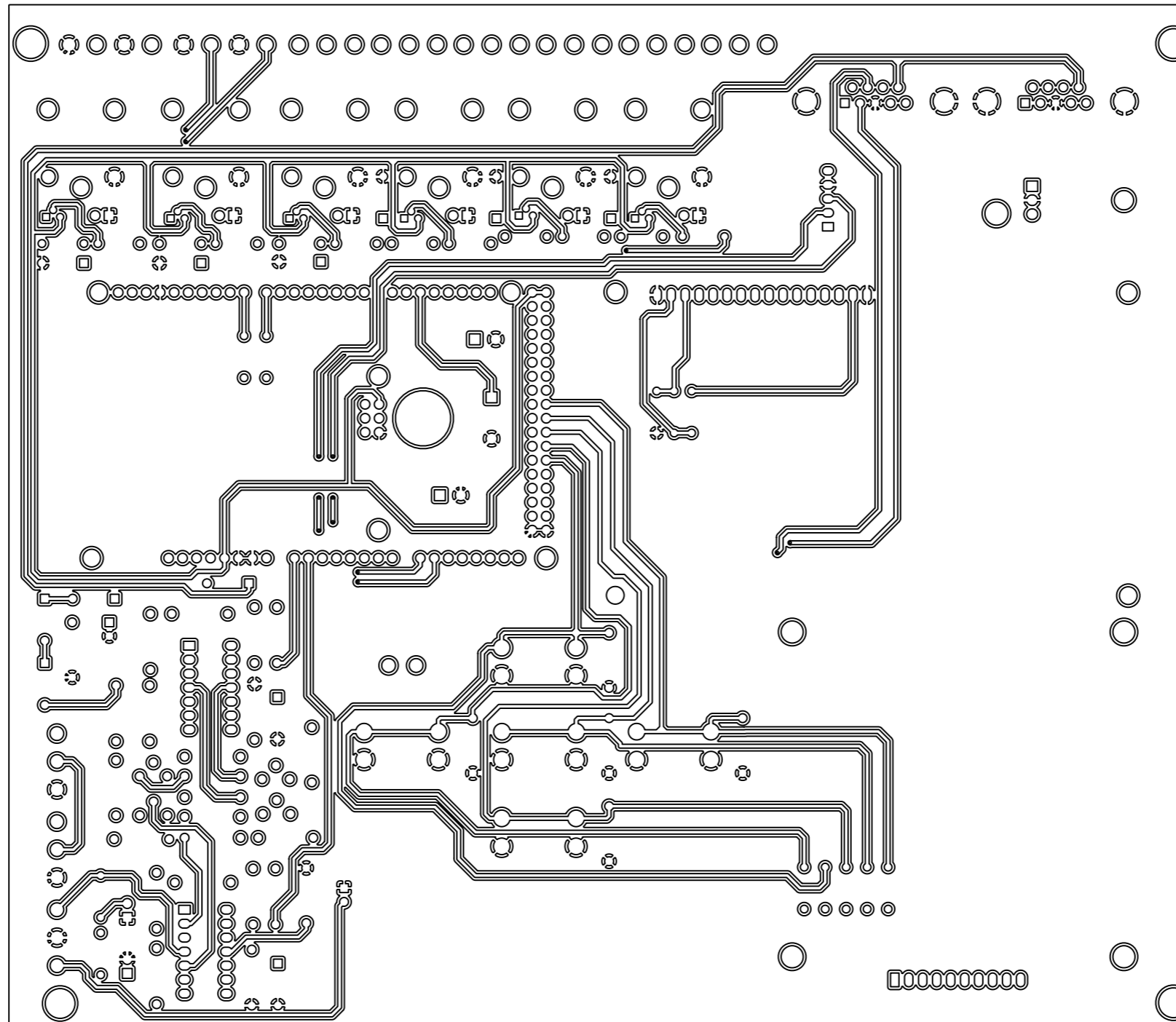
1 Esquema eléctrico . . . . .	267
2 Circuito impreso. Capa FRONT . . . . .	269
3 Circuito impreso. Capa BOTTOM . . . . .	271
4 Circuito impreso. Serigrafía . . . . .	273





 UNIVERSIDADE DA CORUÑA ESCUELA UNIVERSITARIA POLITÉCNICA		TFG Nº:	
		770G01A170	
GRADO EN INGENIERÍA ELECTRÓNICA INDUSTRIAL Y AUTOMÁTICA			
TÍTULO DEL TFG			
SISTEMA DE SEGUIMIENTO DE SATÉLITES			
TÍTULO DEL PLANO			
ESQUEMA ELÉCTRICO			
AUTOR GABRIEL CASAL RODRÍGUEZ		FECHA: 2/09/19	
		ESCALA: S/E	
		PLANO Nº: 01	
FIRMA			






 UNIVERSIDADE DA CORUÑA ESCUELA UNIVERSITARIA POLITÉCNICA  
 GRADO EN INGENIERÍA ELECTRÓNICA INDUSTRIAL Y AUTOMÁTICA

TFG Nº:  
**770G01A170**

TÍTULO DEL TFG  
**SISTEMA DE SEGUIMIENTO DE SATÉLITES**

TÍTULO DEL PLANO  
**CIRCUITO IMPRESO. CAPA FRONT**

FECHA: 2/09/19

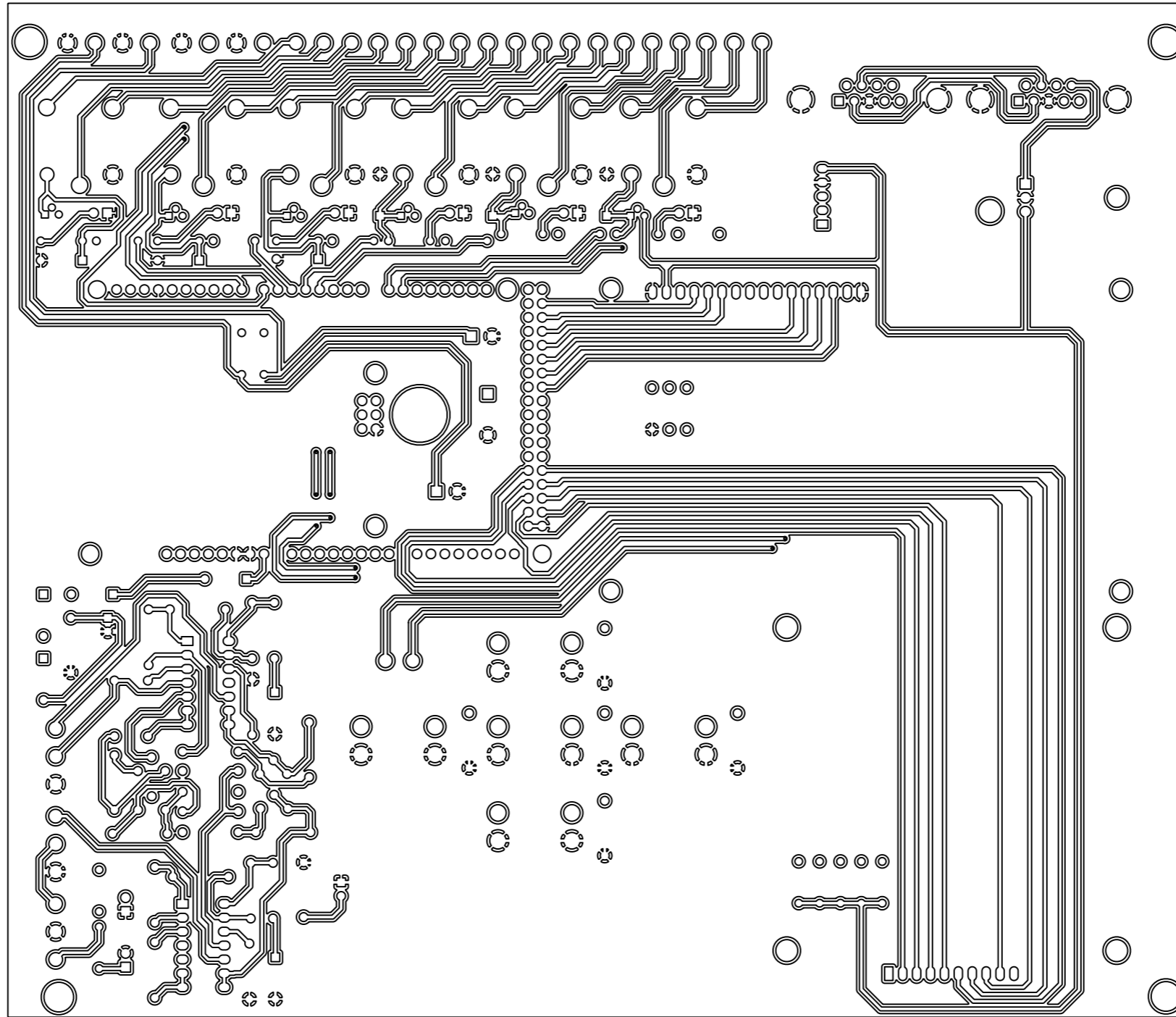
ESCALA: 1:1


AUTOR  
**GABRIEL CASAL RODRÍGUEZ**

FIRMA

PLANO Nº: 02






 UNIVERSIDADE DA CORUÑA ESCUELA UNIVERSITARIA POLITÉCNICA  
 GRADO EN INGENIERÍA ELECTRÓNICA INDUSTRIAL Y AUTOMÁTICA

TFG Nº:  
**770G01A170**

TÍTULO DEL TFG  
**SISTEMA DE SEGUIMIENTO DE SATÉLITES**

TÍTULO DEL PLANO  
**CIRCUITO IMPRESO. CAPA BOTTOM**

FECHA: 2/09/19

ESCALA: 1:1

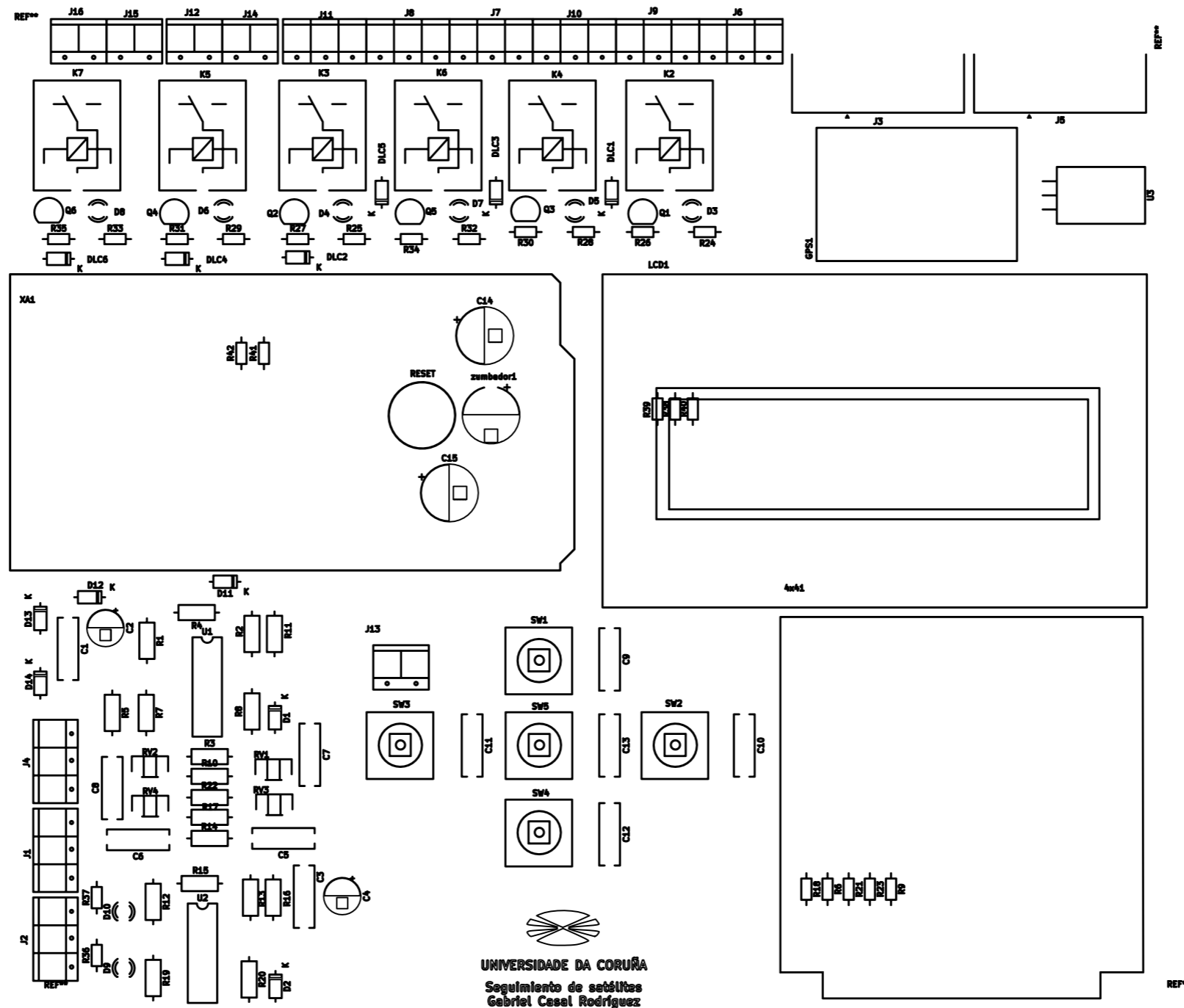
AUTOR  
**GABRIEL CASAL RODRÍGUEZ**

FIRMA

PLANO Nº: 03







 UNIVERSIDADE DA CORUÑA ESCUELA UNIVERSITARIA POLITÉCNICA		TFG Nº: <b>770G01A170</b>
<b>GRADO EN INGENIERÍA ELECTRÓNICA INDUSTRIAL Y AUTOMÁTICA</b>		
<b>TÍTULO DEL TFG</b> <b>SISTEMA DE SEGUIMIENTO DE SATÉLITES</b>		
<b>TÍTULO DEL PLANO</b> <b>CIRCUITO IMPRESO. SERIGRAFÍA FRONTAL</b>		FECHA: 2/09/19
<b>AUTOR</b> <b>GABRIEL CASAL RODRÍGUEZ</b>		ESCALA: 1:1
<b>FIRMA</b>		PLANO Nº: 04



TÍTULO: **SISTEMA DE SEGUIMIENTO DE SATÉLITES**

---

# **PLIEGO DE CONDICIONES**

---

PETICIONARIO: **ESCUELA UNIVERSITARIA POLITÉCNICA**

**AVDA. 19 DE FEBREIRO, S/N**

**15405 - FERROL**

FECHA: **SEPTIEMBRE DE 2019**

AUTOR: **EL ALUMNO**

Fdo.: **GABRIEL CASAL RODRÍGUEZ**



**Índice del documento PLIEGO DE CONDICIONES**

20.1 Especificaciones de las unidades de obra . . . . .	279
20.1.1 Selección de componentes . . . . .	279
20.1.2 Sustitución de componentes . . . . .	279
20.2 Verificaciones . . . . .	279
20.2.1 Testeo del circuito impreso . . . . .	279
20.2.2 Verificaciones de diseño . . . . .	279
20.2.3 Verificaciones de montaje . . . . .	279



## **20.1. Especificaciones de las unidades de obra**

### **20.1.1. Selección de componentes**

Se seleccionarán para la implementación del proyecto, en la medida de lo posible, componentes de fácil acceso económico, cumpliendo en cualquier caso los requisitos de diseño establecidos.

### **20.1.2. Sustitución de componentes**

Para la situación de no disponibilidad o descatalogación de alguno de los componentes requeridos por el sistema, deberán seleccionarse otros de iguales prestaciones, cuando menos, al mismo tiempo que resulten completamente compatibles.

## **20.2. Verificaciones**

### **20.2.1. Testeo del circuito impreso**

La placa de circuito impreso diseñada ha de ser testada en su proceso de fabricación para garantizar su correcto funcionamiento antes del montaje.

### **20.2.2. Verificaciones de diseño**

Se verificará el funcionamiento de los componentes montados sobre la placa de circuito impreso, garantizando la disponibilidad de todas sus funciones.

Para el correcto funcionamiento del sistema, debe garantizarse la conexión de la alimentación de doble polaridad de la placa antes de conectar señales de realimentación analógicas.

### **20.2.3. Verificaciones de montaje**

Este proyecto está enmarcado en una colaboración con el CIFP Ferrolterra, que deberá proporcionar el sistema de antenas.

En caso de obtener dicho sistema de antenas correctamente implementado antes del 1 de Septiembre de 2019, se realizarán las pruebas pertinentes del sistema implementado en este proyecto sobre el montaje ofrecido por el instituto Ferrolterra.

De no disponer en plazo de su montaje, se realizarán las pruebas pertinentes en una maqueta a escala.





TÍTULO: **SISTEMA DE SEGUIMIENTO DE SATÉLITES**

---

# **MEDICIONES**

---

PETICIONARIO: **ESCUELA UNIVERSITARIA POLITÉCNICA**

**AVDA. 19 DE FEBREIRO, S/N**

**15405 - FERROL**

FECHA: **SEPTIEMBRE DE 2019**

AUTOR: **EL ALUMNO**

Fdo.: **GABRIEL CASAL RODRÍGUEZ**



## Índice del documento MEDICIONES

**21 Listado de materiales**

**285**



## 21 Listado de materiales

A continuación se adjunta la tabla 21.1 con el listado de materiales necesario para la elaboración del proyecto.

Lista de materiales	
Componente	Unidades
Arduino MEGA 2560	1
Cable USB Tipo A	1
Arduino CAN shield	1
Teclado matricial 4x4	1
LCD 20x04	1
Receptor GPS GY-NEO6MV2 NEO-6M	1
Conector SUB-D DB9 hembra	2
Conector SUB-D DB9 macho	2
Carcasa SUB-D DB9	2
Encoder TBN50-SA2048RC2SN14	2
Cable 4 pin M12	2
Relé single srd-05vdc-sl-c	6
BC557 (transistor PNP)	6
Diodo 1N4148	6
Diodo 1N4007	4
Diodo LED (5mm)	8
LM324N	2
Potenciómetro multivuelta 500k	2
Potenciómetro multivuelta 5k	2
Condensador tantalito 2,2 $\mu$ F	2
Condensador cerámico 100nF	11
Condensador electrolítico 100 $\mu$ F 35V	2
Pulsador de membrana B3F-4050	5
Diodo Zener BZX85C 1W	2
Resistencia 5% tolerancia (0,25W)	42
Clema de 3 conectores	9
Clema de 2 conectores	5
Kit de pines compatibles con Arduino	3
Regulador de tensión L7805 (TO-220)	1
Disipador térmico TO-220	1
Placas de circuito impreso	1

**Tabla 21.1** – Lista de materiales



TÍTULO: **SISTEMA DE SEGUIMIENTO DE SATÉLITES**

---

# **PRESUPUESTO**

---

PETICIONARIO: **ESCUELA UNIVERSITARIA POLITÉCNICA**

**AVDA. 19 DE FEBREIRO, S/N**

**15405 - FERROL**

FECHA: **SEPTIEMBRE DE 2019**

AUTOR: **EL ALUMNO**

Fdo.: **GABRIEL CASAL RODRÍGUEZ**





## Índice del documento PRESUPUESTO

<b>22 PRECIOS UNITARIOS DE MANO DE OBRA, SOFTWARE Y ELEMENTOS AUXILIARES</b>	<b>291</b>
22.1 Mano de obra . . . . .	291
22.2 Licencias software . . . . .	291
22.3 Elementos auxiliares . . . . .	291
<b>23 PRECIOS UNITARIOS DE LAS UNIDADES DE OBRA</b>	<b>292</b>
<b>24 PRESUPUESTO</b>	<b>293</b>



## 22 PRECIOS UNITARIOS DE MANO DE OBRA, SOFTWARE Y ELEMENTOS AUXILIARES

### 22.1. Mano de obra

Teniendo en cuenta que se considera que el salario en €/hora para un graduado en Ingeniería Electrónica Industrial y Automática es de 15€/hora, el coste por mano de obra es el que se muestra en la tabla 22.1:

Actividad	Horas	Coste (€/hora)	Total (€)
Programación del software	100	15,00	1500,00 €
Diseño del esquema eléctrico	15	15,00	225,00 €
Diseño del circuito impreso	30	15,00	450,00 €
Soldadura del circuito impreso	2	15,00	30,00 €
Redacción del documento	90	15,00	1350,00 €
<b>Total</b>			<b>3555,00 €</b>

**Tabla 22.1** – Lista de materiales

### 22.2. Licencias software

Licencia	Coste (€)
PstRotator	20,00 €
<b>Total</b>	<b>20,00 €</b>

**Tabla 22.2** – Coste software

### 22.3. Elementos auxiliares

Elemento	Coste (€)
Envío de placas PCB	13,20 €
<b>Total</b>	<b>13,20 €</b>

**Tabla 22.3** – Costes auxiliares

## 23 PRECIOS UNITARIOS DE LAS UNIDADES DE OBRA

Concepto	Unidades	Coste unitario (I.I.) (€/ud)	Total (€)
Arduino MEGA 2560 [12]	1	5,61 €	5,61 €
Cable USB Tipo A [26]	1	0,72 €	0,72 €
Arduino CAN shield [58]	1	5,10 €	5,10 €
Teclado matricial 4x4 [71]	1	5,65 €	5,65 €
LCD 20x04 [43]	1	4,99 €	4,99 €
Receptor GPS GY-NEO6MV2 NEO-6M [50]	1	3,70 €	3,70 €
Conector SUB-D DB9 hembra [33]	2	1,75 €	3,50 €
Conector SUB-D DB9 macho [34]	2	0,67 €	1,34 €
Carcasa SUB-D DB9 [38]	2	0,77 €	1,54 €
Encoder TBN50-SA2048RC2SN14 [75]	2	20,99 €	41,98 €
Cable 4 pin M12 [25]	2	10,05 €	20,10 €
Relé songle srd-05vdc-sl-c [67]	6	1,56 €	9,36 €
BC557 (transistor PNP) [74]	6	0,29 €	1,74 €
Diodo 1N4148 [40]	6	0,15 €	0,90 €
Diodo 1N4007 [41]	4	0,13 €	0,52 €
Diodo LED (5mm) [56]	8	0,17 €	1,36 €
LM324N [29]	2	0,96 €	1,92 €
Potenciómetro multivuelta 500k [7]	2	3,52 €	7,04 €
Potenciómetro multivuelta 5k [8]	2	1,91 €	3,82 €
Condensador tántalo 22 $\mu$ F [32]	2	0,66 €	1,32 €
Condensador cerámico 100nF [30]	11	0,27 €	0,54 €
Condensador electrolítico 100 $\mu$ F/ 35V [31]	2	0,22 €	0,44 €
Pulsador de membrana B3F-4050 [64]	5	1,96 €	9,80 €
Diodo Zener BZX85C 1W [82]	2	0,56 €	1,12 €
Resistencia 5% tolerancia (0,25W) [68]	42	0,04 €	1,68 €
Clema de 3 conectores [22]	9	0,38 €	3,42 €
Clema de 2 conectores [23]	5	0,28 €	1,40 €
Kit de pines compatibles con Arduino [55]	3	2,78 €	8,34 €
Regulador de tensión L7805 (TO-220) [66]	1	0,80 €	0,80 €
Disipador térmico TO-220 [42]	1	0,28 €	0,28 €
Placas de circuito impreso	5	3,19 €	15,95 €
<b>Base imponible: 137,17 €</b>			
<b>IVA: 21 %</b>			
<b>Cuota IVA: 28,8 €</b>			
<b>Total</b>			<b>165,98 €</b>

Tabla 23.1 – Unidades de obra

## 24 PRESUPUESTO

Elemento	Coste (€)
Mano de obra	3555,00 €
Licencias software	20,00 €
Elementos auxiliares	13,20 €
Unidades de obra	165,98 €
<b>Total</b>	<b>3754,18 €</b>

**Tabla 24.1** – Presupuesto total

El presupuesto total del proyecto asciende a la cantidad de **tres mil setecientos cincuenta y cuatro euros con dieciocho céntimos (3754,18 €)**.